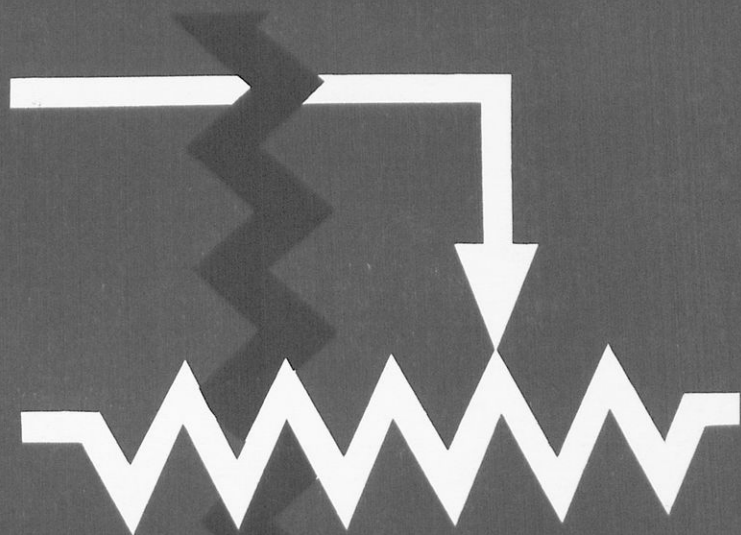


γ.α.πνευματικου



μεθοδο

επιλυσεως ασκησεων

φυσικης

β.ηλεκτρισμος

Ε 3 ΦΣΕ

Γεωργαίου, Γ. Α.

Ε 2 ΦΞΓ
Γενμασιός, Γ. Α.

γ. α. πνευματικού

Ασκήσεις φυσικής



**ΜΕΘΟΔΟΙ
ΕΠΙΛΥΣΕΩΣ
ΑΣΚΗΣΕΩΝ
ΦΥΣΙΚΗΣ**

β'. ηλεκτρισμός

35
0,26, 0, 20

002
ΚΑΕ
ΕΓ3
255

Πᾶν γνήσιον ἀντίτυπον φέρει τὴν ἰδιόχειρον ὑπογραφήν μου.



ΒΙΒΛΙΟΘΗΚΗ ΒΟΥΛΗΣ
ΕΔΩΡΗΣΑΤΟ
Γ. Πνευματικός (Γεωργ.)
αριθ. αἰσγ. 2085

Ἀπαγορεύεται ἡ καθ' ὁσονδήποτε τρόπον ἀνατύπωσις ἢ μετάφρασις τοῦ παρόντος ἢ καὶ μέρους αὐτοῦ, πρὸς ἐμπορικὴν ἐκμετάλλευσιν ἀνευ εἰδικῆς ἐγγράφου ἀδείας τοῦ συγγραφέως (Ν. 2387/1920 καὶ Ν.Δ. 4264/1962).

Copyright (C) 1970, 1971. by George A. Pnevmatikos. Printed in Athens. Greece.

All rights reserved.

This book or any part thereof is not permitted to be reproduced in any form without the written permission of the author.



ΠΡΟΛΟΓΟΣ ΤΗΣ Α'. ΕΚΔΟΣΕΩΣ

Εἰς τὸ βιβλίον τοῦτο δὲν ἐπεχειρήθη ἡ συγκέντρωσις ἀσκήσεων ὑπὸ τύπον συλλογῆς θεμάτων εἰσαγωγικῶν ἐξετάσεων.

Τοιαῦται συλλογαὶ ὑπάρχουν πολλαὶ τόσον εἰς τὴν ξένην ὅσον καὶ εἰς τὴν ἡμετέραν βιβλιογραφίαν.

Δὲν ὑπῆρχε ὁμοῦ ἓνα βιβλίον τὸ ὁποῖον ὄχι μόνον νὰ ὀδηγῇ τοὺς σπουδαστάς εἰς τὴν ὑπερπήδησιν τῶν δυσκολιῶν τὰς ὁποίας οὗτοι ἀντιμετωπίζουν ὅταν κατὰ πρῶτον ἐφαρμόζουν τὴν θεωρίαν εἰς τὴν πράξιν ἀλλὰ καὶ νὰ τοὺς διδάσκῃ μεθόδους πρὸς ἀντιμετώπισιν τῶν προβλημάτων.

Βεβαίως ὑπάρχουν γενικαὶ μέθοδοι αἱ ὁποῖαι ἐκτίθενται εἰς ὀρισμένα βιβλία, ἀλλὰ διεπιστώθη ὅτι κατὰ τὰς εἰσαγωγικὰς ἐξετάσεις τίθενται θέματα ἀπλουστευμένα μὲν ἀλλὰ περιπτώσεις γενικῶν θεμάτων τὰ ὁποῖα ἐκτίθενται εἰς τὴν βιβλιογραφίαν τῆς ἀνωτάτης βαθμίδος ἐκπαίδευσως.

Ἀπεφάσισα λοιπὸν ἐκτὸς τῶν γενικῶν μεθόδων ἐπιλύσεως προβλημάτων τοῦ ἠλεκτρισμοῦ νὰ συμπεριλάβω καὶ τὰς λύσεις τῶν γενικῶν αὐτῶν θεμάτων ἀντιμετωπίζων ταῦτα στοιχειωδῶς.

Ἐπειδὴ δὲ ἀπὸ τὰ γενικὰ αὐτὰ προβλήματα προκύπτει μεγάλη κατηγορία ἀσκήσεων, πιθανῶν θεμάτων, διὰ τὰς εἰσαγωγικὰς ἐξετάσεις τῶν Πολυτεχνείων ὡς καὶ τῶν Πανεπιστημίων μας ἀπεφάσισα νὰ χαρακτηρίσω τὴν λύσιν τοῦ γενικοῦ προβλήματος ὡς μέθοδον διὰ τὴν ἐπίλυσιν τῶν ἐξ αὐτοῦ προκυπτουσῶν ἀσκήσεων.

Κατ' αὐτὸν τὸν τρόπον ἐκτὸς τῶν γενικῶν μεθόδων τῶν ὁποίων ἡ ὀρολογία ὑπάρχει καὶ εἶναι κοινὴ δι' ὄλους τοὺς συγγραφεῖς προέκυψε διὰ τὰς δημιουργηθείσας μεθόδους ἡ ἀνάγκη ὀνομασίας των.

Οὕτως προέκυψε μία ὀρολογία διὰ τὴν ὁποίαν ὑπεύθυνος εἶναι ὁ συγγραφεὺς καὶ οὐδεὶς ἄλλος οὕτως ὥστε ἂν καμμία ἀπὸ αὐτὰς ἤθελε θεωρηθῆ ἄνεπιτυχῆς θὰ πρέπη νὰ κατηγορηθῆ ὁ συγγραφεὺς καὶ μόνον.

Τέλος ἐκάστη μέθοδος ἐξαντλεῖται δι' ὄλων τῶν πιθανῶν περιπτώσεων ἐφαρμογῆς καὶ κατ' αὐτὸν τὸν τρόπον δημιουργεῖται μεγάλη συλλογὴ ἀσκήσεων αἱ ὁποῖαι ἐὰν ἀντιμετωπίζοντο κεχωρισμένως θὰ ἤθελον θεωρηθῆ ὡς ἄρκούντως δυσεπίλυτα προβλήματα.

Σκοπὸς λοιπὸν τοῦ βιβλίου τούτου εἶναι ἡ πλήρης μεθόδευσις καὶ ὀργάνωσις τοῦ συλλογισμοῦ εἰς τὸν ἠλεκτρισμὸν καὶ θὰ ἐθεώρουν τὸν ἑαυτὸν μου εὐτυχῆ ἐὰν ὄντως συνέβαλον εἰς τοῦτο.

Ἰανουάριος 1970

ΓΙΩΡΓΟΣ ΠΝΕΥΜΑΤΙΚΟΣ

Μέθοδος τών Ισοδυνάμων κυκλωμάτων	93
Άναλυτική μέθοδος	97
Μέθοδος επαλληλίας	102
Ήλεκτρική τάσις, δυναμικόν, διάγραμμα δυναμικοῦ	105
Ήλεκτρική τάσις	105
Άπόδειξις τῆς $V_{1,2} = \Sigma_1 IR - \Sigma_1 E$	105
Έφαρμογή τῆς $V_{1,2} = \Sigma_1 IR - \Sigma_1 E$	107
Ήλεκτρικόν δυναμικόν	112
Διαγράμματα δυναμικοῦ	115
Ή Ισοδύναμος ἀντίστασις	118
Τυπικαί συνδέσεις	119
Μὴ τυπικαί συνδέσεις	121
Μέθοδος τῆς ὑποθετικῆς τάσεως	122
Μέθοδος μετασχηματισμοῦ τριγώνου εἰς ἄστέρα	123
Μέθοδος τῶν δυναμικῶν τῶν κόμβων	130
Συμμετρικά κυκλώματα	134
Μέθοδος τῶν ἰσοδυναμικῶν σημείων	134
Μέθοδος τῶν τάσεων	139
Έπίλυσις κυκλώματος διὰ μετασχηματισμοῦ	144
Γειώσεις καὶ πυκνωταὶ	147
Κύκλωμα μὲ μίαν γείωσιν	147
Κύκλωμα μὲ περισσοτέρας τῆς μιᾶς γειώσεως	148
Κύκλωμα Σ.Ρ. μὲ πυκνωτάς	152
Ήλεκτρικαὶ μετρήσεις	156
Βολτόμετρον	156
Άμπερόμετρον	158
Γαλβανόμετρον	159
Γέφυρα wheatstone	163
Βρόχος τοῦ Murray	165
Μέθοδος ἀντισταθμίσεως	166
Άντι - ΗΕΔ	167
Κινητῆρες	167
Βολτάμετρα	168
Προβλήματα βολταμέτρων	168
Ίσχύς	174
Όρισμοὶ	174
Μεγίστη ἰσχύς	179
4 Θεωρήματα διὰ τὰ μέγιστα καὶ ἐλάχιστα	183
ΗΛΕΚΤΡΟΜΑΓΝΗΤΙΣΜΟΣ - ΕΠΑΓΩΓΗ	185
Μαγνητικόν πεδίων	185
Βασικαὶ ἔννοιαι	185
Ό νόμος τοῦ Laplace	190
Ό θεμελιώδης νόμος τῶν Biot καὶ Savart	191

ΟΤΟΜΑΝΙΚΗ

Η Οθωμανική Αυτοκρατορία, που ιδρύθηκε το 1299, έγινε η μεγαλύτερη ισλαμική αυτοκρατορία της ιστορίας. Ήταν η πρώτη που ενέταξε στην διοίκησή της και χριστιανικούς λαούς. Η αυτοκρατορία έφθασε στο απόγειό της κατά τον 16ο αιώνα, με τον σουλτάνο Σελίμ Β΄ και τον σουλτάνο Σουλταϊμ Β΄. Ο Σουλταϊμ Β΄, ονομαζόμενος ο Μεγάλος, επέκτεινε την αυτοκρατορία στην Ευρώπη, στην Ασία και στην Αφρική. Η Οθωμανική Αυτοκρατορία ήταν η κυρίαρχη δύναμη στον κόσμο κατά τον 16ο και 17ο αιώνα.

Η Οθωμανική Αυτοκρατορία ήταν μια αυτοκρατορία με πολυεθνοτική και πολυθρησκευτική δομή. Οι χριστιανοί υπήκοοι της αυτοκρατορίας ήταν οργανωμένοι σε κοινότητες, οι οποίες διοικούσαν τον πληθυσμό τους σύμφωνα με τους δικούς τους νόμους. Η αυτοκρατορία ήταν μια αυτοκρατορία με κεντρική διοίκηση, η οποία διοικούσε την αυτοκρατορία μέσω των βεηλιών. Τα βεηλίκια ήταν διοικητικές μονάδες, οι οποίες διοικούσαν τον πληθυσμό τους σύμφωνα με τους δικούς τους νόμους.

Η Οθωμανική Αυτοκρατορία ήταν μια αυτοκρατορία με κεντρική διοίκηση, η οποία διοικούσε την αυτοκρατορία μέσω των βεηλιών. Τα βεηλίκια ήταν διοικητικές μονάδες, οι οποίες διοικούσαν τον πληθυσμό τους σύμφωνα με τους δικούς τους νόμους. Η αυτοκρατορία ήταν μια αυτοκρατορία με κεντρική διοίκηση, η οποία διοικούσε την αυτοκρατορία μέσω των βεηλιών. Τα βεηλίκια ήταν διοικητικές μονάδες, οι οποίες διοικούσαν τον πληθυσμό τους σύμφωνα με τους δικούς τους νόμους.

Η Οθωμανική Αυτοκρατορία ήταν μια αυτοκρατορία με κεντρική διοίκηση, η οποία διοικούσε την αυτοκρατορία μέσω των βεηλιών. Τα βεηλίκια ήταν διοικητικές μονάδες, οι οποίες διοικούσαν τον πληθυσμό τους σύμφωνα με τους δικούς τους νόμους. Η αυτοκρατορία ήταν μια αυτοκρατορία με κεντρική διοίκηση, η οποία διοικούσε την αυτοκρατορία μέσω των βεηλιών. Τα βεηλίκια ήταν διοικητικές μονάδες, οι οποίες διοικούσαν τον πληθυσμό τους σύμφωνα με τους δικούς τους νόμους.

Η Οθωμανική Αυτοκρατορία ήταν μια αυτοκρατορία με κεντρική διοίκηση, η οποία διοικούσε την αυτοκρατορία μέσω των βεηλιών. Τα βεηλίκια ήταν διοικητικές μονάδες, οι οποίες διοικούσαν τον πληθυσμό τους σύμφωνα με τους δικούς τους νόμους. Η αυτοκρατορία ήταν μια αυτοκρατορία με κεντρική διοίκηση, η οποία διοικούσε την αυτοκρατορία μέσω των βεηλιών. Τα βεηλίκια ήταν διοικητικές μονάδες, οι οποίες διοικούσαν τον πληθυσμό τους σύμφωνα με τους δικούς τους νόμους.

Η Οθωμανική Αυτοκρατορία ήταν μια αυτοκρατορία με κεντρική διοίκηση, η οποία διοικούσε την αυτοκρατορία μέσω των βεηλιών. Τα βεηλίκια ήταν διοικητικές μονάδες, οι οποίες διοικούσαν τον πληθυσμό τους σύμφωνα με τους δικούς τους νόμους. Η αυτοκρατορία ήταν μια αυτοκρατορία με κεντρική διοίκηση, η οποία διοικούσε την αυτοκρατορία μέσω των βεηλιών. Τα βεηλίκια ήταν διοικητικές μονάδες, οι οποίες διοικούσαν τον πληθυσμό τους σύμφωνα με τους δικούς τους νόμους.

Ἐφαρμογαὶ εἰς ἀπλᾶ μαγνητικὰ πεδία	192
Σύνθετον μαγνητικὸν πεδίον	197
Ἡλεκτρομαγνητικαὶ δυνάμεις	210
Τάσις ἐξ ἐπαγωγῆς	219
Κίνησις ἀγωγοῦ ἐντὸς μαγνητικοῦ πεδίου.....	219
Κίνησις εὐθυγράμμου ἀγωγοῦ.....	219
Κίνησις πλαισίου	225
Μεταβολὴ τοῦ μεγέθους τοῦ πεδίου	229
Μεταβολὴ τῆς ἐντάσεως τοῦ ρεύματος.....	229
Εἰσαγωγή ὕλικου ἐντὸς τοῦ πεδίου	231
ΔΥΝΑΜΙΚΗ ΤΟΥ ΗΛΕΚΤΡΟΝΙΟΥ	235
Γενικὰ	235
Κίνησις ε ἐντὸς ὁμογενοῦς ἠλεκτρικοῦ πεδίου	236
Κίνησις ε ἐντὸς ὁμογενοῦς μαγνητικοῦ πεδίου	243
Κίνησις ε ἐντὸς συνδεδιασμένου ἠλεκτρικοῦ καὶ μαγνητικοῦ πεδίου	249
Πεδία ὁμογενῆ καὶ παράλληλα.....	249
Πεδία ὁμογενῆ καὶ κάθετα	253
ΕΝΑΛΛΑΣΣΟΜΕΝΑ ΡΕΥΜΑΤΑ	259
Κυκλώματα ἐναλλασσομένου	259
Βασικαὶ ἔννοιαι.....	259
Μέθοδοι ἐπιλύσεως κυκλωμάτων E.P.	262
Γεωμετρικὴ μέθοδος.....	262
Μέθοδος τάσεων ρευμάτων.....	268
Τριγωνομετρικὴ μέθοδος.....	276
ΓΕΝΙΚΑΙ ΑΣΚΗΣΕΙΣ ΕΠΑΝΑΛΗΨΕΩΣ	279

στατικός ήλεκτρισμός

1. ηλεκτροστατικόν πεδίων

● Ὡς ηλεκτροστατικόν πεδίων χαρακτηρίζομεν τόν χῶρον:

α. Ἐντός τοῦ ὁποίου ἀσχοῦνται ἐπί ἠλεκτρικῶν φορέων, εἰς τό αὐτό σημεῖον χρονικῶς σταθεραί δυνάμεις καί

β. Ἔχει ἠλεκτρικήν ἀγωγμότητα μηδέν.

Τό ηλεκτροστατικόν πεδίων εἶναι ἕνα διανυσματικόν ἀστρόβιλον δυναμικόν πεδίων.

Διά νά παραχθῇ ἕν ηλεκτροστατικόν πεδίων πρέπει νά ὑπάρχη μία τουλάχιστον "πηγή" δηλαδή ἕνα φορτίον Q . Ἐάν τό φορτίον Q δύναται νά θεωρηθῇ σημειῶδες τό πεδίων χαρακτηρίζεται τότε ὡς πεδίων COULOMB.

Διά νά γίνῃ ἀντιληπτόν τό πεδίων πρέπει νά εἰσαχθῇ ἐντός αὐτοῦ ὁ κατάλληλος "φορεύς", ἐπί τοῦ ὁποίου θά ἀσηθῇ, ἡ δύναμις. Ὁ "φορεύς" εἶναι φορτισμένον σωματίδιον.

1.1. βασικαί ἔννοιαι

● Ὅριζομεν ὡς ἔντασιν τοῦ ηλεκτροστατικοῦ πεδίου εἰς ἕν σημεῖον A αὐτοῦ, ἕν διανυσματικόν μέγεθος τό ὁποῶν ἔχει μέτρον τό σταθερόν πηλίκον τοῦ μέτρου τῆς δυνάμεως F , ἣτις ἀσχεῖται ἐπί τινος ἠλεκτρικοῦ φορέως φερομένου εἰς τό σημεῖον A , διά τοῦ φορτίου τούτου, θεωρουμένου ἀπείρως μικροῦ. Διεύ-

θυνσις τῆς ἐντάσεως ὀρίζεται ἢ διεύθυνσις τοῦ διανύσματος τῆς δυνάμεως καί φορά τῆς ἐντάσεως, συμβατικῶς, ὀρίζεται ἢ φορά τῆς δυνάμεως πού ἀσιεῖται ἐπί θετικοῦ ἠλεκτρικοῦ φορέως.

$$\text{"Ητοι: } \vec{E} = \frac{\vec{F}}{+q}$$

● Καλοῦμεν Ἡλεκτρικάς δυναμικάς γραμμάς, τὰς γραμμάς μέ τὰς κάτωθι ιδιότητας:

α. (ΒΑΣΙΚΗ). Εἰς κάθε σημεῖον αὐτῶν, τό διάνυσμα τῆς ἐντάσεως ἔχει φορέα τήν ἐφαπτομένην των εἰς τό ἐν λόγῳ σημεῖον.

β. Εἶναι ἀνοικταί, δηλ. ἔχουν ἀρχήν καί πέρας. Ἐναβλύζουσι ἢ καταδύονται εἰς ἠλεκτρόδια* χωρίς νά συνεχίζονται ἐντός αὐτῶν.

γ. Ἐναβλύζουσι καί καταδύονται καθέτως εἰς τὰ ἠλεκτρόδια.

δ. Ἐχουσι φοράν. Ἐναβλύζουσι ἀπό θετικά ἠλεκτρόδια καί καταδύονται εἰς ἀρνητικά (ἐκπηγάζουσι ἀπό θετικά φορτία καί ἀπολήγουσι εἰς ἀρνητικά).

Ἐκ τῶν ἀνωτέρω ιδιοτήτων ἀπορρέει ὅτι:

α. Αἱ ἠλεκτρικάι δυναμικάι γραμμάι οὐδέποτε τέμνονται.

β. Αἱ ἠλεκτρ. δυναμικάι γραμμάι παρέχουσι τήν διεύθυνσιν καί τήν φοράν τῆς ἐντάσεως τοῦ πεδίου E .

* Ἐάν δέ συμφωνήσωμεν καί δεχόμεθα ὅτι: Δι' ἐπιφανείας ἐμβαδοῦ ἴσου πρὸς τήν μονάδα, λαμβανομένης καθέτως πρὸς τήν ἐντάσιν τοῦ πεδίου, νά διέρχωνται τόσαι δυναμικάι γραμμάι, ὅσον τό μέτρον τῆς ἐντάσεως τοῦ πεδίου, ἢ ἀπεικόνισις τοῦ πεδίου διὰ τῶν δυναμικῶν γραμμῶν, παρέχει καί τό μέτρον τῆς ἐντάσεως αὐτοῦ.

* Ἡλεκτρόδιον: Καλεῖται κάθε ἀγώγιμον σῶμα κείμενον ἐντός ἠλεκτρικοῦ πεδίου.

Κάθε ἠλεκτρόδιον ἐντός ἠλεκτροστατικοῦ πεδίου εἶναι ἰσοδυναμικός χώρος (δηλ. ἐντός αὐτοῦ $E=0$).

● Δυναμικόν U εἰς ἓν σημειῶν A τοῦ πεδίου καλεῖται: τό σταθερόν πηλίκον τοῦ ἔργου W_{∞} τό ὁποῖον παράγεται ἢ δαπανᾶται κατά τήν μετακίνησιν τοῦ τυχόντος σημειῶδους φορτίου q ἀπό τό σημειῶν A μέχρι τοῦ ἀπείρου, διά τοῦ φορτίου τούτου, θεωρουμένου ἀπείρως μικροῦ. $U = \frac{W_{\infty}}{q}$

Τό ἔργον W_{∞} θεωρεῖται θετικόν ἐφ' ὅσον τό q ἀπωθεῖται ὑπό τοῦ πεδίου πρὸς τό ἄπειρον*.

Τό δυναμικόν εἶναι μονόμετρον μέγεθος.

Περίπτωσης I: Τό πεδίων ὀφείλεται εἰς ἓν σημειῶδες φορτίον Q .

Τυχόν σημειῶδες φορτίον φερόμενον εἰς τό σημειῶν A	"Ἔργον W_{∞} παραγόμενον ἢ δαπανόμενον	Δυναμικόν $U = \frac{W_{\infty}}{q}$	Φορτίον εἰς ὃ ὀφείλεται τό πεδίων: Q
+	+	+	+
+	-	-	-
-	+	-	-
-	-	+	+

*Ἐκ τοῦ ἀνωτέρω πίνακος ἐξάγεται ὅτι:

α. Τό δυναμικόν U_A εἰς κάθε σημειῶν τοῦ πεδίου ἔχει τό πρόσημον τοῦ φορτίου Q .

β. Τό δυναμικόν U_A δέν ἐξαρτᾶται ἀπό τό μέγεθος ἢ τό πρόσημον τοῦ q , ἀρκεῖ τοῦτο νά θεωρῆται πολὺ μικρόν.

Τό δυναμικόν εἰς σημειῶν A πεδίου, ὀφειλομένου εἰς σημειῶδες φορτίον Q δίδεται ἀπό τὰς σχέσεις:

* Ἀναφέροντες "ἄπειρον" νοοῦμεν τήν ἀπομακρυσμένην ἐκ τοῦ φορτίου περιοχὴν ἐντὸς τῆς ὁποίας ἡ ἔντασις τοῦ πεδίου τείνει νά μηδενισθῇ.

$$U_A = \frac{1}{\epsilon} \cdot \frac{Q}{r} \quad (\text{ΗΣΣΜ}) \quad U_A = \frac{1}{4\pi\epsilon_0\epsilon} \cdot \frac{Q}{r} \quad (\text{MKSAr})$$

Περίπτωσης II: Τό πεδύον όφείλεται είς περισσότερα του ένος φορτία.

Τό δυναμικόν είς σημείον Α θά εΐναι τό άλγεβρικόν άθροισμα τών δυναμικών έξ ένος έκάστου τών φορτίων (Βλέπε έφαρμογήν είς 1.2).

● "Πυκνωτής καλεΐται σύστημα δύο άγωγών, έντός μονωτικού μέσου, μεταξύ τών όποίων έμφανίζεται όλική ήλεκτροστατική έπίδρασις.

Διά κάθε πυκνωτήν ίσχύει ή πειραματική σχέση: $Q = C \cdot V$ όπου C σταθερά άναλογίας, χαρακτηριστική τής διατάξεως, καλουμένη "χωρητικότητα του πυκνωτού" καί έξαρτωμένη έκ τών γεωμετρικών στοιχείων τής διατάξεως καί τας φυσικάς ιδιότητες του ένδιαμέσου χώρου.

● Καλουμέν σχετικήν διηλεκτρικήν σταθεράν ένος διηλεκτρικόν σταθερόν λόγον τών χωρητικότητων πού παρούσιάζει έπίπεδος πυκνωτής όταν ό μεταξύ τών όπλισμώνχώρος πληροΐται υπό του διηλεκτρικού καί όταν εΐναι κενός. "Ητοι: $\epsilon = \frac{C}{C_0}$

● Καλεΐται ίσοδύναμος χωρητικότης συστήματος πυκνωτών, ή χωρητικότης ένος πυκνωτού ό όποιος υπό τήν τάσιν του συστήματος συγκρατεΐ ίσον μέ αυτό φορτίον.

● Άρχή άφθαρσίας του φορτίου:

"Τό όλικόν φορτίον ήλεκτρικώς μεμονωμένου συστήματος παραμένει σταθερόν".

"Ήλεκτρικώς μεμονωμένον" θά όνομάζωμεν τό σύστημα πού δέν επιδέχεται οΐδεμίαν άνταλλαγήν φορτίου μέ τό περιβάλλον του.

ΠΙΝΑΚ 1. ΜΕΤΕΘΗ ΗΛΕΚΤΡΙΣΜΟΥ
ΣΥΜΒΟΛΑ - ΜΟΝΑΔΕΣ - ΔΙΑΣΤΑΣΕΙΣ

Α/Α	ΜΕΤΕΘΟΣ	ΣΥΜΒΟΛΟΝ	ΤΥΠΟΣ ΟΡΙΣΜΟΥ		ΜΟΝΑΔΕΣ		Σχέσεις μονάδων * * *	ΔΙΑΣΤΑΣΕΙΣ	
			ΗΣΜ	ΜΚΣΑ ρ	ΗΣΜ	ΜΚΣΑ ρ		ΗΣΜ	ΜΚΣΑ ρ
1	'Ηλεκτρικόν φορτίον	Q, q	$F = \frac{1}{\epsilon} \frac{Q_1 Q_2}{r^2}$	$Q = i \cdot t$	1 ΗΣΜ - φ	1 Cb	$1Cb \Rightarrow 3 \cdot 10^9$ ΗΣΜ - φ	$\frac{3}{2}, \frac{1}{2}, -1$	0, 0, 1, 1
2	Δυναμικόν, Ηλεκκιτάσις	U, V, E	$V = \frac{W}{q}$	$V = \frac{W}{q}$	1 ΗΣΜ - δ.δ	1 V	$1V \Rightarrow \frac{1}{300}$ ΗΣΜ-δ.δ	$\frac{1}{2}, \frac{1}{2}, -1$	2, 1, -3, -1
3	'Ενταση Ηλεκ. πεδίου	E	$E = \frac{F}{q}$	$E = \frac{V}{l}$	1 ΗΣΜ-έντ.π.	$\frac{V}{m}$	$1V \Rightarrow \frac{1}{3} \cdot 10^{-4}$ ΗΣΜ-έν.π.	$\frac{1}{2}, \frac{1}{2}, -1$	1, 1, -3, -1
4	'Ηλεκτρική ροή	φ	φ=ESυνφ	φ = Q	1 ΗΣΜ- Ροής	1 Cbρ	$1Cb\rho \Rightarrow 12\pi \cdot 10^6$ ΗΣΜ-ρ.	$\frac{3}{2}, \frac{1}{2}, -1$	0, 0, 1, 1
5	Χωρητικότητα	C	$C = \frac{Q}{V}$	$C = \frac{Q}{V}$	1 ΗΣΜ - X	1 F	$1F \Rightarrow 9 \cdot 10^{11}$ ΗΣΜ - X	1, 0, 0	-2, -1, 4, 2
6	'Ενταση ρεύμ.	I, i	*	*	1 A				0, 0, 0, 1
7	'Αντίστασ. άγωγ.	R, ρ	$R = \frac{V}{I}$	$R = \frac{V}{I}$	1 Ω				2, 1, -3, -2
8	Ειδ.άντιστασ.	ρ	$R = \rho \frac{l}{S}$		1 Ω.μ				3, 1, -3, -2
9	Σχετική διηλ. σταθερά	ε	$\epsilon = \frac{C}{C_0}$	$\epsilon = \frac{C}{C_0}$				0, 0, 0	0, 0, 0, 0
10	θεμελ. διηλ. στ.του κενού	ε ₀	** $\epsilon_0 = 8,86 \cdot 10^{-12}$			$\frac{Cb}{V.m}$		0, 0, 0	-3, -1, 4, 2

ΜΚΣΑρ : Τό όρθολογισμένον ΜΚΣΑ.

* : 'Η έντασις ρεύματος εις τό Μ.Κ.Σ.Α.ρ εΐναι θεμελιώδης μέγεθος.

** : 'Η θεμελιώδης διηλεκτρική σταθερά του κενού εις τό ΗΣΜ (CGS-e.s.u) εΐναι έξι όρισμού άδιάστατον μέγεθος καί χάριν αλόγιστου έου συστήματα εις ζείες διαστάσεις.

***:Είς την στήλην "Σχέσεις μονάδων" άντί του συμβόλου = έτέθη τό σύμβολον \Rightarrow άφοϋ τά άντίστοιχα μέγεθη δέν έχουν εις τά δύο συστήματα εις ζείες διαστάσεις.

ΠΙΝΑΚ 2. ΤΥΠΟΙ ΣΤΑΤΙΚΟΥ ΗΛΕΚΤΡΙΣΜΟΥ

Αιτιολογία τύπου	Τύπος ανεξάρτητος συστήματος	Τύποι εξαρτώμενοι έκ του συστήματος		Παρατηρήσεις
		ΗΣΣΜ	ΜΚΣΑΡ*	
Νόμος Coulomb				
*Ένταση ηλεκτροστατικού πεδίου εις έν σημείον Α αυτού	$E_A = \frac{F}{q}$	$F = \frac{1}{\epsilon} \cdot \frac{Q_1 Q_2}{r^2}$	$F = \frac{1}{4\pi\epsilon_0} \cdot \frac{Q_1 Q_2}{r^2}$	σφαιρική συμμετρία
*Ένταση ηλεκτροστατικού πεδίου εις απόστασιν r από κεντρικόν φορτίον Q		$E = \frac{1}{\epsilon} \cdot \frac{Q}{r^2}$	$E = \frac{1}{4\pi\epsilon_0} \cdot \frac{Q}{r^2}$	σφαιρική συμμετρία
*Ηλεκτρική ροή δι' επιπέδου έκτανεύ- ας εις όμογενές πεδίου		$\Phi = ES_{\text{ουφ}}$	$\Phi = \epsilon_0 ES_{\text{ουφ}}$	
Δυναμικόν εις σημείον Α του πεδίου	$U_A = \frac{W_{\infty, \infty}}{q}$			
*Έργον κατά τήν μετακίνησιν φορτίου	$W = q(U_1 - U_2)$			
Δυναμικόν εις απόστασιν r από κεν- τρικόν φορτίον Q		$U = \frac{1}{\epsilon} \cdot \frac{Q}{r}$	$U = \frac{1}{4\pi\epsilon_0} \cdot \frac{Q}{r}$	σφαιρική συμμετρία
*Ένταση όμογενούς ηλεκτρικού πεδίου	$E = \frac{V}{l}$			
Χωρητικότης άγωγού	$C = \frac{Q}{U}$			
Χωρητικότης σφαιρας		$C = \epsilon R$	$C = 4\pi\epsilon_0 R$	σφαιρική συμμετρία
Χωρητικότης κυκλωτού	$C = \frac{Q}{V}$			
Χωρητικότης επιπέδου κυκλωτού		$C = \epsilon \cdot \frac{S}{4\pi} \cdot \frac{1}{l}$	$C = \epsilon \epsilon_0 \frac{S}{l}$	
Χωρητικότης σφαιρικού κυκλωτού		$C = \epsilon \frac{R_1 R_2}{R_1 - R_2}$	$C = 4\pi\epsilon_0 \frac{R_1 R_2}{R_1 - R_2}$	σφαιρική συμμετρία
*Ενέργεια κυκλωτού	$W = \frac{1}{2} QV$			
Παράλληλος σύνδεσις κυκλωτών	$U_0 = U_1 = U_2 =$ $Q_0 = Q_1 + Q_2 + \dots$ $C_0 = C_1 + C_2 + \dots$			
Σύνδεσις κυκλωτών έν σειρά	$Q_0 = Q_1 = Q_2 =$ $U_0 = U_1 + U_2 + \dots$ $\frac{1}{C_0} = \frac{1}{C_1} + \frac{1}{C_2} + \dots$			

* Εάν εις τοίς τύποις του ΜΚΣΑΡ μέ τόν παράγοντα 4π θέσωμεν όπου ϵ_0 τό $\frac{1}{4\pi}$ προκύπτουν άμέσως οι άντίστοιχοι τύποι του ΗΣΣΜ.

** Έκ τών τύπων του ΗΣΣΜ του περιέχουν τήν διηλεκτρικήν σταθεράν ε προκύπτουν οι άντίστοιχοι του ΜΚΣΑΡ διά πολλαπλασιασμού

1.2. βασικά πεδιακά θέματα

★ Έντός κοίλης σφαίρας $R = 10\text{cm}$ έχουσης όπήν άνωθεν πίπτουν σταγόνες ήλεκτρισμένοι εις δυναμικόν 600 Volts . Η άκτίς έκάστης σταγόνος είναι $r = 2\text{ mm}$. Νά εύρεθῆ τό δυναμικόν τῆς σφαίρας όταν αύτη πληρωθῆ.

Γεωπ. Σχ . Θεσ/νίκης

Έστω η ό αριθμός τών σταγόνων, ό άπαιτούμενος διά τήν πλήρωσιν τῆς σφαίρας

$$\eta = \frac{\theta}{\vartheta} = \frac{\frac{4}{3} \pi R^3}{\frac{4}{3} \pi r^3} = \frac{R^3}{r^3} \quad (1)$$

όπου θ καί ϑ , οί όγκοι τῆς σφαίρας καί τῆς σταγόνος αντίστοιχως. Τό όλικόν φορτίον τῆς σφαίρας θά είναι τότε:

$$Q = \eta \cdot q \quad (2)$$

όπου q τό φορτίον τῆς σταγόνος μέ

$$q = C_{\sigma\tau.} \cdot U_{\sigma\tau.} = r \cdot U_{\sigma\tau.} \quad (3)$$

$$\text{άλλά} \quad U_{\sigma\varphi.} = \frac{Q}{R} \quad (4)$$

έκ τών άνωτέρω έπεται:

$$U_{\sigma\varphi.} = \frac{R^2}{r^2} \cdot U_{\sigma\tau.} = 1500\text{KV} = 1,5\text{MV} \quad \blacktriangleleft$$

★ Δύο σφαιρικοί άγωγοί έχουν ό μέν A , $r_1 = 10\text{ cm}$ καί $U_1 = 500\text{ V}$ ό δέ B , $r_2 = 15\text{ cm}$ καί $U_2 = 1500\text{ V}$. Συνδέονται

διά σύρματος και ζητούνται:

α) Ἡ κοινή τιμὴ τοῦ δυναμικοῦ τοῦ συστήματος τῶν δύο ἀγωγῶν.

β) Ἡ συνολικὴ ἐνέργεια τῶν ἀγωγῶν πρό καὶ μετὰ τὴν συνδεσιν διά τοῦ σύρματος.

γ) Πῶς ἐξηγεῖται ἡ μεταβολὴ ἐνεργείας.

E.M.Π. 51

α) Ἐστω U_K ἡ κοινή τιμὴ τοῦ δυναμικοῦ

$$U_K = \frac{Q'_1}{C_1} = \frac{Q'_2}{C_2} = \frac{Q'_1 + Q'_2}{C_1 + C_2} \quad (1)$$

$$\text{ἀλλὰ } C_1 = r_1 \quad \text{καὶ} \quad C_2 = r_2 \quad (2)$$

κατὰ τὴν ἀρχὴ διατηρήσεως τοῦ φορτίου

$$Q'_1 + Q'_2 = Q_1 + Q_2 = C_1 U_1 + C_2 U_2 = r_1 U_1 + r_2 U_2 \quad (3)$$

ἐκ τῶν (1), (2), (3)

$$U_K = \frac{r_1 U_1 + r_2 U_2}{r_1 + r_2} = 1100 \text{ V}$$

$$\beta) W_{\text{ολ.}} = W_1 + W_2 = \frac{1}{2} C_1 U_1^2 + \frac{1}{2} C_2 U_2^2 = \frac{1}{2} [r_1 U_1^2 + r_2 U_2^2] = 201 \text{ erg}$$

$$\begin{aligned} W'_{\text{ολ.}} &= W'_1 + W'_2 = \frac{1}{2} C_1 U_K^2 + \frac{1}{2} C_2 U_K^2 = \frac{1}{2} U_K^2 \cdot (C_1 + C_2) = \\ &= \frac{1}{2} \cdot \frac{(r_1 U_1 + r_2 U_2)^2}{r_1 + r_2} = 168 \text{ erg} \end{aligned}$$

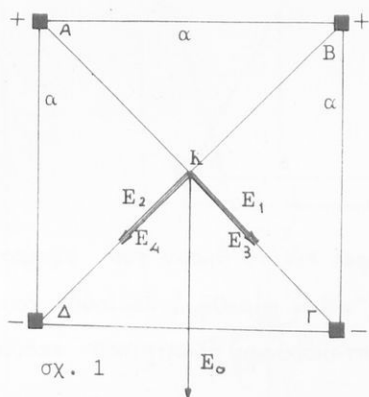
γ) Ἡ ἀπώλεια ἐνεργείας $\Delta W = W_{\text{ολ.}} - W'_{\text{ολ.}} = 33 \text{ erg}$ εἶναι ἡ παραχθεῖσα θερμότης.



Δίδεται τετράγωνον ΑΒΓΔ πλευρᾶς $a = 4 \text{ cm}$. Εἰς τὰς

κορυφάς αὐτοῦ A, B, Γ, Δ ὑπάρχουν φορτία +100, +100, -100 καί -100 ΗΣΜ-φορ.

Νά εὑρεθῆ ἡ ἔντασις τοῦ πεδίου εἰς τό κέντρον τοῦ τετραγώνου.



σχ. 1

Μαθηματική 58.

Τό πεδίου εἰς τό Κ ὀφείλεται εἰς τά τέσσαρα φορτία. Ἡ ὀλική ἔντασις E_0 εἶναι τό διανυσματικόν ἄθροισμα τῶν E_1, E_2, E_3 καί E_4 ἀλλά $E_1 = E_2 = E_3 = E_4 = \frac{2Q}{\alpha^2}$

Συνεπῶς:

$$E_0 = \frac{4\sqrt{2}Q}{\alpha^2} = 25\sqrt{2} \text{ ΗΣΜ} - \text{έντ. πεδ. (σχ. 1)} \blacktriangleleft$$

★ Εἰς τάς κορυφάς A καί B ἰσοπλεύρου τριγώνου εὑρίσκονται τά φορτία $q_1 = 10^{-8} \text{ Cb}$ καί $q_2 = -10^{-8} \text{ Cb}$.

Ἡ πλευρά τοῦ τριγώνου εἶναι 6 cm.

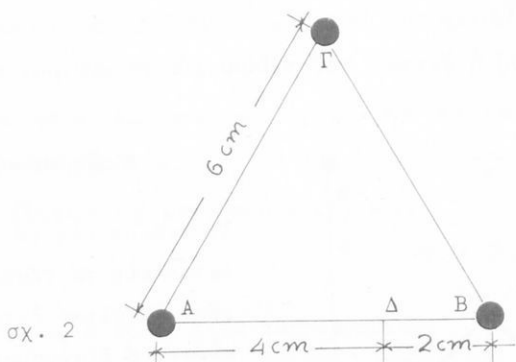
α) Ποῶν τό δυναμικόν εἰς τό Γ.

β) Ποῶν τό καταναλισκόμενον ἔργον ἵνα φορτίον $q_3 = 10^{-9} \text{ Cb}$ μεταφερθῆ ἀπό τό Γ εἰς τό Δ (σχ. 2). Εἶναι (ΑΔ) = 4cm.

$$\alpha) U_{\Gamma} = \frac{q_1}{(A\Gamma)} - \frac{q_2}{(\Gamma B)} = 0 \blacktriangleleft$$

$$\beta) U_{\Delta} = \frac{q_1}{(A\Delta)} - \frac{q_2}{(\Delta B)} = -7,5 \cdot \text{ΗΣΜ} - \Delta = -2,25 \cdot 10^3 \text{ V.} \blacktriangleleft$$

$$W_{\Gamma\Delta} = q_3 \cdot (U_{\Gamma} - U_{\Delta}) = 2,25 \cdot 10^{-6} \text{ Joules}$$



★ Έγκρεμές μήκους l φέρει εἰς τὸ ἄκρον του σφαίραν μάζης m με ἠλεκτρικὸν φορτίον q . Νά εὐρεθῇ ἡ περίοδος του, ὅταν αἰωρηθῆι ἐντὸς ὁμογενοῦς κατακορύφου ἠλεκτρικοῦ πεδίου ἐντάσεως E διευθυνομένου :

- α) Ἐκ τῶν κάτω πρὸς τὰ ἄνω καὶ
β) Ἐκ τῶν ἄνω πρὸς τὰ κάτω (σχ. 3)

α) Ἐπὶ τοῦ φορτισμένου σφαιριδίου ἀσκεῖται ἡ $F = E \cdot q$
Ἡ δύναμις ἐπαναφορᾶς εἶναι :

$$F_{\epsilon} = (B - F) \eta\mu\phi = \frac{B - E \cdot q}{l} \cdot x = D \cdot x$$

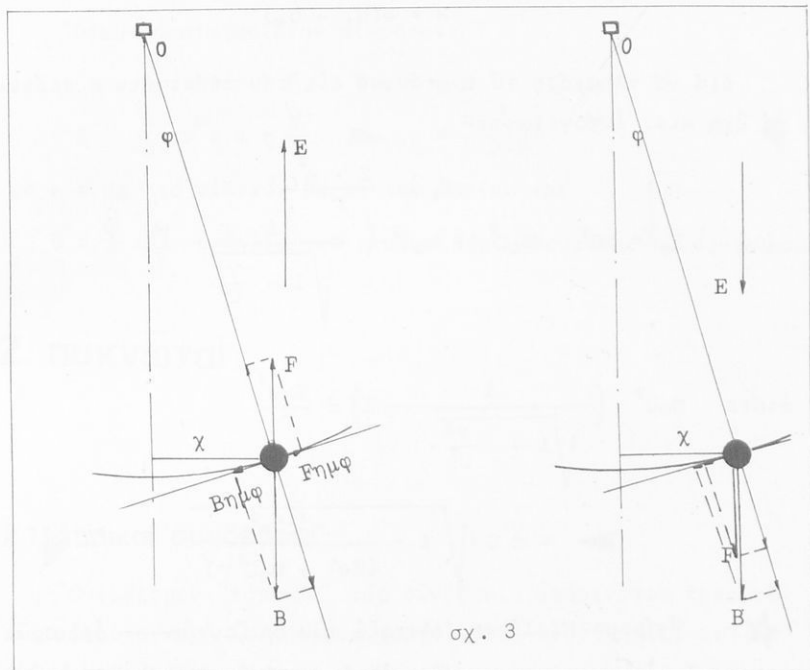
καὶ διὰ $\phi \leq 4^\circ$ τὸ σφαιρίδιον ἐκτελεῖ γραμ. ἄρμ. ταλάντωσιν με περίοδον T :

$$T = 2\pi \cdot \sqrt{\frac{m}{D}} = 2\pi \cdot \sqrt{\frac{ml}{mg - E \cdot q}}$$

β) Εἰς τὴν περίπτωσιν αὐτὴν ἡ δύναμις ἐπαναφορᾶς εἶναι :

$$F'_{\epsilon} = (B + F) \eta\mu\phi = \frac{B + F}{l} \cdot x = D' \cdot x$$

$$T' = 2\pi \sqrt{\frac{m}{D'}} = 2\pi \sqrt{\frac{1m}{mg + E \cdot q}}$$



★ Ποίαν ταχύτητα πρέπει να έχει πρωτόνιον ώστε εις κεντρικήν κρούσιν με άτομον οὐρανίου ($Z = 92$) να δύναται να πλησιάση εις απόστασιν $r = 4 \cdot 10^{-10}$ cm από του πυρήνος.

Στοιχειώδες ήλ. φορτίον e , μάζα ήρεμίας πρωτονίου m_0 , ταχύτης φωτός c .

Τό δυναμικόν του πεδίου περί τον πυρήνα του ατόμου του οὐρανίου εις την απόστασιν r είναι:

$$U_1 = \frac{Z \cdot e}{r} \quad (\text{εις ΗΣΣΜ})$$

Ένψ εις πολύ μεγάλην απόστασιν είναι $U_\infty = 0$.

Τό πεδίου κατά τήν μετακίνησιν αὐτήν δαπανᾷ ἔργον:

$$W = e(U_1 - U_\infty)$$

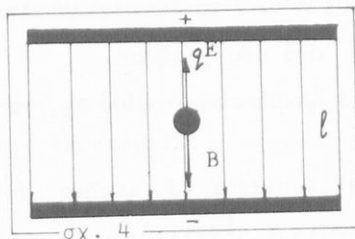
Διά νά πλησιάσῃ τό πρωτόνιον εἰς τήν ἀπόστασιν r πρέπει νά ἔχη κιν. ἐνέργειαν.

$$\text{ἀλλά } E_k = mc^2 - m_0c^2 = m_0c^2 \cdot \left(\frac{1}{\sqrt{1 - \frac{v^2}{c^2}}} - 1 \right)$$

$$\text{ὁπότε } m_0c^2 \left(\frac{1}{\sqrt{1 - \frac{v^2}{c^2}}} - 1 \right) \geq \frac{Z \cdot e^2}{r}$$

$$\blacktriangleright v \geq c \cdot \sqrt{1 - \frac{m_0^2 c^4 r^2}{(Ze^2 + m_0 c^2 r)^2}} \blacktriangleleft$$

☆ Πείραμα Millikan. Μεταξύ τῶν ὀριζοντιῶν ὀπλισμῶν πυκνωτοῦ εἰσάγονται σταγονίδια ἐλαίου, τά ὁποῖα λόγω βάρους πίπτουν βραδέως. "Φωτίζομεν" δι' ἀκτίνων Röntgen καί ἰονίζο-



μεν τόν ἀέρα. Τά ἰόντα, προσκολλώμενα ἐπὶ τῶν σταγονιδίων, τά φορτίζουσι. Ἐφαρμόζοντες συνεχῆ τάσιν V εἰς τοὺς ὀπλισμούς τοῦ πυκνωτοῦ ἀναπτύσσομεν πεδίου τό ὁποῖον θά ἐξασκήσῃ δύναμιν F ὥστε ἓν σταγονίδιον νά αἰωρηθῇ (σχ. 4). Ἐάν ἐκ μετρήσεων εἶναι γνωστή ἡ ἀκτίς τοῦ σταγονιδίου καί ἡ ἀπόστασις l τῶν ὀπλισμῶν, νά εὑρεθῇ τό φορτίον

q του σταγονιδίου *

Όταν τό σταγονίδιον αιώρηται:

$$B = F^* \quad \eta \quad \theta \cdot \epsilon = q \cdot E$$

$$\eta \quad \frac{4}{3} \pi r^3 \epsilon = q \frac{V}{l} \quad \blacktriangleright \quad q = \frac{4\pi r^3 \epsilon l}{3 \cdot V} \quad **$$

μέ ε = dg τό είδικόν βάρος του έλαιού καί

$$\theta = \frac{4}{3} \pi r^3 \quad \text{ό όγκος του σταγονιδίου, θεωρουμένου σφαιρικού.}$$

2. ΠΥΚΝΩΤΑΙ

2.1, τυπικαί συνδέσεις

Όνομάζομεν "τυπικάς" τάς συνδέσεις άφορτίστων πυκνωτών είς τάς όποίας ή ίσοδύναμος χωρητικότης προσδιορίζεται άπ' εύθείας διά τών σχέσεων:

$$\frac{1}{C_0} = \frac{1}{C_1} + \frac{1}{C_2} + \dots \quad (1)$$

$$C_0 = C_1 + C_2 + \dots \quad (2)$$

Τήν (1) έφαρμόζομεν είς σύστημα πυκνωτών συνδεδεμένων έν σειρᾷ καί τήν (2) είς σύστημα πυκνωτών μέ παράλληλον σύνδεσιν.

* Η άνωσις θεωρεΐται άμελητέα

** Αί διάφοροι μετρήσεις έδωσαν διά τό q διάφορους τιμάς, αί όποΐαι εύρέθησαν όλαι άκέραια πολλαπλάσια μιᾶς έλαχίστης τιμῆς. Η τιμή αύτή ε είναι τό φορτίον του ήλεκτρονίου.

2.2. μέθοδος ισοδυνάμων συνδέσεων

Κατ'αυτήν τό δοθέν σύστημα μετασχηματίζεται διαδοχικῶς εἰς ἄλλα ἀπλούστερα ἰσοδύναμα μέσφ τῶν (1) καί (2). Συνιστάται διὰ κάθε μετασχηματισμόν ἐκτέλεσις νέου σχήματος.

★ Νά ὑπολογισθῇ ἡ χωρητικότης μεταξύ Α καί Β καθῶς καί τό φορτίον ἐκάστου πυκνωτοῦ εἰς τήν δοθεῖσαν συνδεσμολογίαν, (σχ. 5), ἄν ἡ μεταξύ Α καί Β τάσις γίνη V_0 .

Ἡ δοθεῖσα συνδεσμολογία μετασχηματίζεται διαδοχικῶς εἰς τάς (Α), (Β), (Γ) καί (Δ).

Ἐκ τοῦ μετασχηματισμοῦ προκύπτει ὅτι:

$$C_{23} = \frac{C_2 C_3}{C_2 + C_3} \quad (1)$$

$$C_{56} = \frac{C_5 C_6}{C_5 + C_6} \quad (2)$$

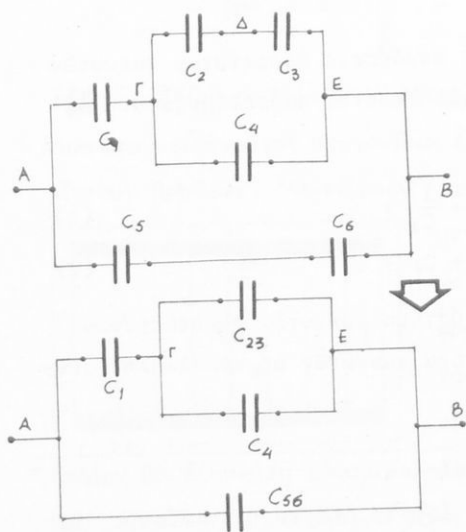
$$\begin{aligned} C_{234} &= C_{23} + C_4 = \\ &= \frac{C_2 C_3}{C_2 + C_3} + C_4 \end{aligned} \quad (3)$$

$$C_{1234} = \frac{C_{234} \cdot C_1}{C_1 + C_{234}}$$

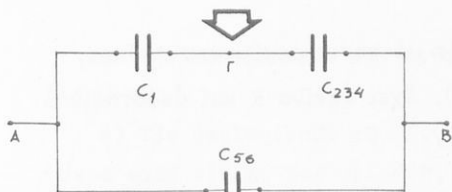
$$\text{ἢ } C_{1234} =$$

$$\begin{aligned} &= \frac{\left(\frac{C_2 C_3}{C_2 + C_3} + C_4 \right) \cdot C_1}{C_1 + \frac{C_2 \cdot C_3}{C_2 + C_3} + C_4} \quad (4) \end{aligned}$$

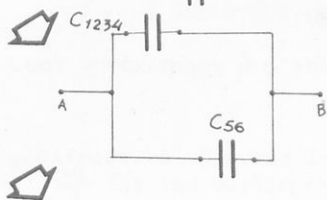
$$C_0 = C_{1234} + C_{56}$$



σχ. 5



$$\begin{aligned} \text{ή } C_0 &= \frac{(\frac{C_2 \cdot C_3}{C_2 + C_3} + C_4)C_1}{C_1 + \frac{C_2 \cdot C_3}{C_2 + C_3} + C_4} + \\ &+ \frac{C_5 C_6}{C_5 + C_6} \quad \blacktriangleleft \quad (5) \end{aligned}$$



Αι τάσεις και τα φορτία υπολογίζονται εκ του τέλους προς την αρχήν.



$$Q = C_0 V_0 \quad \blacktriangleleft \quad (6)$$

$$Q_{56} = C_{56} \cdot V_0 \quad (7)$$

και $Q_{1234} = C_{1234} \cdot V_0 \quad (8)$

άλλα $Q_5 = Q_6 = Q_{56} \quad \blacktriangleleft \quad (9)$

και $Q_{1234} = Q_1 = Q_{234} \quad \blacktriangleleft \quad (10)$

τότε: $V_1 = \frac{Q_1}{C_1} \quad (11)$

και $V_{234} = V_{23} = V_4 = V_0 - V_1 \quad (12)$

Συνεπώς: $Q_4 = (V_0 - V_1) C_4 \quad \blacktriangleleft \quad (13)$

Είναι όμως και

$$V_{23} = V_{234} = V_0 - V_1$$

οπότε $Q_{23} = Q_2 = Q_3 = V_{23} \cdot C_{23} \quad \blacktriangleleft \quad (14)$

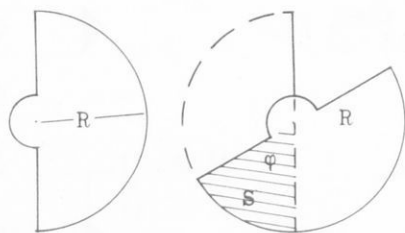
☆ Ἡμικυκλικός πυκνωτής με περιστρεφόμενες πλάκες, (μεταβλητός πυκνωτής ἐπιλογῆς), ἔχει ἀκτίνα R καί ἀπόστασιν ὀπλισμῶν d (σχ. 6).

Ἐστω ἀκόμη η ὁ ἀριθμός τῶν πλακῶν.

Νά ὑπολογισθῆ συναρτήσῃ τῆς γωνίας φ ἡ χωρητικότης του.

Τό σύστημα θεωρεῖται σύνδεσις $\eta-1$ πυκνωτῶν ἐν παραλλήλῳ μέ χωρητικότητα ἐκάστου:

$$C = \frac{\epsilon S}{4\pi d} \quad (\text{HΣΣΜ})$$



καί ἐπειδὴ ἐκ τῆς γεωμετρίας τοῦ σχήματος:

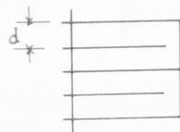
$$S = \frac{R^2 \varphi}{2}$$

$$C = \frac{\epsilon R^2 \varphi}{8\pi d}$$

ὁπότε $C_0 = (\eta - 1)C =$

$$= \frac{\epsilon R^2 \varphi}{8\pi d} \cdot (\eta - 1) \quad \blacktriangleleft$$

διὰ $\varphi = \pi$, ἡ C_0 γίνεται μεγίστη.



σχ. 6

2.3. ἀναλυτικὴ μέθοδος

Ἡ μέθοδος συνίσταται εἰς:

α) Τόν διαχωρισμὸν τῶν πυκνωτῶν εἰς ὁμάδας κατὰ τρόπον συνδέσεως.

β) Τὴν διάταξιν τῶν στοιχείων C, Q, V ἐκάστης ὁμάδος κατὰ σειράς καί στήλας.

Ἐκ τῆς διατάξεως αὐτῆς προκύπτουν οἱ ΠΙΝΑΚΕΣ ΣΤΟΙΧΕΙΩΝ.

γ) Τήν συμπλήρωσιν τῶν πινάκων μέ τά δεδομένα τοῦ προβλήματος.

δ) Τόν ὑπολογισμόν τῶν ἀγνώστων καί συμπλήρωσιν τῶν πινάκων κατά στήλην καί σειράν*, ἐκ τοῦ τέλους πρὸς τήν ἀρχήν.

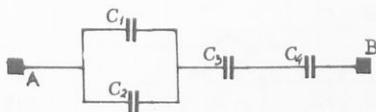
Τά κενά ὑπολογίζονται διὰ τῶν σχέσεων:

$$\frac{1}{C_0} = \frac{1}{C_1} + \frac{1}{C_2} + \dots$$

$$C_0 = C_1 + C_2 + \dots$$

$$Q = C \cdot V$$

★ Εἰς τήν συνδεσμολογίαν τοῦ σχ. 7 δίδονται $C_1 = 6 \mu\text{F}$,
 $C_2 = 4 \mu\text{F}$, $C_3 = 10 \mu\text{F}$ καί $C_4 = 20 \mu\text{F}$.



σχ.7

Διακρίνομεν τὰς ομάδας:

C_1 , C_2 μέ παράλληλον σύνδεσιν καί ἰσοδύναμον χωρητικότητα C^*

C_3 , C_4 καί C^* ἐν σειρᾷ μέ ἰσοδύναμον χωρητικότητα C_0 .

Εἰς τοὺς ἐν τῇ ἐπομένῃ σελίδι πίνακας, δι' ὑπογραμμῆς το-
 νίζομεν τὰ δεδομένα.

* Δεικνύομεν διὰ βέλους τό κοινόν μέγεθος. Τοῦτο εἶναι τό φορτίον εἰς τὰς ἐν σειρᾷ συνδέσεις καί ἡ τάσις εἰς τὰς ἐν παράλληλῳ. Εἰς τὰς ἐν σειρᾷ συνδέσεις πυκνωτῶν ἡ ὀλική τάσις εἶναι ἄθροισμα τῶν μερικῶν τάσεων δηλ. εἰς τήν στήλην τῶν τάσεων ἡ τάσις τοῦ ἰσοδυναμοῦ (ὀλική) εἶναι τό ἄθροισμα τῶν ἄνωθεν αὐτῆς (μερικῶν). Ἀνάλογον ἰσχύει διὰ τό φορτίον εἰς τήν ἐν παράλληλῳ σύνδεσιν.

A

ΠΙΝΑΚΕΣ ΣΤΟΙΧΕΙΩΝ

B

είς μF	είς V	είς μCb
$C_1 = 6$	$V_1 = 120$	$Q_1 = 720$
$C_2 = 4$	$V_2 = 120$	$Q_2 = 480$
$C^* = 10$	$V^* = 120$	$Q^* = 1200$

είς μF	είς V	είς μCb
$C^* = 10$	$V^* = 120$	$Q^* = 1200$
$C_3 = 10$	$V_3 = 120$	$Q_3 = 1200$
$C_4 = 20$	$V_4 = 60$	$Q_4 = 1200$
$C_0 = 4$	$V_0 = 300$	$Q_0 = 1200$

Διά τήν κατανόησιν τῆς μεθόδου ὑποδεικνύομεν τόν τρόπον συμπληρώσεως.

$$\alpha. C^* = C_1 + C_2 \quad \blacktriangleright \quad C^*$$

$$\beta. \frac{1}{C_0} = \frac{1}{C^*} + \frac{1}{C_3} + \frac{1}{C_4} \quad \blacktriangleright \quad C_0$$

$$\gamma. Q_0 = Q^* = Q_3 = Q_4 \quad V_1 = V_2 = V^*$$

$$\delta. \text{ Έκ τῶν : } C^*, Q^* \quad \blacktriangleright \quad V^*$$

$$C_3, Q_3 \quad \blacktriangleright \quad V_3$$

$$C_4, Q_4 \quad \blacktriangleright \quad V_4$$

$$C_0, Q_0 \quad \blacktriangleright \quad V_0$$

$$C_2, V_2 \quad \blacktriangleright \quad Q_2$$

$$C_1, V_1 \quad \blacktriangleright \quad Q_1$$

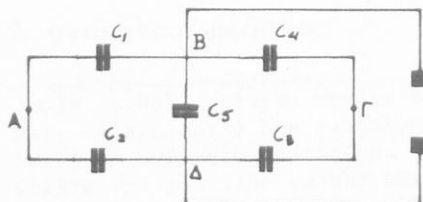
★ Δίδεται ἡ συνδεσμολογία τοῦ σχ. 8 μέ $C_1 = C_2 = C_3 =$

$$= C_4 = 20 \mu\text{F},$$

$$C_5 = 10 \mu\text{F} \quad \text{καί}$$

$$V_{\text{A}\Gamma} = 400 \text{ V.}$$

Νά ἐπιλυθῇ.



Σχ. 8

Διακρίνομεν τὰς ομάδας:

C_1, C_2 ἐν σειρά μὲ ἰσοδύναμον χωρητικότητα C^*

C_3, C_4 ἐν σειρά μὲ ἰσοδύναμον χωρητικότητα C^{**}

C^*, C^{**}, C_5 μὲ ἰσοδύναμον χωρητικότητα C_0

ΠΙΝΑΚΕΣ ΣΤΟΙΧΕΙΩΝ

Α			Β		
εἰς μF	εἰς V	εἰς μCb	εἰς μF	εἰς V	εἰς μCb
$C_1 = 20$	$V_1 = x$	$Q_1 = 20x$	$C^* = 10$	$V^* = 2x$	$Q^* = 20x$
$C_2 = 20$	$V_2 = x$	$Q_2 = 20x$	$C_5 = 10$	$V_5 = 2x$	$Q_5 = 20x$
$C^* = 10$	$V^* = 2x$	$Q^* = 20x$	$C^{**} = 10$	$V^{**} = 2x$	$Q^{**} = 20x$
			$C_0 = 30$	$V_0 = 2x$	$Q_0 = 60x$

Γ		
εἰς μF	εἰς V	εἰς μCb
$C_3 = 20$	$V_3 = x$	$Q_3 = 20x$
$C_4 = 20$	$V_4 = x$	$Q_4 = 20x$
$C^{**} = 10$	$V^{**} = 2x$	$Q^{**} = 20x$

Δι' ὑπογραμμῆς τονίζομεν τὰ δοθέντα:

Χρησιμοποιοῦμεν διὰ τὴν συμπλήρωσιν τῶν ἀνωτέρω πινάκων βοηθητικὸν ἄγνωστον. Ἔστω $V_2 = x$ Volts

Προσδιορίζονται ἀμέσως τὰ: $V_1, Q_2, Q_1, C^*, V^*, Q^*$ καὶ ἐν συνεχείᾳ τὰ:

$$V_5 = V^*, V^{**} = V^*, C^*, Q^{**} = Q_4 = Q_3, V_3, V_4$$

Ἐκ τῶν δεδομένων ἔχομεν $V_2 + V_3 = 400V$ ἢ $2x = 400V$ καὶ

$$x = 200 V.$$

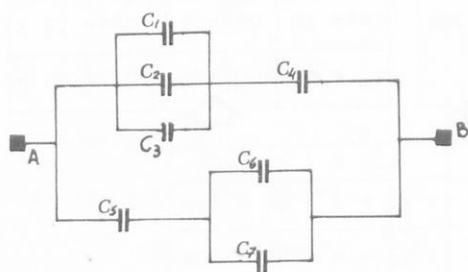
όποτε εκ τῶν συμπληρωθέντων πινάκων προκύπτει:

$$C_0 = 30 \text{ } \mu\text{F}, Q_0 = 12 \cdot 10^3 \text{ } \mu\text{Cb}, V_0 = 400 \text{ V}$$

Παρατήρησις: 'Αναφερόμενα ἀθροίσματα, γινόμενα κλπ. εἰσάγουσαν βοηθητικούς ἀγνώστους καὶ ἀλγεβρικές προσθέτους σχέσεις.

★ Εἰς τό σχ. 9 οἱ πυκνωταὶ ἔχουν εἰς μF χωρητικότητας:

$$C_1 = 1, C_2 = 2, C_3 = 3, C_4 = 3, C_5 = 3, C_6 = 4, C_7 = 2.$$



σχ. 9

Ποία ἡ ἰσοδύναμος χωρητικότης, τό φορτίον καὶ ἡ τάσις ἐκάστου πυκνωτοῦ, ἂν ἡ ὅλική τάσις V_0 μεταξύ τῶν A καὶ B εἶναι 100 V.

Διακρίνομεν τὰς ὁμάδας:

C_1, C_2 καὶ C_3 μέ ἰσοδύναμον χωρητικότητα C^*

C^*, C_4 μέ ἰσοδύναμον χωρητικότητα C^{**}

C_6, C_7 μέ ἰσοδύναμον χωρητικότητα C'

C', C_5 " " " C''

C^{**}, C'' " " " C_0

ΠΙΝΑΚΕΣ ΣΤΟΙΧΕΙΩΝ

A

είς μF	είς V	είς μC_b
<u>$C_1 = 1$</u>	$V_1 = 33,3$	$Q_1 = 33,3$
<u>$C_2 = 2$</u>	$V_2 = 33,3$	$Q_2 = 66,7$
<u>$C_3 = 3$</u>	$V_3 = 33,3$	$Q_3 = 100$
$C^* = 6$	$V^* = 33,3$	$Q^* = 200$

B

είς μF	είς V	είς μC_b
$C^* = 6$	$V^* = 33,3$	$Q^* = 200$
<u>$C_4 = 3$</u>	$V_4 = 66,7$	$Q_4 = 200$
$C^{**} = 2$	$V^{**} = 100$	$Q^{**} = 200$

Γ

είς μF	είς V	είς μC_b
<u>$C_6 = 4$</u>	$V_6 = 33,3$	$Q_6 = 133,3$
<u>$C_7 = 2$</u>	$V_7 = 33,3$	$Q_7 = 66,7$
$C' = 6$	$V' = 33,3$	$Q' = 200$

Δ

είς μF	είς V	είς μC_b
$C' = 6$	$V' = 33,3$	$Q' = 200$
<u>$C_5 = 3$</u>	$V_5 = 66,7$	$Q_5 = 200$
$C'' = 2$	$V'' = 100$	$Q'' = 200$

E

είς μF	είς V	είς μC_b
$C^{**} = 2$	$V^{**} = 100$	$Q^{**} = 200$
$C'' = 2$	$V'' = 100$	$Q'' = 200$
$C_0 = 4$	<u>$V_0 = 100$</u>	$Q_0 = 400$

2.4. μή τυπικά συνδέσεις

'Ονομάζομεν "μή τυπικάς" τάς συνδέσεις είς τάς οποίας δέν δύνανται νά εφαρμοσθοῦν ἀμέσως οἱ τύποι:

$$\frac{1}{C_0} = \frac{1}{C_1} + \frac{1}{C_2} + \dots \text{ καί } C_0 = C_1 + C_2 + \dots$$

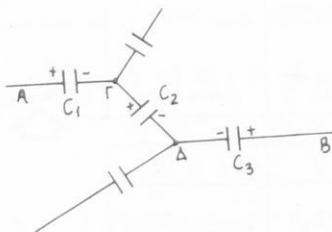
Διά τήν ἐπίλυσιν συστήματος πυκνωτῶν "μή τυπικῆς" συνδέ-

σεως" πρέπει να γνωρίζωμεν ότι:

- Είς κάθε άνοικτόν σύστημα φορτισμένων πυκνωτῶν ισχύει:

$$V_0 = \Sigma V_j$$

$$\text{ἢ } V_0 = V_1 + V_2 + \dots \text{ (ἀλγεβρικόν ἄθροισμα)}$$



σχ. 10

π.χ. εἰς τήν σύνδεσιν τοῦ σχ. 10 ισχύει:

$$V_{AB} = V_1 + V_2 + V_3 \text{ (ἀλγεβρικόν ἄθροισμα)}$$

$$\text{ἢ } U_A - U_B = (U_A - U_\Gamma) + (U_\Gamma - U_\Delta) + (U_\Delta - U_B)$$

δηλ. ἄν στό παράδειγμα τοῦ σχ. 10 εἶναι $V_1 = 20V$, $V_2 = 30V$ & $V_3 = 10V$ θά εἶναι:

$$V_{AB} = 20V + 30V - 10V = 40V$$

- Είς κάθε κλειστόν σύστημα ισχύει:

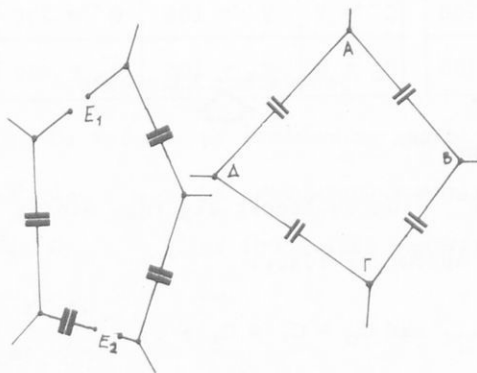
$$\Sigma V_j = 0 \text{ (ἀλγεβρικόν ἄθροισμα)}$$

$$\text{ἢ } V_1 + V_2 + V_3 + V_4 = 0$$

ἐφ' ὅσον ὁ βρόχος δέν περιέχει πηγᾶς (σχ. 11) καί

$$\Sigma E_i = \Sigma V_j \text{ (ἀλγεβρικόν ἄθροισμα),}$$

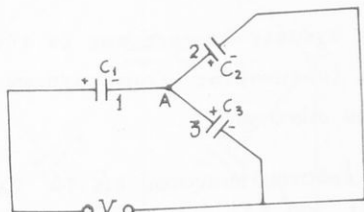
ἐφ' ὅσον ὁ βρόχος περιέχει πηγᾶς (σχ. 12).



σχ. 12

σχ. 11

● "Αν Α τό σημείον συνδέσεως πυκνωτών σχ. 13, C_1 , C_2 καί C_3 τότε αί κάτωθι προτάσεις εἶναι ἰσοδύναμοι:



σχ . 13

1. Τό φορτίον τῶν ὀπλι-
σῶν 1,2 καί 3 πρό
τῆς ἐφαρμογῆς τῆς τά-
σεως V ἦτο μηδέν:
δηλαδή: $\Sigma Q = 0$

2. Τό φορτίον ἐξ ἐπιδρά-

σεως τῶν ὀπλισμῶν 1,2 καί 3 μετὰ τήν ἐφαρμογήν τῆς τάσεως
εἶναι μηδέν:

$$\text{δηλ. } \Sigma Q' = 0$$

Τά ἀνωτέρω εἶναι, προφανῶς, συνέπεια τῆς "ἀρχῆς τῆς ἀφθαρ-
σίας τοῦ φορτίου".

2.5. μέθοδος τοῦ σταθεροῦ φορτίου

Εἰς τήν μέθοδον αὐτήν ἐργαζόμεθα ὡς ἑξῆς:

α. Ἐφαρμόζομεν εἰς κάθε κόμβο συνδέσεως πυκνωτῶν τήν
ἀρχήν ἀφθαρσίας τοῦ φορτίου:

$$\Sigma Q = \text{σταθ.}$$

(Δι' ἀφόρτιστον σύστημα: $\Sigma Q = 0$).

β. Ἐφαρμόζομεν εἰς κάθε βρόχον τάς:

$$\Sigma V_j = 0 \quad \text{ἢ} \quad \Sigma E_i = \Sigma V_j$$

αναλόγως του εάν εις τόν βρόχον, υπάρχουν ή όχι πηγαί.

Έκ τῶν α καί β λαμβάνομεν η εξισώσεις ὡστε νά εἶναι γραμμικῶς ἀνεξάρτητοι, ἔνθα η ὁ ἀριθμός τῶν κλάδων τοῦ συστήματος.

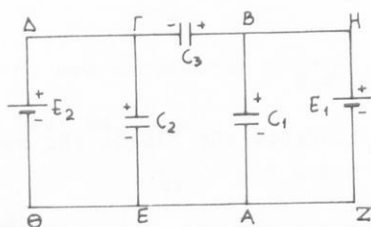
γ. Γράφομεν περιοριστικὰς σχέσεις ἀπορροεύσας ἐκ τῆς ἐκφωνήσεως (λόγους, ἀθροίσματα, ἰσοδυναμίας χωρητικότητων κλπ)

δ. Ἐπιλύομεν τό προκύπτον σύστημα.

★ Νά εὑρεθῆ τό φορτίον ἐκάστου πυκνωτοῦ εἰς τό σχῆμα 14. Δίδονται τά C_1, C_2, C_3, E_1 καί E_2 .

Ἐκ τοῦ βρόχου ΑΒΓΕΑ προκύπτει:

$$(U_E - U_\Gamma) + (U_\Gamma - U_B) + (U_B - U_A) = 0$$



σχ. 14

$$\eta - E_2 + (U_\Gamma - U_B) + E_1 = 0$$

$$\text{καί } U_B - U_\Gamma = E_1 - E_2$$

$$\text{ἀλλά } Q_1 = C_1 \cdot E_1$$

$$Q_2 = C_2 \cdot E_2$$

$$Q_3 = C_3 \cdot (E_1 - E_2)$$

★ Δίδεται τό σύστημα τοῦ σχήματος 15.

Νά εὑρεθῆ σχέσεις μεταξύ τῶν C_1, C_2, C_3 καί C_4 ὡστε τό φορτίον τοῦ C_5 νά εἶναι μηδέν διά οἰανδήποτε τιμήν τῆς E .

Ἐκ τοῦ κόμβου Γ:

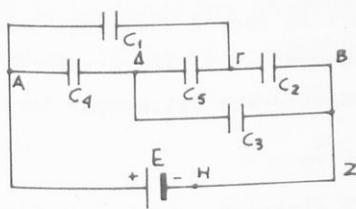
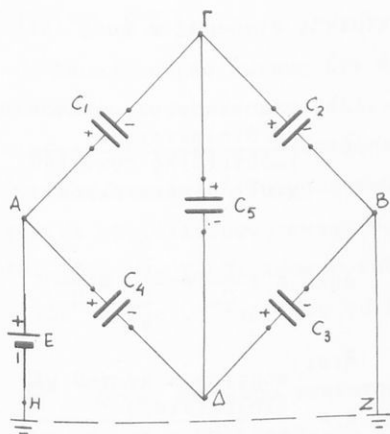
$$Q_1 = Q_2 + Q_3 \quad (1)$$

Ἐκ τοῦ κόμβου Δ:

$$Q_5 + Q_4 = Q_3 \quad (2)$$

Ἐκ τοῦ βρόχου ΑΓΔΑ:

$$V_1 + V_3 = V_4 \quad (3)$$



σχ. 15

Ἐκ τοῦ βρόχου ΒΓΔΒ:

$$V_3 + V_5 = V_2 \quad (4)$$

Ἐκ τοῦ βρόχου ΑΔΒΖΗΑ :

$$E = V_4 + V_5 \quad (5)$$

Ἐκ τῆς ἐπιλύσεως τοῦ συστήματος καί δεδομένου ὅτι: $Q = CV$, προκύπτει:

$$Q_5 = \frac{C_5(C_1C_3 - C_2C_4)E}{k}, \quad (6)$$

$$k = (C_1 + C_2)(C_3 + C_4) + C_5(C_1 + C_2 + C_3 + C_4)$$

καί διά νά εἶναι: $Q_5 = 0$

$$C_1C_3 = C_2C_4$$

$$\eta \quad \frac{C_1}{C_2} = \frac{C_4}{C_3}$$

Διαπιστώσατε τήν ὁμοιό-

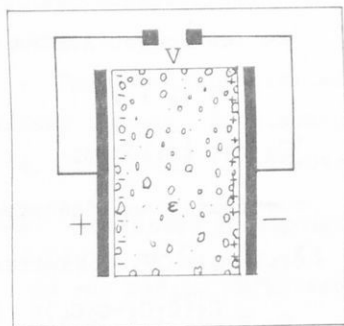
τητα τῶν ἀνωτέρω σχημάτων.

2.6. εἰδικά θέματα πυκνωτῶν

Εἰσαγωγή διηλεκτρικοῦ ἐντός πυκνωτοῦ

☆ Ἐντός ἐπιπέδου πυκνωτοῦ εὐρισκομένου ὑπό σταθεράν τάσιν εἰσάγεται φύλλον διηλεκτρικοῦ διηλ. σταθερᾶς ϵ . Ποῖον τό φορτίον καί ἡ χωρητικότης τοῦ πυκνωτοῦ;

Από τόν όρισμόν τής διηλεκτρικής σταθεράς ϵ ενός διηλεκτρικού, έχομεν:



$$\epsilon = \frac{\text{χωρητικότητα πικνωτοῦ με διηλεκτρικόν}}{\text{χωρητικότητα πικνωτοῦ χωρίς διηλεκτρικόν}}$$

$$\text{δηλ. } \epsilon = \frac{C}{C_0} = \frac{\frac{Q}{V}}{\frac{Q_0}{V}} = \frac{Q}{Q_0}$$

$$\text{ἤτοι: } \epsilon = \frac{\text{φορτίον πικνωτοῦ με διηλεκτρικόν}}{\text{φορτίον πικνωτοῦ χωρίς διηλεκτρικόν}}$$

Ἐκ τῶν ἀνωτέρω προκύπτει ὅτι ἐφ' ὅσον ὁ πικνωτής παραμένει ὑπό σταθεράν τάσιν, ἡ εἰσαγωγή τοῦ διηλεκτρικοῦ ἔχει ὡς ἀποτέλεσμα τήν αὔξησιν τοῦ φορτίου τῶν ὀπλισμῶν:

$$Q = \epsilon \cdot Q_0$$

● Τοῦτο ἐξηγεῖται ὡς ἐξῆς: Τήν εἰσαγωγήν τοῦ διηλεκτρικοῦ ἀκολουθεῖ ἡ πόλωσις τῶν μορίων του μέ ἀποτέλεσμα νά ἐμφανισθῇ ἔναντι τοῦ θετικοῦ ὀπλισμοῦ ἀρνητικόν καί ἔναντι τοῦ ἀρνητικοῦ ὀπλισμοῦ, θετικόν φορτίον πολώσεως.

Κατ' αὐτόν τόν τρόπον "ἀναιρεῖται ἡ δρᾶσις" τῶν φορτίων τῶν ὀπλισμῶν δηλ. ἐλαττοῦται τό "ἐνεργόν φορτίον" αὐτῶν καί διά τήν ἀποκατάστασιν τῆς σταθεράς τάσεως, ἡ πηγή προσδίδει νέα φορτία $(\epsilon - 1)Q_0$, ἴσα πρός τά ἀναπτυσσόμενα ἐκ τῆς πολώσεως ἐπί ἐκάστης πλευράς τοῦ διηλεκτρικοῦ

$$\text{"Ὡστε: } C = \epsilon C_0 \quad \text{καί} \quad Q = \epsilon Q_0$$

θεωρεῖται σκόπιμον εἰς τό σημεῖον αὐτό νά ὑπολογισθῇ ἡ ἔντασις τοῦ πεδίου εἰς τόν μεταξὺ τῶν ὀπλισμῶν χῶρον.

Ὁ ὑπολογισμός τῆς ἐντάσεως τοῦ πεδίου γίνεται μέ τήν

$$\text{σχέσιν : } E = \frac{V}{l}$$

Παρατηρούμεν άμέσως ότι ή είσαγωγή του διηλεκτρικού υπό σταθεράν τάσιν δέν μεταβάλλει τό μέγεθος τής έντάσεως του πεδίου. Πράγματι καίτοι ηύξήθησαν τά φορτία τών όπλισμών & ένεκα τούτου καί ή ένταση του πεδίου που όφείλεται είς τά φορτία τών όπλισμών, συγχρόνως άνεπτύχθη αντίθετον πεδίου λόγω τών φορτίων πολώσεως του διηλεκτρικού ούτως ώστε τό όλικόν πεδίου νά παραμένη τό ίδιο.

★ Έντός έπιπέδου πυκνωτού φορισμένου μέ φορτίον Q είσάγεται διηλεκτρικόν σταθεράς ϵ . Ο πυκνωτής κατά τήν είσαγωγήν του διηλεκτρικού ήτο άποσυνδεδεμένος έν τής πηγής ήτις τον έφορτίσεν. Ποιον τό φορτίον, ή τάσις, ή ένταση του πεδίου καί ή χωρητικότητα του πυκνωτού μετά τήν είσαγωγήν του διηλεκτρικού;

Έστω C_0 , Q_0 , V_0 καί E_0 ή χωρητικότητα, τό φορτίον, ή τάσις καί ή ένταση αντίστοίχως πρό τής είσαγωγής.

Η χωρητικότητα, άνεξαρτήτως τής ύάρξεως ή μή φορτίων επί τών όπλισμών θά είναι:

$$C = \epsilon C_0$$

Τό φορτίον είς τούς όπλισμούς, έφ' όσον δέν ύάρχει παροχή ή άπώλεια, είναι τό αυτό ίσον πρός Q_0 . Κατά συνέπεια ή νέα τάσις V θά είναι:

$$V = \frac{Q}{C} = \frac{Q_0}{\epsilon C_0} = \frac{V_0}{\epsilon}$$

δηλ. ή νέα τάσις είναι ϵ φοράς μικροτέρα. Τουτό εξηγείται θεωρητικώς ως έξής:

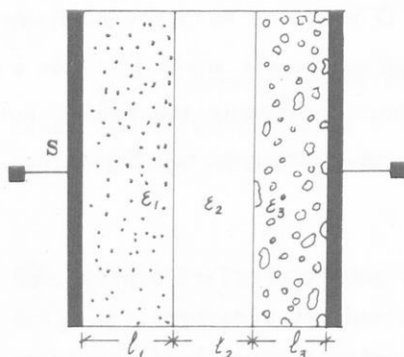
Μέ την εισαγωγή του διηλεκτρικού εμφανίζονται εἰς αὐτό φορτία πολώσεως τὰ ὁποῖα "δεσμεύουν" φορτία ἐκ τῶν ὀπλισμῶν μέ ἀποτελεσμα τὰ ἐλεύθερα, ἐνεργά, φορτία αὐτῶν νά εἶναι τώρα $\frac{Q_0}{\epsilon}$.

Ἡ ἔντασις τοῦ πεδίου μετά την εισαγωγήν εἶναι:

$$E = \frac{V}{l} = \frac{V_0}{\epsilon l} = \frac{E_0}{\epsilon}$$

Πυκνωταί μέ πολλά διηλεκτρικά

☆ Ἴσοδυναμία κατά φορτίον. Νά εὑρεθῇ ἡ ἰσοδύναμος χωρητικότης εἰς τήν διάταξιν τοῦ σχ. 16.



σχ. 16

Ἡ εἰκονιζομένη διάταξις θεωρεῖται σύνδεσις πυκνωτῶν ἐν σειρᾷ.

$$\frac{1}{C_*} = \frac{4\pi}{S} \left(\frac{l_1}{\epsilon_1} + \frac{l_2}{\epsilon_2} + \frac{l_3}{\epsilon_3} \right) \text{ (HΣΣM)}$$

Τό ἄθροισμα:

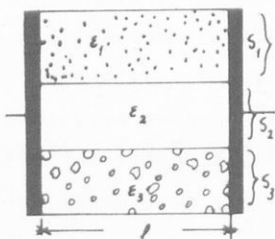
$$\frac{l_1}{\epsilon_1} + \frac{l_2}{\epsilon_2} + \frac{l_3}{\epsilon_3}$$

εἶναι τό ἀνηγμένον μήκος τῆς

ἰσοδυναμίας.



Ἴσοδυναμία κατά τάσιν. Νά εὑρεθῇ ἡ ἰσοδύναμος χωρητικότης εἰς τήν διάταξιν τοῦ σχ. 17.

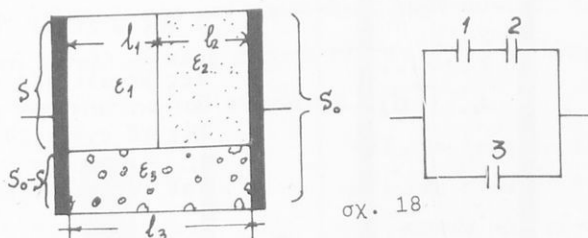


σχ. 17

Ἡ εἰκονιζομένη διάταξις θεωρεῖται σύνδεσις πυκνωτῶν ἐν παραλλήλῳ μέ ἰσοδύναμον χωρητικότητα.

$$C_* = \frac{1}{4\pi l} (\epsilon_1 S_1 + \epsilon_2 S_2 + \epsilon_3 S_3) \text{ (HΣΣM)}$$

Τό άθροισμα $\epsilon_1 S_1 + \epsilon_2 S_2 + \epsilon_3 S_3$ αποτελεί τήν άνηγμένην ένεργόν έπιφάνειαν τής ίσοδυναμίας.



σχ. 18

★ Μικτά ίσοδυναμία. Νά εύρεθούν αί ίσοδύναμοι χωρητικότητες είς τάς διατάξεις τών σχημάτων 18, 19, 20.

Ή είκονιζόμενη διάταξις σχ. 18 θεωρείται μικτή σύνδεσις μέ:

$$C_1 = \frac{\epsilon_1 \cdot S}{4\pi \cdot l_1}$$

$$C_2 = \frac{\epsilon_2 \cdot S}{4\pi \cdot l_2} \quad C = \frac{\epsilon_3 \cdot (S_0 - S)}{4\pi \cdot l_3}$$

καί συνεπώς:
$$C^* = C_3 + \frac{C_1 C_2}{C_1 + C_2}$$

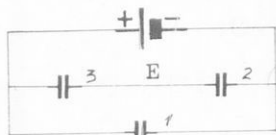
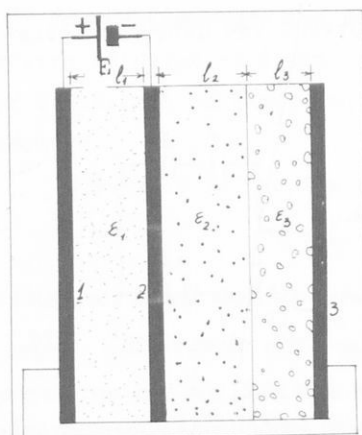
Είς τό σύστημα του σχήματος 19, οί όπλισμοί 1, 2 καί 3 είναι παράλληλες μεταλλικές πλάκες έμβαδού S καί οί όπλισμοί 1 καί 3 είναι βραχυκυκλωμένοι.

Τό σύστημα έχει τό είκονιζόμενον ίσοδύναμου.

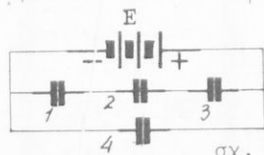
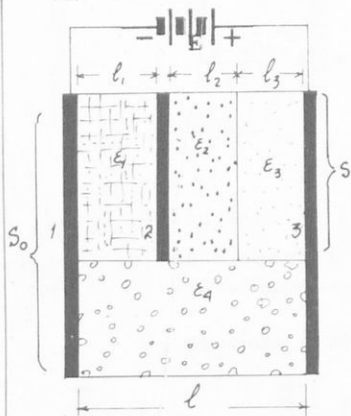
$$C_1 = \frac{\epsilon_1 \cdot S}{4\pi \cdot l_1}$$

$$C_2 = \frac{\epsilon_2 \cdot S}{4\pi \cdot l_2} \quad (\text{ΗΣΣΜ})$$

$$C_3 = \frac{\epsilon_3 \cdot S}{4\pi \cdot l_3}$$



σχ. 19



σχ. 20

Εἰς τὸ σύστημα τοῦ σχήματος 20 οἱ ὀπλισμοὶ 1, 2 καὶ 3 εἶναι παράλληλες μεταλλικὲς πλάκες. Εἰς τὸ σχῆμα 20 φαίνεται τὸ ἰσοδύναμόν του.

$$C_1 = \frac{\epsilon_1}{4\pi} \frac{S}{l_1}$$

$$C_2 = \frac{\epsilon_2}{4\pi} \frac{S}{l_2}$$

(HΣΣM)

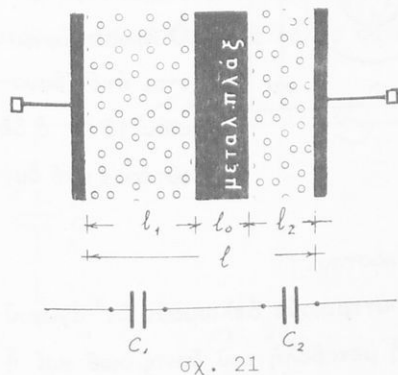
$$C_3 = \frac{\epsilon_3}{4\pi} \frac{S}{l_3}$$

$$C_4 = \frac{\epsilon_4}{4\pi} \cdot \frac{S_0 - S}{l}$$

είσαγωγή μεταλλικῆς πλακῶς μεταξύ τῶν ὀπλισμῶν

★ Ἐπίπεδος πυκνωτής ἔχει χωρητικότητα $C = 720 \text{ pF}$.

Μεταξύ τῶν ὀπλισμῶν του καί παράλληλως πρὸς αὐτούς, τοποθετεῖται λεπτή μεταλλικὴ πλάξ ἔχουσα πάχος $l_0 = \frac{1}{3}$. Πόση γίνεται τότε ἡ χωρητικότης τοῦ πυκνωτοῦ; σχ. 21.



Ἐπὶ τῶν παρεϊῶν τῆς μεταλλικῆς πλακῶς ἐπάγονται φορτία καί οὕτω τὸ σύστημα ἰσοδυναμεῖ πρὸς σύνδεσιν δύο πυκνωτῶν μέ μήκη l_1 καί l_2 ἐν σειρᾷ.

$$C_1 = \frac{\epsilon}{4\pi} \frac{S}{l_1} \quad (\text{HΣΣΜ})$$

$$C_2 = \frac{\epsilon}{4\pi} \frac{S}{l_2}$$

Ἄλλὰ τότε
$$C^* = \frac{C_1 C_2}{C_1 + C_2} = \frac{\epsilon}{4\pi} \cdot \frac{S}{l - l_0}$$

εἰς τὸν ἀρχικόν πυκνωτήν
$$C = \frac{\epsilon}{4\pi} \frac{S}{l}$$

$$\frac{C^*}{C} = \frac{1}{1 - l_0} \Rightarrow C^* = C \frac{1}{1 - l_0} = C \frac{1}{1 - \frac{1}{3}} = 1080 \text{ pF} \quad \blacktriangleleft$$

Εἶναι προφανές ὅτι ἡ χωρητικότης C^* δέν ἐξαρτᾶται ἀπὸ τὴν θέσιν τῆς μεταλλικῆς πλακῶς.

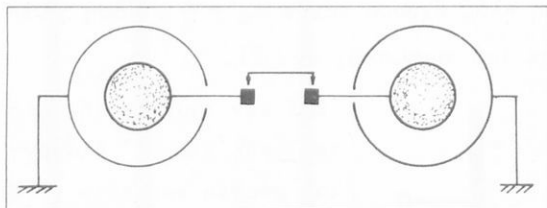
παράλληλος σύνδεσις φορτισμένων πυκνωτῶν

● Ἴσχύει:

"Μετὰ τὴν παράλληλον σύνδεσιν φορτισμένων πυκνωτῶν, τὸ ὀλικόν φορτίον παραμένει ἴσον πρὸς τὸ ἀλγεβρικόν ἄθροισμα τῶν φορτίων αὐτῶν πρὸ τῆς συνδέσεως" (ἀρχὴ ἀφθαρσίας φορτίου). Ἦτοι ἂν οἱ πυκνωταί συνδεθοῦν διὰ τῶν ὁμώνυμων ὀπλισμῶν: $Q_0 = Q_1 + Q_2$ καί διὰ τῶν ἑτερωνύμων: $Q_0 = Q_1 - Q_2$.



Έχουμε δύο σφαιρικούς συμπυκνωτές των οποίων οί εξωτερικοί όπλισμοί είναι συνδεδεμένοι με τό ξδαφος σχ.22.



σχ. 22

Η χωρητικότητα του ενός είναι $0,3 \mu\text{F}$ του δε έτέρου $0,8 \mu\text{F}$.

Ο πρώτος φορτίζεται υπό δυναμικόν 15V , ό δε δεύτερος υπό δυναμικόν 26V .

i. Νά εύρεθῆ τό φορτίον έκάστου.

ii. Έάν συνδέσωμεν τούς έσωτερικούς όπλισμούς δι' άγωγού άνευ χωρητικότητας νά εύρεθῆ ἡ μεταβολή του δυναμικοῦ καί ἡ μεταβολή του φορτίου.

Φαρμακευτική 55

i. $Q_1 = C_1 V_1 = 4,5 \cdot 10^{-6} \text{ Cb} = 4,5 \cdot \mu\text{Cb}$

$Q_2 = C_2 V_2 = 20,8 \cdot 10^{-6} \text{ Cb} = 20,8 \mu\text{Cb}$

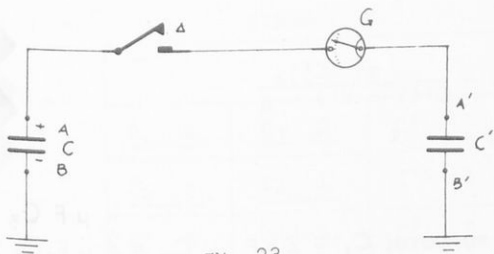
ii. Μετά τήν σύνδεσιν των έσωτερικών όπλισμών τό σύστημα άποτελεῖ παράλληλον συνδεσμολογίαν πυκνωτών.

ΠΡΟ ΤΗΣ ΣΥΝΔΕΣΕΩΣ*			ΜΕΤΑ ΤΗΝ ΣΥΝΔΕΞΙΝ		
είς μF	είς V	είς μCb	είς μF	είς V	είς μCb
$C_1 = 0,3$	$V_1 = 15$	$Q_1 = 4,5$	$C_1 = 0,3$	$V'_1 = 23$	$Q'_1 = 6,9$
$C_2 = 0,8$	$V_2 = 26$	$Q_2 = 20,8$	$C_2 = 0,8$	$V'_2 = 23$	$Q'_2 = 18,4$
		$Q_0 = 25,3$	$C_0 = 1,1$	$V_0 = 23$	$Q_0 = 25,3$

* Δι' ύπογραμμής τονίζονται τά δεδομένα μεγέθη.

$$\begin{aligned}
 \text{"Άρα } \Delta V_1 &= 8 \text{ V} \\
 \Delta V_2 &= -3 \text{ V} \\
 \Delta Q_1 &= 2,4 \mu \text{ Cb} \\
 \Delta Q_2 &= -2,4 \mu \text{ Cb}
 \end{aligned}$$

★ Φορτίζεται πυκνωτής, άγνωστου χωρητικότητας C και του οποίου ο όπλισμός B είναι προσγεωμένος, διά συσσωρευτού τάσεως V του οποίου ο θετικός πόλος συνδέεται με τον όπλισμόν A .



σχ. 23

Όμοίως φορτίζεται ο πυκνωτής C' διά συσσωρευτού τάσεως V' .

Άκολούθως οι όπλισμοί A και A' συνδέονται διά

άγωγου περιέχοντος διακόπτην Δ και βαλλιστικόν γαλβανόμετρον G . Όταν κλείσωμεν τόν διακόπτην τό βαλλιστικόν γαλβανόμετρον δεικνύει διέλευσιν qCb .

Νά εύρεθῆ ἡ χωρητικότης C . σχ. 23.

$$\begin{aligned}
 \text{'Άρ. 'Εφαρμογή: } C' &= 0,5 \mu \text{ F, } q = 40 \mu \text{ Cb, } V = 110 \text{ V,} \\
 V' &= 10 \text{ V.}
 \end{aligned}$$

'Εφ'όσον ο διακόπτης είναι κλειστός οί πυκνωταί είναι συνδεδεμένοι έν παραλλήλῃ (βλέπε: "σύνδεσις φορτισμένων πυκνωτών").

ΠΡΟ ΤΗΣ ΣΥΝΔΕΣΣΕΩΣ

C	$Q = CV$	V
C'	$Q' = C'V'$	V'
$Q_0 = CV + C'V'$		

ΜΕΤΑ ΤΗΝ ΣΥΝΔΕΣΣΙΝ

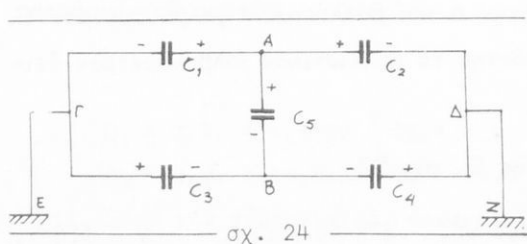
C	$Q_1 = C \frac{CV + C'V'}{C + C'}$	$V_1 = \frac{CV + C'V'}{C + C'}$
C'	$Q_2 = C' \frac{CV + C'V'}{C + C'}$	$V_2 = \frac{CV + C'V'}{C + C'}$
$C_0 = C + C'$	$Q_0 = CV + C'V'$	$V_0 = \frac{CV + C'V'}{C + C'}$

Άλλά $q = Q - Q_1 = CV - C \frac{CV + C'V'}{C + C'}$

$$C = \frac{q \cdot C'}{C'(V - V') - q}$$

Άρ. Έφαρμ. $C = 2 \mu\text{F}$

★ 4 αφόρτιστοι πυκνωταί $C_1 = 2 \mu\text{F}$, $C_2 = 4 \mu\text{F}$, $C_3 = 2 \mu\text{F}$, $C_4 = 1 \mu\text{F}$ συνδέονται ως εἰς τό σχ. 24.

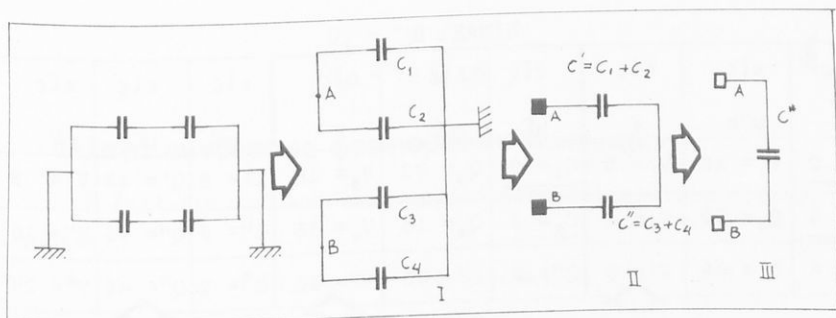


Συνδέομεν ἐν συνεχείᾳ εἰς τὰ Α καί Β τόν $C_5 = 3 \mu\text{F}$ φορτισμένον μέ $Q_5 = 120 \mu\text{C}$.

Νά εὔρεθοῦν:

- . Τά φορτία
- . Αἱ τάσεις μετά τήν σύνδεσιν.

Πρό τῆς συνδέσεως τοῦ C_5 ὑφίσταται ἡ συνδεσμολογία τοῦ σχ. 25α μετασχηματιζομένη διαδοχικῶς εἰς τὰς I, II καί III.

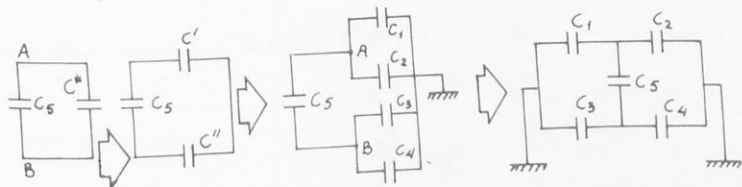


ΠΙΝΑΞ Α *

σχ. 25 α

εις μF		
C_1 2	C_3 2	C' 6
C_2 4	C_4 1	C'' 3
C' 6	C'' 3	C^* 2

* Δι' ύπογραμμής τονίζομεν τά δεδομένα.

Μετά την σύνδεσιν του C_5 εις τά Α καί Β ἔχομεν:

σχ. 25 β

ΠΡΟ ΤΗΣ ΣΥΝΔΕΣΕΩΣ C^* & C_5		
εις μF	εις μCb	εις V
$C^* = 2$	$Q_{αρχ}^* = 0$	$V_{αρχ}^* = 0$
$C_5 = 3$	$Q_{5αρχ} = 120$	$V_{5αρχ} = 40$
	$Q_{αρχ} + Q_5 = 120$	

ΜΕΤΑ ΤΗΝ ΣΥΝΔΕΣΙΝ C^* & C_5		
εις μF	εις μCb	εις V
$C^* = 2$	$Q^* = 48$	$V^* = 24$
$C_5 = 3$	$Q_5 = 72$	$V_5 = 24$
$C_0 = 5$	$Q_0 = 120$	$V_0 = 24$

ΠΙΝΑΚΕ Β

είς μF	είς μCb	είς V	είς μF	είς μCb	είς V	είς μF	είς μCb	είς V
<u>C₁ = 2</u>	Q ₁ = 16	V ₁ = 8	<u>C₃ = 2</u>	Q ₃ = 32	V ₃ = 16	C' = 6	Q' = 48	V' = 8
<u>C₂ = 4</u>	Q ₂ = 32	V ₂ = 8	<u>C₄ = 1</u>	Q ₄ = 16	V ₄ = 16	C'' = 3	Q'' = 48	V'' = 16
C' = 6	Q' = 48	V' = 8	C'' = 3	Q'' = 48	V'' = 16	C* = 2	Q* = 48	V* = 24

Τό άνωτέρω πρόβλημα λύεται άπλούστερον διά τής μεθόδου του σταθερού φορτίου".

$$\text{'Εκ του κόμβου A: } Q_1 + Q_2 + Q_5 = Q_5 \text{ άρχ.} \quad (1)$$

'Επειδή τά Γ και Δ είναι συνδεδεμένα διά του "άγωγού ΓΗ"

$$Q_1 + Q_2 = Q_3 + Q_4 \quad (2)$$

$$\text{'Εκ του βρόχου ΕΓΒΔΖΕ: } V_3 - V_4 = 0 \quad (3)$$

$$\text{'Εκ του βρόχου ΕΓΑΔΖΕ: } V_1 - V_2 = 0 \quad (4)$$

$$\text{'Εκ του βρόχου ΓΑΒΓ : } V_1 + V_3 - V_5 = 0 \quad (5)$$

'Επειδή Q = CV τό άνωτέρω σύστημα γίνεται:

$$Q_1 + Q_2 + Q_5 = Q_5 \text{ άρχ.}$$

$$Q_1 + Q_2 = Q_3 + Q_4$$

$$\frac{Q_3}{C_3} = \frac{Q_4}{C_4}$$

$$\frac{Q_1}{C_1} = \frac{Q_2}{C_2}$$

$$\frac{Q_1}{C_1} + \frac{Q_3}{C_3} = \frac{Q_5}{C_5}$$

άπό τήν επίλυσιν του όποιου προκύπτει:

$$Q_1 = 16 \text{ } \mu\text{Cb}$$

$$Q_2 = 32 \text{ } \mu\text{Cb}$$

$$Q_3 = 32 \text{ } \mu\text{Cb}$$

$$Q_4 = 16 \mu \text{Cb}$$

$$Q_5 = 72 \mu \text{Cb}$$

άλλαγή συνδέσεως φορτισμένων πυκνωτών

Ἡ ἐπίλυσις τοῦ παρόντος προβλήματος ἐπιτελεῖται εἰς δύο φάσεις:

1η φάσις : ἀποσύνδεσις

2α φάσις : ἀνασύνδεσις

★ Δύο πυκνωταὶ $C_1 = 2 \mu\text{F}$ καὶ $C_2 = 8 \mu\text{F}$ συνδέονται ἐν σειρᾷ καὶ φορτίζεται τὸ σύστημα ὑπὸ τάσιν $V^* = 100 \text{V}$. Ἀκολούθως ἀποσυνδέονται καὶ ἀνασυνδέονται ἐν παραλλήλῳ διὰ τῶν ὁμωνύμων ὀπλισμῶν. Νά εὑρεθῇ τὸ φορτίον ἐκάστου μετὰ τὴν ἀνασύνδεσιν.

1η ΦΑΣΙΣ: ΑΠΟΣΥΝΔΕΣΙΣ

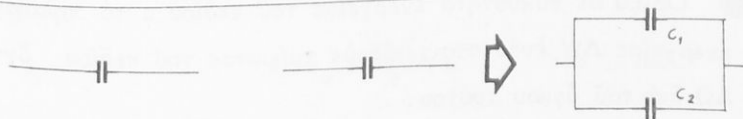


ΑΡΧΙΚΗ ΣΥΝΔΕΣΙΣ

ΑΠΟΣΥΝΔΕΣΙΣ

$C_1 = 2 \mu\text{F}$	$Q_1 = 160 \mu\text{Cb}$	$V_1 = 80 \text{V}$	$C_1 = 2 \mu\text{F}$	$Q_1 = 160 \mu\text{Cb}$	$V_1 = 80 \text{V}$
$C_2 = 8 \mu\text{F}$	$Q_2 = 160 \mu\text{Cb}$	$V_2 = 20 \text{V}$	$C_2 = 8 \mu\text{F}$	$Q_2 = 160 \mu\text{Cb}$	$V_2 = 20 \text{V}$
$C^* = 1,6 \mu\text{F}$	$Q^* = 160 \mu\text{Cb}$	$V^* = 100 \text{V}$	$Q_1 + Q_2 = 320 \mu\text{Cb}$		

2α ΦΑΣΙΣ: ΑΝΑΣΥΝΔΕΣΙΣ



$C_1 = 2\mu\text{F}$	$Q_1 = 160\mu\text{Cb}$	$V_1 = 80\text{V}$	$C_1 = 2\mu\text{F}$	$Q'_1 = 64\mu\text{Cb}$	$V'_1 = 32\text{V}$
$C_2 = 8\mu\text{F}$	$Q_2 = 160\mu\text{Cb}$	$V_2 = 20\text{V}$	$C_2 = 8\mu\text{F}$	$Q'_2 = 256\mu\text{Cb}$	$V'_2 = 32\text{V}$
				$Q^* = Q'_1 + Q'_2 =$ $= Q_1 + Q_2 =$ $= 320\mu\text{Cb}$	$V^* = 32\text{V}$

$$V^* = V'_1 = V'_2 = \frac{Q'_1}{C_1} = \frac{Q'_2}{C_2} = \frac{Q'_1 + Q'_2}{C_1 + C_2} = \frac{Q_1 + Q_2}{C_1 + C_2} = \frac{320\mu\text{Cb}}{10\mu\text{F}} = 32\text{V}$$

ἐνέργεια πυκνωτοῦ καὶ δυνάμεις ἐπὶ τῶν ὀπλισμῶν

● Ἐστω ἐπίπεδος πυκνωτῆς φορτισμένος μὲ φορτίον Q . θεωρῶ εἰς τὰ ἐπόμενα τὸν πυκνωτὴν ἀποσυνδεδεμένον ἐκ τῆς πηγῆς ἣτις τὸν ἐφόρτισεν.

$$\text{Ἐκ τοῦ } W = \frac{1}{2} \cdot \frac{Q^2}{C} \quad \text{μὲ } C = \epsilon C_0 \text{ καὶ } C_0 = \frac{1}{4\pi} \frac{S}{l}$$

$$W = \frac{1}{2} \cdot \frac{Q^2}{\epsilon \frac{1}{4\pi} \frac{S}{l}} \quad W = \frac{2}{\epsilon S} \pi \cdot 1 \quad W = K \cdot 1 \quad K = \frac{2\pi Q^2}{\epsilon S}$$

$$\text{Ἐκ τοῦ σχ. 26} \implies \epsilon\phi\omega = K$$

$$\text{Ἐπειδὴ } Q = CV \quad V = E \cdot l$$

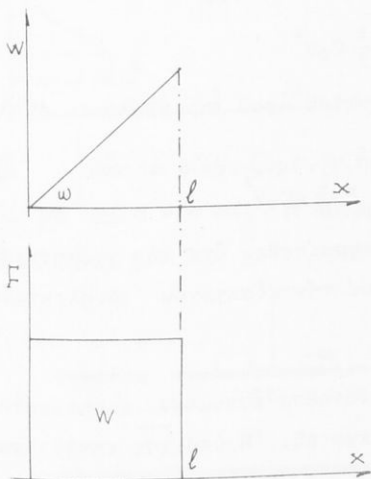
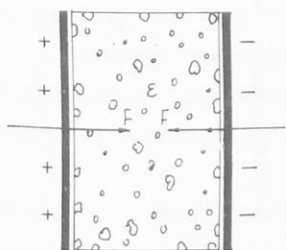
$$K = \frac{2\pi\epsilon \cdot \frac{S}{l^2} \cdot \frac{E^2 \cdot l^2}{\cancel{S}}}{8\pi} = \frac{\epsilon S E^2}{8\pi} \quad \text{ὁπότε καὶ } W = \frac{\epsilon S E^2}{8\pi} \cdot 1$$

● Ὅριζω ὡς πυκνότητα ἐνεργείας τοῦ πεδίου u τὸ πηλίον τῆς ἐνεργείας ΔW ἑνὸς στοιχειώδους τμήματος τοῦ πεδίου ὄγκου $\Delta\Omega$ διὰ τοῦ ὄγκου τούτου.

$$\text{ήτοι: } u = \frac{\Delta W}{\Delta \Omega}$$

Επειδή το πεδίο είναι ομογενές: $u = \frac{W}{\Omega} = \frac{W}{Sl} = \frac{\epsilon E^2}{8\pi}$

● Το μέγεθος u θα το χρησιμοποιήσωμεν τώρα διά τόν υπολογισμόν τῆς ἐλκτικῆς δυνάμεως μεταξύ τῶν ὀπλισμῶν.



σχ. 26

$$\text{ή } F = \frac{\epsilon E^2 S}{8\pi} = \text{σταθερά}$$

Ὁ ὑπολογισμός θα γίνη διά τῆς μεθόδου τῶν ΔΥΝΑΤΩΝ ΕΡΓΩΝ. Ἐς θεωρήσωμεν μίαν στοιχειώδη μετατόπισιν Δx τοῦ ἑνός ὀπλισμοῦ ὑπό τήν ἐπίδρασιν τῆς ζητουμένης δυνάμεως F . Ἐφ' ὅσον ὁ πεδιακός χῶρος ἐλαττοῦται κατά $S \cdot \Delta x$ ἐλαττοῦται ἀντιστοίχως καί ἡ ἠλεκτροστατική ἐνέργεια τοῦ πεδίου κατά ποσόν ἴσον πρὸς τό παραγόμενον ἔργον, ἤτοι:

$$F \cdot \Delta x = S \Delta x \cdot u$$

$$\text{ή } F = Su$$

● Ἐάν ὁ πυκνωτής δέν περιεῖχε διηλεκτρικόν ἢ ἐνέργεια θα ἦτο:

$$W_0 = \frac{2\pi Q^2}{S} \cdot l \quad \text{στό ΗΣΜ}$$

Ένῳ μετὰ τὴν εἰσαγωγὴν τοῦ ἡ ἐνέργεια γίνεται

$$W = \frac{2\pi Q^2 l}{\epsilon S} \quad \text{στό ΗΣΣΜ}$$

δηλ. $W_0 = \epsilon W$

Συμπεραίνομεν λοιπόν ὅτι κατὰ τὴν εἰσαγωγὴν διηλεκτρικοῦ φύλλου ἐντὸς φορτισμένου ἀποσυνδεδεμένου πυκνωτοῦ ἡ ἐνέργειά του ἐλαττοῦται εἰς τὸ $\frac{1}{\epsilon}$ τῆς τιμῆς τῆς. Ἡ ἀπωλεσθεῖσα ἐνέργεια μετετρέπη εἰς θερμότητα ἢ ἠλεκτρομαγνητικὴν ἀκτινοβολίαν.

● Ἔστω τῶρα ὅτι ὁ πυκνωτὴς εὐρίσκεται ὑπὸ σταθερᾶν τάσιν. Ἡ ἐνέργειά του χωρὶς διηλεκτρικὸν εἶναι:

$$W_0 = \frac{1}{2} C_0 V^2$$

ἐνῳ ἡ ἐνέργεια τοῦ ἰδίου πυκνωτοῦ ἀφοῦ παρεμβάλωμεν φύλλον διηλεκτρικοῦ θὰ εἶναι:

$$W = \frac{1}{2} C V^2 = \frac{1}{2} \epsilon C_0 V^2$$

δηλ. $W = \epsilon W_0$. Ἐκ τούτου συμπεραίνομεν ὅτι ἡ χωρητικότης πυκνωτοῦ ὑπὸ σταθερᾶν τάσιν μέ τὴν εἰσαγωγὴν διηλεκτρικοῦ πολλαπλασιάζεται ἐπὶ ϵ .

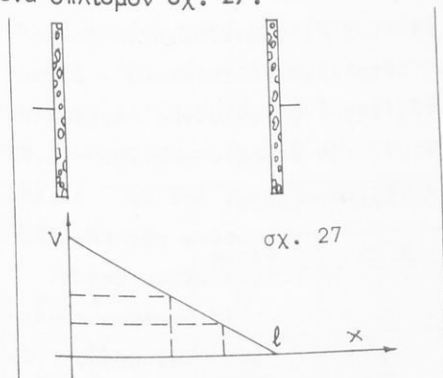
● Ἔστω πηγὴ ΗΕΔ E τροφοδοτοῦσα πυκνωτὴν χωρητικότητος C . Ἔστω Q τὸ φορτίον τοῦ πυκνωτοῦ. Ἡ ὑπὸ τῆς πηγῆς παρεχομένη ἐνέργεια εἶναι:

$$W_n = Q \cdot E$$

Ἐκ τῆς ἐνεργείας αὐτῆς τὸ ἥμισυ $W_n = \frac{1}{2} Q \cdot E$ ἀποταμιεύεται ἐντὸς τοῦ πεδιακοῦ χώρου ὡς ἠλεκτροστατικὴ, ἐνῳ ἡ διαφορά: $W_n - W_n = \frac{1}{2} Q \cdot E$ μετατρέπεται εἰς θερμότητα καὶ ἠλεκτρομαγνητικὴν ἀκτινοβολίαν.

ΠΩΣΙΣ ΔΥΝΑΜΙΚΟΥ ΕΝΤΟΣ ΠΥΚΝΩΤΟΥ

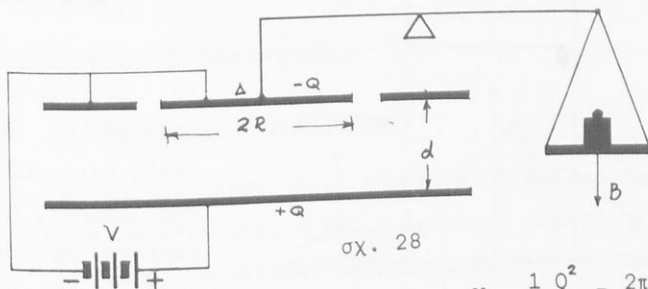
★ Φορτίον Q εύρισκεται εις τό μέσον τῆς ἀποστάσεως l τῶν ὀπλισμῶν ἐπιπέδου πυκνωτοῦ εύρισκομένου ὑπό τάσιν V . Ποῖον τό παραγόμενον ἔργον κατά τήν μετακίνησιν τοῦ Q κατά $\frac{1}{4}$ πρός τόν ἕνα ὀπλισμόν σχ. 27.



Εἰς τό διάγραμμα φαίνεται ἡ μεταβολή τοῦ δυναμικοῦ ἀπό τόν ἕνα ὀπλισμό πρός τόν ἄλλον.

$$\begin{aligned} \text{Ἀλλά } W &= Q \cdot \Delta V = \\ &= \frac{V}{4} \cdot Q \end{aligned}$$

★ Εἰς τό εἰκονιζόμενον ἠλεκτρόμετρον σχ. 28 δίδεται $R = 10 \text{ cm}$ καί $d = 4 \text{ mm}$. Ἡ δύναμις μέ τήν ὁποῖαν ἔλκονται οἱ ὀπλισμοί εἶναι $B = 20 \text{ gr}^*$. Νά εύρεθοῦν τά V, Q .



Ἡ ἐνέργεια τοῦ πυκνωτοῦ εἶναι (HΣΣΜ) : $W = \frac{1}{2} \frac{Q^2}{C} = \frac{2\pi d}{\epsilon S} Q^2$

$$W = F \cdot d = \frac{2\pi d}{\epsilon S} \cdot Q^2 \quad Q = \sqrt{\frac{\epsilon S F}{2\pi}}$$

$$\text{μέ } S = \pi R^2 \quad \text{καί } V = \frac{Q}{C} = \sqrt{\frac{2\pi F d}{\epsilon S}}$$

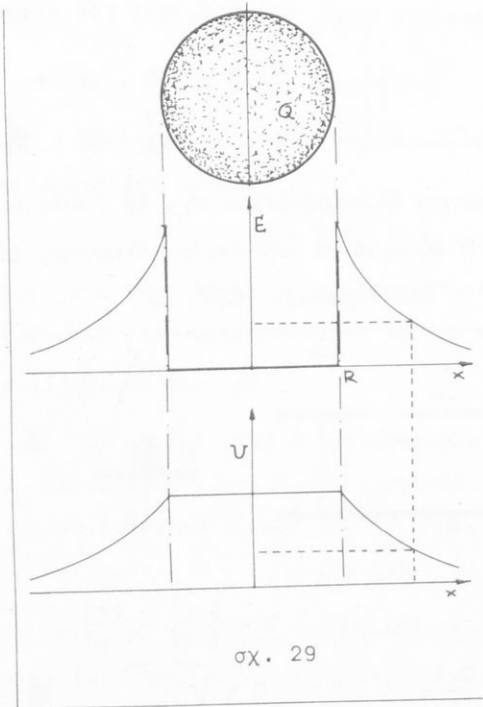
3. σφαιρικά ηλεκτρόδια

3.1. φορτισμένη σφαίρα

● Λέγουμε: "Έστω σφαίρα ακτίνας R , φορτισμένη με θετικό φορτίον Q ". Καί νοούμεν ότι: αὕτη εἶναι ἠλεκτρικῶς ἀποκεκλεισμένη ἐκ τοῦ περιβάλλοντός της ἐνῶ συγχρόνως δεχόμεθα, μέσα εἰς τόν περιβάλλοντα χῶρον, τήν ὑπαρξιν φορτίου $-Q$. Τό φορτίον $-Q$ δικαιολογεῖται ἐκ τῆς παραδοχῆς, ὅτι τό ὅλικόν

φοτίον εἰς τήν φύσιν εἶναι μηδέν.

Τά ἀνωτέρω συμβιβάζονται μόνον ἂν τό $-Q$ εἶναι ἰσοκατανεμημένον εἰς ἄπειρον ἀπό τήν σφαῖραν ἀπόστασιν. Ἀλλά τότε καί τό $+Q$ εἶναι ἰσοκατανεμημένον ἐπί τῆς ἐξωτερικῆς ἐπιφανείας τῆς σφαίρας, τό δέ περί τήν σφαῖραν παραγόμενον πεδῖον εἶναι ἀκτινικόν, συμμετρικόν καί τελεί-



σχ. 29

ως ὅμοιον, ἀπό τήν ἐπιφάνειαν τοῦ σφαιρικοῦ ἀγωγοῦ καί πέραν, πρὸς τὸ παραγόμενον ὑπὸ σημειώδους φορτίου $+Q$ εὐρισκομένου εἰς τὸ κέντρον τῆς σφαίρας. Ἡ ἔντασις τοῦ πεδίου ἔχει, λόγῳ τῆς συμμετρίας, συνιστῶσα μόνον κατὰ τήν ἀκτίνα.

Τὰ διαγράμματα τοῦ σχ. 29 ἀποδίδουν τὰς συναρτήσεις $E = f(x)$ καί $U = f(x)$, μέ x τήν ἀπόστασιν τοῦ τυχόντος σημείου τοῦ πεδίου, ἀπό τὸ κέντρον τῆς σφαίρας.

Εἰς τοὺς κάτωθι πίνακας ἀναγράφονται αἱ τιμαὶ τῆς ἐντάσεως τοῦ πεδίου καί τοῦ δυναμικοῦ διὰ τὰς διαφόρους τιμὰς τῆς ἀποστάσεως x ἐκ τοῦ κέντρον τῆς σφαίρας.

ἀπόστασις x	Ἔντασις πεδίου		Δυναμικόν	
	MKSAr	ΗΣΣΜ	MKSAr	ΗΣΣΜ
$x < R$	0	0	$\frac{Q}{4\pi\epsilon_0 R}$	$\frac{Q}{R}$
$x = R$	$\frac{Q}{4\pi\epsilon_0 R^2}$	$\frac{Q}{R^2}$	$\frac{Q}{4\pi_0 R}$	$\frac{Q}{R}$
$x > R$	$\frac{Q}{4\pi\epsilon_0 x^2}$	$\frac{Q}{x^2}$	$\frac{Q}{4\pi\epsilon_0 x}$	$\frac{Q}{x}$

3.2. ὁμοκεντρικὰ ἠλεκτρόδια

3.2.1. μέθοδος τῆς ἐπαλληλίας

Εἰς τήν μέθοδον αὐτήν, ἥτις εἶναι καί ἡ ἀπλουστερά, ἔλαστον σφαιρικόν ἠλεκτρόδιον μέ τὰ ἐπ' αὐτοῦ φορτία, ἐλεύθερα ἢ ἐξ ἐπιδράσεως, θεωρεῖται ἀπομεμονωμένον. Προσδιορίζονται εἰς τὸ ἀναφερόμενον σημεῖον τὸ δυναμικόν καί ἡ ἔντασις τοῦ πεδίου πού ὀφείλονται εἰς τὸ ἠλεκτρόδιον αὐτό καί μόνον.

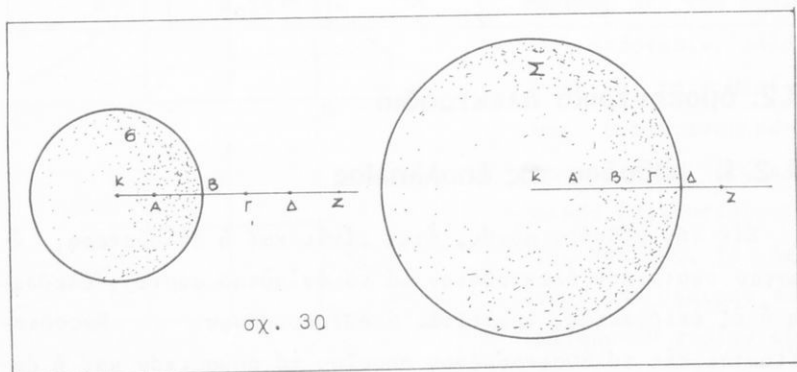
Ἡ ὀλική ἔντασις καί τὸ ὀλικόν δυναμικόν εἰς τὸ ἐν λόγῳ

σημείον εύρίσκονται δι' ἀλγεβρικής ἀθροίσεως.

Συνιστάται ἡ σχεδιάσις ἰδιαιτέρου σχήματος δι' ἐκάστην φορτισμένην σφαιρικήν ἐπιφάνειαν καί ἡ τοποθέτησις τοῦ ἀναφερομένου σημείου εἰς τό σχῆμα ὥστε νά φαίνεται ἀμέσως ἡ θέσις του ὡς πρὸς τήν φορτισμένην σφαιρικήν ἐπιφάνειαν.

★ Δίδονται δύο ὁμοκεντρικά σφαιρικά ἠλεκτρόδια ἀμελητέου πάχους μέ ἀκτῖνας ἀντιστοίχως $R_1 = 10$ καί $R_2 = 20$ cm. Τό ἐσωτερικόν φορτίζεται μέ φορτίον $Q_1 = 20$ ΗΣΜ-φ ἐνῶ τό ἐξωτερικόν μέ φορτίον $Q_2 = -40$ ΗΣΜ-φ. Ποῖον τό δυναμικόν καί ἡ ἔντασις εἰς σημεῖα ἀπέχοντα: $r = 5, 10, 15, 20$ καί 25 cm ἀπό τό κέντρον τοῦ συστήματος:

Κατ' ἀρχάς σχεδιάζομεν μεμονωμένας τὰς δύο φορτισμένας σφαιρικές ἐπιφανεῖας. Τοποθετοῦμεν ἐν συνεχείᾳ τὰ ἀναφερόμενα σημεῖα ὡς πρὸς αὐτάς καί προσδιορίζομεν τήν ἔντασιν & τό δυναμικόν εἰς κάθε σημεῖον ἀπό ἐκάστην σφαῖραν. Προσθέτομεν τέλος ἀλγεβρικῶς.



Τό σημεῖον Α: εἶναι ἐσωτερικόν καί διὰ τὰς δύο σφαιρικές ἐπιφανεῖας. Τό δυναμικόν εἰς τό Α λόγω τῆς σ θά εἶναι ὁ-

σον καί επί τῆς ἐπιφανείας τῆς $U'_A = \frac{Q_1}{R_1} = 2 \text{ ΗΣΜ.δ}$ καί λόγω τῆς Σ ὁμοίως ἴσον πρὸς $U''_A = \frac{Q_2}{R_2} = -2 \text{ ΗΣΜ.δ}$.

$$\text{ὀλικῶς} \quad U_A = 0$$

Ἡ ἔντασις εἰς τό Α λόγω τῆς σ εἶναι $E'_A = 0$ ἐφ' ὅσον εἶναι ἐσωτερικόν καί λόγω τῆς Σ ὁμοίως $E''_A = 0$

$$\text{ὀλικῶς} \quad E_A = 0$$

Τό σημεῖον Β: εἶναι ἐπί τῆς σ ἄρα λόγω αὐτῆς:

$$U'_B = \frac{Q_1}{R_1} = 2 \text{ ΗΣΜ.δ}, \quad E'_B = \frac{Q_1}{R_1^2} = 0,2 \text{ ΗΣΜ-ἔν.πεδ.}$$

καί ἐσωτερικόν τῆς Σ ὁπότε θά ἔχη λόγω αὐτῆς τό δυναμικόν τῆς καί ἔντασιν μηδέν ἥτοι

$$U''_B = \frac{Q_2}{R_2} = -2 \text{ ΗΣΜ.δ} \quad \text{καί} \quad E''_B = 0$$

$$\text{ὀλικῶς:} \quad U_B = 0$$

$$E_B = 0,2 \text{ ΗΣΜ.ἔν.πεδ.}$$

Τό σημεῖον Γ: εἶναι ἐξωτερικόν διὰ τήν σ :

$$U'_r = \frac{Q_1}{r} = 1,33 \text{ ΗΣΜ.δ}, \quad E'_r = \frac{Q_1}{r^2} = 0,09 \text{ ΗΣΜ.ἔν.πεδ.}$$

καί ἐσωτερικόν διὰ τήν Σ :

$$U''_r = \frac{Q_2}{R_2} = -2 \text{ ΗΣΜ.δ} \quad \text{καί} \quad E''_r = 0$$

$$\text{ὀλικῶς} \quad U_r = -0,66 \text{ ΗΣΜ.δ}, \quad E_r = 0,09 \text{ ΗΣΜ.ἔν.πεδ.}$$

Τό σημεῖον Δ: εἶναι ἐξωτερικόν διὰ τήν σ :

$$U'_\Delta = \frac{Q_1}{R_2} = 1 \text{ ΗΣΜ.δ}, \quad E'_\Delta = \frac{Q_1}{R_2^2} = 0,05 \text{ ΗΣΜ.ἔν.πεδ}$$

καί ἐπί τῆς Σ :

$$U_{\Delta}'' = \frac{Q_2}{R_2} = - 2 \text{ ΗΣΜ} - \delta, \quad E_{\Delta}'' = \frac{Q_2}{R_2^2} = - 0,1 \text{ ΗΣΜ} - \text{Εν.π.}$$

ὄλικῶς $U_{\Delta} = - 1 \text{ ΗΣΜ} - \delta, \quad E_{\Delta} = -0,05 \text{ ΗΣΜ} - \text{Εν.π.}$ ◀

Τό σημεῖον Z: εἶναι ἐξωτερικόν διά τήν σ :

$$U_Z' = \frac{Q_1}{r} = 0,8 \text{ ΗΣΜ} - \delta, \quad E_Z' = \frac{Q_1}{r^2} = 0,032 \text{ ΗΣΜ} - \text{Εν.π.}$$

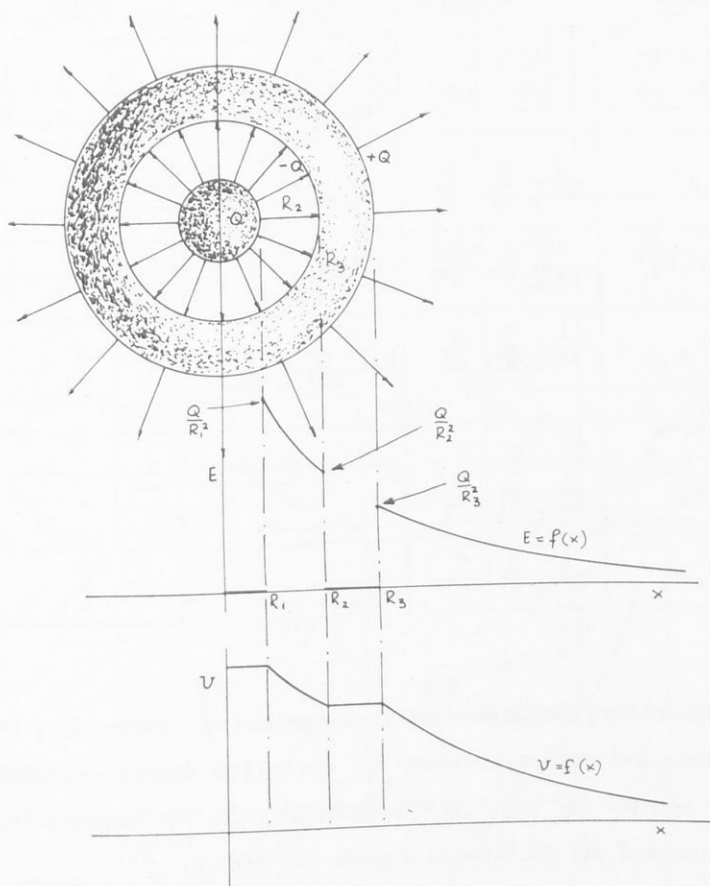
καί ἐξωτερικόν διά τήν Σ :

$$U_Z'' = \frac{Q_2}{r} = - 1,6 \text{ ΗΣΜ} - \delta, \quad E_Z'' = - 0,064 \text{ ΗΣΜ} - \text{Εντ.π.}$$

ὄλικῶς $U_Z = - 0,8 \text{ ΗΣΜ} - \delta \quad E_Z = -0,032 \text{ ΗΣΜ} \text{ Εν.π.}$ ◀

★ Μεταλλική σφαῖρα ἀκτῖνος R_1 καί φορτίου Q περιβάλλεται ὑπό ὁμοκέντρου κοίλης σφαίρας ἐσωτερικῆς ἀκτῖνος R_2 καί ἐξωτερικῆς R_3 . Ἡ ἐξωτερική σφαῖρα εἶναι ἀφόρτιστος (σχῆμα 31). Νά ὑπολογισθοῦν ἔντασις καί δυναμικόν εἰς τά διάφορα σημεῖα τοῦ σχηματιζομένου πεδίου.

Ἡ ἐσωτερική σφαῖρα θά ἠλεκτριση ἐξ ἐπιδράσεως τήν κοίλη. Οὕτω θά ἐμφανισθῇ ἐπί τῆς ἐσωτερικῆς τῆς ἐπιφανείας φορτίον $- Q$ καί ἐπί τῆς ἐξωτερικῆς τῆς φορτίον $+ Q$. Τό πεδίου ἐντός τῆς ὕλης τῶν σφαιρῶν θά εἶναι μηδέν.



Σχῆμα 31

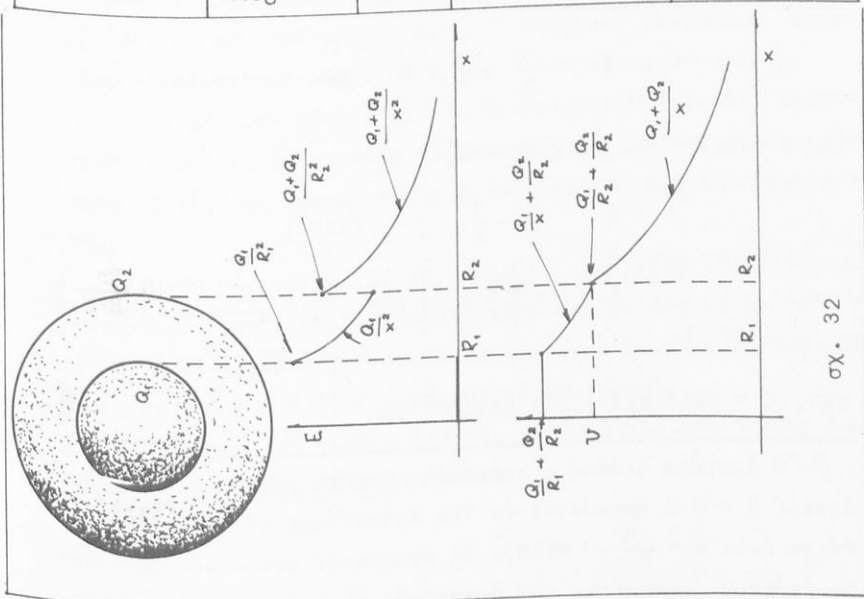
Αἱ δυναμικαὶ γραμμαὶ δὲν συνεχίζονται ἐντὸς τῶν μεταλλικῶν σφαιρῶν.

Απόστασις x	Έντασ. πεδίου		Δυναμικόν	
	MKSAr	ΗΣΣΜ	MKSAr	ΗΣΣΜ
$x < R_1$	0	0	$\frac{1}{4\pi\epsilon_0} Q \left[\frac{1}{R_1} + \frac{1}{R_3} - \frac{1}{R_2} \right]$	$Q \left[\frac{1}{R_1} + \frac{1}{R_3} - \frac{1}{R_2} \right]$
$x = R_1$	$\frac{1}{4\pi\epsilon_0} \cdot \frac{Q}{R_1^2}$	$\frac{Q}{R_1^2}$	"	"
$R_1 < x < R_2$	$\frac{1}{4\pi\epsilon_0} \cdot \frac{Q}{x^2}$	$\frac{Q}{x^2}$	$\frac{1}{4\pi\epsilon_0} Q \left[\frac{1}{R_3} - \frac{1}{R_2} + \frac{1}{x} \right]$	$Q \left[\frac{1}{R_3} - \frac{1}{R_2} + \frac{1}{x} \right]$
$x = R_2$	$\frac{1}{4\pi\epsilon_0} \cdot \frac{Q}{R_2^2}$	$\frac{Q}{R_2^2}$	$\frac{1}{4\pi\epsilon_0} \cdot \frac{Q}{R_3}$	$\frac{Q}{R_3}$
$R_2 < x < R_3$	0	0	"	"
$x = R_3$	$\frac{1}{4\pi\epsilon_0} \cdot \frac{Q}{R_3^2}$	$\frac{Q}{R_3^2}$	"	"
$x > R_3$	$\frac{1}{4\pi\epsilon_0} \cdot \frac{Q}{x^2}$	$\frac{Q}{x^2}$	$\frac{1}{4\pi\epsilon_0} \cdot \frac{Q}{x}$	$\frac{Q}{x}$

★ Μεταλλική σφαίρα ακτίνας R_1 φορτισμένη με φορτίον Q_1 , περιβάλλεται υπό σφαιρας ακτίνας R_2 , άμελητέου πάχους, φορτισμένης με φορτίον Q_2 (σχ. 32). Ποιαί αί τιμαί τής έντάσεως και του δυναμικοῦ εἰς τά διάφορα σημεῖα του πεδίου;

Εἰς τόν ὀπισθεν πίνακα ἐμφαίνονται αί τιμαί τής έντάσεως και του δυναμικοῦ διά τās διαφόρους τιμάς τής ἀποστάσεως x .

Απόσταση x	Ένταση πεδίου		Δυναμικόν	
	MKSAr	HSM	MKSAr	HΣΣM
$x < R_1$	0	0	$\frac{1}{4\pi\epsilon_0} \left[\frac{Q_1}{R_1} + \frac{Q_2}{R_2} \right]$	$\frac{Q_1}{R_1} + \frac{Q_2}{R_2}$
$x = R_1$	$\frac{1}{4\pi\epsilon_0} \frac{Q_1}{R_1^2}$	$\frac{Q_1}{R_1^2}$	"	"
$R_1 < x < R_2$	$\frac{1}{4\pi\epsilon_0} \frac{Q_1}{x^2}$	$\frac{Q_1}{x^2}$	$\frac{1}{4\pi\epsilon_0} \left[\frac{Q_1}{x} + \frac{Q_2}{R_2} \right]$	$\frac{Q_1}{x} + \frac{Q_2}{R_2}$
$x = R_2$	$\frac{1}{4\pi\epsilon_0} \frac{Q_1+Q_2}{R_2^2}$	$\frac{Q_1+Q_2}{R_2^2}$	$\frac{1}{4\pi\epsilon_0} \frac{Q_1+Q_2}{R_2}$	$\frac{Q_1+Q_2}{R_2}$
$x > R_2$	$\frac{1}{4\pi\epsilon_0} \frac{Q_1+Q_2}{x^2}$	$\frac{Q_1+Q_2}{x^2}$	$\frac{1}{4\pi\epsilon_0} \frac{Q_1+Q_2}{x}$	$\frac{Q_1+Q_2}{x}$

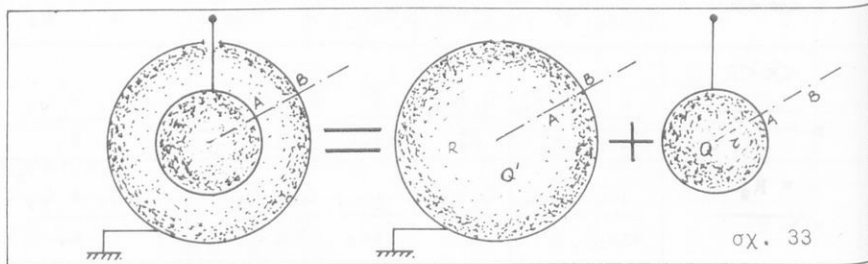


σΧ. 32

★ Μονωμένη μεταλλική σφαίρα, ακτίνας 26cm περιβάλλεται υπό συγκεντρωμένης μεταλλικής σφαίρας ακτίνας 30 cm προσγειωμένης. Να υπολογισθῇ τὸ φορτίον τὸ ὁποῖον πρέπει νά λάβῃ ἡ πρώτη σφαίρα, ὥστε νά ἀποκτήσῃ δυναμικὸν 30 ΗΣΜ-δ.

"Ἐστω Q' τὸ ἐξ ἐπιδράσεως φορτίον τῆς ἐξωτερικῆς. Τότε:

Ἐπειδὴ $U_B = U_B' + U_B'' = 0$



$$\eta \quad \frac{Q'}{R} + \frac{Q}{R} = 0 \quad \blacktriangleright \quad Q' = -Q$$

Ἄλλὰ τότε:

$$U_A = U_A' + U_A'' = U$$

$$\eta \quad \frac{Q}{r} - \frac{Q}{R} = U \quad (\text{ΗΣΣΜ})$$

$$\eta \quad Q \left[\frac{1}{r} - \frac{1}{R} \right] = U \quad Q = \frac{U}{\frac{1}{r} - \frac{1}{R}} = U \cdot \frac{Rr}{R-r} *$$

δηλ. $Q = 5850 \text{ ΗΣΜ-φ} = 1,95 \cdot 10^{-6} \text{ Cb}$

* Ἡ ἀνωτέρω διάταξις καλεῖται "σφαιρικός πυκνωτής" καί ἐπειδὴ $Q = U \cdot C$ προκύπτει ἐκ τῆς συγκρίσεως μέ τόν ἐξαχθέντα τύπον ὅτι: $C = \frac{Rr}{R-r}$ (ΗΣΣΜ). Οἱ σφαιρικοί πυκνωταὶ δέν παρουσιάζουν "ἀνωμαλίας τῶν ἄκρων" ὡς οἱ ἐπίπεδοι καί συνεπῶς τὸ πεδίου παραμένει ἀκτινικόν.

★ Φορτισμένη σφαῖρα μέ φορτίον Q ἔχει ἀκτίνα R_1 καί περιβάλλεται ὑπό σφαιρικοῦ διηλεκτρικοῦ διηλ. σταθερᾶς ϵ . Νά ὑπολογισθοῦν ἔντασις πεδίου καί δυναμικόν, εἰς κάθε χαρακτηριστικόν σημείον εἰς τόν περιβάλλοντα χῶρον. Νά παρασταθοῦν γραφικῶς καί νά γίνη ἀριθμητική ἐφαρμογή μέ $Q = 20 \text{ ΗΣΜ-φ}$, $R_1 = 10 \text{ cm}$, $R_2 = 20 \text{ cm}$ καί $\epsilon = 2$.

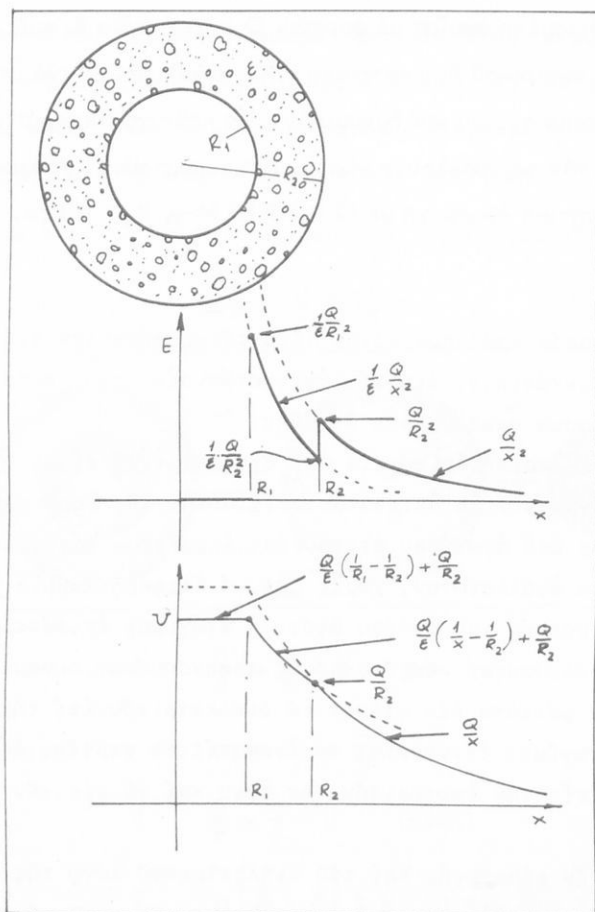
Τό παρόν πρόβλημα εἶναι ἰδιαίτερος δύσκολον διά στοιχειώδη ἀντιμετώπισιν. Διά τήν ἀντιμετώπισίν του καταφεύγομεν εἰς τέχνασμα σκεπτόμενοι ὡς ἑξῆς:

Ἡ ἐξωτερική ἐπιφάνεια τοῦ διηλεκτρικοῦ εἶναι ὅπωςδήποτε ἰσοδυναμική. Ἡ ἀντικατάστασις αὐτῆς τῆς ἰσοδυναμικῆς ἐπιφανείας ὑπό ἀγωγίμου ἐπιφανείας, ἀμελητέου πάχους, διατηρεῖ τό πεδίου ἀναλλοίωτον, χωρίς δηλ. νά ἐπιφέρῃ καμμία μεταβολήν εἰς τήν μορφήν τοῦ πεδίου διότι ἡ ἀγωγίμος ἐπιφάνεια παραμένει ἰσοδυναμική μέ τό αὐτό, ὡς προηγουμένως, δυναμικόν.

Ἐάν μάλιστα δέν ὑπῆρχε τό διηλεκτρικόν ἐπί τῆς ὑποθετικῆς ἀγωγίμου ἐπιφανείας θά ἐνεφανίζετο φορτίον ἔξ ἐπιδράσεως $-Q$ εἰς τήν ἐσωτερικήν της ὄψιν καί $+Q$ εἰς τήν ἐξωτερικήν.

Μέ τήν εἰσαγωγήν καί τοῦ διηλεκτρικοῦ λόγω τῆς πολώσεως τῶν μορίων του ἡ φορτισμένη δοθεῖσα σφαῖρα δρᾷ μέ φορτίον $\frac{Q}{\epsilon}$ ἡ ἐσωτερική ὄψις τῆς ὑποθετικῆς ἀγωγίμου ἐπιφανείας δρᾷ μέ φορτίον $-\frac{Q}{\epsilon}$ ἐνῶ ἡ ἐξωτερική της μέ φορτίον Q .

Κατ' αὐτόν τόν τρόπον διά τῆς μεθόδου τῆς ἐπαλληλίας λαμβάνονται τά ἀκόλουθα διαγράμματα.



σχ. 34

αριθμητική εφαρμογή: Στο ΗΣΣΜ

$x < R_1$	$E = 0$, $V = 1,5$
$x = R_1$	$E = 0,1$, $V = 1,5$
$x = R_2$	$E = 0,025$, $V = 1$
$x > R_2$	$E = 0,05$, $V = 1$



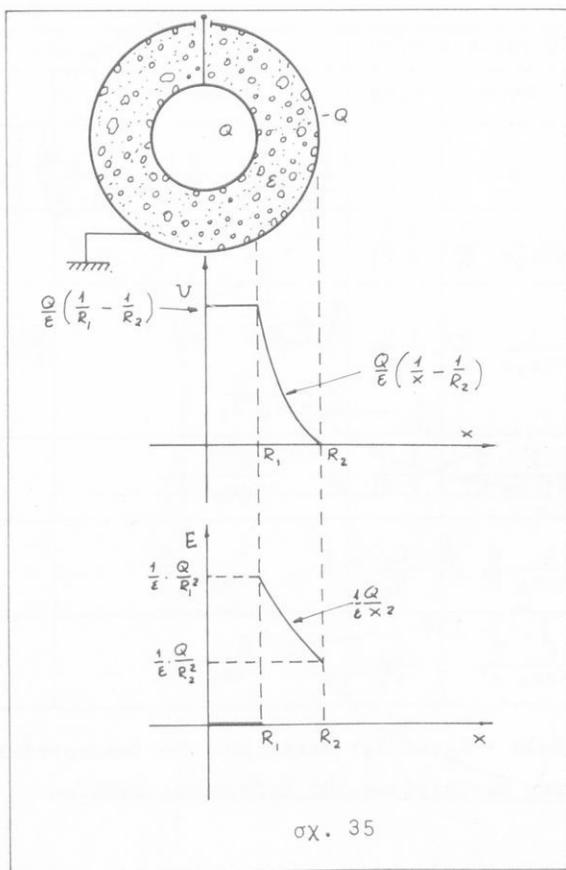
Απόσταση x	Ένταση πεδίου		Δυναμικόν	
	MKS Ar	ΗΣΣΜ	MKSAr	ΗΣΣΜ
$x < R_1$	0	0	$\frac{Q}{4\pi\epsilon_0} \left(\frac{1}{R_1} - \frac{1}{R_2} \right) + \frac{1}{4\pi\epsilon_0} \frac{Q}{R_2}$	$\frac{Q}{\epsilon} \left[\frac{1}{R_1} - \frac{1}{R_2} \right] + \frac{Q}{R_2}$
$x = R_1$	$\frac{1}{4\pi\epsilon_0\epsilon} \cdot \frac{Q}{R_1^2}$	$\frac{1}{\epsilon} \frac{Q}{R_1^2}$	"	"
$R_1 < x < R_2$	$\frac{1}{4\pi\epsilon_0\epsilon} \cdot \frac{Q}{x^2}$	$\frac{1}{\epsilon} \frac{Q}{x^2}$	$\frac{Q}{4\pi\epsilon_0\epsilon} \left(\frac{1}{x} - \frac{1}{R_2} \right) + \frac{1}{4\pi\epsilon_0} \cdot \frac{Q}{R_2}$	$\frac{Q}{\epsilon} \left[\frac{1}{x} - \frac{1}{R_2} \right] + \frac{Q}{R_2}$
$x = \leftarrow R_2^*$	$\frac{1}{4\pi\epsilon_0} \cdot \frac{Q}{R_2^2}$	$\frac{1}{\epsilon} \frac{Q}{R_2^2}$	$\frac{1}{4\pi\epsilon_0} \cdot \frac{Q}{R_2}$	$\frac{Q}{R_2}$
$x = R_2 \rightarrow$	$\frac{1}{4\pi\epsilon_0} \cdot \frac{Q}{R_2^2}$	$\frac{Q}{R_2^2}$	$\frac{1}{4\pi\epsilon_0} \cdot \frac{Q}{R_2}$	$\frac{Q}{R_2}$
$x > R_2$	$\frac{1}{4\pi\epsilon_0} \cdot \frac{Q}{x^2}$	$\frac{Q}{x^2}$	$\frac{1}{4\pi\epsilon_0} \cdot \frac{Q}{x}$	$\frac{Q}{x}$

* Τά σύμβολα $\leftarrow R_2$ και $R_2 \rightarrow$ υποδηλοῦν τήν ἐσωτερική καί τήν ἐξωτερικήν ὄψιν ἀντιστοίχως τῆς ὑποθετικῆς ἀγωγίμου ἐπιφανείας.

3. 2. 2. σφαιρικός πυκνωτής μέ διηλεκτρικόν

Ἀποτελεῖται ἀπό δύο σφαιρικά ὁμόκεντρα ἠλεκτρόδια, μεταξὺ τῶν ὁποίων παρεμβάλλεται στρῶμα διηλεκτρικοῦ, ἐκ τῶν ὁποίων τό ἐξωτερικόν γειοῦται (σχ. 35).

Ἐκ τοῦ παρατιθεμένου διαγράμματος σχ. 35 φαίνεται ὅτι λόγῳ τῆς πολώσεως τοῦ διηλεκτρικοῦ τά ἠλεκτρόδια συμπεριφέρονται ὡς ἔχοντα φορτίον $\frac{Q}{\epsilon}$. Διά τήν καλύτεραν ἀντιμετώπισιν τοῦ παρόντος θέματος μελετήσατε καί τό τελευταῖον πρόβλημα τῆς παραγράφου 3.2.1 λαμβάνοντες ὑπ' ὄψιν καί τήν γείωσιν.



$$\Delta U = U_1 - U_2 = V = \frac{Q}{\epsilon} \cdot \left[\frac{1}{R_1} - \frac{1}{R_2} \right]$$

$$C = \frac{Q}{\Delta U} = \frac{\epsilon \cdot R_1 R_2}{R_2 - R_1} \quad (\text{ΗΣΣΜ})$$

$$\eta \quad C = 4\pi\epsilon\epsilon_0 \cdot \frac{R_1 R_2}{R_2 - R_1} \quad (\text{MKSAr})$$



Τό πεδίων εἰς τό ἐσωτερικόν εἶναι ἀκτινικόν χωρίς ἀνωμαλίας ἐνῶ εἰς τό ἐξωτερικόν δέν ὑπάρχει.

3. 2. 3. γραφική μέθοδος

Ἡ ἐπίλυσις τῶν προβλημάτων ἐπὶ τῶν φορτισμένων σφαιρικών ἠλεκτροδίων ἀπλουστεύεται ἄν:

α. θεωρηθῇ ἕκαστον σφαιρικόν κέλυφος μέ τά ἐπ' αὐτοῦ φορτία μεμονωμένον.

β. κατασκευασθῇ δι' ἕκαστον ἐξ αὐτῶν τό διάγραμμα ἐν. πεδίου - ἀποστάσεως καί δυναμικοῦ - ἀποστάσεως.

γ. δι' ἐπαλληλίας προσδιορίσωμεν εἰς δεδομένην ἀπόστασιν τὰς τιμὰς τῆς ἐντάσεως τοῦ πεδίου καί τοῦ δυναμικοῦ.

★ Τρεῖς ὁμόκεντροι μεταλλικαὶ σφαῖραι ἀμελητέου πάχους ἔχουν ἀκτίνια καμπυλότητος 4 cm, 6 cm καί 10 cm ἀντιστοίχως, φέρουν δέ φορτία 20 ΗΣΜ-φ, 30 ΗΣΜ-φ καί 40 ΗΣΜ-φ ἀντιστοίχως. Νά εὑρεθῇ

α. Τό δυναμικόν ἐκάστης

β. Τό φορτίον τῆς μεσαίας μετά τήν γείωσίν τῆς.

γ. Τά δυναμικά ἐκάστης τῶν ἄλλων μετά τήν γείωσιν τῆς μεσαίας.

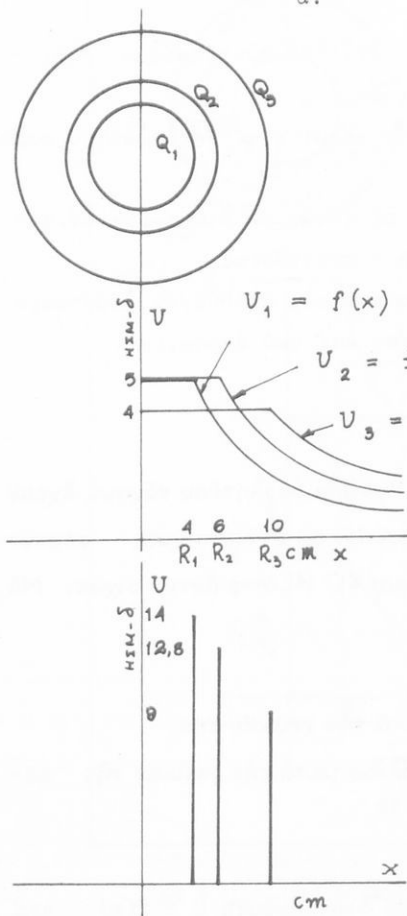
Εἰς τό σχῆμα 36 φαίνονται τά διαγράμματα $U = f(x)$ πρό καί μετά τήν γείωσιν τοῦ μεσαίου ἠλεκτροδίου, ἐπὶ τοῦ αὐτοῦ συστήματος ἀξόνων.

$$\alpha. \quad U_1 = \frac{Q_1}{R_1} + \frac{Q_2}{R_2} + \frac{Q_3}{R_3} = 14 \text{ ΗΣΜ-}\delta \quad \blacktriangleleft$$

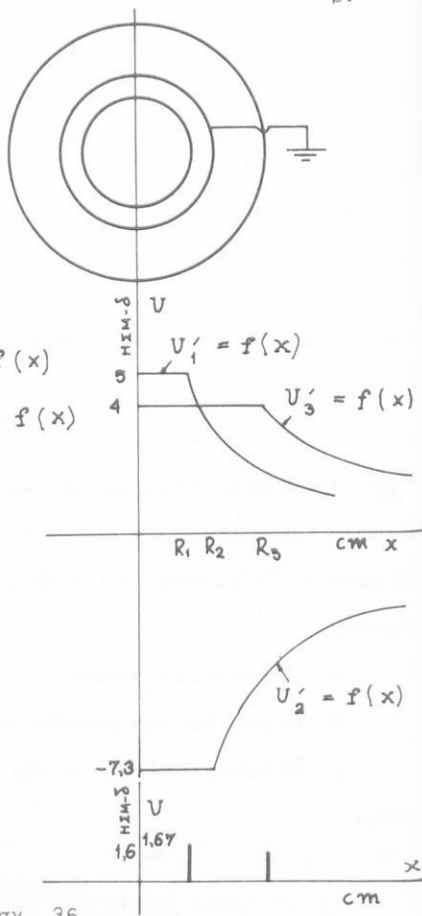
$$U_2 = \frac{Q_1}{R_2} + \frac{Q_2}{R_2} + \frac{Q_3}{R_3} = 12,3 \text{ ΗΣΜ-}\delta \quad \blacktriangleleft$$

$$U_3 = \frac{Q_1}{R_3} + \frac{Q_2}{R_3} + \frac{Q_3}{R_3} = 9 \text{ ΗΣΜ-}\delta \quad \blacktriangleleft$$

α.



β.



σχ. 36

$$\beta. \quad U_2' = \frac{Q_1}{R_2} + \frac{Q_2'}{R_2} + \frac{Q_3}{R_3} = 0 \quad (\text{λόγω γειώσεως}) \quad \blacktriangleleft$$

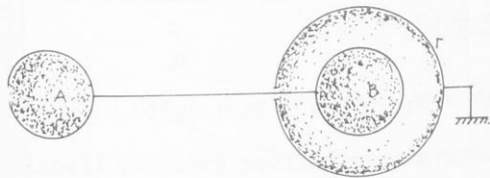
$$\text{άλλά τότε} \quad Q_2' = -R_2 \frac{R_2 Q_3 + Q_1 R_3}{R_2 R_3} = -44 \text{ ΗΜΜ-}\varphi \quad \blacktriangleleft$$

$$\gamma. \quad U_1' = \frac{Q_1}{R_1} + \frac{Q_2'}{R_2} + \frac{Q_3}{R_3} = 1,67 \text{ ΗΜΜ-}\delta \quad \blacktriangleleft$$

$$U_3' = \frac{Q_1}{R_3} + \frac{Q_2'}{R_3} + \frac{Q_3}{R_3} = 1,6 \text{ ΗΜΜ-}\delta \quad \blacktriangleleft$$

★ Δύο μονωμένοι μεταλλικοί σφαιρίαι Α και Β έχουν εκάστη έξ αυτών ακτίνας r και δυναμικόν U . Συνδέομεν τὰς σφαίρας μέ λεπτόν σύρμα. Περιβάλλομεν τήν Β διά κοίλου άγωγού ακτίνος R (δμοκέντρως). Ο άγωγός Γ γειοῦται. Νά εύρεθοῦν τότε:

Τά δυναμικά καί τά φορτία τῶν Α καί Β καθώς καί ἡ μεταβολή τῆς ἠλεκτρικῆς ένεργείας τοῦ συστήματος.



σχ. 37

Λόγω τῆς όμοιότητος τῶν άγωγῶν Α καί Β εἶναι $Q_A = Q_B$ αλλά

$$Q_A = CU = rU$$

Μετά τήν σύνδεσιν σχ.

37 ὁ Β θά άποκτήσῃ φορτίον Q_1 καί θά ἠλεκτρίσῃ έξ έπιδράσεως τόν Γ μέ φορτίον $-Q_1$

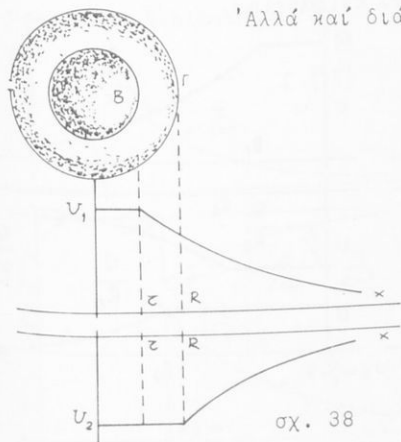
Διότι:

$$U_{\Gamma} = 0 = \frac{Q_1}{R} + \frac{Q_{\Gamma}}{R} \Rightarrow Q_{\Gamma} = -Q_1$$

Έκ τοῦ διαγράμματος σχῆμα 38 φαίνεται ὅτι:

$$U'_B = \frac{Q_1}{r} - \frac{Q_1}{R} = \frac{R-r}{Rr} Q_1 \quad (1)$$

$$\text{Άλλά καί διά τήν Α } U'_A = U'_B = \frac{Q_2}{r} \quad (2)$$



σχ. 38

Έκ τῶν (1) καί (2):

$$\frac{Q_2}{r} = \frac{Q_1}{r} = \frac{Q_1 + Q_2}{r + \frac{Rr}{R-r}}$$

$$= \frac{Q_A + Q_B}{r + \frac{Rr}{R-r}} = \frac{2rU}{r + \frac{Rr}{R-r}}$$

$$Q_2 = 2U \frac{r}{1 + \frac{R}{R-r}}$$

$$Q_1 = 2U \frac{R \cdot r}{2R - r}$$

$$U'_A = U'_B = \frac{2U}{1 + \frac{R}{R-r}} = \frac{2U(R-r)}{2R-r}$$

Ἡ ἀρχικὴ ἐνέργεια τοῦ συστήματος ἦτο: $W_1 = \frac{1}{2} (Q_A + Q_B)U$

Ἡ τελικὴ εἶναι: $W_2 = \frac{1}{2} (Q_A + Q_B)U'_A$

Ἄρα ἡ μεταβολὴ εἶναι: $\Delta W = W_1 - W_2 = \frac{1}{2} (Q_A + Q_B)(U - U'_A)$

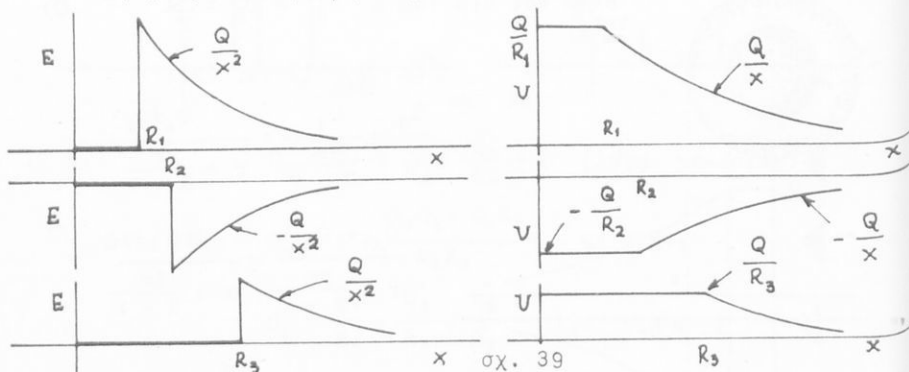
ἦτοι τελικῶς, ἡ εἰς θερμότητα μετατραπεῖσα ἐνέργεια εἶναι:

$$\Delta W = \frac{r^2 U^2}{2R-r}$$

★ Ὡς ἐφαρμογὰς τῆς μεθόδου ἀναφέρομεν καὶ τὰ παραδείγματα τῆς παραγράφου 3-2-1 λελυμένα ἤδη διὰ τῆς μεθόδου τῆς ἐπαλληλίας.

Πρῶτον παράδειγμα τῆς παραγράφου 3-2-1.

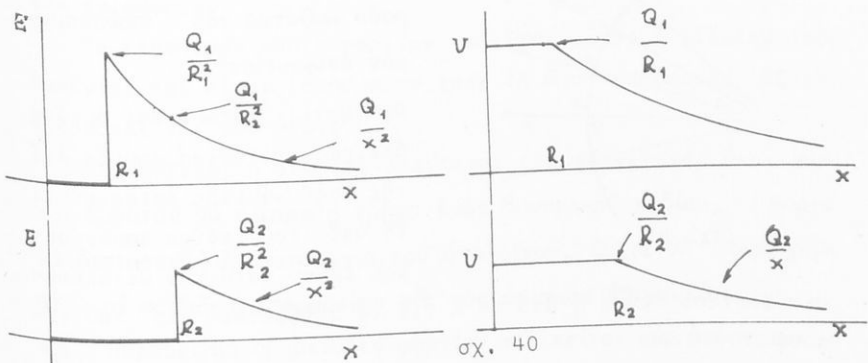
Εἰς τὸ σχῆμα 39 φαίνονται αἱ συναρτήσεις $E = f(x)$ καὶ $U = f(x)$ δι' ἐκάστην φορτισμένη ἐπιφάνειαν.



Ἐκ τῆς προσθέσεως τῶν ἀντιστοίχων τιμῶν λαμβάνονται τὰ διαγράμματα τοῦ σχήματος 31.

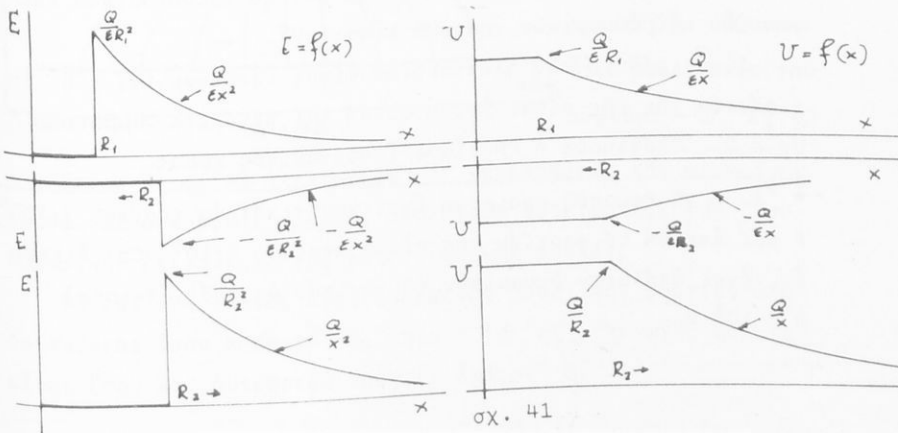
Δεύτερον παράδειγμα τῆς παραγράφου 3-2-1.

Τὰ διαγράμματα τοῦ σχήματος 40 ἀποδίδουν τὰς συναρτήσεις $E = f(x)$ καὶ $U = f(x)$ δι' ἐκάστην φορτισμένην σφαῖραν. Ἐκ τῆς προσθέσεως τῶν ἀντιστοίχων τιμῶν προκύπτουν τὰ διαγράμματα τοῦ σχ. 32.



Τέταρτον παράδειγμα τῆς παραγράφου 3-2-1.

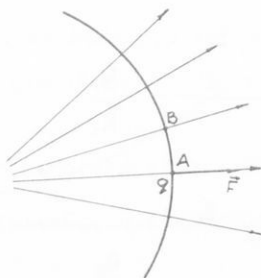
Εἰς τὸ κάτωθι σχῆμα φαίνονται τὰ διαγράμματα $U = f(x)$ καὶ $E = f(x)$ διὰ τὴν περίπτωσην σφαίρας περιβαλλομένης ὑπὸ σφαιρικοῦ διηλεκτρικοῦ.



4. κατοπτρισμός

4.1. γενικά

Κάθε επιφάνεια της οποίας όλα τα σημεία έχουν το αυτό δυναμικόν, καλοῦμεν *ισοδυναμικήν*.



σχ. 42

Ευκόλως αποδεικνύεται ότι:

"Αἱ δυναμικαὶ γραμμαὶ διαπερῶν καθέτως τὰς *ισοδυναμικὰς ἐπιφανείας*".

Πράγματι: "Ἐστω A καὶ B δύο ἀπέριως γειτονικά σημεῖα ἐπὶ τῆς *ισοδυναμικῆς ἐπιφανείας*. Τὸ ὑπὸ τοῦ πεδίου παραγόμενον ἔργον κατὰ τὴν μετακίνη-

σιν φορτίου τινός q ἀπὸ τὸ A εἰς τὸ B δίδεται ἀπὸ τὸν τύπον:

$$W = q(U_A - U_B) = F(AB)\cos\varphi$$

καὶ ἐπειδὴ $U_A = U_B$ θὰ εἶναι $W = 0$. Ἀλλὰ διὰ νὰ ἰσχύῃ ἡ τελευταία, πρέπει $\cos\varphi = 0$, δηλ. ἡ γωνία τῶν διανυσμάτων \vec{F} καὶ \vec{AB} νὰ εἶναι 90° , ἥτοι, ἡ γωνία μεταξὺ *ισοδυναμικῶν ἐπιφανειῶν* καὶ *δυναμικῶν γραμμῶν* εἶναι 90° .

Αἱ ἐπιφάνεια τῶν ἠλεκτροδίων εἶναι *ισοδυναμικαί*. Ἡ ἐπιφάνεια τῆς $\Gamma\eta$ εἶναι *ισοδυναμική* καὶ δεχόμεθα *συμβατικῶς* * $U_\Gamma = 0$. Ὀλόκληρος ἡ $\Gamma\eta$ εἶναι *ισοδυναμικός* χώρος.

* Ἐάν ἡ $\gamma\eta$ θεωρηθῇ σφαιρική ἔχει χωρητικότητα περίπου $7 \cdot 10^{-4}$ F καὶ ἐπειδὴ τὸ φορτίον της εἶναι περίπου $6 \cdot 10^5$ Cb ἔπεται ὅτι ἔχει ἀπόλυτον δυναμικόν (δυναμικόν ὡς πρὸς ἄπειρον) $8,6 \cdot 10^8$ V.

4.2. μέθοδος του κατοπτρισμού

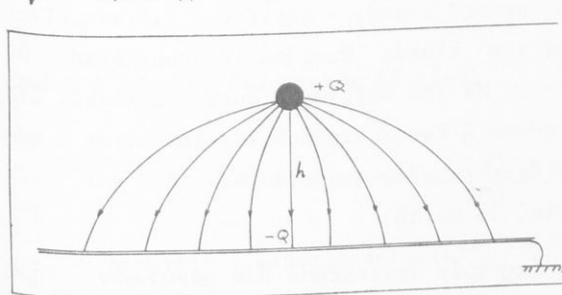
Ἡ μέθοδος ἐφαρμόζεται εἰς περιπτώσεις ἀλληλεπιδράσεως φορτίου - ἄγωγου καί συνίσταται εἰς:

Τὴν ἀναζήτησιν τοῦ μεγέθους καί τῆς θέσεως δευτέρου εἰκονικοῦ φορτίου τὸ ὁποῖον θά ἐσχημάτιζε μέ τὸ δοθέν, πεδίου εἰς τὸ ὁποῖον ἡ ἐπιφάνεια τοῦ ἄγωγου θά ἀποτελῆ ἰσοδυναμική ἐπιφάνειαν.

Τὸ εἰκονικόν τοῦτο φορτίον καλεῖται εἰκὼν ἢ εἶδωλον τοῦ δοθέντος καί εἶναι ἰσοδύναμον πρὸς τὸ ἀναπτυσσόμενον ἐξ ἐπιδράσεως ἐπὶ τοῦ ἄγωγου.

Οὐσιαστικῶς ἡ μέθοδος βασίζεται εἰς τὸ γεγονός ὅτι: εἶναι δυνατόν νά ἀφαφεθῆ τμήμα ἑνὸς δυναμικοῦ πεδίου, χωρὶς νά διαταραχθῆ ἡ λειτουργία τοῦ ὑπολοίπου, ἄρκει νά διατηρηθοῦν αἱ συνθήκαι ἰσορροπίας εἰς τὰς ὁριακὰς ἐπιφανείας.

★ Παράδειγμα: Σημειῶδες φορτίον $+Q$ κεῖται εἰς ἀπόστασιν h



σχ. 43

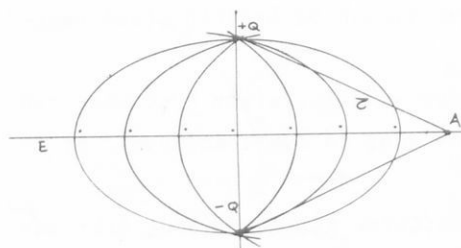
ὑπεράνω ὑπεραγωγίμου μεταλλικῆς γειωμένης ἐπιπέδου ἐπιφανείας. Νά ὑπολογισθῆ ἡ δύναμις ἣτις ἀσκειται ἐπὶ τοῦ φορτίου $+Q$. Σχ.43

Προφανῶς τὸ $+Q$ ἠλεκτρίζει ἐξ ἐπιδράσεως τὴν γειωμένην πλάκα. Αἱ δυναμικαὶ γραμμαὶ ἀπολήγουν καθέτως εἰς τὴν ἰσοδυναμικὴν ἐπιφάνειαν τῆς προσγειωμένης πλακός.

Τὸ ἐπὶ τῆς πλακός ἀναπτυσσόμενον ἀρνητικόν φορτίον ἀποδεικνύεται ἴσον πρὸς τὸ $-Q$. Δηλαδή τὸ ἐξ ἐπαγωγῆς φορτίον εἶναι ἴσον καί ἀντίθετον πρὸς τὸ ἐπάγον Q .

Διά τήν δύναμιν Coulomb δέν δύναται νά ἐφαρμοσθῇ ὁ νόμος Coulomb ἐφ' ὅσον $+Q$ καί $-Q$ δέν εἶναι σημειακά.

Ἡ ἀναζητήσις φορτίου, τιθεμένου εἰς κατάλληλον θέσιν, τοιοῦτου ὥστε νά διατηρῇ τήν μορφήν τοῦ πεδίου μεταξύ πλακός - φορτίου $+Q$, ὁδηγεῖ εἰς τήν τοποθέτησιν τοῦ φορτίου $-Q$ εἰς



σχ. 44

συμμετρικήν τοῦ $+Q$ ὡς πρὸς τήν πλάκα, θέσιν, (σχῆμα 44).

Ἐστω σημεῖον A κείμενον ἐπί τοῦ ἐπιπέδου τό ὁποῖον κατελάμβανε ἡ πλάξ.

$$V_A = \frac{Q}{r} - \frac{Q}{r} = 0$$

Δηλαδή καί πάλιν ἡ E εἶναι ἰσοδυναμική μέ $V = 0$.

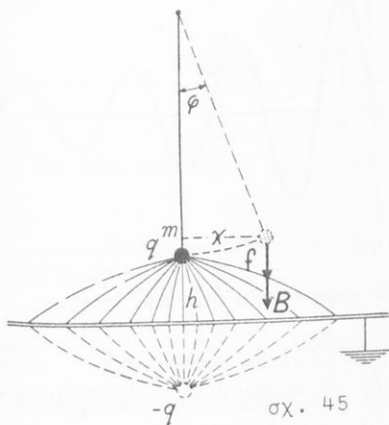
Ἵσως: τό πεδίου, μεταξύ πλακός - φορτίου $+Q$, διατηρεῖται ἀναλλοίωτον ἂν, ἀντί τῆς πλακός θεωρήσω τό συμμετρικόν ὡς πρὸς αὐτήν φορτίον $-Q$. Μέ τήν ἀντικατάστασιν τῆς πλακός ὑπὸ τοῦ $-Q$ καταργεῖται μόνον ἡ θωράκισις τοῦ κάτωθεν αὐτῆς χώρου. Τοῦτο ὅμως δέν ἔχει καμμίαν σημασίαν διά τό Q καί τίς δυνάμεις πού ἀσκοῦνται ἐπ' αὐτοῦ.

★ Ἡλεκτριόν ἐκκενρῆς ἀποτελεῖται ἀπό μονωτικόν νῆμα, μήκους l , οὗτινος τό ἓν ἄκρον προσδέεται εἰς ἀκλόνητον σημεῖον, τό δέ ἕτερον φέρει σφαιρίδιον μάζης m .

Ἐπί τοῦ σφαιριδίου φέρεται φορτίον q σταθερόν. Τό ὅλον σύστημα εὐρίσκεται ἐντός ὁμογενοῦς πεδίου βαρύτητος.

Ἐκτρέπομεν ἐλαφρῶς τό ἐκκενρῆς ἐκ τῆς θέσεως ἰσοροπίας του καί ἀφήνομεν αὐτό νά αἰωρηθῇ.

Περιγράψατε καί δικαιολογήσατε τό είδος τῆς κινήσεως τοῦ ἔκκεμευῶς καί σχεδιάσατε κατά προσέγγισιν τήν γραφικήν παράστασιν αὐτῆς, ὅταν κάτωθεν τοῦ ἔκκεμευῶς καί εἰς μικράν σχετικῶς ἀπόστασιν ἀπ' αὐτοῦ, τοποθετῆται μία χαλινίη πλάξ, ἀπείρου ἐκτάσεως, προσγειωμένη.



Φυσικόν Ἀθηνῶν 1960

θεωρῶ τό φορτίον εἴδωλον $-q$ σχῆμα 45. Ἄν τό ἔκκεμές ἐκτελῆ αἰωρήσεις μικροῦ πλάτους ἢ ἀπόστασις h δέν μεταβάλλεται αἰσθητῶς.

Ἐπί τοῦ φορτισμένου σφαιριδίου ἀσκεῖται τότε δύναμις:

$$f = \frac{q^2}{4h^2}$$

ὅποτε ἡ δύναμις ἐπαναφορᾶς θά εἶναι:

$$F = (f + B) \eta \mu \phi = \left(\frac{q^2}{4h^2} + mg \right) \cdot \frac{x}{l}$$

Ἡ περίοδος αἰωρήσεως ἀφορτίστου ἢ ἄνευ τῆς παρουσίας τῆς πλακῶς εἶναι:

$$T_{\alpha} = 2\pi \sqrt{\frac{l}{g}} \quad (1)$$

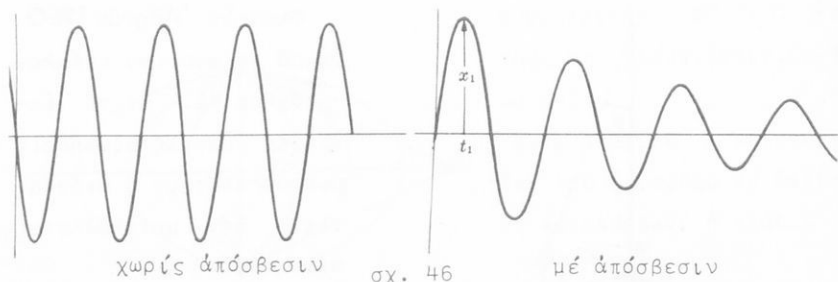
Ἐνῶ φορτισμένου παρουσίᾳ τῆς πλακῶς γίνεται:

$$T_{\phi} = 2\pi \sqrt{\frac{m}{D}} = 2\pi \sqrt{\frac{ml}{\frac{q^2}{4h^2} + mg}} = 2\pi \sqrt{\frac{l}{\frac{q^2}{4h^2 m} + g}} \quad (2)$$

Ἐκ τῆς συγκρίσεως τῶν (1) καί (2) προκύπτει:

$$T_{\varphi} < T_{\alpha}$$

ἥτοι τό ἐκκρεμές αἰωρεῖται ταχύτερον λόγῳ τῆς ἀλληλεπιδράσεως φορτίου - πλακός.



Ἐν σημειῶδες φορτίον Q εὐρίσκεται εἰς ἀπόστασιν h ἀπό ἓν ἀπεριόριστον γειωμένον ἐπίπεδον.

Ποία ἡ ἔντασις τοῦ πεδίου εἰς τό σημεῖον B , εὐρισκόμενον εἰς ἀπόστασιν h ἀπό τό ἐπίπεδον καί l ἐκ τοῦ q .

θεωρῶ τό "φορτίον εἴδωλον" $-q$, σχ. 47

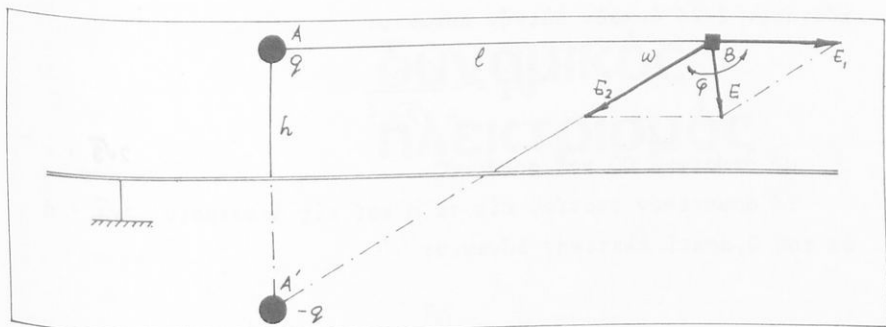
Ἡ ἔντασις εἰς τό B ὀφείλεται εἰς τά φορτία q καί $-q$.

$$E_1 = \frac{q}{l^2} \quad (1)$$

$$E_2 = \frac{q}{4h^2 + l^2} \quad (2)$$

$$\begin{aligned} E &= \sqrt{E_1^2 + E_2^2 + 2E_1E_2 \cdot \text{συν}\varphi} = \\ &= \sqrt{E_1^2 + E_2^2 - 2E_1E_2 \cdot \text{συν}\omega} \end{aligned} \quad (3)$$

$$\text{μέ} \quad \text{συν}\omega = \frac{1}{\sqrt{4h^2 + l^2}} \quad (4)$$



σχ. 47

Έκ τῶν (1), (2), (3), (4) προκύπτει:

$$E = \frac{q}{l^2 (4h^2 + l^2)} \cdot \sqrt{16h^4 + 2l^4 + 8h^2l^2 - 2l^3} \sqrt{4h^2 + l^2}$$

★ Υποθέσατε τὰ ἐπίπεδα xy , yz , zx ἑνός τρισσορθογωνίου συστήματος κατασκευασμένα ἀπὸ μέταλλον καὶ συγκολλημένα εἰς τὰς τομὰς.

Υποθέσατε ἐπίσης ἓν σημειῶδες φορτίον Q εἰς ἀπόστασιν d ἐξ ἑκάστου.

Ποῖα ἡ διεύθυνσις καὶ τὸ μέτρον τῆς δυνάμεως ἣτις ἀσκεῖται ἐπὶ τοῦ Q ;

Δι' ἐφαρμογῆς τῆς μεθόδου τοῦ κατοπτρισμοῦ ἐμφανίζονται 7 "φορτία εἴδωλα" ὡς εἰς τὸ σχῆμα 48.

Τὰ τρία ἀρνητικὰ φορτία εἴδωλα A , B , Γ εὐρισκόμενα εἰς ἀπόστασιν $2d$ ἐκ τοῦ Q ἀσκοῦν ὀλικὴν δύναμιν:

$$F_1 = \frac{\sqrt{3}}{4} \cdot \frac{Q^2}{d^2} \quad \text{μέ στήριγμα } OQ \text{ καὶ φορὰν πρὸς τὸ } O.$$

Τὰ τρία θετικὰ φορτία εἴδωλα Δ , E , Z εὐρισκόμενα εἰς ἀ-

πόστασιν $2\sqrt{2}d$ άσκειν όλικήν δύναμιν:

$$F_2 = \frac{\sqrt{3} Q^2}{4 \sqrt{2} d^2}$$

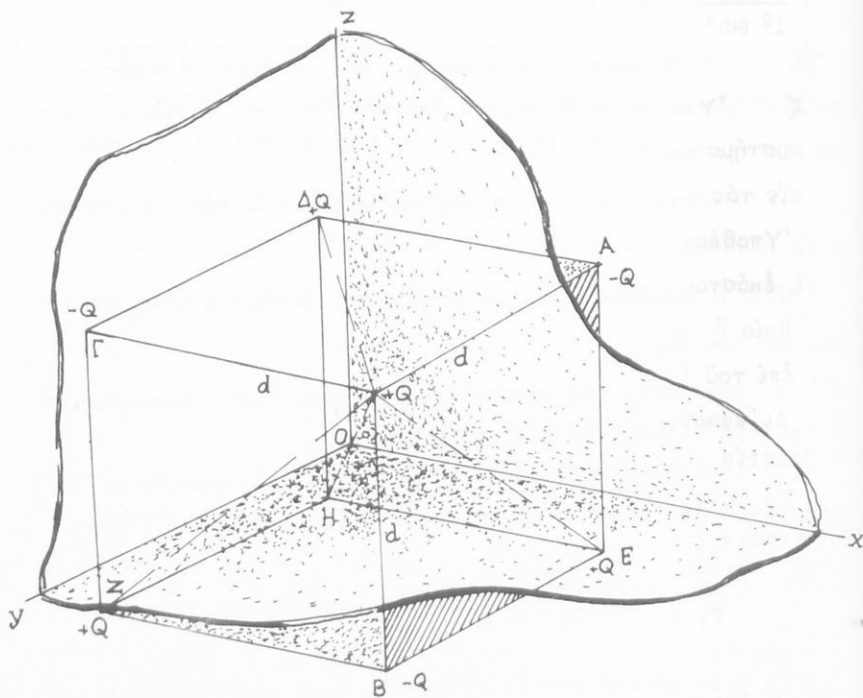
μέ στήριγμα OQ και φοράν OQ.

Τό άρνητικόν φορτίον εις τό Η και εις άπόστασιν $2\sqrt{3} \cdot d$ έκ του Q, άσκει έλκτικήν δύναμιν:

$$F_3 = \frac{Q^2}{12d^2}$$

'Η όλική δύναμις έχει φοράν προς τό O και μέτρον

$$F = \frac{Q^2}{d^2} \left(\frac{\sqrt{3}}{4} - \frac{\sqrt{3}}{4\sqrt{2}} + \frac{1}{12} \right)$$



δυναμικός ήλεκτρισμός

5. κυκλώματα συνεχούς

5.1. βασικαί έννοιαι

- Ρεύμα: καλείται ή προσανατολισμένη κίνησης ήλεκτριων φορέων.
- Συνεχές ρεύμα: καλείται γενικώς εκείνο τό όποϊον διατηρεί ώρισμένην φοράν.
- Ένταση ρεύματος: διερχομένου διά τινος διατομής άγωγού κατά τυχούσαν χρονικήν στιγμήν t , όρίζεται τό όριον πρός τό όποϊον τείνει τό πληθύνον τής ποσότητος ήλεκτρισμού ΔQ , ήτις διέρχεται διά τής διατομής μεταξύ τών χρονικων στιγμών t και $t + \Delta t$, πρός τό χρονικόν διάστημα Δt του Δt τείνοντος πρός τό μηδέν.

$$\text{ήτοι: } I = \lim_{\Delta t \rightarrow 0} \frac{\Delta Q}{\Delta t}$$

Έη ένταση ρεύματος έκφράζει τήν "ΠΑΡΟΧΗΝ" ήλ. φορτίου
Είς περιπτώσεις σταθεράς έντάσεως γράφομεν:

$$I = \frac{Q}{t}$$

- Διαφορά δυναμικοῦ ἢ ἠλεκτρική τάσις ἢ ἀπλῶς τάσις: ἔχει μηχανικόν ἀντίστοιχον τήν διαφορὰν πιέσεως. Προκαλεῖ τήν κίνησιν τῶν ἠλεκτρικῶν φορέων.
- Ἡλεκτρική ἀντίστασις: καλεῖται ὁ συντελεστής ἀναλογίας R εἰς τήν σχέσιν:

$$I = \frac{1}{R} \cdot V$$

Χαρακτηρίζει τήν "ΠΟΙΟΤΗΤΑ" τοῦ ἀγωγοῦ. "Ἀριστος ἀγωγός" ἔχει ἠλεκ. ἀντίστασιν μηδέν.

- Τάσις E ἢ ἠλεκτρεγερτική δύναμις πηγῆς: ὀρίζεται τό ἄθροισμα E τῶν πτώσεων τάσεως RI καί rI εἰς τό ἐκτός καί ἐντός τῆς πηγῆς τμήμα τοῦ κυκλώματος, ἦτοι:

$$E = I(R + r)$$

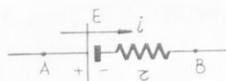
ἐκφράζει δέ τήν τάσιν εἰς τοὺς πόλους πηγῆς μὴ διαρρεομένης ὑπὸ ρεύματος.

- Τάσις E' ἢ ἀντιηλεκτρεγερτική δύναμις ἀποδέκτου: ὀρίζεται ἡ διαφορὰ E' τῆς ἐφαρμοζομένης τάσεως V διὰ τήν λειτουργίαν τοῦ ἀποδέκτου καί τῆς πτώσεως τάσεως Ir' ἐντός τοῦ ἀποδέκτου, ἦτοι:

$$E' = V - Ir'$$

"Ἄς σημειωθῇ ἀκόμη ἐδῶ ὅτι ἐφ' ὅσον τό ρεῦμα πού διαρρέει μίαν πηγὴν ἔχει τήν

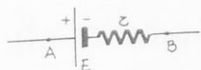
σχ. 49



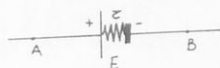
είκονιζομένην φοράν, ή πηγή δρᾶ ὡς ἀποδέκτης μέ E' ἴσον πρὸς E . Εἰς τήν περίπτωσιν αὐτήν:

$$V_{AB} = E + Ir$$

- Σύμβολον ἠλεκτριῆς πηγῆς $\Sigma.P.$: Παρ' ὅτι ἐν τοῖς ἐπομέ-
νοις χρησιμοποιοῦμεν διά τὰς πηγὰς $\Sigma.P.$ τό σύμβολον



ἀναγνωρίζομεν ὡς καλύτερον τό σύμβολον



τό ὁποῖον εἰσήχθη προσφάτως εἰς τήν ξένην βιβλιογραφίαν καί
τοῦτο διότι:

- Διακρίνεται σαφῶς ἡ ἐσωτερική ἀντίστασις r .
- Ἀποδίδει τήν συνέχειαν τοῦ κυκλώματος εἰς τό ἐσωτε-
ρικό τῆς πηγῆς.
- Δέν ἀφήνει ἀμφιβολίας ὡς πρὸς τήν θέσιν τῶν πόλων τῆς
πηγῆς.

- Πτώσις τάσεως, ἐπί τινος ἀντιστάσεως R διαρρομένης ὑπό
ρεύματος I , καλεῖται τό γινόμενον IR .

- Φορά ρεύματος. Εἰς τό παρόν σύγγραμμα ἔχει καθιερωθῆ ἡ
συμβατική φορά διά τό συνεχές ρεῦμα.

- Κύκλωμα: καλεῖται ὁ οἰοσδήποτε συνδυασμός συνδεδεμένων
πηγῶν καί ἀγωγῶν. Διακρίνεται εἰς κλειστόν καί ἀνοικτόν.

Ὅρισμοί ἐπί τοῦ κυκλώματος.

- Κόμβος: καλεῖται τό κοινόν σημειῶν τριῶν ἢ περισσοτέρων
ἀγωγῶν.

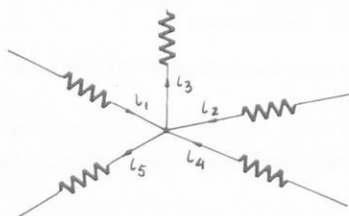
- Βρόχος: καλείται κάθε αγωγίμος κλειστή ακολουθία πηγών και αντιστάσεων.
- Κλάδος ή ρεῖθρον: καλείται αγωγίμος ακολουθία πηγών και αντιστάσεων, περατουμένη εις δύο κόμβους.

5.2. κανόνες kirchhoff

5. 2. 1. πρῶτος κανὼν $\Sigma I = 0$

"Τό ἀλγεβρικό ἀθροισμα τῶν συνερχομένων, εις ἕνα κόμβον, ρευμάτων ἰσοῦται πρὸς μηδέν", ἢ

"Τό ἀθροισμα τῶν ἐντάσεων τῶν προσερχομένων εις ἕνα κόμβον ρευμάτων ἰσοῦται πρὸς τό ἀθροισμα τῶν ἀπερχομένων τοῦ κόμβου, ρευμάτων"



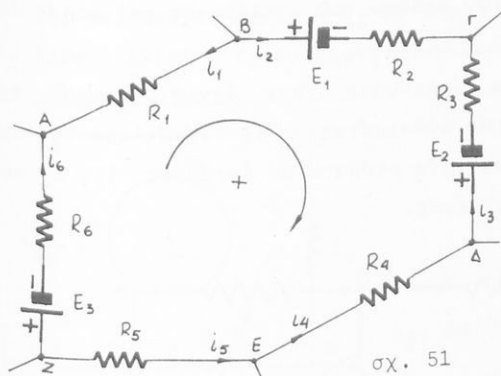
σχ. 50

$$\begin{aligned} \text{"Ἦτοι: } i_1 + i_2 + i_4 &= \\ &= i_3 + i_5 \end{aligned}$$

Ἡ πρότασις αὐτὴ ἀπορρέει λογικῶς ἐκ τῆς ἀρχῆς "ἀφθαρσίας τοῦ φορτίου".

5. 2. 2. δεῦτερος κανὼν $\Sigma E = \Sigma IR$

"Εἰς ἕναστον τῶν βρόχων ἡλεκτρικοῦ κυκλώματος τό ἀλγεβρικό ἀθροισμα τῶν τάσεων E (ΗΕΔ) ἰσοῦται πρὸς τό ἀλγεβρικό ἀθροισμα τῶν πτώσεων τάσεως ἐπὶ τῶν κλάδων τοῦ βρόχου τούτου".



Διά τόν βρόχον τοῦ σχ. 51 ἰσχύει:

$$E_2 - E_1 - E_3 = i_2 R_2 + i_6 R_6 - (i_1 R_1 + i_4 R_4 + i_5 R_5 + i_3 R_3)$$

5. 2. 3. ἀπόδειξις τῆς $\Sigma E = \Sigma IR$

Ἐκ τοῦ σχήματος 51 καί ἐκ τῶν δοθέντων ὁρισμῶν, προκύπτει:

$$U_A - U_B = -i_1 R_1$$

$$U_B - U_\Gamma = i_2 R_2 + E_1$$

$$U_\Gamma - U_\Delta = -i_3 R_3 - E_2$$

$$U_\Delta - U_E = -i_4 R_4$$

$$U_E - U_Z = -i_5 R_5$$

$$U_Z - U_A = i_6 R_6 + E_3$$

Διά προσθέσεως τῶν ἀνωτέρω εὐρίσκομεν:

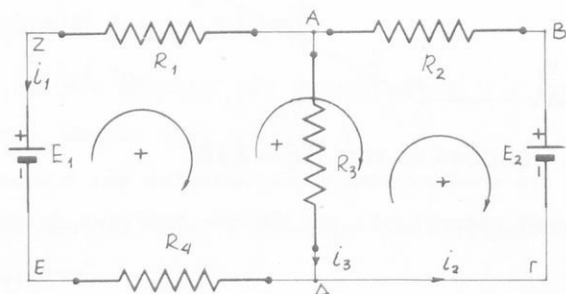
$$E_2 - E_1 - E_3 = i_2 R_2 + i_6 R_6 - (i_1 R_1 + i_3 R_3 + i_4 R_4 + i_5 R_5)$$

5. 2. 4. ἐφαρμογή τῆς $\Sigma E = \Sigma IR$

Διά τήν ἐφαρμογήν τῆς $\Sigma E = \Sigma IR$ ἔστω τό κύκλωμα τοῦ σχ. 52 μέ τās ἀναγραφόμενας τιμάς τῶν στοιχείων του (R_j εἰς Ω καί V_i εἰς Volts).

α. Σημειούμεν επί τῶν κλάδων τοῦ κυκλώματος τὰς φοράς τῶν ρευμάτων.

Ἐάν τινά ἢ καί ὅλα τὰ ρεύματα ἔχουν ἄγνωστον φοράν καί ἐντάσεις, ὀρίζομεν αὐτάς αὐθαιρέτως. Εἰς τό κύκλωμα τοῦ σχ. 52, ὀρίζονται αὐθαιρέτως τρία ρεύματα μέ ἐντάσεις i_1 , i_2 καί i_3 καί φοράς τὰς σημειωθείσας.



σχ. 52

β. Καθορίζομεν δι' ἕκαστον βρόχον μίαν θετικήν φοράν περιγραφῆς.

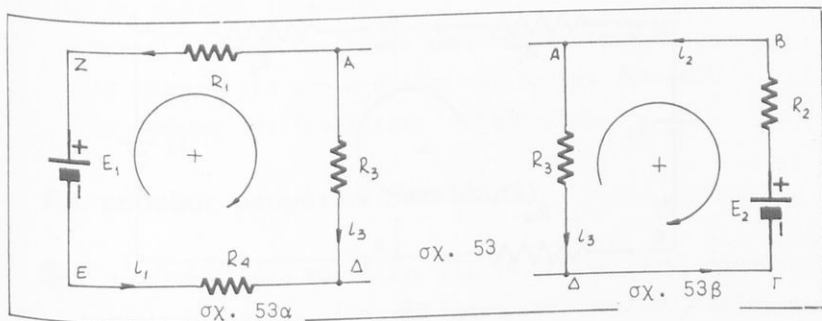
Εἰς τό κύκλωμα τοῦ σχ. 52 ὑπάρχουν τρεῖς βρόχοι ΑΒΓΔΑ, ΑΔΕΖΑ καί ΒΓΕΖΒ, διὰ τοὺς ὁποίους ἐλήφθη ὡς θετική φορά ἡ καθοριζομένη ἐκ τῆς διαδοχῆς τῶν γραμμῶν.

γ. Μορφοῦμεν τό ἀλγεβρικόν ἄθροισμα ΣΕ. Ἀρχίζοντες ἐξ ἑνός κόμβου διαγράφομεν κατά τήν ὀρισθεῖσαν θετικήν φοράν, τόν βρόχον.

Ἄν κατά τήν περιγραφῆν τοῦ βρόχου συναντῶμεν πρῶτον τόν ΑΡΝΗΤΙΚΟΝ ΠΟΛΟΝ πηγῆς Ε καί μετὰ τόν ΘΕΤΙΚΟΝ (- → +). ἢ Ε λογίζεται ὡς ΘΕΤΙΚΗ*.

* Παρατήρησις: ΜΙΑ ΗΕΔ Ε θεωρεῖται θετική ὅταν ΔΡΩΣΑ ΜΟΝΗ ΠΡΟΣΔΙΔΗ ΕΙΣ ΤΟΝ ΚΛΑΔΟΝ ΡΕΥΜΑ, ΜΕ ΦΟΡΑΝ ΤΗΝ ΘΕΤΙΚΗΝ ΦΟΡΑΝ ΔΙΑΓΡΑΦΗΣ ΤΟΥ.

Εἰς τόν βρόχον ΑΔΕΖΑ ἡ E_1 θά ληφθῆ θετικὴ σχ. 53α. Εἰς τόν βρόχον ΑΒΓΔΑ ἡ E_2 θά ληφθῆ ἀρνητικὴ, σχ. 53β.



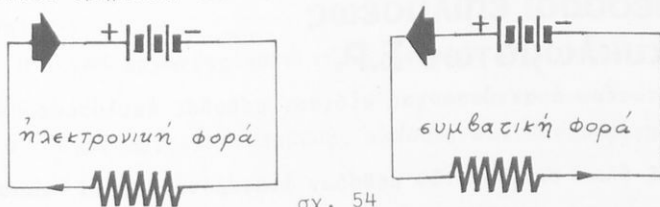
Τέλος, εἰς τόν βρόχον ΖΒΓΕΖ, ἡ E_1 λογίζεται θετικὴ καὶ ἡ E_2 ἀρνητικὴ: σχ. 53γ.

δ. Μορφοῦμεν τὸ ἀλγεβρικὸν ἄθροισμα ΣΙR. Μία πῶσις τάσεως $V_j = R_i I_k$ λογίζεται θετικὴ ὅταν τὸ ρεῦμα I_k , διαρρέῃ τὴν R_i κατὰ τὴν θετικὴν φοράν περιγραφῆς τοῦ βρόχου: σχῆμα 55α.

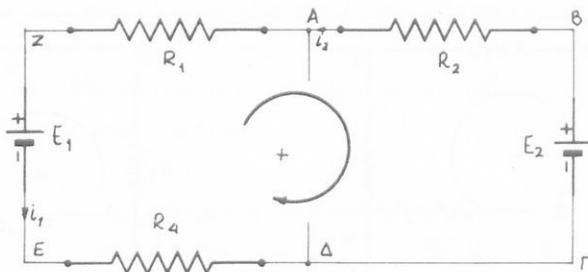
Παρατήρησις.

Δέν πρέπει νά συγχέεται τὸ ρεῦμα τὸ ὁποῖον διαρρέει τὴν πηγὴν, μέ τὸ ρεῦμα τὸ ὁποῖον προκαλεῖ ἡ πηγὴ χωρὶς τὴν παρουσία, ἐν τῷ κυκλώματι, τῶν ἄλλων πηγῶν (βλέπε θεώρημα ὑπερθέσεως).

Τὸ ρεῦμα τὸ ὁποῖον διαρρέει ἕνα κλάδον εἰς κύκλωμα πολλῶν πηγῶν, εἶναι ἀποτέλεσμα τῆς συνεργασίας ὅλων τῶν πηγῶν. Τὸ ρεῦμα τὸ ὁποῖον προκαλεῖ μία πηγὴ ἔχει, συμβατικῶς φερόν ἐκ τοῦ $- \rightarrow +$ διὰ μέσου τῆς πηγῆς ἢ ἐκ τοῦ $+ \rightarrow -$ διὰ τοῦ ἐξωτερικοῦ τμήματος τοῦ κυκλώματος σχῆμα 54.

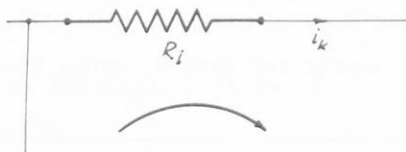


'Αντιθέτως ή $V_j = R_i I_k$, λογίζεται άρνητική αν ή φορά του I_k δέν συμπίπτη μέ τήν φοράν περιγραφής του βρόχου: σχημ.55β.

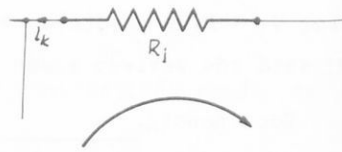


σχ. 53γ

Είς τό κύκλωμα του σχ. 52 είναι: $V_3 = R_3 I_3$ θετική διά τόν βρόχον ΑΔΕΖΑ καί άρνητική διά τόν ΑΒΓΔΑ.



σχ. 55α



σχ. 55β

Συνοψίζοντας έχομεν διά τό παράδειγμά μας:

$$\text{βρόχος ΑΒΓΔΑ: } -E_2 = -I_2 R_2 - I_3 R_3$$

$$\text{" ΑΔΕΖΑ: } E_1 = -I_1 R_1 + I_3 R_3 - I_1 R_4$$

$$\text{" ΒΓΕΖΒ: } E_1 - E_2 = -I_1 R_1 - I_2 R_2 - I_1 R_4$$

6. μέθοδοι επίλυσεως κυκλωμάτων Σ.Ρ.

Κατωτέρω αναπτύσσονται είδικαί μέθοδοι επίλυσεως κυκλώματος Σ.Ρ.

'Εξ όλων τών δυνατών μεθόδων αναφέρονται μετά παραδειγ-

μάτων αί κυριώτεροι καί περισσότερον προσिताί είς τόν ύποψήφιον σπουδαστήν τών θετικῶν έπιστημῶν, πρὸς τόν ὁποῖον κυρίως άπευθύνεται τό παρόν.

Μεταξύ τῶν μεθόδων αὐτῶν περιλαμβάνονται :

'Η μέθοδος διά τῶν ρευμάτων τῶν βρόχων (Maxwell)

'Η μέθοδος τῆς έπαλληλίας (Helmoltz)

6.1. μέθοδος ρευμάτων (Kirchhoff)

● 'Η μέθοδος αὕτη βασίζεται είς τό γεγονός ὅτι, ὁσονδήποτε πολύπλοκον καί ἄν εἶναι ἓν ἠλεκτρικόν κύκλωμα, δι'έφαρμογῆς τῶν έξισώσεων Kirchhoff, δύνανται νά γραφοῦν έξισώσεις τόσαι, ὅσαι άπαιτοῦνται διά τόν προσδιορισμόν τῶν ρευμάτων ὄλων τῶν κλάδων.

'Εάν μέ κ παρασταθῆ ὁ ἀριθμός τῶν κόμβων ἑνός κυκλώματος καί μέ λ ὁ ἀριθμός τῶν κλάδων του, ὑπάρχουν πάντοτε $\kappa - 1$ κόμβοι ἀπό τοὺς ὁποίους, δι'έφαρμογῆς τῆς $\Sigma I = 0$, θά λάβωμεν $\kappa - 1$ ανεξαρτήτους έξισώσεις καί $\lambda - \kappa + 1$ βρόχοι, ἀπό τοὺς ὁποίους, δι'έφαρμογῆς τῆς $\Sigma E = \Sigma IR$ θά λάβωμεν $\lambda - \kappa + 1$ ανεξαρτήτους ἀκόμη έξισώσεις.

Ἵναστε τελικῶς νά ἔχωμεν:

$$(\kappa - 1) + (\lambda - \kappa + 1) = \lambda$$

έξισώσεις, ίσαρίθμους πρὸς τόν ἀριθμόν τῶν ρευμάτων τοῦ κυκλώματος.

'Η σειρά εργασίης κατά τήν έφαρμογήν τῆς μεθόδου εἶναι ἡ έξῆς:

α. Ἀναγνωρίζομεν κόμβους, κλάδους καί βρόχους τοῦ κυκλώματος.

β. Καθορίζομεν αὐθαίρετως φοράς άγνώστων ρευμάτων είς

τούς διαφόρους κλάδους.

γ. Καθορίζομεν αὐθαίρετως, θετικήν φοράν διαγραφῆς τῶν βρόχων.

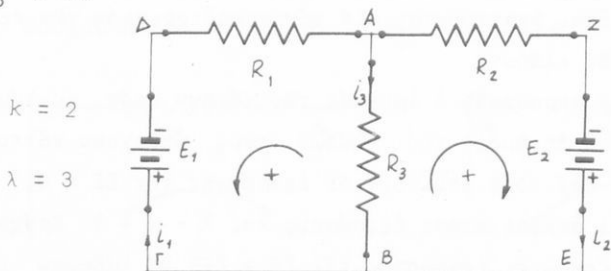
δ. Δι' ἐφαρμογῆς τῆς $\Sigma I = 0$ εἰς $\kappa - 1$ κόμβους λαμβάνομεν καταλλήλως, ἰσαρίθμους, γραμμικῶς ἀνεξαρτήτους, ἐξισώσεις.

ε. Δι' ἐφαρμογῆς τῆς $\Sigma E = \Sigma IR$ εἰς $\lambda - \kappa + 1$ βρόχους* λαμβάνομεν ἰσαρίθμους γραμ. ἀνεξαρτήτους ἐξισώσεις.

στ. Ἐπιλύομεν τό προκύπτον σύστημα.

★ Νά ἐπιλυθῆ τό κύκλωμα τοῦ σχ. 56.

Δίδονται $E_1 = 10\text{V}$, $E_2 = 20\text{V}$, $R_1 = 5\Omega$, $R_2 = 10\Omega$ καί $R_3 = 5\Omega$.



$$\text{Ἐκ τοῦ κόμβου A: } I_1 = I_2 + I_3 \quad (1)$$

$$\text{Ἐκ τοῦ βρόχου AZEBA**}: E_2 = R_2 I_2 - R_3 I_3 \quad (2)$$

$$\text{" " " ABΓΔA: } E_1 = -R_3 I_3 - R_1 I_1 \quad (3)$$

Παρατηρήσεις:

* Παρατηρήσεις: Οἱ $\lambda - \kappa + 1$ βρόχοι πρέπει:

I. Νά περιέχουν ὅλας τὰς πηγὰς.

II. Νά περιέχουν ἕκαστος τοῦλάχιστον ἓνα νέον κλάδον.

**Τοὺς βρόχους ABΓΔA καί AZEBA οἱ ὅποιοι ἐν τῷ σχήματι περικλείονται ἀπὸ κλάδους ἀνήκοντας εἰς τό περίγραμμα τῶν καί μόνον, ὀνομάζομεν τοῦ λοιποῦ "ἀπλοῦς". Ἐξ αὐτῶν προκύπτουν πάντοτε ἐξισώσεις τῆς μορφῆς $\Sigma E = \Sigma IR$, γραμμικῶς ἀνεξάρτητοι.

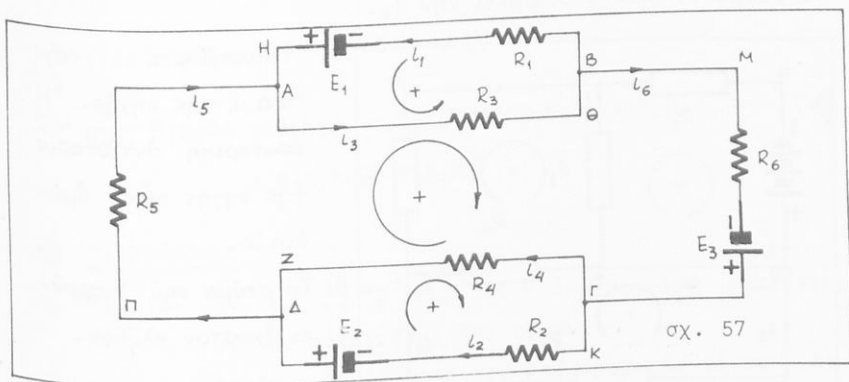
Ἐκ τοῦ συστήματος προκύπτει:

$$I_1 = -0,4 \text{ A}^*$$

$$I_2 = 1,2 \text{ A}$$

$$I_3 = -1,6 \text{ A}$$

★ Νά ἐπιλυθῆ τὸ κύκλωμα τοῦ σχ. 57.



Δίδονται: $E_1 = 8\text{V}$, $E_2 = 16\text{V}$, $E_3 = 12\text{V}$, $R_1 = 2\Omega$, $R_2 = 4\Omega$, $R_3 = 4\Omega$,
 $R_4 = 6\Omega$, $R_5 = 2\Omega$ καὶ $R_6 = 4\Omega$.

Ἔχομεν $\kappa = 4$ καὶ $\lambda = 6$

$$\text{Ἐκ τοῦ κόμβου Α: } I_3 = I_1 + I_5 \quad (1)$$

$$\text{" " " Β: } I_3 = I_6 + I_1 \quad (2)$$

$$\text{" " " Γ: } I_6 = I_4 + I_2 \quad (3)$$

$$\text{Ἐκ τοῦ βρόχου ΑΗΒΘΑ: } E_1 = I_1 R_1 + I_3 R_3 \quad (4)$$

$$\text{" " " ΔΖΓΚΔ: } E_2 = I_2 R_2 - I_4 R_4 \quad (5)$$

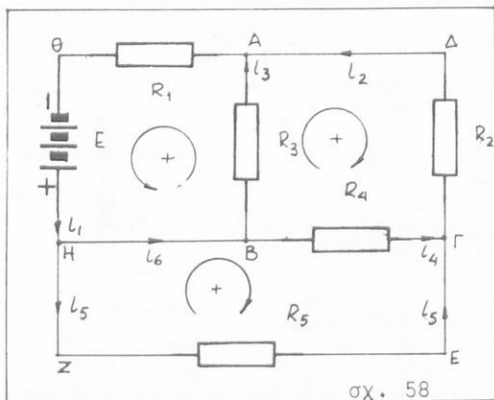
$$\text{" " " ΑΘΒΜΓΖΔΠΑ: } E_3 = I_4 R_4 + I_5 R_5 + I_3 R_3 + I_6 R_6 \quad (6)$$

* Τὸ ἄρνητικὸν πρόσημον τῶν I_1 καὶ I_3 δηλοῖ ὅτι: ἡ φορά τῶν ρευμάτων αὐτῶν εἶναι ἀντίθετος τῆς ἀθαιρέτως ληφθείσης.

Έκ τῆς ἐπιλύσεως τοῦ συστήματος προκύπτει:

$$\begin{aligned} I_1 &= 0,113 \text{ A} & I_3 &= 1,943 \text{ A} & I_5 &= 1,830 \text{ A} \\ I_2 &= 2,698 \text{ A} & I_4 &= -0,868 \text{ A} & I_6 &= 1,830 \text{ A} \end{aligned}$$

✪ Εἰς τό κύκλωμα τοῦ σχ. 58 δίδονται αἱ ἀντιστάσεις καί τό ρεῦμα τό ὁποῖον διαρρέει τήν R_1 .



- α) Ὑπολογίσατε τήν ΗΕΔ E τῆς πηγῆς. Ἡ ἔσωτερική ἀντίσταση τῆς πηγῆς εἶναι ἀμελητέα.
- β) Τό ρεῦμα πού διαρρέει ἕκαστον κλάδον.

$$\text{Ἔχομεν } \kappa = 4 \quad \lambda = 6$$

$$\text{Ἐκ τοῦ κόμβου Β: } I_6 = I_3 + I_4 \quad (1)$$

$$\text{" " " Γ: } I_4 + I_5 = I_2 \quad (2)$$

$$\text{Ἐκ τοῦ κόμβου Η*: } I_1 = I_6 + I_5 \quad (3)$$

$$\text{Ἐκ τοῦ βρόχου ΑΒΗΘΑ: } E = I_3 R_3 + I_1 R_1 \quad (4)$$

$$\text{" " " ΑΒΓΔΑ: } 0 = I_3 R_3 - I_2 R_2 - I_4 R_4 \quad (5)$$

$$\text{" " " ΗΓΕΖΗ: } 0 = I_4 R_4 - I_5 R_5 \quad (6)$$

$$\text{Ἐκ τῆς (6) } \blacktriangleright I_5 = I_4 \cdot \frac{R_4}{R_5}$$

$$\text{" " (2) } \blacktriangleright I_2 = I_4 \cdot \left(1 + \frac{R_4}{R_5}\right)$$

* Παρατήρησης: Ἦτο δυνατόν νά θεωρηθοῦν τά σημεῖα Β καί Η ὡς εἶν, ὁπότε θά περιωρίζετο ὁ ἀριθμός τῶν ἀγνώστων

$$\begin{aligned} \text{Έκ τῆς (5)} & \quad \blacktriangleright \quad I_3 = \frac{I_4 (R_2R_5 + R_2R_4 + R_4R_5)}{R_3R_5} \quad \blacktriangleleft \\ \text{" " (1)} & \quad \blacktriangleright \quad I_1 = \frac{R_3R_5 + R_3R_4 + R_2R_5 + R_2R_4 + R_4R_5}{R_3R_5} I_4 \quad \blacktriangleleft \\ \text{" " (3)} & \quad \blacktriangleright \quad I_6 = I_4 \frac{R_2R_5 + R_2R_4 + R_4R_5 + R_3R_5}{R_3R_5} \quad \blacktriangleleft \end{aligned}$$

Γέλος ἐκ τῆς (4)

$$E = \frac{I_4}{R_3R_5} (R_1R_2R_5 + R_1R_3R_5 + R_1R_4R_5 + R_1R_2R_4 + R_1R_3R_4 + R_3R_2R_5 + R_3R_4R_5)$$

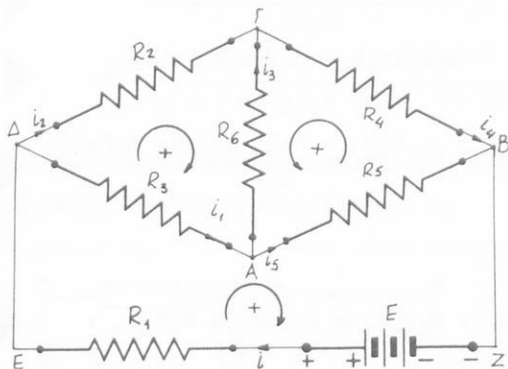
● Διερεύνησις

- α. Ρεύματα: "Αν $I_j > 0$, 'Η φορά τοῦ ρεύματος I_j συμπίπτει μέ τήν αὐθαιρέτως ληφθεῖσαν.
"Αν $I_j < 0$, 'Η φορά τοῦ ρεύματος I_j εἶναι ἀντίθετος τῆς ληφθεῖσης αὐθαιρέτως.
- β. ΗΕΔ : "Αν $E_j > 0$, 'Η πηγὴ ἔχει τήν σχεδιασθεῖσαν αὐθαιρέτως πολικότητα*.
"Αν $E_j < 0$, 'Η πηγὴ ἔχει, τήν ἀντίθετον τῆς αὐθαιρέτου, πολικότητα.
- γ. Ἀντιστάσεις: Αἱ ὠμικαὶ ἀντιστάσεις δικαιολογοῦν μόνον θετικὰς τιμὰς.

* Παρατήρησις: Ἀναφερόμεθα εἰς τὰς περιπτώσεις προσδιορισμοῦ ΗΕΔ πηγῆς, τῆς ὁποίας εἶναι ἄγνωστος καὶ ἡ θέσις τῶν πόλων.



Νά ἐπιλυθῆ τὸ κύκλωμα τοῦ σχ. 59.



σχ. 59

$$n = 4 \quad \text{καί}$$

$$\lambda = 6$$

'Εκ τοῦ βρόχου ΑΒΓΑ	: $I_5R_5 - I_4R_4 - I_3R_6 = 0$	(1)
Ε'' " " ΑΔΓΑ	: $I_2R_2 - I_3R_6 - I_1R_3 = 0$	(2)
" " " ΑΒΓΔΑ	: $I_4R_4 + I_2R_2 - I_5R_5 - I_1R_3 = 0$	(3)
" " " ΑΒΖΕΔΑ	: $E = IR_1 + I_1R_3 + I_5R_5$	(4)
" " " ΑΒΖΕΔΓΑ	: $E = IR_1 + I_2R_2 - I_3R_6 + I_5R_5$	(5)
" " " ΔΑΓΒΖΕΔ	: $E = IR_1 + I_1R_3 + I_3R_6 + I_4R_4$	(6)
" " " ΔΓΒΖΕΔ	: $E = IR_1 + I_2R_2 + I_4R_4$	(7)

Παρατηρῶ ὅτι: ἂν ἀπό (2) ἀφαιρεθῆ ἡ (1) προκύπτει ἡ (3) δηλ. αἱ (1), (2) καί (3) δέν εἶναι γραμμικῶς ἀνεξάρτητοι.

'Ομοίως ἂν εἰς (7) προστεθῆ ἡ (3) προκύπτει ἡ (5) κ.ο.κ.

Διὰ τοῦ παραδείγματος δικαιολογεῖται ἡ εἰσαγωγή καί ἡ χρῆσις τῆς ἐννοίας τοῦ "ἁπλοῦ βρόχου".

Εἰς τὸ παράδειγμά μας ἁπλοῦ βρόχοι εἶναι οἱ ΑΒΓΑ, ΑΓΔΑ, ΑΒΖΕΔΑ ἀπὸ τοὺς ὁποίους ἐλάβαμεν τὰς (1), (2) καί (4).

$$\text{'Εκ τοῦ κόμβου } \Gamma: I_2 + I_3 = I_4 \quad (8)$$

$$\text{" " " } \text{Α: } I_1 = I_5 + I_3 \quad (9)$$

$$\text{" " " } \text{Β: } I = I_5 + I_4 \quad (10)$$

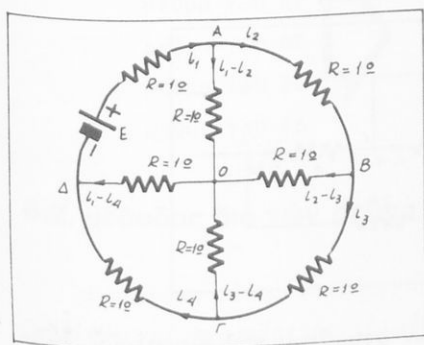
Έκ τῶν (1), (2), (4), (8), (9) καί (10) ὑπολογίζονται τά: I , I_1 , I_2 , I_3 , I_4 καί I_5 .

παρατήρησις ἐπὶ τῆς μεθόδου τῶν ρευμάτων

Εἰς μερικὰς περιπτώσεις καὶ κυρίως ὅταν τὸ πρὸς ἐπίλυσιν πρόβλημα περιέχει μίαν μόνον πηγήν, δυνάμεθα νὰ περιορίσωμεν τὸν ἀριθμὸν τῶν ἐξισώσεων δι' ἀπ' εὐθείας ἐφαρμογῆς τοῦ κανόνος $\Sigma I = 0$, τοῦ Kirchhoff. Κατ' αὐτὸν τὸν τρόπον ὁ ἀριθμὸς τῶν ἐξισώσεων θὰ εἶναι ἴσος μὲ τὸν ἀριθμὸν τῶν ἀπλῶν βρόχων τοῦ κυκλώματος.

Ἔστω τὸ ἀκόλουθον παράδειγμα.

★ Κυκλικὸν σύρμα ἔχει ἀντίστασιν 4Ω . Τὰ σημεῖα A , B , Γ καὶ Δ χωρίζουν αὐτὸ εἰς τέσσαρα ἴσα τμήματα. Συνδέομεν τὰ A , Γ καθὼς καὶ τὰ B , Δ δι' ἀγωγῶν ἀντιστάσεως 2Ω συνδεομένων κατὰ τὸ μέσον των O . Διακόπτομεν τὴν συνέχειαν εἰς τι σημεῖον μεταξύ A καὶ Δ παρεμβάλλοντες πηγήν $HE\Delta$ $30V$. Ποῖα τὰ ρεύματα εἰς τοὺς διαφόρους κλάδους;



σχ. 60

Δι' ἀπ' εὐθείας ἐφαρμογῆς τοῦ $\Sigma I = 0$ ἔχομεν διὰ τοὺς διαφόρους κλάδους τὰ ἑξῆς ρεύματα ἀντιστοίχως:

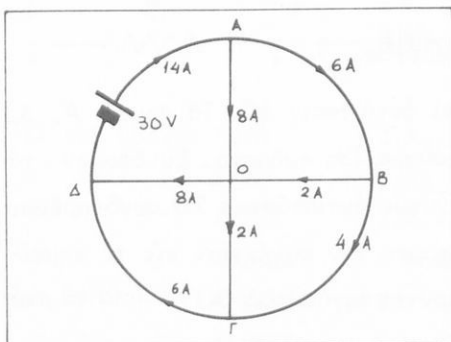
κλάδος AB	➤	ρεύμα I_2
κλάδος $B\Gamma$	➤	ρεύμα I_3
κλάδος OB	➤	ρεύμα $I_2 - I_3$
κλάδος $\Gamma\Delta$	➤	ρεύμα I_4
κλάδος $O\Gamma$	➤	ρεύμα $I_3 - I_4$
κλάδος ΔA	➤	ρεύμα I_1
κλάδος $O\Delta$	➤	ρεύμα $I_1 - I_4$
κλάδος OA	➤	ρεύμα $I_1 - I_2$

Έκ τοῦ βρόχου ABOA	→	$I_2 + (I_2 - I_3) - (I_1 - I_2) = 0$
" " " BΓOB	→	$I_3 + (I_3 - I_4) - (I_2 - I_3) = 0$
" " " ΓΔΟΓ	→	$I_4 - (I_1 - I_4) - (I_3 - I_4) = 0$
" " " ΔΑΟΔ	→	$E = I_1 \cdot R + (I_1 - I_2)R + (I_1 - I_4)R$

$$\text{μέ } R = 1\Omega \text{ καί } E = 30 \text{ V}$$

Έκ τοῦ ἀνωτέρω συστήματος προκύπτει:

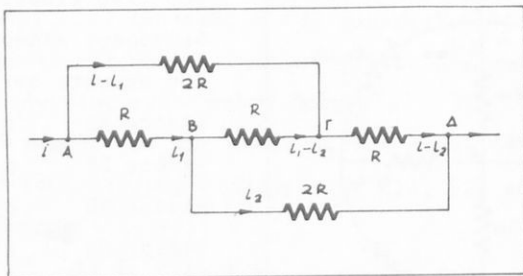
$$I_1 = 14 \text{ A}, \quad I_2 = 6 \text{ A}, \quad I_3 = 4 \text{ A}, \quad I_4 = 6 \text{ A}$$



Εἰς τό παραπλεύρωσ σχῆμα φαίνονται τὰ ρεύματα εἰς τοὺς διαφόρους κλάδους

σχ. 61

★ Δίδεται τό κύκλωμα τοῦ σχήματος. Ἐκάστη τῶν AB, BΓ, ΓΔ εἶναι ἴση πρὸς R ἐνῶ ἐκάστη τῶν AΓ καί BΔ εἶναι 2R.



σχ. 62

Νά εὑρεθῇ σχέσις μεταξύ τῶν ρευμάτων πού διαρρέουν ἐκαστὴν ἀντίστασιν καί τοῦ ὅλικοῦ I.

Δι' εφαρμογῆς τῆς παρατηρήσεως ἐπί τῆς μεθόδου τῶν ρευμάτων, λαμβάνομεν τὴν ἀκόλουθον ἀντιστοιχίαν ἀγωγῶν - ρευμάτων.

ἀγωγός AB	ρεῦμα I_1
ἀγωγός AG	ρεῦμα $I - I_1$
ἀγωγός ΒΔ	ρεῦμα I_2
ἀγωγός ΒΓ	ρεῦμα $I_1 - I_2$
ἀγωγός ΓΔ	ρεῦμα $I - I_2$

Δι' εφαρμογῆς, ἐν συνεχείᾳ, τοῦ ΣΕ = ΣΙR λαμβάνομεν:

βρόχος ABΓA

$$I_1 R + (I_1 - I_2) R - (I - I_1) 2R = 0 \quad \blacktriangleright \quad 4I_1 - I_2 = 2I \quad (1)$$

βρόχος ΒΓΔA

$$(I_1 - I_2) R + (I - I_2) R - I_2 2R = 0 \quad \blacktriangleright \quad 4I_2 = I_1 + I \quad (2)$$

Ἐκ τῶν (1) καί (2) λαμβάνομεν:

$$I_1 = 0,6 \cdot I$$

$$I_2 = 0,4 \cdot I$$

ἄρα:	ρεῦμα τοῦ AB	0,6 I
	ρεῦμα τοῦ AG	0,4 I
	ρεῦμα τοῦ ΒΓ	0,2 I
	ρεῦμα τοῦ ΒΔ	0,4 I
	ρεῦμα τοῦ ΓΔ	0,6 I

6.2. μέθοδος διὰ τῶν ρευμάτων τῶν βρόχων

Ἡ μέθοδος αὕτη ἐφαρμόζεται κυρίως διὰ τὸν ὑπολογισμόν ρευμάτων καί προσφέρεται ἰδιαίτερα εἰς τὴν θεωρητικὴν ἔρευναν τῶν κυκλωμάτων.

'Ανεφέρθη ὅτι εἰς κάθε κύκλωμα ὑπάρχουν πάντοτε $\lambda - \kappa + 1$ βρόχοι ἐκ τῶν ὁποίων δι' ἐφαρμογῆς τῆς $\Sigma E = \Sigma IR$ λαμβάνονται ἰσάριθμοι, γραμμικῶς ἀνεξάρτητοι ἀλλήλων, ἐξισώσεις.

Τοὺς βρόχους αὐτοὺς ὀνομάζομεν: "Ἀνεξαρτήτους" *.

Διακρίνομεν δύο κατηγορίας κυκλωμάτων: κυκλώματα "ἄνευ διασταυρουμένων κλάδων" ἢ "ἐπίπεδα" καὶ "κυκλώματα μετὰ διασταυρουμένων κλάδων".

Ἡ πρώτη κατηγορία περιλαμβάνει κυκλώματα δυνάμενα νὰ σχεδιασθοῦν ἐπὶ ἐπίπεδου οὕτως ὥστε οὐδεὶς κλάδος αὐτῶν νὰ τέμνη ἄλλον.

Καὶ ἐνῶ διὰ τὰ κυκλώματα τῆς πρώτης κατηγορίας ἡ ἀνεύρεσις τῶν ἀνεξαρτήτων βρόχων εἶναι εὐκόλος, διὰ τὰ κυκλώματα τῆς δευτέρας εἶναι δυσχερής, ἀπαιτοῦσα, πρὸς τοῦτο, σχετικήν πεῖραν.

Διὰ τὴν ἐφαρμογὴν τῆς μεθόδου πρέπει:

α. Νὰ ἀναγνωρίσωμεν καὶ νὰ ἀριθμήσωμεν τοὺς ἀνεξαρτήτους βρόχους** διὰ τῶν ἀριθμῶν 1, 2, 3 ... η.

β. Νὰ καθορίσωμεν δι' ἕκαστον ἀνεξάρτητον βρόχον ἓν ὑποθετικόν ρεῦμα J_λ εἰς τὸ ὁποῖον νὰ προσδόσωμεν μίαν αὐθαίρετον φοράν, ἔστω τὴν φοράν τῶν δεικτῶν τοῦ ὥρολογίου.

γ. Νὰ ἐφαρμόσωμεν εἰς ἕκαστον ἀνεξάρτητον βρόχον τὸν κανόνα $\Sigma E = \Sigma IR$, οὕτως ὥστε νὰ λάβωμεν $\lambda - \kappa + 1$ ἐξισώσεις***

* Παρατήρησις: Οἱ "ἀπλοὶ βρόχοι" εἶναι ἀνεξάρτητοι. Κάθε ἀνεξάρτητος βρόχος, εἰς τὰ "ἄνευ διασταυρουμένων κλάδων" κυκλώματα, δύναται νὰ γίνῃ ἀπλός.

** Εἰς τὰ κυκλώματα ἄνευ διασταυρουμένων κλάδων σκοπῖμον εἶναι οἱ ἀνεξάρτητοι βρόχοι νὰ ἐκλέγωνται οὕτως ὥστε ἕκαστος τῶν κλάδων νὰ ἀνήκῃ εἰς ἓνα μόνον βρόχον ἢ νὰ εἶναι κοινὸς εἰς δύο τὸ πολὺ βρόχους.

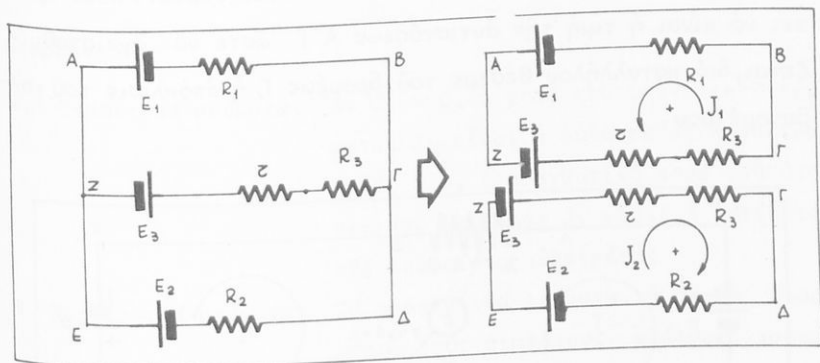
*** Παρατήρησις: Κλάδοι ἀνήκοντες εἰς δύο βρόχους διαρρέονται ὑπὸ δύο ὑποθετικῶν ρευμάτων J_λ καὶ J_κ .

Ἐάν R εἶναι ἡ ἀντίστασις τοῦ κλάδου, ἡ πῶσις τάσεως εἶναι εἰς αὐτόν ἀλγεβρικῶς: $RJ_\lambda + RJ_\kappa$

δ. Νά ἐπιλύσωμεν τό σύστημα καί νά προβῶμεν εἰς διόρθω-
σιν τῆς φορᾶς τῶν ρευμάτων.

Τό πλεονέκτημα τῆς μεθόδου εἶναι ὅτι: ἀπαιτοῦνται $n - 1$
ὀλιγώτεροι, τῆς προηγουμένης μεθόδου, ἔξισώσεις.

★ Νά εὑρεθοῦν τά ρεύματα εἰς τοὺς κλάδους τοῦ κυκλώ-
ματος σχ. 63. Δίδονται $R_1 = R_2 = 4 \Omega$, $r = 2 \Omega$, $R_3 = 6 \Omega$, $E_1 =$
 $= E_2 = 20\text{V}$, $E_3 = 10\text{V}$.



σχ. 63

Ἐκ τοῦ ἀνεξαρτήτου βρόχου ΑΒΓΖΑ λαμβάνομεν:

$$E_1 + E_3 = J_1(R_1 + R_3 + r) + J_2(R_3 + r) \quad (1)$$

Ἐκ τοῦ ἀνεξαρτήτου βρόχου ΓΔΕΖΓ λαμβάνομεν:

$$E_3 + E_2 = J_2(R_2 + r + R_3) + J_1(R_3 + r) \quad (2)$$

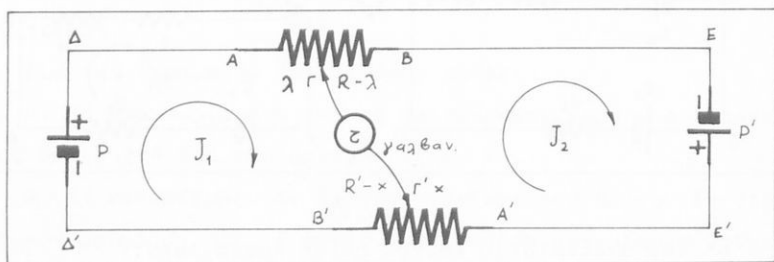
Ἐκ τῆς ἐπιλύσεως προκύπτει:

$$J_1 = 1,5 \text{ A} \quad J_2 = 1,5 \text{ A}$$

Ρεύθρον	ὑποθετικά ρεύματα		πραγματικά ρεύματα εἰς Α
ΑΒ	J_1		$J_1 = 1,5$ ←
ΖΓ	J_1	J_2	$J_1 + J_2 = 3$ →
ΕΔ	J_2		$J_2 = 1,5$ ←

★ Κύκλωμα περιλαμβάνει δύο στήλες P και P', συνδεσμο-
γημένες ἐν σειρά, τῶν ὁποίων αἱ ΗΕΔ εἶναι 2V καὶ 4V ἀντιστοι-
χως καὶ τῶν ὁποίων αἱ ἀντιστάσεις εἶναι ἀμελητέα. Ἐπί πλέ-
ον τό κύκλωμα περιλαμβάνει δύο ἀντιστάσεις $AB = 2000 \Omega$ καὶ
 $A'B' = 4000 \Omega$.

Δύο δρομεῖς Γ καὶ Γ', συνδεδεμένοι πρὸς γαλβανόμετρον, δύ-
νανται νά μετατοπισθοῦν ἐπὶ τῶν ἀντιστάσεων τούτων. Ποία πρέ-
πει νά εἶναι ἡ τιμὴ τῆς ἀντιστάσεως $A'Γ'$ ὥστε νά ἀντισταθμί-
ζεται, διὰ καταλλήλου θέσεως τοῦ δρομέως Γ, ἡ ἀπόκλιση τοῦ γαλ-
βανομέτρου.



σχ. 64

$$\begin{aligned} \text{Θέτω: } R_{A\Gamma} &= \lambda & R_{\Gamma B} &= R - \lambda \\ R_{\Gamma'A'} &= x & R_{B'\Gamma'} &= R' - x \\ R_{\gamma\alpha\lambda} &= r \end{aligned}$$

Ἐκ τοῦ ἀνεξαρτήτου βρόχου $\Gamma\Gamma'\Delta'\Delta\Gamma$:

$$P = J_1(\lambda + r + R' - x) - J_2r \quad (1)$$

Ἐκ τοῦ ἀνεξαρτήτου βρόχου $\Gamma E E'\Gamma'\Gamma$:

$$P' = J_2(x + r + R - \lambda) - J_1r \quad (2)$$

Κατὰ τὴν ἐκφώνησιν :

$$J_1 = J_2 \quad (3)$$

Έκ τῶν (1), (2) καί (3) :

$$\frac{P}{P'} = \frac{\lambda + R' - x}{x + R - \lambda} \quad \blacktriangleright \quad x = \frac{P'(\lambda + R') + P(\lambda - R)}{P + P'} \quad (4)$$

Έκ τῆς (4) διὰ $\lambda = 0$ \blacktriangleright $x = 2000 \ \Omega$

" " " $\lambda = 2000$ \blacktriangleright $x = 4000 \ \Omega$

ὥστε $2000 \leq x \leq 4000$ \blacktriangleleft

Διερεύνησις

- α. Ὑποθετικά ρεύματα. Ἐάν $J_\lambda > 0$, ἡ φορά τοῦ ὑποθετικοῦ ρεύματος J_λ εἶναι ἡ αὐθαιρέτως ληφθεῖσα. Ἐάν $J_\lambda < 0$, ἡ πραγματική φορά τοῦ ὑποθετικοῦ ρεύματος J_λ εἶναι ἡ ἀντίθετος τῆς ληφθείσης αὐθαιρέτως.
- β. Πραγματικά ρεύματα. Τά πραγματικά ρεύματα, τά ὅποια διαρρέουν τοὺς διαφόρους κλάδους, προκύπτουν δι' ἄλγεβρικής ἀθροίσεως τῶν ὑποθετικῶν, τῶν διαρρεόντων αὐτούς. Ἡ φορά τῶν πραγματικῶν ρευμάτων καθορίζεται ἐκ τοῦ προσήμου τοῦ ἀλγεβρικοῦ ἀθροίσματος.

6.3. μέθοδος τῶν ἰσοδυνάμων κυκλωμάτων

Ἡ μέθοδος αὕτη ἐφαρμόζεται, κυρίως, εἰς κυκλώματα μιᾶς ΗΕΔ.

Διὰ τῆς μεθόδου αὐτῆς, ἐφ' ὅσον δύνανται νά ἐφαρμοσθοῦν οἱ τύποι:

$$R_0 = R_1 + R_2 + \dots, \quad \frac{1}{R_0} = \frac{1}{R_1} + \frac{1}{R_2} + \dots$$

χωρίς ειδικούς μετασχηματισμούς, έπιτυγχάνεται σύντομος λύσις.

Ή μέθοδος άπαιτεΐ:

α. Άναγνώρισιν τοϋ τρόπου συνδέσεως τών αντιστάσεων τοϋ κυκλώματος μεταξύ των καΐ κατάταξιν αυτών εις "όμάδας" άναλόγως τοϋ τρόπου συνδέσεως.

β. Άντικατάστασιν εκάστης "όμάδος" διά τής "ίσοδυναμού" αντιστάσεως*.

γ. Έπανάληψιν τής προηγουμένης έργασίας, μέχρις ότου τό δοθέν κύκλωμα λάβη τήν άπλουστέραν δυνατήν μορφήν.

Συνιστάται ή κατασκευή νέου σχήματος διά κάθε μετασχηματισμόν.

δ. Έφαρμογήν τοϋ νόμου τοϋ Ohm (ή τοϋ Kirchhoff) διά τόν ύπολογισμόν τών ρευμάτων καΐ τών διαφορών δυναμικοϋ εις τούς διαφόρους κλάδους.

Ό ύπολογισμός γίνεται, έπαγωγικώς, εκ τοϋ τελικοϋ προς τό άρχικόν κύκλωμα.

★ Τρεις αντιστάσεις $R_1 = 10 \Omega$, $R_2 = 20 \Omega$ καΐ $R_3 = 60 \Omega$ συνδέονται έν παραλλήλῳ καΐ τό προκϋπτον σύστημα συνδέεται έν σειρά προς άλλην αντίστασιν $R_4 = 16 \Omega$. Όλόκληρον τό σύστημα τροφοδοτεΐται ύπό πηγής ΗΕΔ = 220 V, άμελητέας έσωτερικης αντιστάσεως σχ. 65. Ζητούνται:

α) Ή όλική ένταση τοϋ ρεύματος εις τό κύκλωμα.

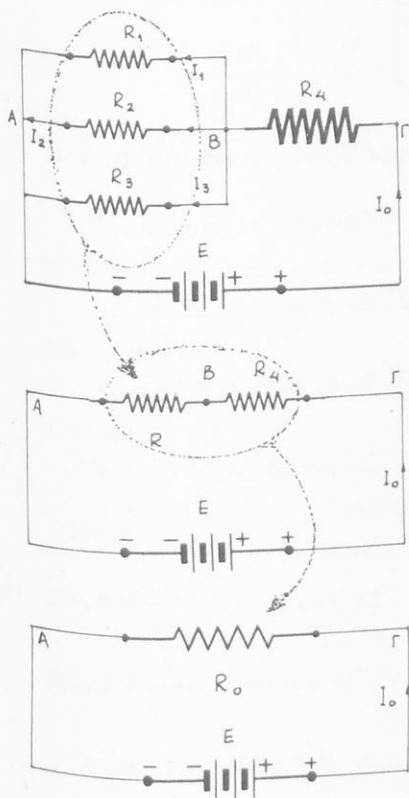
β) Ή ένταση εις εκάστην αντίστασιν.

γ) Ή πῶσις τάσεως επί τοϋ συστήματος τών R_1 , R_2 καΐ R_3

*Παρατήρησις: Εΐναι δυνατόν αι "όμάδες" νά διαμορφωθοϋν κατόπιν ώρισμένων μετασχηματισμῶν π.χ. τριγώνου εις άστέρα.

καί ἐπί τῆς R_4 .

Διά τόν εἰκονιζόμενον (σχῆμα 65) μετασχηματισμόν:



σχ. 65

$$R = \frac{R_1 R_2 R_3}{R_1 R_2 + R_2 R_3 + R_1 R_3} = 6 \Omega$$

$$R_0 = R + R_4 = 22 \Omega,$$

$$I_0 = \frac{E}{R_0} = 10 \text{ A}$$

$$V_{B\Gamma} = I_0 \cdot R_4 = 160 \text{ V},$$

$$V_{AB} = I_0 \cdot R = 60 \text{ V}$$

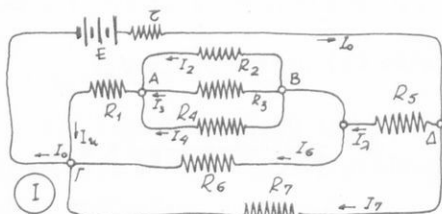
ἀλλά τότε:

$$I_1 = \frac{V_{AB}}{R_1} = 6 \text{ A},$$

$$I_2 = \frac{V_{AB}}{R_2} = 3 \text{ A},$$

$$I_3 = \frac{V_{AB}}{R_3} = 1 \text{ A}$$

★ Δίδεται τό κύκλωμα τοῦ σχήματος 66, μέ $E = 40\text{V}$, $R_1 = R_5 = 2\Omega$, $R_2 = R_3 = R_4 = 9\Omega$, $R_6 = 20\Omega$, $R_7 = 12\Omega$ καί $r = 1\Omega$. Νά ὑπολογισθοῦν τά ρεύματα τῶν διαφόρων κλάδων.



$$R_i = \frac{R_2 R_3 R_4}{R_2 R_3 + R_3 R_4 + R_2 R_4} = 3\Omega$$

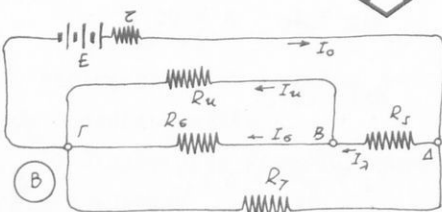
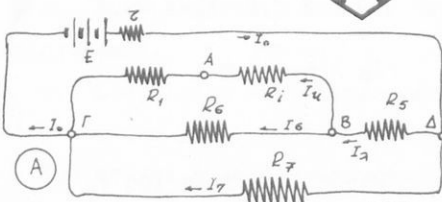
$$R_u = R_1 + R_i = 5\Omega$$

$$R_\mu = \frac{R_u \cdot R_6}{R_u + R_6} = 4\Omega$$

$$R_\lambda = R_\mu + R_5 = 6\Omega$$

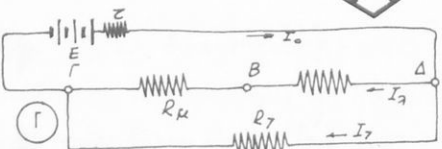
$$R_v = \frac{R_\lambda \cdot R_7}{R_\lambda + R_7} = 4\Omega$$

$$R_o = R_v + r = 5\Omega$$



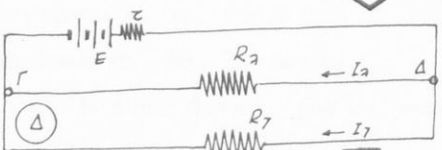
$$\text{Έκ τοῦ } Z: I_0 = \frac{E}{R_o} = 8\text{A}$$

$$V_v = I_0 \cdot R_v = 32\text{V}$$

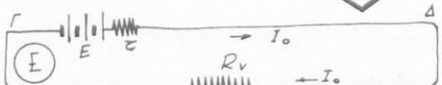


$$\text{Έκ τοῦ } \Delta: I_\lambda = \frac{V_v}{R_\lambda} = 5,33\text{A}$$

$$I_7 = \frac{V_v}{R_7} = 2,66\text{A}$$



$$\text{Έκ τοῦ } \Gamma: V_\mu = I_\lambda \cdot R_\mu = 21,33\text{V}$$



$$\text{Έκ τοῦ } B: I_6 = \frac{V_\mu}{R_6} = 1,07\text{A}$$

$$I_u = \frac{V_\mu}{R_u} = 4,26\text{A}$$



σχ. 66

Έκ του Α: $V_i = I_u \cdot R_1 = 12,8 \text{ V}$

Έκ του δοθέντος κυκλώματος:

$$I_2 = \frac{V_i}{R_2} = 1,42 \text{ A}, \quad I_3 = 1,42 \text{ A}, \quad I_4 = 1,42 \text{ A}$$

6.4. αναλυτική μέθοδος

Τήν μέθοδον ἐφαρμόσαμεν ἐπιτυχῶς εἰς τοὺς πυκνωτάς. Ἐπαναλαμβάνομεν καί ἐδῶ τήν ἰδίαν ἐργασίαν, ἥτοι:

α. Τόν διαχωρισμόν τῶν ἀντιστάσεων εἰς ὁμάδας κατὰ τρόπον συνδέσεως.

β. Τήν διάταξιν τῶν στοιχείων R , I , V κατὰ σειράς καί στήλας.

γ. Τήν συμπλήρωσιν τῶν προκυπτόντων ΠΙΝΑΚΩΝ ΣΤΟΙΧΕΙΩΝ, μέ τὰ δεδομένα τοῦ προβλήματος.

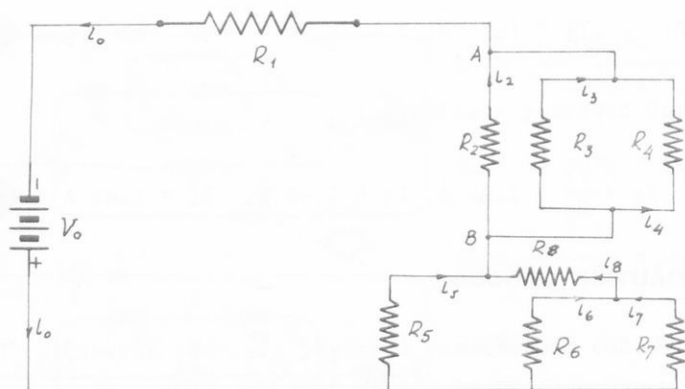
δ. Τόν ὑπολογισμόν τῶν ἀγνώστων στοιχείων, ὀριζοντίως καί καθέτως.

Ἡ συμπλήρωσις γίνεται ὀριζοντίως μέ τόν νόμον τοῦ ὀhm $V = I \cdot R$, ἐνῶ καθέτως μέ τοὺς τύπους:

$$R_0 = R_1 + R_2 + \dots, \quad \frac{1}{R_0} = \frac{1}{R_1} + \frac{1}{R_2} + \dots$$

Ἡ ἐπιτυχανομένη ἐπίλυσις εἶναι τόσον σύντομος ὅσον καί κομψή.

★ Νά ἐπιλυθῇ τό εἰκονιζόμενον κύκλωμα μέ τὰς ἀκολουθοῦσας τιμὰς: $V_0 = 180\text{V}$, $I_4 = 5 \text{ A}$, $R_2 = 4 \ \Omega$, $R_3 = 6 \ \Omega$, $V_{AB} = 60\text{V}$, $I_5 = 10\text{A}$, $R_5 = 6 \ \Omega$, $R_8 = 1 \ \Omega$ καί $R_7 = 6 \ \Omega$



σχ. 67

Διαχωρισμός ομάδων:

1. R_2 , R_3 καί R_4 έν παραλλήλῳ μέ ίσοδύναμον R'
2. R_6 , R_7 έν παραλλήλῳ μέ ίσοδύναμον R''
3. R'' καί R_8 έν σειρᾷ μέ ίσοδύναμον R^*
4. R^* καί R_5 έν παραλλήλῳ, μέ ίσοδύναμον R^{**}
5. R_1 , R' καί R^{**} έν σειρᾷ μέ ίσοδύναμον R_0

Πίνακες στοιχείων καί συμπλήρωσις.

Διά τήν συμπλήρωσιν τῶν πινάκων τονίζομεν ὅτι: εἰς τάς έν σειρᾷ συνδέσεις ἀντιστάσεων ἔχομεν κοινήν ἔντασιν ρεύματος καί προστιθεμένην τάσιν, ἐνῶ εἰς τάς έν παραλλήλῳ κοινήν τάσιν καί προστιθεμένην ἔντασιν (κανῶν kirchhoff).

Τό κοινόν μέγεθος δηλοῦται διά βέλους. Εἰς τήν στήλην τοῦ μή κοινοῦ μεγέθους τό ὅλικόν εἶναι τό ἄθροισμα τῶν ἀνωτέρω.

είς Ω	είς V	είς A
$R_2 = \underline{4}$	$V_2 = \underline{60}$	$I_2 = 15$
$R_3 = \underline{6}$	$V_3 = 60$	$I_3 = 10$
$R_4 = 12$	$V_4 = 60$	$I_4 = \underline{5}$
$R' = 2$	$V' = 60$	$I' = 30$

είς Ω	είς V	είς A
$R'' = 2$	$V'' = 40$	$I'' = 20$
$R_8 = \underline{1}$	$V_8 = 20$	$I_8 = 20$
$R^* = 3$	$V^* = 60$	$I^* = 20$

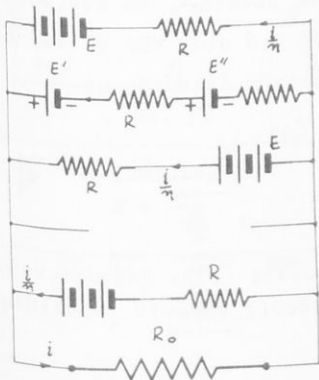
είς Ω	είς V	είς A
$R_6 = 3$	$V_6 = 40$	$I_6 = 13,3$
$R_7 = \underline{6}$	$V_7 = 40$	$I_7 = 6,7$
$R'' = 2$	$V'' = 40$	$I'' = 20$

είς Ω	είς V	είς A
$R^* = 3$	$v^* = 60$	$I^* = 20$
$R_5 = \underline{6}$	$V_5 = 60$	$I_5 = \underline{10}$
$R^{**} = 2$	$v^{**} = 60$	$I^{**} = 30$

είς Ω	είς V	είς A
$R_1 = 2$	$V_1 = 60$	$I_1 = 30$
$R' = 2$	$V' = 60$	$I' = 30$
$R^{**} = 2$	$v^{**} = 60$	$I^{**} = 30$
$R_0 = 6$	$V_0 = \underline{180}$	$I_0 = 30$

Δι' ύπογραμμής τονίζομεν τὰ δεδομένα μεγέθη.

★ Παρατήρησις: Ἐστω τὸ κύκλωμα τοῦ σχ. 68 εἰς τὸ ὁποῖον ὑπάρχουν ἡ παράλληλοι κλάδοι ἑκαστος τῶν ὁποίων περιέχει ὀλικὴν ΗΕΔ E καὶ ἰσοδύναμον ἀντίστασιν R . Τὸ σύστημα τροφοδοτεῖ ἀντίστασιν R_0 , μέρεῦμα i .



σχ. 68

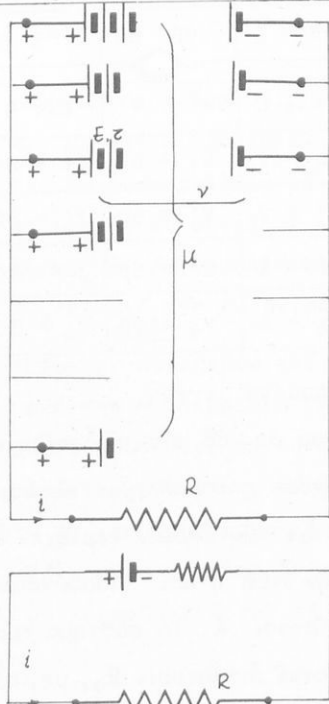
Ἐκ τοῦ κανόνος τοῦ Kirch-

ποff προκύπτει:

$$i = \frac{E}{R_0 + \frac{R}{\eta}} \quad (1)$$

Έκ τῆς (1) φαίνεται ὅτι: τό ρεύμα τό ὅποτον διαρρέει τήν R_0 , δύναται νά θεωρηθῆ προερχόμενον ἐκ μιᾶς πηγῆς, ΗΕΔ E καί ἐσωτερικῆς ἀντιστάσεως $\frac{R}{\eta}$, ἴσης πρὸς τήν ἰσοδύναμον τῶν η κλάδων, θεωρουμένων ἐν παραλλήλῳ.

Ὡστε, ἐν συμπεράσματι, "ἡ παράλληλοι κλάδοι τῆς αὐτῆς ΗΕΔ καί ὀλικῆς ἀντ. R , δύναται νά ἀντικατασταθοῦν δι' ἑνὸς ἔχοντος ΗΕΔ E καί ἀντίστασιν $\frac{R}{\eta}$ ".



★ Τό σχῆμα 69 παριστᾶ μ παράλληλους κλάδους περιέχοντας ν ἠλεκτρικά στοιχεῖα ΗΕΔ E καί ἐσωτερικῆς ἀντιστάσεως r . Τό σύστημα τροφοδοτεῖ ἐξωτερικήν ἀντίστασιν R . Ποία ἔντασις τοῦ ρεύματος τοῦ διαρρέοντος τήν R .

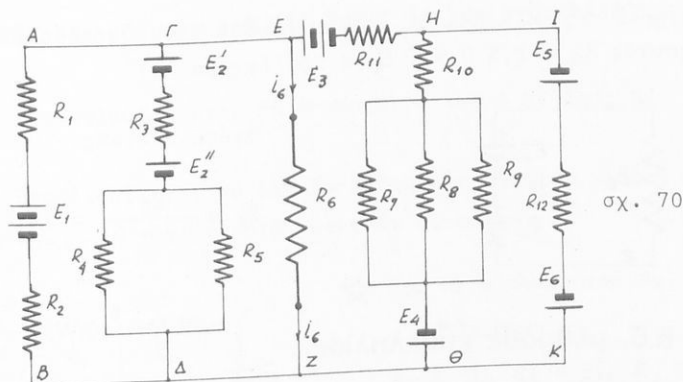
Ἐκαστος κλάδος ἔχει $E_{0\lambda} = \nu E$ καί $r_{0\lambda} = \nu r$. Τό σύστημα τῶν πηγῶν δύναται νά ἀντικατασταθῆ διὰ μιᾶς ΗΕΔ νE καί ἐσωτερικῆς ἀντιστάσεως $\frac{\nu r}{\mu}$.

ἄρα

σχ. 69

$$i = \frac{\nu E}{\frac{\nu r}{\mu} + R}$$

*Βλέπε: ΗΛΕΚΤΡΙΣΜΟΣ, μαθήματα Φυσικῆς Γ.Α. Πνευματικοῦ. (ἀπόδειξις καί γενίκευσις: § Σύνδεσις πηγῶν ἐν παραλλήλῳ).



σχ. 70

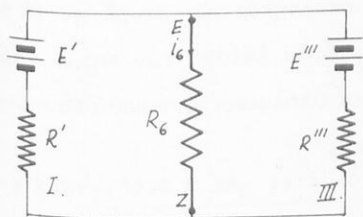
★ Εἰς τὸ κύκλωμα τοῦ σχήματος 70 ἔχομεν:

$R_1 = 2\Omega$, $R_2 = 4\Omega$, $R_3 = 3\Omega$, $R_4 = R_5 = 6\Omega$, $R_6 = 8,5\Omega$, $R_7 = R_8 = R_9 = 9\Omega$, $R_{10} = 2\Omega$, $R_{11} = 0,5\Omega$, $R_{12} = 5\Omega$. $E_1 = 20V$, $E_2' = E_2'' = 10V$, $E_3 = 25V$, $E_4 = 5V$, $E_5 = 3V$, $E_6 = 2V$.

Νά εὑρεθῇ ἡ ἔντασις τοῦ ρεύματος I_6 ποῦ διαρρέει τὴν R_6 . *

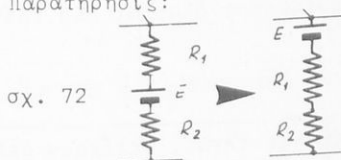
Παρατηρῶ ὅτι οἱ κλάδοι AB καί ΓΔ δύνανται νά ἀντικατασταθοῦν, ὑπὸ ἑνός, I, ἔχοντος $E' = 20V$ καί $R' = 3\Omega$. Ὅμοίως οἱ ΗΘ καί ΙΚ ἰσοδυναμοῦν πρὸς ἕνα κλάδον II, ἔχοντος $E'' = 5V$ καί $R'' = 2,5\Omega$.

Ἀλλὰ ὁ II καί ὁ EH ἰσοδυναμοῦν πρὸς ἕνα III, ὅστις θά ἔχη ΗΕΔ $E''' = 20V$ καί $R''' = 3\Omega$ (σχῆμα 71).



σχ. 71

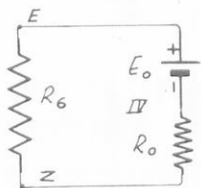
* Παρατήρησις:



σχ. 72

Αἱ ἐπὶ τοῦ αὐτοῦ κλάδου ἀντιστάσεις εἶναι συνδεδεμέναι ἐν σειρά.

Ἄλλά τότε καί οἱ I καί III ἰσοδυναμοῦν πρὸς ἓνα IV ἕχοντος $R_0 = 1,5 \Omega$ καί $E_0 = 20$ (σχῆμα 73)



σχ. 73

ὁπότε τελικῶς:

$$I_6 = \frac{E_0}{R_0 + R_6} = 2A$$

6.5. μέθοδος ἐπαλληλίας

Ἡ μέθοδος ἐφαρμόζεται εἰς περιπτώσεις κυκλωμάτων μέ περισσοτέρας τῆς μιᾶς πηγᾶς.

"Εἰς ἓν γραμμικόν κύκλωμα μέ περισσοτέρας τῆς μιᾶς πηγᾶς, τό ρεῦμα εἰς ἕκαστον κλάδον, εἶναι ἀποτέλεσμα τῆς συνεργασίας ὅλων τῶν πηγῶν".

Ἰσχύει, ἐν προκειμένῳ, ἡ κάτωθι πρότασις, γνωστή ὡς θεώρημα τῆς ΥΠΕΡΘΕΣΕΩΣ ἢ ΕΠΑΛΛΗΛΙΑΣ.

"Εἰς ἓν γραμμικόν δίκτυον μέ δύο ἢ περισσοτέρας πηγᾶς, τό ρεῦμα εἰς ἕκαστον κλάδον εἶναι ἡ ἐπαλληλία τῶν ρευμάτων τά ὅποια διαρρέουν τόν κλάδον τοῦτον, ὅταν ἕκαστη τῶν πηγῶν δρᾷ μεμονωμένως εἰς τό κύκλωμα, ἐνῶ αἱ ὑπόλοιποι ἀντικαθίστανται ὑπό τῶν ἐσωτερικῶν των ἀντιστάσεων".

Ἐκ τῆς ἀνωτέρω προτάσεως προκύπτει καί ἡ διαδικασία ἐφαρμογῆς τῆς μεθόδου:

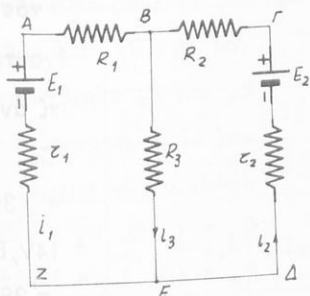
α. Τό δοθέν κύκλωμα σχεδιάζεται πάλιν, μέ μίαν μόνον πηγῆν. Δηλ. θεωροῦμεν ὅτι μηδενίζονται ὅλαι αἱ ΗΕΔ πλὴν μιᾶς*.

* Παρατήρησις: Αἱ παραλειπόμεναι πηγαί, μετέχουν διά τῶν ἐσωτερικῶν των ἀντιστάσεων.

β. Προσδιορίζεται η ένταση του ρεύματος εις ἕκαστον κλάδον.

γ. Ἐπαναλαμβάνονται αἱ ἐργασίαι α καὶ β δι' ὅλας τὰς πηγὰς.

δ. Προσδιορίζεται τὸ ὀλικὸν ρεῦμα εἰς ἕκαστον κλάδον δι' ἑπαλληλίαν, τῶν ἐν αὐτῷ, μερικῶν ρευμάτων.



σχ. 74

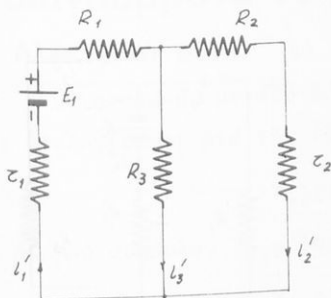
★ Εἰς τὸ κύκλωμα τοῦ σχ. 74

δίδονται:

$$\begin{aligned} R_1 &= 3\Omega, R_2 = 3\Omega, R_3 = \\ &= 4\Omega, z_1 = z_2 = 1\Omega, E_1 = \\ &= 12 \text{ V}, E_2 = 24\text{V}. \end{aligned}$$

Νά ἐπιλυθῆ.

Τὸ κύκλωμα τοῦ σχ. 74 δίδει συμφῶνως πρὸς τὰ ἄνωτέρω τὰ σχ. 75 καὶ σχ. 76



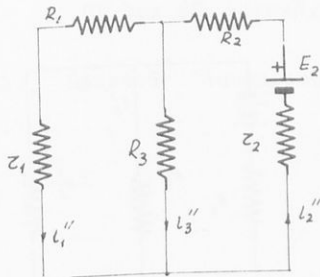
σχ. 75

Ἐκ τῆς ἐπιλύσεως τοῦ κυκλώματος, σχῆμα 75, προκύπτει:

$$i'_1 = 2 \text{ A} \quad i'_2 = 1 \text{ A} \quad \text{καὶ} \quad i'_3 = 1 \text{ A}$$

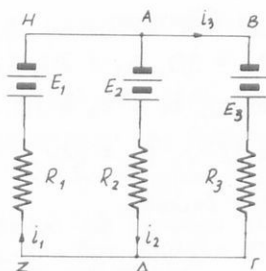
Ἐκ τῆς ἐπιλύσεως τοῦ κυκλώματος σχ. 76 προκύπτει:

$$i''_1 = 2 \text{ A} \quad i''_2 = 4 \text{ A} \quad i''_3 = 2 \text{ A}$$



σχ. 76

μερικά ρεύματα είς A	$i_1' = 2 \nearrow$	$i_2 = 1 \searrow$	$i_3' = 1 \searrow$
	$i_1'' = 2 \searrow$	$i_2' = 4 \nearrow$	$i_3'' = 2 \searrow$
όλικόν είς A	$i_1 = 0$	$i_2 = 3 \nearrow$	$i_3 = 3 \searrow$

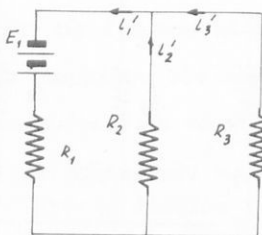


σχ. 77

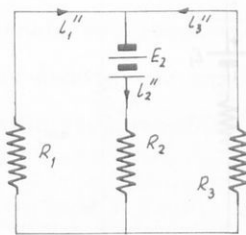
★ Νά ἐπιλυθῆ τὸ κύκλωμα τοῦ σχ. 77. Εἰς τὰς R_1 , R_2 καὶ R_3 περιέχονται καὶ αἱ ἐσωτερικαὶ ἀντιστάσεις τῶν πηγῶν.

$$R_1 = 1,5\Omega, R_2 = 3\Omega, R_3 = 6\Omega, E_1 = 14V, E_2 = 21V, E_3 = 28V.$$

Ἐκ τοῦ δοθέντος κυκλώματος λαμβάνομεν τὰ κυκλώματα τοῦ σχήματος 78 καὶ 79.



σχ. 78



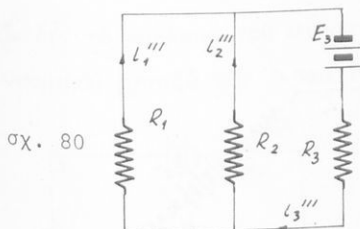
σχ. 79

Ἐκ τῆς ἐπιλύσεως τοῦ σχ.78 προκύπτει:

$$i_1' = 4A, \quad i_2' = 2,67 A, \quad i_3' = 1,33 A$$

Ἐκ τῆς ἐπιλύσεως τοῦ σχ.79 προκύπτει:

$$i_1'' = 4\text{A}, \quad i_2'' = 5\text{A}, \quad i_3'' = 1\text{A}$$



Έκ τῆς ἐπιλύσεως τοῦ κυκλώματος, σχ. 80, προκύπτει:

$$i_1''' = 2,67\text{ A},$$

$$i_2''' = 1,33\text{ A},$$

$$i_3''' = 4\text{ A}$$

μερικά	$i_1' = 4$	$i_2' = 2,67$	$i_3' = 1,33$
ρεύματα	$i_1'' = 4$	$i_2'' = 5$	$i_3'' = 1$
εἰς A	$i_1''' = 2,67$	$i_2''' = 1,33$	$i_3''' = 4$
ὄλικόν ρεῦμα εἰς A	$i_1 = 2,67$	$i_2 = 1$	$i_3 = 1,67$

7. ἠλεκτρικὴ τάσις, δυναμικόν, διαγράμματα δυναμικοῦ

7.1. ἠλεκτρικὴ τάσις

Ἡ ὑφισταμένη, μεταξύ δύο σημείων, διαφορά δυναμικοῦ $V_{1,2}$ ὑπολογίζεται διὰ τῆς ἐξισώσεως:

$$V_{1,2} = \sum I R - \sum E$$

Διὰ τὸ σύμβολον $V_{1,2}$ ἰσχύουν:

$$V_{1,2} = V_1 - V_2$$

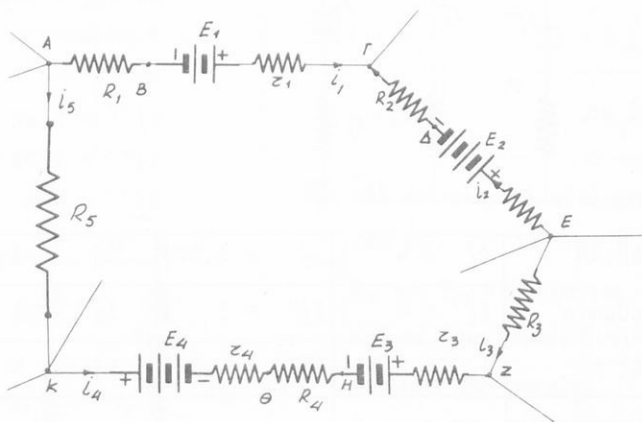
$$\text{καί} \quad V_{1,2} = -V_{2,1}$$

7.2. ἀπόδειξις τῆς $V_{1,2} = \sum I R - \sum E$

Ἐστω τυχόν κύκλωμα σχ. 81 εἰς τὸ ὁποῖον ἔχομεν ὑπολογίσει τὰ ρεύματα εἰς ὅλους τοὺς κλάδους καί ὅτι θέλομεν νά

προσδιορίσωμεν τήν διαφοράν δυναμικοῦ μεταξύ τῶν σημείων A καί H.

σχ. 81



Ἐκ τῶν ὁρισμῶν πού ἐδόσαμεν εἰς τὰς βασικάς ἐννοίας προκύπτει:

$$U_A - U_B = I_1 R_1$$

$$U_B - U_\Gamma = -(E_1 - I_1 r_1)$$

$$U_\Gamma - U_\Delta = -I_2 R_2$$

$$U_\Delta - U_E = -(E_2 + I_2 r_2)$$

$$U_E - U_Z = I_3 R_3$$

$$U_Z - U_H = E_3 - I_4 r_3$$

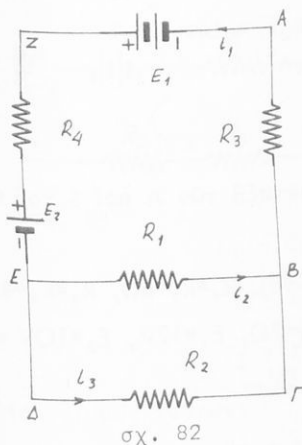
Διὰ προσθέσεως κατὰ μέλη προκύπτει:

$$U_A - U_H = I_1 R_1 + I_1 r_1 - I_2 R_2 - I_2 r_2 + I_3 r_3 - I_4 r_3 - (E_1 + E_2 - E_3)$$

$$\text{ἢ} \quad V_{A,H} = \Sigma_{AH} IR - \Sigma_{AHE}$$

7.3. εφαρμογή τῆς $V_{1,2} = \sum I R - \sum E$

★ Εἰς τό κύκλωμα τοῦ σχήματος 82 νά ὑπολογισθῆ ἡ διαφορά δυναμικοῦ μεταξύ τῶν Α καί Ε.



σχ. 82

τοῦ ΑΓΩΓΙΜΟΥ δρόμου ΑΖΕ. Σχῆμα 82.

* **Ρεύματα:** Ἡ εφαρμογή τῆς ἐξισώσεως τάσεως προϋποθέτει γνωστά τά ρεύματα εἰς ὅλους τοὺς μεταξύ τῶν σημείων 1 καί 2 κλάδους ἐπὶ τοῦ ἐπιλεγέντος δρόμου. Εἰς τό παράδειγμα τοῦ σχήματος 82 ὁ ὑπολογισμὸς δίδει: $i_1 = 2A$, $i_2 = 1A$, $i_3 = 1A$.

* **Πτώσεις τάσεως:** $\sum I R$ εἶναι τό ἀλγεβρικόν ἄθροισμα τῶν πτώσεων τάσεως ἐπὶ τοῦ ἐπιλεγέντος δρόμου.

Ἐάν ρεῦμα I_j διαρρέει ἀντίστασιν R_i μέ φοράν $1 \rightarrow 2$, ἡ πτώσις τάσεως $R_i I_j$ λαμβάνεται θετική.

Εἰς τό παράδειγμα τοῦ σχ. 82: $\sum_A^E I R = i_1 R_4$.

* **Τάσεις E (HEΔ):** $\sum^2 E$ εἶναι τό ἀλγεβρικόν ἄθροισμα τῶν τάσεων E, τῶν μεταξύ τῶν σημείων 1 καί 2.

Ἐάν κινούμενοι ἐκ τοῦ 1 πρὸς τό 2 συναντῶμεν πρῶτον τὸν ἀρνητικὸν πόλον τῆς πηγῆς E, αὕτη λαμβάνεται θετική.

Δίδονται: $E_1 = 30V$, $E_2 = 6V$,
 $R_1 = 4\Omega$, $R_2 = 4\Omega$, $R_3 = 5\Omega$,
 $R_4 = 5\Omega$.

Ἐφ' ὅσον ζητεῖται ἡ διαφορά $V_{AE} = V_A - V_E$, θεωροῦμεν κίνησιν μεταξύ τῶν ἀναφερομένων σημείων Α καί Ε, μέ φοράν ἐκ τοῦ Α πρὸς τό Ε ($A \rightarrow E$), ἥτις καί λαμβάνεται ὡς ΘΕΤΙΚΗ.

Εἰς τό δοθὲν παράδειγμα ἡ κίνησις γίνεται ἔστω, ἐπὶ

Εἰς τό δοθέν παράδειγμα: $\Sigma_A^E E' = E_1 - E_2$

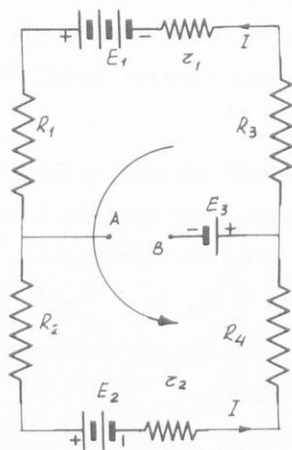
* Πρόσημον τῆς $V_{1,2}$: "Αν $V_{1,2} > 0 \blacktriangleright U_1 > U_2$
 "Αν $V_{1,2} < 0 \blacktriangleright U_1 < U_2$

Τελικῶς εἰς τό δοθέν παράδειγμα:

$$V_{A,E} = I_1 R_4 - (E_1 - E_2) = -14V$$

ἄρα $U_E - U_A = 14V^*$

★ Νά εὑρεθῇ ἡ διαφορά δυναμικοῦ μεταξύ τῶν Α καί Β τοῦ κυκλώματος, σχ. 83



σχ. 83

Δίδονται: $R_1=R_2=6\Omega$, $R_3=R_4=4\Omega$,
 $r_1=r_2=2\Omega$, $E_1=12V$, $E_2=10V$ καί
 $E_3 = 8V$.

Υπολογισμός ρεύματος:

Εξίσωσις Kirchhoff:

$$E_1 - E_2 = I(R_1 + R_2 + R_3 + R_4 + r_1 + r_2)$$

$$I = 1/12 \text{ A}$$

Υπολογισμός τάσεως:

$$\text{Εξίσωσις } V_{1,2} = \Sigma_1^2 IR - \Sigma_1^2 E$$

$$V_{AB} = i(R_2 + R_4 + r_2) - (-E_2 - E_3)$$

ἔπο' ου:

$$V_{AB} = 19 \text{ V}$$

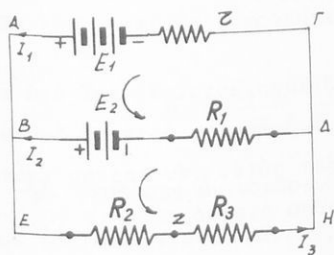
* Παρατήρησις. Ἐργαζόμενοι ἐπί τοῦ δρόμου ABE εὐρίσκομεν:

$$V_{A,E} = -I_1 R_3 - I_2 R_1 = -14V$$

ὁμοίως ἐπί τοῦ ΑΓΔΕ:

Ψηφιοποιήθηκε από το Ινστιτούτο Εκπαιδευτικής Πολιτικής

★ Νά ἐπιλυθῆ τὸ κύκλωμα τοῦ σχ. 84 καὶ νά ὑπολογισθῆ ἡ διαφορά δυναμικοῦ μεταξύ E καὶ Z ὡς καὶ μεταξύ B καὶ Δ.



Δίδονται:

$$E_1 = 50\text{V}, E_2 = 20\text{V}, R_1 = 10\Omega, R_2 = 8\Omega, R_3 = 4\Omega \text{ καὶ } r = 2\Omega.$$

Ἐπίλυσις κυκλώματος:

Ἐξισώσεις Kirchhoff:

σχ. 84

$$E_1 - E_2 = I_1 r - I_2 R_1 \quad (1)$$

$$E_2 = I_3 (R_2 + R_3) + I_2 R_1 \quad (2)$$

$$I_1 + I_2 = I_3 \quad (3)$$

ὑπολογισμὸς τάσεων:

$$V_{E,Z} = I_3 R_2 \quad (4)$$

$$V_{B,\Delta} = -I_2 R_1 + E_2 \quad (5)$$

Ἐκ τοῦ συστήματος προκύπτει:

$$I_1 = \frac{215}{41} \text{ A}$$

$$I_2 = -\frac{80}{41} \text{ A (διορθωσις φορᾶς)*}$$

Παρατήρησις:

Ἡ σχέση (5) προέκυψεν μέ βάσει τήν σχεδιασθεῖσαν φοράν τοῦ I_2 , ὁπότε διά τόν ὑπολογισμόν τῆς $V_{B,\Delta}$ εἰς αὐτήν θά ἀντικατασταθῆ μέ τήν ἀλγεβρικήν του τιμήν:

$$(I_2 = -\frac{80}{41} \text{ A})$$

Ἄν ὅμως προηγηθῆ ἡ διορθωσις τῆς φορᾶς τοῦ I_2 τότε, ἀντί τῆς (5) προκύπτει ἡ:

$$V_{B,\Delta} = E_2 + I_2 R_1 = 39,5 \text{ V}$$

$$I_3 = \frac{134}{41} \text{ A}$$

$$V_{E,Z} = 26,14\text{V} , \quad V_{B,A} = 39,5 \text{ V}$$

Παρατήρησης

Ἡ ἐξίσωσις τάσεως δύναται νά χρησιμοποιηθῆ καί διά τήν ἐπίλυσιν κυκλώματος, κυρίως ὅταν ἀναφέρεται διαφορά δυναμικοῦ μεταξύ δύο σημείων 1 καί 2. Κατ'αὐτόν τόν τρόπον προκύπτει ἡ μέθοδος τῶν τάσεων ἀποτελοῦσα διαφοροποιήσιν τῆς μεθόδου τῶν ρευμάτων.

Κατά τήν μέθοδον τῶν τάσεων ἐφαρμόζεται:

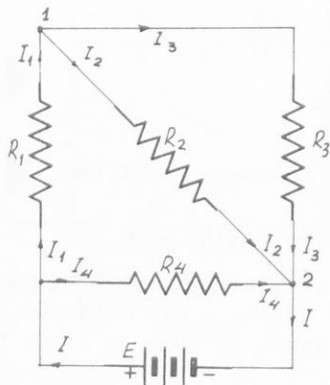
α) Ἡ ἐξίσωσις $\Sigma I = 0$ καί $k - 1$ κόμβους.

β) Ἡ ἐξίσωσις τάσεως $\lambda - k + 1$ φορές μεταξύ τῶν ἀναφερομένων σημείων 1 καί 2 ἐπί ἰσαρίθμων δρόμων (βλέπε μέθοδον δυναμικῶν τῶν κόμβων).



Εἰς τό σχῆμα 85 δίδονται τά I, R_1, R_2, R_3 καί $V_{1,2}$

Προσδιορίσατε τήν R_4 .



σχ. 85

$$V_{1,2} = I_3 R_3$$

Ἔχομεν $k = 3, \lambda = 5$

Ἐκ τοῦ κόμβου 2:

$$I = I_2 + I_3 + I_4 \quad (1)$$

Ἐκ τοῦ κόμβου 1:

$$I_1 = I_2 + I_3 \quad (2)$$

Ἐκ τῆς ἐφαρμογῆς τῆς $V_{1,2} = \Sigma I R - \Sigma E$ μεταξύ τῶν 1 καί 2, $\lambda - k + 1 = 3$ φορές, ἔχομεν:

$$V_{1,2} = I_2 R_2 \quad (4)$$

$$V_{1,2} = I_4 R_4 - I_1 R_1 \quad (5)$$

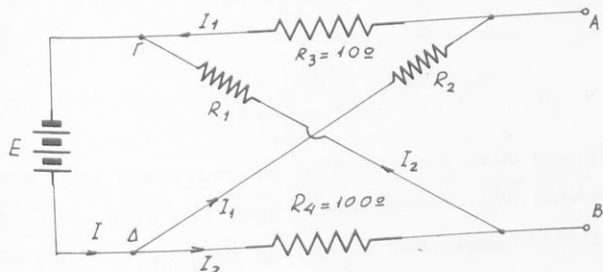
Έκ του συστήματος προκύπτει:

$$R_4 = \frac{V_{1,2} (R_1 R_2 + R_2 R_3 + R_1 R_3)}{R_3 R_2 I_1 - V_{1,2} (R_2 + R_3)}$$

★ Τέσσερες αντιστάσεις και εἷς συσσωρευτής 6V, ἀμελητέας ἐσωτερικῆς ἀντιστάσεως, εἶναι συνδεδεμένα ὡς εἰς τὸ σχῆμα 86. Ὑπολογίσατε:

α. Τὴν σχέσηιν μεταξύ τῶν R_1 καὶ R_2 ὅταν ἡ διαφορά δυναμικοῦ μεταξύ τῶν A καὶ B εἶναι μηδέν.

β. Τὴν τιμὴν τῆς R_1 εἰάν ἡ R_2 εἶναι 20Ω καὶ τὸ δυναμικὸν τοῦ A κατὰ 3 V ὑψηλότερον τοῦ B.



σχ. 86

α. Ἐξισώσεις τάσεως: $U_{\Delta} - U_B = I_2 R_4 \quad (1)$

$$U_{\Delta} - U_A = I_1 R_2 \quad (2)$$

$$U_B - U_{\Gamma} = I_2 R_1 \quad (3)$$

$$U_A - U_{\Gamma} = I_1 R_3 \quad (4)$$

Μὲ $U_A = U_B$ προκύπτει ἀπὸ (1) καὶ (2):

$$I_1 R_2 = I_2 R_4 \quad \Rightarrow \quad \frac{R_2}{R_3} = \frac{R_4}{R_1} \quad (\text{βλ. κύκλωμα γεφύρας})$$

καὶ ἀπὸ (3), (4), $I_1 R_3 = I_2 R_1$

$$\eta R_1 R_2 = 1000 \Omega^2$$

β. ΄Εξισώσεις τάσεως μεταξύ Α και Β.

$$V_{A,B} = I_2 R_4 + I_1 R_3 - E \quad (1)$$

$$V_{A,B} = I_2 R_4 - I_1 R_2 \quad (6)$$

$$V_{A,B} = I_1 R_3 - I_2 R_1 \quad (7)$$

$$\text{όπότε: } R_1 = \frac{ER_3 R_4 - V_{A,B} R_3 R_4 - V_{A,B} \cdot R_2 R_4}{ER_2 + V_{A,B} \cdot R_3 + V_{A,B} \cdot R_2} = 500 \Omega$$

7.4. ήλεκτρικόν δυναμικόν

΄Ο ύπολογισμός του δυναμικοῦ ενός σημείου Α του κυκλώματος δύναται νά γίνη μόνον, έφ'όσον εἶναι γνωστόν τό δυναμικόν ενός άλλου* σημείου Β έπ'αυτοῦ. ΄Εν τοιαύτη περιπτώσει, έφαρμόζεται ή έξίσωσις τάσεως μεταξύ τῶν σημείων Α και Β.

$$U_A - U_B = \sum_A^B IR - \sum_A^B E$$

΄Αν άγώγιμον σῶμα συνδεθῆ άπαξ μέ σημείον Μ του κυκλώματος, τό κύκλωμα δέν μεταβάλλεται, άφοῦ δέν διέρχεται φορτίον διά τῆς συνδέσεως, ένῶ συγχρόνως τό σημείον συνδέσεως

Παρατήρησις.

* ΄Αναφέρεται ύπό τινων συγγραφέων ότι τό δυναμικόν του θετικοῦ πόλου πηγῆς εἶναι $+V/2$ και του άρνητικοῦ πόλου αὐτης $- \frac{V}{2}$ (ώστε $\frac{V}{2} - (-\frac{V}{2}) = V$)

όπου $V = E - Ir$, ή πολιική τάσις τῆς πηγῆς. Τό συμπέρασμα τουτο εἶναι άθαιρέτον, χωρίς θεωρητικόν στήριγμα, δυνάμενον νά όδηγήση τους ύποψηφίους σπουδαστάς εις έσφαλμένα άποτελέσματα.

καί τό ἀγώγιμον σῶμα ἀποκτοῦν κοινόν δυναμικόν.

Ἐάν τό ἀγώγιμον σῶμα εἶναι ἡ Γῆ, τότε λέγομεν ὅτι τό κύκλωμα εἶναι "προσγεωμένον".

Ἐάν U_T τό δυναμικόν τῆς γῆς, δεχόμεθα, κατόπιν κοινῆς συμφωνίας, ὅτι $U_T = 0$.

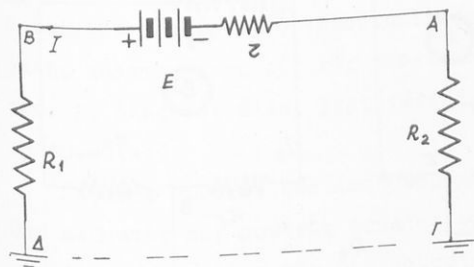
Καί ἐπειδή διά τοῦ ἀγωγοῦ συνδέσεως δέν διέρχεται ρεῦμα, $U_T - U_M = 0$ ἤτοι $U_T = U_M$.

★ Νά ὑπολογισθῇ, εἰς τό κύκλωμα τοῦ σχ. 87, τό δυναμικόν τοῦ σημείου Α. Δίδονται $E = 7,5V$, $r = 2 \Omega$, $R_1 = 5 \Omega$

καί $R_2 = 8 \Omega$.

Τό κύκλωμα εἶναι κλειστόν, μέσῳ τῆς ἀγωγίμου γῆς.

Ἐ ἀγωγός "Γῆ" θεωρεῖται ἀμελητέας ἀντιστάσεως. Ἄλλά τότε:



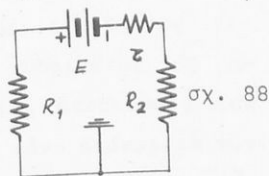
σχ. 87

$$I = \frac{E}{R_1 + R_2 + r} = 0,5 \text{ A} \quad U_T = U_\Delta = 0$$

Συνεπῶς: $U_A - U_\Delta = I(r + R_1) - E \quad \blacktriangleright \quad U_A = -4V$

ἢ καί: $U_A - U_T = -IR_2 \quad \blacktriangleright \quad U_A = -4V$

Τό δοθέν κύκλωμα σχεδιάζεται καί ὡς:



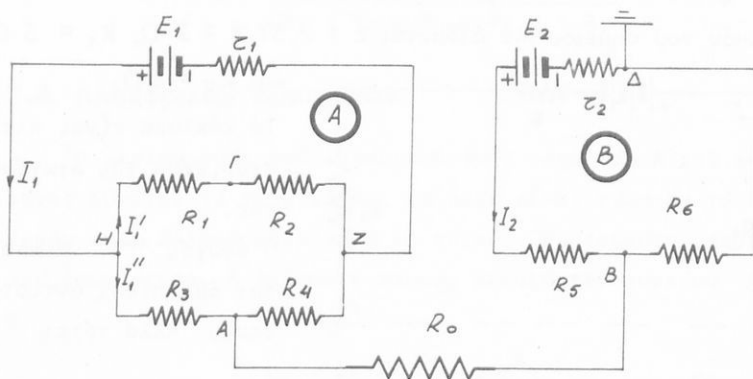
★ Εἰς τό κύκλωμα τοῦ σχ. 89 συνδέομεν τό σημεῖον Β τοῦ κυκλώματος (Β) μέ τό σημεῖον Α τοῦ (Α) μέσῳ ἀγωγοῦ ἀντιστά-

σεως R_0 .

Ποῖον τό δυναμικόν τοῦ σημείου Γ τοῦ κυκλώματος (A).

" Τά κυκλώματα (A) καί (B) δέν μεταβάλλονται κατόπιν τῆς συνδέσεως μέσω τῆς R_0 . Ἡ R_0 δέν διαρρέεται ὑπό ρεύματος, ἀφοῦ δέν ὑπάρχει ὁδὸς ἐπιστροφῆς καί ἄρα $U_A = U_B$ ".

Μετά τήν σύνδεσιν ἀποκαθίστανται νέα δυναμικά εἰς τὰ δι-
άφορα σημεῖα ἐνῶ διατηροῦνται αἱ διαφοραὶ δυναμικοῦ.



σχ. 89

Ρεῦμα διαρρέει τήν R_0 ἐφ' ὅσον συνδέσωμεν ἀγωγίμως καί δύο ἄλλα σημεῖα τοῦ κυκλώματος.

Κατόπιν τῶν ἀνωτέρω παρατηρήσεων, γράφομεν:

$$U_{\Gamma} - U_A = I_1' R_2 - I_1'' R_4 \quad (1)$$

$$E_1 = I_1 r_1 + I_1' (R_1 + R_2) \quad (2)$$

$$I_1' (R_1 + R_2) = I_1'' (R_3 + R_4) \quad (3)$$

$$I_1' + I_1'' = I_1 \quad (4)$$

$$U_A = U_B \quad (5)$$

$$U_B - U_{\Delta} = R_6 I_2 \quad (6)$$

$$E_2 = I_2(R_5 + R_6 + r_2) \quad (7)$$

$$U_{\Delta} = 0 \quad (8)$$

Από τήν επίλυσιν τοῦ συστήματος προκύπτει:

$$U_{\Gamma} = \frac{R_2 R_3 - R_1 R_4}{r_1 \cdot (R_1 + R_2 + R_3 + R_4) + (R_1 + R_2) \cdot (R_3 + R_4)} E_1 + \frac{R_6}{R_5 + R_6 + r_2} E_2$$

7.5. διαγράμματα δυναμικοῦ

■ Παρουσιάζεται συχνά τό πρόβλημα τοῦ προσδιορισμοῦ ἰσοδυναμικῶν σημείων. Ὁ προσδιορισμός αὐτός εἶναι δυνατός δι' ἀπλῆς παρατηρήσεως εἰς τās περιπτώσεις συμμετρικῶν κυκλωμάτων. Δι' ὅλας τās ἄλλας περιπτώσεις χαράσσομεν τά διαγράμματα δυναμικοῦ.

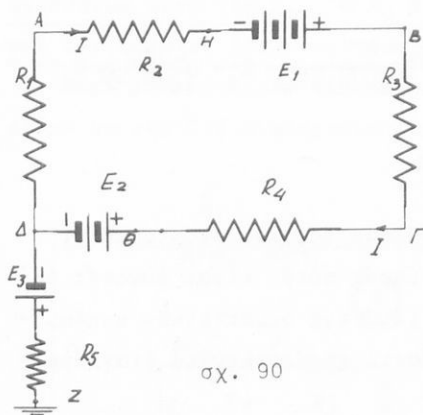
Ἄγωγός συνδέων δύο ἰσοδυναμικά σημεία δέν διαρρέεται ὑπό ρεύματος καί συνεπῶς δύναται νά ἀφαιρεθῆ.

Διά τήν χάραξιν τῶν διαγραμμάτων δυναμικοῦ, προσδιορίζομεν κατ' ἀρχάς τά ρεύματα εἰς ὅλους τοὺς κλάδους, καί ἐν συνεχείᾳ τά δυναμικά τῶν σημείων συνδέσεως, πηγῶν-ἀντιστάσεων, τῶν σημείων συνδέσεως ἀντιστάσεων ἐν γένει, καί τῶν πόλων τῶν πηγῶν, ὡς πρός τυχόν σημείον τοῦ κυκλώματος, τοῦ ὁποίου τό δυναμικόν λαμβάνομεν αὐθαιρέτως ἴσον πρός μηδέν.

Τοποθετοῦμεν ἐπί ἄξονος τεταγμένων τās εὐρεθείσας τιμὰς καί ἐπί ἄξονος τετημημένων λαμβάνομεν αὐθαιρέτως τās ἀποστάσεις μεταξύ τῶν σημείων. Αἱ ὀριζόντιοι ἀποστάσεις δέν ἔχουν καμμία σημασίαν, ἀπλῶς βοηθοῦν εἰς τήν διάκρισιν τῶν κλάδων τοῦ διαγράμματος. Σημεῖα εὐρισκόμενα μεταξύ τῶν πόλων πηγῆς ἐνίστε τοποθετοῦνται ἐπί παραλλήλου πρός τόν ἄξονα τῶν τεταγμένων. Συνδέομεν ὅλα τά σημεία τοῦ διαγράμματος

τά όποια είναι συνδεδεμένα άπ' ευθείας έν τῷ κυκλώματι.

★ Νά χαραχθῆ τό διάγραμμα δυναμικοῦ διά τό κύκλωμα τοῦ σχήματος 90, άν:



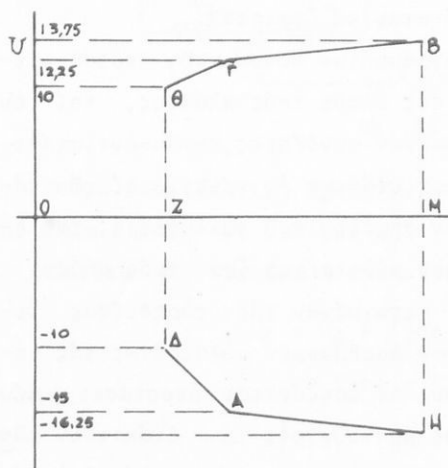
$$E_1 = 30 \text{ V}, E_2 = 20 \text{ V}, E_3 = 10 \text{ V}, R_1 = 20 \Omega, R_2 = 5 \Omega, R_3 = 6 \Omega, R_4 = 9 \Omega \text{ καί } R_5 = 10 \Omega.$$

Έκ τῶν δεδομένων προκύπτει:

$$I = \frac{E_1 - E_2}{R_1 + R_2 + R_3 + R_4} = 0,25 \text{ A}$$

Ό κλάδος ΔΖ δέν διαρρέεται ὑπό ρεύματος.

Χαράσσομεν τό διάγραμμα δυναμικοῦ.



Ό ὕπολογισμός τῶν δυναμικῶν τῶν διαφορῶν σημείων ἔδωσε:

$$U_Z = 0$$

$$U_\Delta = -10 \text{ V}$$

$$U_\Gamma = 12,25 \text{ V}$$

$$U_B = 13,75 \text{ V}$$

$$U_A = -15 \text{ V}$$

$$U_H = -16,25 \text{ V}$$

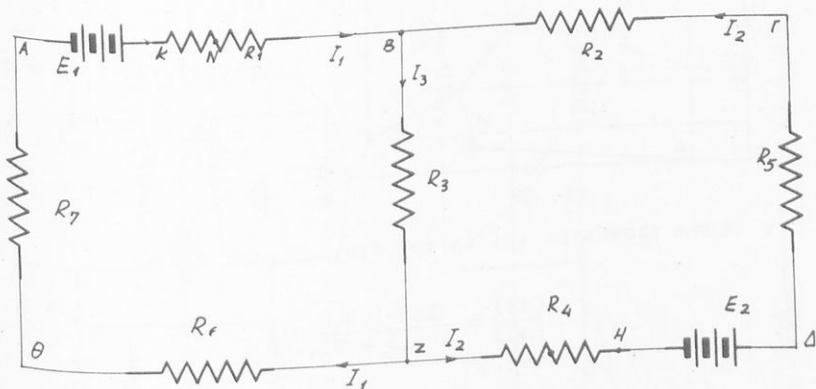
$$U_\theta = 10 \text{ V}$$

Τό διάγραμμα δυναμικοῦ ἀποδίδει τό σχῆμα 91

Παρατηροῦμεν ὅτι:

1. Δέν ὑπάρχουν ἰσοδυναμικά σημεῖα εἰς τό κύκλωμα.
2. Τά σημεῖα τῶν παραλλήλων $\theta\Delta$ καί $B\Gamma$ (σχ. 91) δέν ἀντιστοιχοῦν εἰς προσητά σημεῖα τοῦ κυκλώματος.
3. Ἡ κατακόρυφος ἀπόστασις δύο σημείων μετᾶ τήν διαφοράν δυναμικοῦ μεταξύ αὐτῶν.

★ Νά εὑρεθῇ σημεῖον ἐπί τοῦ κυκλώματος τοῦ σχ. 92 τό ὁποῖον ἂν συνδεθῇ ἀγωγίμως μέ τό σημεῖον Γ , νά μή διέρχεται ρεῦμα διά τοῦ ἀγωγοῦ συνδέσεως.



σχ. 92.

Δίδονται: $E_1 = 110 \text{ V}$, $E_2 = 110 \text{ V}$, $R_1 = 10 \Omega$, $R_2 = 15 \Omega$
 $R_3 = 25 \Omega$, $R_4 = 15 \Omega$, $R_5 = 20 \Omega$, $R_6 = 10 \Omega$, $R_7 = 5 \Omega$.

Ὁ ὑπολογισμός τῶν ρευμάτων δίδει:

$$I_1 = 1,76 \text{ A}, \quad I_2 = 0,88 \text{ A}, \quad I_3 = 2,64 \text{ A}$$

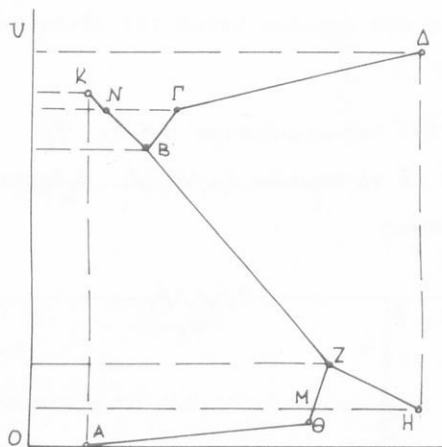
ὁ προσδιορισμός τῶν δυναμικῶν ὡς πρός τό A , τοῦ ὁποῖου τό δυναμικόν θεωρεῖται ἀθαιρέτως μηδέν, δίδει:

$$U_A = 0, \quad U_B = 92,4 \text{ V}, \quad U_\Gamma = 105,6 \text{ V}$$

$$U_{\Delta} = 123,2\text{V}, \quad U_H = 13,2\text{V}, \quad U_Z = 26,4\text{V}$$

$$U_{\Theta} = 8,8 \text{ V}, \quad U_K = 110 \text{ V}$$

Εἰς τὸ σχῆμα 93 φαίνεται τὸ διάγραμμα δυναμικοῦ διὰ τὸ δοθέν κύκλωμα.



σχ. 93

Παρατηροῦμεν ὅτι ὑπάρχει σημεῖον Ν ἐπὶ τοῦ τμήματος ΚΒ, ἰσοδυναμικόν τοῦ Γ. Ἐστω x ἡ ἀντίστασις τοῦ τμήματος ΝΒ. Τότε:

$$U_{\Gamma} - U_N = I_2 \cdot R_2 - I_1 \cdot x = 0$$

$$x = \frac{I_2}{I_1} \cdot R_2 = \frac{R_2}{2}$$

$$x = 7,5 \ \Omega$$

Τοῦτο προκύπτει καί ἐκ τοῦ διαγράμματος διότι:

$$\frac{(KN)}{(NB)} = \frac{110 - 105,6}{105,6 - 92,4} = \frac{1}{3}$$

ἢ

$$\frac{x}{R_1} = \frac{3}{4} \quad \text{ἢ} \quad x = \frac{3}{4} R_1 = 7,5 \ \Omega$$

8. ἡ ἰσοδύναμος ἀντίστασις

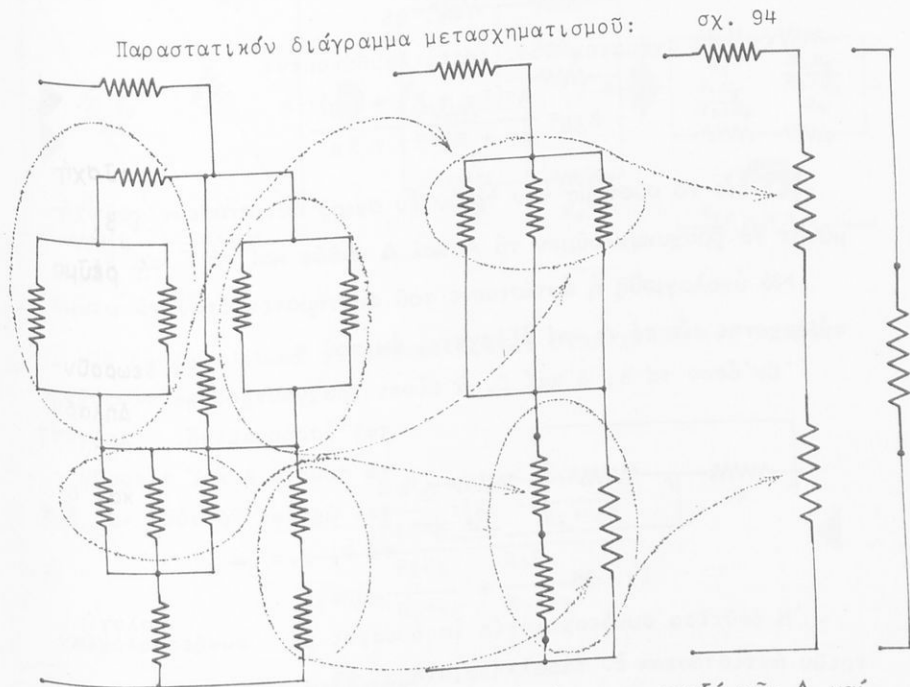
Ἡ ἠλεκτρικὴ ἀντίστασις μεταξὺ δύο σημείων Α καί Β κυκλώματος, ὑπολογίζεται πάντοτε.

Διακρίνομεν τὰς ἀκόλουθους περιπτώσεις:

8.1. τυπικαὶ συνδέσεις

Αἱ ἀντιστάσεις τοῦ κυκλώματος χωρίζονται εἰς ὁμάδας ἐκάστη τῶν ὁποίων περιλαμβάνει ἀντιστάσεις συνδεδεμένες ἐν σειρά ἢ ἐν παραλλήλῳ, ὅποτε τὸ σύστημα μετασχηματίζεται εἰς ἄλλο ἀπλούστερον μέσῳ τῶν τύπων:

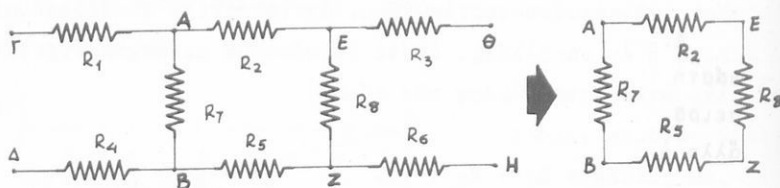
$$R_0 = R_1 + R_2 + \dots \qquad \frac{1}{R_0} = \frac{1}{R_1} + \frac{1}{R_2} + \dots$$



★ Νά ὑπολογισθῇ ἡ ἰσοδύναμος ἀντίσταση μεταξύ τῶν Α καὶ Β εἰς τὸ κύκλωμα τοῦ σχήματος 95.

Παρατηροῦμεν ὅτι μεταξύ τῶν Γ καὶ Δ ὡς καὶ μεταξύ τῶν θ καὶ Η τὸ κύκλωμα εἶναι ἀνοικτόν.

Οί δρόμοι* ΑΓΔΒ καί ΕΘΗΖ ἔχουν ἄπειρον ἀντίστασιν καί ἔφ' ὅσον συνδέονται παράλληλα πρὸς τοὺς ΑΒ καί ΕΖ ἀντιστοιχῶς, παραλείπονται.



Σχ. 95

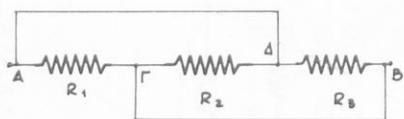
Ἐκ τοῦ σχήματος 95β, τότε, λαμβάνομεν:

$$R_{AB} = \frac{R_7(R_2 + R_5 + R_8)}{R_2 + R_5 + R_7 + R_8}$$

☆ Εἰς τό σύστημα τῶν τριῶν ἐν σειρᾷ ἀντιστάσεων τοῦ σχήματος 96 βραχυκυκλοῦμεν τά Α καί Δ καθώς καί τά Γ καί Β.

Νά ὑπολογισθῇ ἡ ἀντίστασις τοῦ συστήματος ὅταν τό ρεῦμα εἰσέρχεται εἰς τό Α καί ἐξέρχεται ἐκ τοῦ Β.

Ἐφ' ὅσον τά Α, Δ καί Γ, Β εἶναι βραχυκυκλωμένα, θεωροῦνται



Σχ. 96

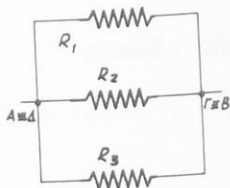
ται ἰσοδυναμικά. Δηλαδή

τά σημεῖα Α καί Δ νοοῦνται ὡς ἓν. Τό αὐτό καί διά τά Γ, Β.

Ἡ δοθεῖσα συνδεσμολογία ἰσοδυναμεῖ μέ συνδεσμολογίαν τριῶν ἀντιστάσεων ἐν παραλλήλῳ, σχῆμα 97.

* Παρατήρησις: Οἱ δρόμοι ΑΓΔΒ καί ΕΘΗΖ δέν ἀποτελοῦν κλάδους τοῦ κυκλώματος καθ' ὅσον, κλάδος εἶναι κάθε ἀγώγιμος (κλειστός) δρόμος μεταξύ δύο κόμβων.

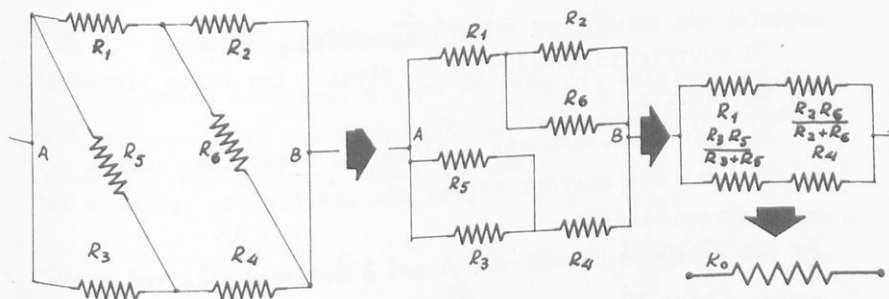
Σχ. 97



Συνεπώς:

$$R_{ολ} = \frac{R_1 R_2 R_3}{R_1 R_2 + R_2 R_3 + R_1 R_3}$$

★ Νά υπολογισθῆ ἡ μεταξύ τῶν Α καὶ Β ἰσοδύναμος ἀντίστασις τοῦ συστήματος. (Σχήμα 98).



Σχ. 98

Τό δοθέν κύκλωμα μετασχηματίζεται διαδοχικῶς εἰς τά:σχ. 98α, σχ. 98β, σχ. 98γ.

Τελικῶς:

$$R_o = \frac{\left(R_1 + \frac{R_2 R_6}{R_2 + R_6}\right) \left(R_4 + \frac{R_3 R_5}{R_3 + R_5}\right)}{R_1 + R_4 + \frac{R_2 R_6}{R_2 + R_6} + \frac{R_3 R_5}{R_3 + R_5}}$$

8.2. μὴ τυπικαὶ συνδέσεις

Εἰς περιπτώσεις μὴ τυπικῶν συνδέσεων ὁ μετασχηματισμὸς τοῦ κυκλώματος γίνεται δι'εἰδικῶν μεθόδων, ὡς αἱ κάτωθι:

8. 2. 1. μέθοδος τῆς ὑποθετικῆς τάσεως

Εἰς τὴν μέθοδον αὐτὴν ἐφαρμόζομεν μεταξὺ τῶν ἀναφερομένων σημείων ἀθαίρετον τάσιν V_0 .

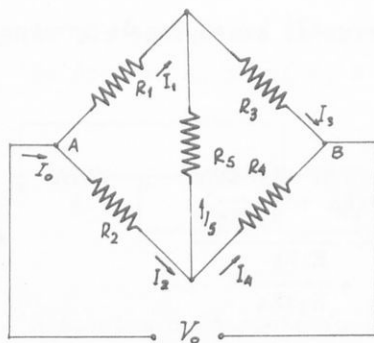
Ἐν συνεχείᾳ δι' ἐφαρμογῆς μιᾶς τῶν γνωστῶν μεθόδων, ἔστω τοῦ Kirchhoff, ὑπολογίζομεν τὸ ὅλικόν ρεῦμα, τὸ ὅποτον εἶναι ἀνάλογον τῆς ἐφαρμοζομένης τάσεως V_0 . Ἦτοι:

$$I_0 = \frac{1}{R_0} \cdot V_0$$

Ὁ συντελεστὴς ἀναλογίας R_0 εἶναι ἡ ζητούμενη ἰσοδύναμος ἀντίστασις.

Εἰς τὴν ἐφαρμογὴν τῆς μεθόδου τῆς ὑποθετικῆς τάσεως ἡ παρατήρησις τῆς σελίδος 87, ἐπὶ τῆς μεθόδου τῶν ρευμάτων χαρακτηρίζεται βασική.

★ **Νά εὑρεθῇ ἡ μεταξὺ τῶν A καὶ B ἀντίστασις R_0 τοῦ κυκλώματος. Σχῆμα 99.**



Σχ. 99

Δίδονται:

$$R_1 = 2\Omega, R_2 = 8\Omega, R_3 = 3\Omega,$$

$$R_4 = 1\Omega \text{ καὶ } R_5 = 10\Omega.$$

Δι' ἐφαρμογῆς τῶν κανόνων τοῦ Kirchhoff προκύπτουν:

$$I_1 R_1 = I_5 R_5 + I_2 R_2 \quad (1)$$

$$I_5 R_5 + I_3 R_3 = I_4 R_4 \quad (2)$$

* Παρατήρησις: Τὸ δοθέν κύκλωμα εἶναι κύκλωμα γεφύρας. Παρατηροῦμεν ὅτι:

$$\frac{R_1}{R_2} \neq \frac{R_3}{R_4}$$

δηλαδή ἡ γέφυρα δέν ἰσορροπεῖ. Βλέπε: γέφυρα Wheatstone.

$$V_O = I_2 R_2 + I_4 \cdot R_4 \quad (3)$$

$$I_O = I_1 + I_2 \quad (4)$$

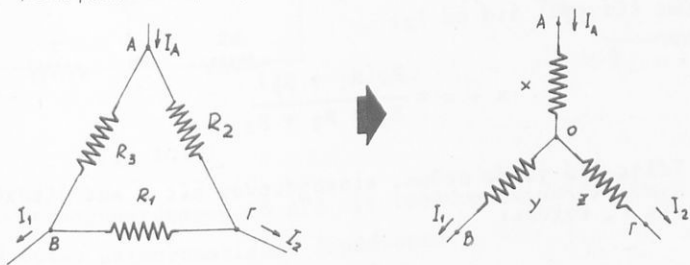
$$I_O = I_3 + I_4 \quad (5)$$

$$I_2 = I_5 + I_4 \quad (6)$$

Έξ ἄλλου $R_O = \frac{V_O}{I_O}$. Ἐκ τῆς ἐπιλύσεως ἔπεται $R_O = 3\Omega$. ◀

8. 2. 2. μέθοδος μετασχηματισμοῦ τριγώνου εἰς ἀστὴρα

Ἡ μέθοδος βασίζεται εἰς τὸ γεγονός ὅτι δοθεῖσα τριγωνική συνδεσμολογία μετασχηματίζεται πάντοτε εἰς ἰσοδύναμον συνδεσμολογίαν ἀστέρος, σχῆμα 100, μέ:



Σχ. 100

$$x = \frac{R_2 R_3}{R_1 + R_2 + R_3}, \quad y = \frac{R_1 R_3}{R_1 + R_2 + R_3}, \quad z = \frac{R_1 R_2}{R_1 + R_2 + R_3} \quad (A)$$

Ἀπόδειξις:

Ἐστω ρεῦμα I_A εἰσέρχόμενον εἰς τὸ Α. Ἐάν I_1 καὶ I_2 εἶναι αἱ ἐντάσεις τῶν ἐξέρχομένων εἰς τὰ Β καὶ Γ, ἀντιστοίχως ἰσχύει:

$$I_A = I_1 + I_2$$

Τό I_1 κατά τήν δίσοδόν του διά τοῦ τριγώνου, μέσφ τῶν πα-
ραλλήλων δρόμων R_3 καί R_1+R_2 , συνήντησεν ὀλικήν ἀντίστασιν
 R' :

$$\frac{1}{R'} = \frac{1}{R_3} + \frac{1}{R_1+R_2} \quad R' = \frac{R_3(R_1+R_2)}{R_1+R_2+R_3}$$

Τό ἴδιο ρεῦμα I_1 εἰς τόν ἰσοδύναμον ἀστέρα διέρχεται διά
τῶν x καί y καί συναντᾷ ὀλικήν ἀντίστασιν: $R'' = x + y$. Διά
τήν ἰσοδυναμίαν τῶν δρόμων, πρέπει $R' = R''$, ἥ

$$x + y = \frac{R_3(R_1 + R_2)}{R_1 + R_2 + R_3} \quad (1)$$

ὁμοίως ἐξάγεται διά τό I_2 :

$$x + z = \frac{R_2(R_1 + R_3)}{R_1 + R_2 + R_3} \quad (2)$$

Τέλος διά τυχόν ρεῦμα, εἰσερχόμενον εἰς B καί ἐξερχόμε-
νον εἰς Γ , ἰσχύει:

$$y + z = \frac{R_1(R_2 + R_3)}{R_1 + R_2 + R_3} \quad (3)$$

Διά προσθέσεως τῶν (1), (2) καί (3) κατά μέλη προκύπτει:

$$x + y + z = \frac{R_1R_2 + R_2R_3 + R_1R_3}{R_1 + R_2 + R_3} \quad (4)$$

Δι' ἀφαιρέσεως ἐκ τῆς (4), διαδοχικῶς, τῶν (1), (2) καί
(3) προκύπτουν αἱ (A).

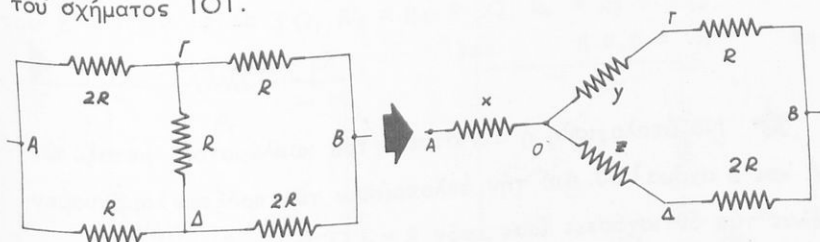
Ἀντιστροφή: δοθείσης τῆς ἀστεροειδοῦς τρικλάδου συν-
δεσμολογίας x , y καί z , ὑπολογίζονται αἱ ἀντιστάσεις τῆς

τριγωνικής R_1 , R_2 καί R_3 , ἴσαι πρὸς*:

$$R_1 = \frac{xy + yz + zx}{x}, \quad R_2 = \frac{xy + yz + zx}{y}, \quad R_3 = \frac{xy + yz + zx}{z} \quad (B)$$

Τό ἀντίστροφον πρόβλημα λύεται πάντοτε, δι' οἰονδήποτε ἀριθμὸν κλάδων ἐνῶ τό εὐθύ μόνον εἰς τήν περίπτωσιν τριγώνου.

★ Νά εὐρεθῇ ἡ ἀντίστασις R_0 μεταξύ τῶν σημείων A καί B τοῦ σχήματος 101.



Σχ. 101

Μετασχηματίζομεν τό ΑΓΔ εἰς ἰσοδύναμον ἀστέρα Οxyz. Ἐκ τῶν τύπων μετασχηματισμοῦ λαμβάνομεν:

* Ἡ λύσις ὡς πρὸς R_1 , R_2 καί R_3 ἐπιτυγχάνεται ὡς ἐξῆς: Διὰ διαιρέσεως τῶν (A) ἀνά δύο λαμβάνομεν:

$$\frac{x}{y} = \frac{R_2}{R_1} \quad R_1 = \frac{y}{x} \cdot R_2 \quad (5)$$

$$\frac{y}{z} = \frac{R_3}{R_2} \quad R_3 = \frac{y}{z} \cdot R_2 \quad (6)$$

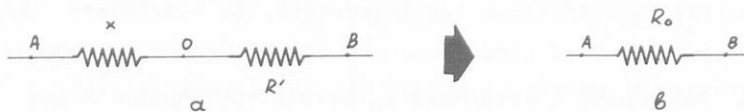
ἀντικαθιστῶμεν τὰς (5) καί (6) εἰς μίαν ἐκ τῶν (A):

$$x = \frac{R_2 \frac{y}{z} R_2}{\frac{y}{x} R_2 + R_2 + \frac{y}{z} R_2} \quad R_2 = \frac{xy + yz + zx}{y}$$

Ὁμοίως προκύπτουν αἱ ἄλλαι τῶν (B)

$$x = \frac{R}{2}, \quad y = \frac{R}{2}, \quad z = \frac{R}{4}$$

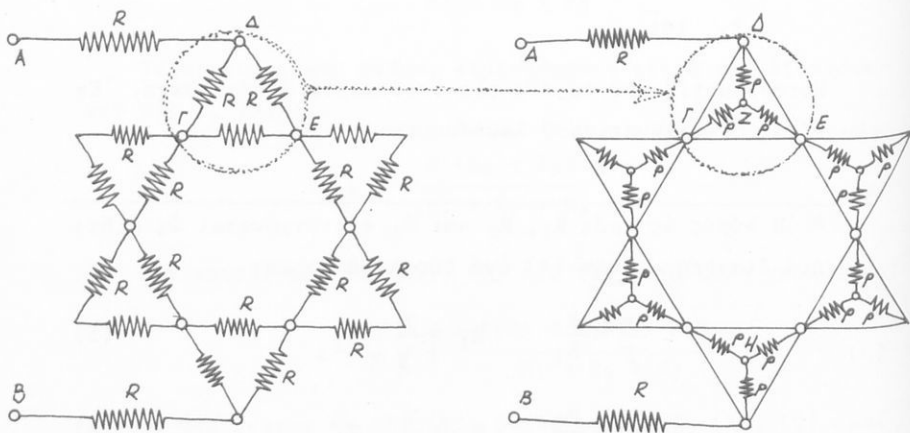
Τό κύκλωμα του σχ.101β μετασχηματίζεται διαδοχικώς εἰς τὰ: σχήματα 102α καί 102β.



Σχ. 102

μέ $R' = 0,9 R$ καί $R_0 = 1,4 R$

★ Νά ὑπολογισθῇ ἡ ἀντίσταση τοῦ κυκλώματος, μεταξύ τῶν Α καί Β σχῆμα 103. Διά τήν ἀπλοποίησην τῶν πράξεων λαμβάνομεν ὅλας τὰς ἀντιστάσεις ἴσας πρὸς $R = 3 \Omega$.



Σχ. 103

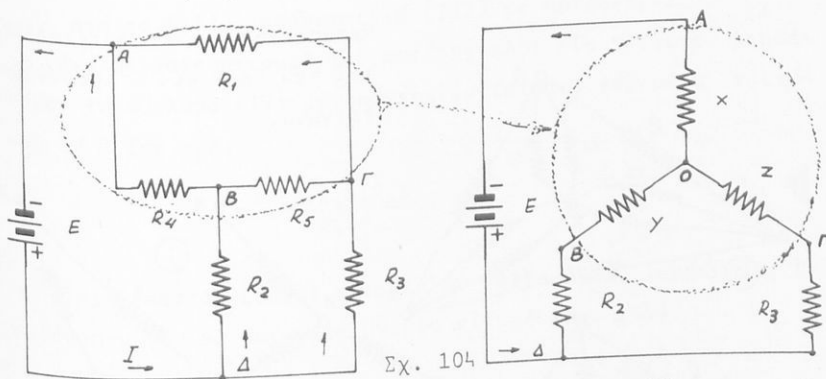
Διά τοῦ μετασχηματισμοῦ τῶν τριγώνων λαμβάνομεν τό ἰσοδύναμον κύκλωμα: σχῆμα 103β. Οἱ κλάδοι τῶν ἀστέρων εἶναι ἴ-

σης αντίστασης ρ με:

$$\rho = \frac{R^2}{3R} = 1 \Omega$$

Μεταξύ των Z και Η προκύπτουν δύο παράλληλοι κλάδοι με αντιστάσεις των 6Ω , όποτε η μεταξύ των Α και Β, αντίσταση εξάγεται, τότε, άμεσα ίση προς 11Ω .

★ Εἰς τό συνεχοῦς ρεύματος κύκλωμα τοῦ σχ.104 εἶναι: $E = 10\text{ V}$, $R_1 = 3\Omega$, $R_2 = R_3 = 5\Omega$, $R_4 = R_5 = 3\Omega$.



Ἡ ἔσωτερικὴ ἀντίστασις τῆς πηγῆς ἀμελητέα: Εὔρατε τὸ ὀλικὸν ρεῦμα καὶ τὴν ἰσοδύναμον ἀντίστασιν τοῦ κυκλώματος.

Αἱ ἀντιστάσεις R_1 , R_4 καὶ R_5 καθὼς καὶ αἱ R_2 , R_3 καὶ R_5 εἶναι συνδεδεμένες κατὰ τρίγωνον.

Μετασχηματίζω τὴν συνδεσμολογίαν τῶν R_1 , R_4 καὶ R_5 εἰς ἰσοδύναμον ἀστέρα.

$$x = \frac{R_1 R_4}{R_1 + R_4 + R_5} = 1\Omega, \quad y = \frac{R_4 R_5}{R_1 + R_4 + R_5} = 1\Omega$$

$$z = \frac{R_1 R_5}{R_1 + R_4 + R_5} = 1\Omega$$

Οἱ κλάδοι ΟΒΔ καὶ ΟΓΔ εἶναι παράλληλοι.

Ὡστε τελικῶς:

$$R_0 = 4\Omega$$

Ψηφιοποιήθηκε από το Ινστιτούτο Εκπαιδευτικής Πολιτικής

$$I_0 = \frac{E}{R_0} = 2,5 \text{ A}$$

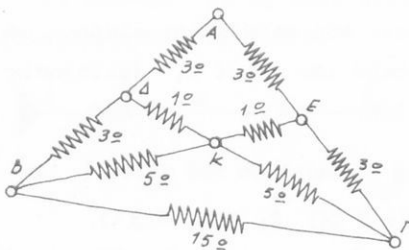
☆ Δίδεται ή συνδεσμολογία του σχήματος. Οί άγωγοί έχουν

άντιστάσεις: $\Delta K = KE = 1\Omega$

$\Delta\Delta = \Delta E = \Delta B = E\Gamma = 3\Omega$

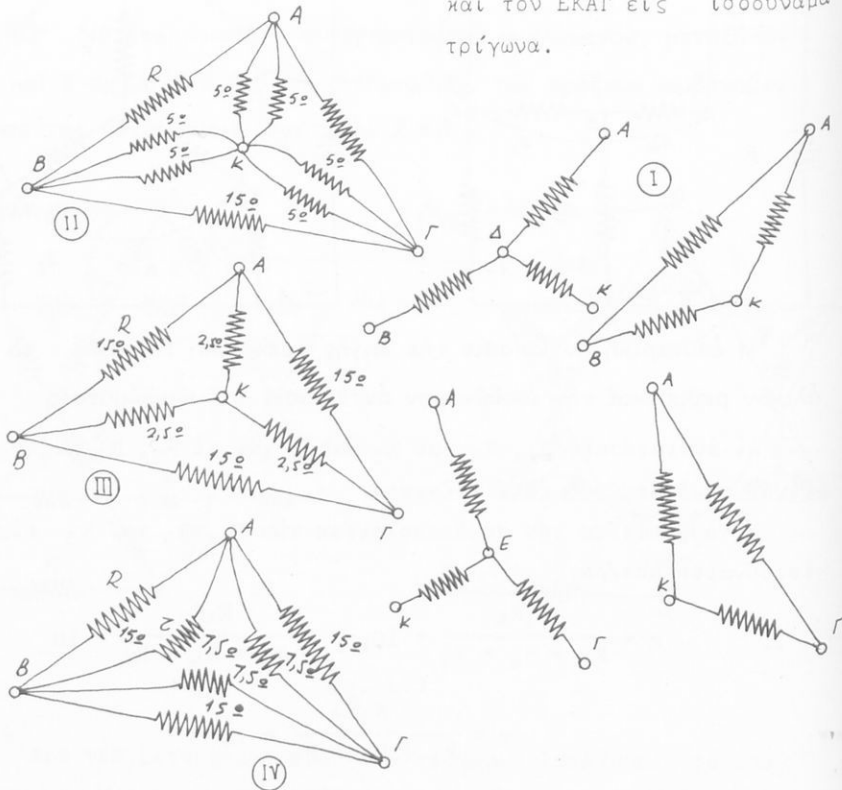
$BK = K\Gamma = 5\Omega$ καί $B\Gamma = 15\Omega$

Νά ύπολογισθῆ ή αντίστασις μεταξύ τών σημείων Α, Γ.



Σχ. 105

Μετασχηματίζω τόν άστέρα ΔABK καί τόν $EKA\Gamma$ είς ίσοδύναμα τρίγωνα.



Ευκόλως προκύπτουν διά τοῦ τύπου μετασχηματισμοῦ ἀστέρος εἰς τρίγωνον $R_1 = \frac{xy+yz+zx}{x}$ αἱ τιμαὶ τῶν ἀντιστάσεων σέ Ω .

$$AK = \frac{3 \cdot 3 + 3 \cdot 1 + 3 \cdot 1}{3} = 5 \quad BK = \frac{3 \cdot 3 + 3 \cdot 1 + 3 \cdot 1}{3} = 5$$

$$AB = \frac{3 \cdot 3 + 3 \cdot 1 + 3 \cdot 1}{1} = 15 \quad \text{ὁμοίως } KG = 5 \quad \text{καί } AG = 15$$

Συνεπῶς τὸ κύκλωμα τοῦ (σχ.105) διά τῶν μετασχηματισμῶν (I) δίδει τὸ κύκλωμα (II).

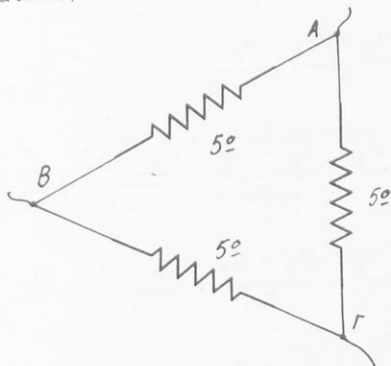
Ἀπὸ τὸ (II) λαμβάνεται τὸ (III) μὲ $KA=KB=KG=2,5$

Διά μετασχηματισμοῦ τοῦ ἀστέρος KABΓ εἰς τρίγωνον λαμβάνομεν τὸ κύκλωμα (IV) μὲ ἐκάστην ἀντίστασιν τοῦ νέου τριγώνου σέ Ω ἴση πρὸς:

$$r = \frac{3 \cdot 2,5 \cdot 2,5}{2,5} = 7,5$$

Ἀπὸ ἕκαστον ζεῦγος παραλλήλων ἀντιστάσεων λαμβάνομεν ἰσοδύναμον τῶν 5Ω καὶ καταλήγομεν εἰς τὸ (σχ. 106).

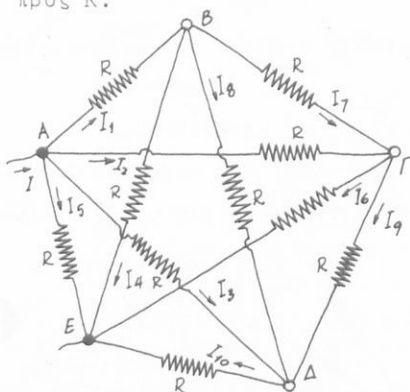
Σχ. 106



Ἡ ἀντίστασις μεταξύ τῶν A καὶ Γ εὐρίσκεται ἴση πρὸς $3,5\Omega$.

8. 2. 3. μέθοδος τῶν δυναμικῶν τῶν κόμβων

Ἐστω ὅτι ζητεῖται ἡ ἀντίστασις μεταξύ τῶν σημείων A καὶ B τοῦ εἰκονιζομένου δικτύου, σχῆμα 107 (μὴ ἐπιπέδου ἢ μετὰ διασταυρουμένων κλάδων), εἰς τὸ ὁποῖον, διὰ τὴν εὐκολίαν τῶν πράξεων καὶ μόνον, αἱ ἀντιστάσεις ἐλήφθησαν ὅσαι ἴσαι πρὸς R.



ΣΧ. 107

Ἐκ τοῦ κόμβου A λαμβάνομεν:

$$I = I_1 + I_2 + I_3 + I_5 \quad (1)$$

Ἐκ τοῦ B λαμβάνομεν:

$$I_1 = I_4 + I_6 + I_7 \quad (2)$$

Ἐκ τοῦ Γ:

$$I_2 + I_7 = I_6 + I_9 \quad (3)$$

Ἐκ τοῦ Δ:

$$I_3 + I_8 + I_9 = I_{10} \quad (4)$$

Ἐκ τῶν (1), (2), (3) καὶ (4) προκύπτουν:

$$I = \frac{U_A - U_B}{R} + \frac{U_A - U_\Gamma}{R} + \frac{U_A - U_\Delta}{R} + \frac{U_A - U_E}{R} \quad (5)$$

$$\frac{U_A - U_B}{R} = \frac{U_B - U_E}{R} + \frac{U_B - U_\Delta}{R} + \frac{U_B - U_\Gamma}{R} \quad (6)$$

$$\frac{U_A - U_\Gamma}{R} + \frac{U_B - U_\Gamma}{R} = \frac{U_\Gamma - U_E}{R} + \frac{U_\Gamma - U_\Delta}{R} \quad (7)$$

$$\frac{U_A - U_\Delta}{R} + \frac{U_B - U_\Delta}{R} + \frac{U_\Gamma - U_\Delta}{R} = \frac{U_\Delta - U_E}{R} \quad (8)$$

"Αν θέσωμεν $U_E = 0$ καί ἐπιλύσωμεν τό σύστημα τῶν (5), (6), (7) καί (8) λαμβάνομεν:

$$U_A = \frac{2}{5} \cdot I \cdot R$$

ἀλλά:

$$R_0 = \frac{U_A - U_E}{I} = \frac{U_A}{I} = \frac{2}{5} R^*$$

● Ὡστε κατά τήν ἐφαρμογήν τῆς μεθόδου διά τόν ὑπολογισμόν ἀντιστάσεως R_0 μεταξύ τῶν A καί B.

α. Ἐφαρμόζομεν τήν ἐξίσωσιν Kirchhoff $\sum I = 0$ εἰς $\kappa-1$ κόμβους ($\kappa =$ ὁ ἀριθμός τῶν κόμβων).

β. Δι' ἕκαστον μερικόν ρεῦμα ἐφαρμόζομεν τόν νόμον τοῦ Ohm.

$$i_j = \frac{U_\kappa - U_\lambda}{R_\nu}$$

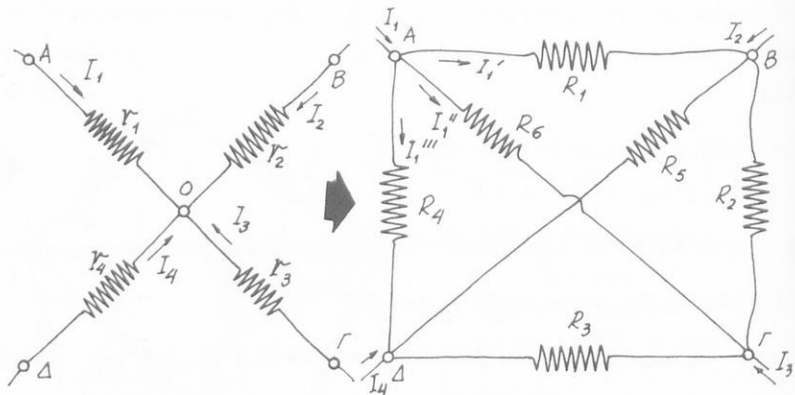
γ. Δεχόμεθα αὐθαίρετως $U_B = 0$.

δ. Προσδιορίζομεν τήν $U_A = f(I)$ ἥτις εἶναι τῆς μορφῆς $U_A = R_0 \cdot I$, μέ R_0 ἡ ζητούμενη ἀντίστασις.

* Παρατήρησις:

Ἡ δοθεῖσα ἀσκησις δύναται νά λυθῇ καί διά διαδοχικῶν μετασχηματισμῶν τριγώνων εἰς ἀστέρας ἢ διά προσδιορισμοῦ ἰσοδυναμικῶν σημείων (βλ. κατωτέρω).

★ Διά τῆς μεθόδου τῶν δυναμικῶν τῶν κόμβων νά μετασχηματισθῆ ἄστῆρ τεσσάρων κλάδων εἰς ἰσοδύναμον πλήρη τετραγωνική συνδεσμολογίαν: (σχῆμα 108)



Σχ. 108

Ἐστω ὅτι διὰ τῶν A, B, Γ καὶ Δ εἰσέρχονται εἰς τὸν ἀστέρα τά ρεύματα I_1, I_2, I_3 καὶ I_4 ἀντιστοίχως. Ἐκ τοῦ κόμβου O:

$$I_1 + I_2 + I_3 + I_4 = 0 \quad (1)$$

$$\eta \frac{U_A - U_0}{r_1} + \frac{U_B - U_0}{r_2} + \frac{U_\Gamma - U_0}{r_3} + \frac{U_\Delta - U_0}{r_4} = 0 \quad (2)$$

$$\eta \frac{U_A}{r_1} + \frac{U_B}{r_2} + \frac{U_\Gamma}{r_3} + \frac{U_\Delta}{r_4} - U_0 \left(\frac{1}{r_1} + \frac{1}{r_2} + \frac{1}{r_3} + \frac{1}{r_4} \right) = 0$$

Ἀπὸ τὴν τελευταίαν λαμβάνομεν:

$$U_0 = r_0 \left(\frac{U_A}{r_1} + \frac{U_B}{r_2} + \frac{U_\Gamma}{r_3} + \frac{U_\Delta}{r_4} \right) \quad (3)$$

$$\text{με } r_0 = \frac{1}{\frac{1}{r_1} + \frac{1}{r_2} + \frac{1}{r_3} + \frac{1}{r_4}} \quad (4)$$

Άλλά $I_1 = \frac{U_A - U_0}{r_1}$ καί λόγω τῆς (3)

$$I_1 = U_A \left(\frac{1}{r_1} - \frac{r_0}{r_1^2} \right) - U_B \frac{r_0}{r_1 r_2} - U_\Gamma \frac{r_0}{r_3 r_1} - U_\Delta \frac{r_0}{r_4 r_1} \quad (5)$$

Ἐάν τώρα ἡ συνδεσμολογία τοῦ ἀστέρος εἶναι ἰσοδύναμος μέ τήν πολυγωνικήν τοῦ σχήματος θά ἰσχύη:

$$I_1 = I_1' + I_1'' + I_1'''$$

$$\begin{aligned} \eta \quad I_1 &= \frac{U_A - U_B}{R_1} + \frac{U_A - U_\Gamma}{R_2} + \frac{U_A - U_\Delta}{R_3} = \\ &= U_A \left(\frac{1}{R_1} + \frac{1}{R_2} + \frac{1}{R_3} \right) - U_B \frac{1}{R_1} - U_\Gamma \frac{1}{R_2} - U_\Delta \frac{1}{R_3} \quad (6) \end{aligned}$$

Διά τῆς συγκρίσεως τῶν συντελεστῶν τῶν (5) καί (6) λαμβάνομεν :

$$\frac{1}{r_1} - \frac{r_0}{r_1^2} = \frac{1}{R_1} + \frac{1}{R_2} + \frac{1}{R_3}$$

$$\frac{r_0}{r_1 r_2} = \frac{1}{R_1}$$

$$\frac{r_0}{r_1 r_4} = \frac{1}{R_3}$$

$$\frac{r_0}{r_1 r_3} = \frac{1}{R_2}$$

Ἐπαναλαμβάνομεν τόν συλλογισμόν διά τά I_2, I_3, I_4 , ὁ-
πότε τελικῶς:

$$R_1 = \frac{r_1 r_2}{r_0}, \quad R_2 = \frac{r_2 r_3}{r_0}, \quad R_3 = \frac{r_3 r_4}{r_0}, \quad R_4 = \frac{r_1 r_4}{r_0},$$

$$R_5 = \frac{r_2 r_4}{r_0}, \quad R_6 = \frac{r_1 r_3}{r_0}$$

Τό ἀντίστροφον πρόβλημα ἔχει λύσιν μόνον εἰς τήν περί-
πτωσιν τριγωνικῆς συνδεσμολογίας, διότι θά πρέπη νά ἐπιλυ-
θῇ σύστημα $\frac{v(v-1)}{2}$ ἐξισώσεων μέ v ἀγνώστους.

$$\left(\frac{v(v-1)}{2}\right) = \text{ἄθροισμα πλευρῶν καί διαγωνίων πολυγώνου}$$

$$\text{Διά νά ὑπάρχη λύσις } \frac{v(v-1)}{2} = v \quad \text{ὅθεν } v = 3.$$

9. συμμετρικά κυκλώματα

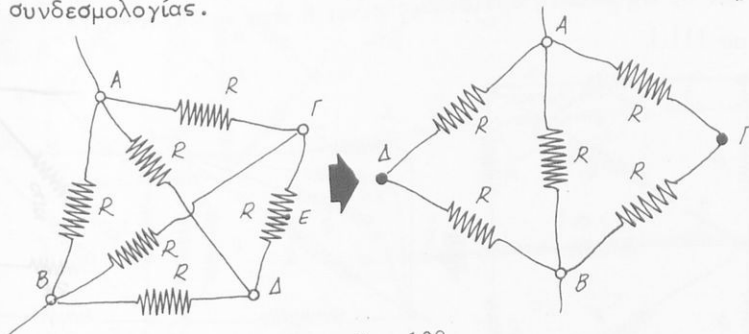
Ἡ συμμετρική τοποθέτησις τῶν ἀντιστάσεων ἠλεκτρικοῦ δι-
κτύου, ὡς πρὸς ἄξονα ἢ ἐπίπεδον, ὁδηγεῖ εἰς σύντομον ἐπίλυ-
σιν χωρὶς ἐκτεταμένον ἀλγεβρικόν λογιισμόν διά τῶν μεθόδων
τῶν ἰσοδυναμικῶν σημείων ἢ τῶν τάσεων.

9.1. μέθοδος τῶν ἰσοδυναμικῶν σημείων

Ἐφ' ὅσον τό δίκτυον εἶναι συμμετρικόν ὡς πρὸς ἄξονα ἢ
ἐπίπεδον, ὑπάρχουν σημεῖα μέ τό αὐτό δυναμικόν (ἰσοδυναμι-

κά). 'Αγωγοί συνδέοντες ισοδυναμικά σημεία, δέν διαρρέονται από ρεύμα καί δύνανται νά παραληφθοῦν. 'Ανεξάρτητα ισοδυναμικά σημεία δύνανται νά θεωρηθοῦν ὡς ἓν.

★ 'Εξ ἴσαι ἀντιστάσεις R διατάσσονται ὡς αἱ ἀκμαί τετραέδρου σχ. 109. Νά εὑρεθῇ ἡ μεταξύ δύο κορυφῶν ἀντίσταση τῆς συνδεσμολογίας.

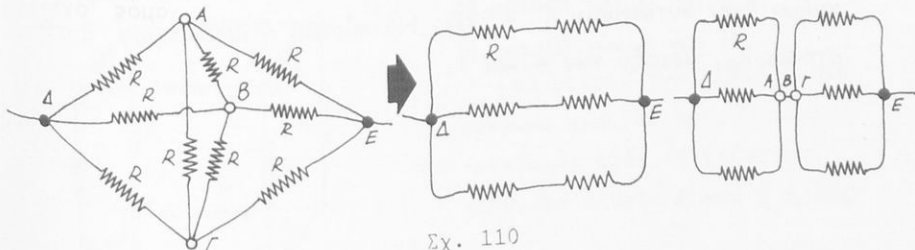


Σχ. 109

'Η διάταξις εἶναι συμμετρική ὡς πρὸς τὸ ἐπίπεδον τὸ ὀριζόμενον ἐκ τῶν A, B καί τὸ μέσον E τῆς ἀντιστάσεως $\Gamma\Delta$. Ὅθεν τὰ Γ καί Δ εἶναι ισοδυναμικά. Παραλείποντες τὴν $\Gamma\Delta$, προσδιορίζομεν ἀμέσως ἐκ τῆς παραλλήλου διατάξεως, $R_0 = \frac{R}{2}$

★ 9 σύρματα ἀντιστάσεως R διατάσσονται ὡς εἰς τὸ σχ. 110. Ποία ἡ μεταξύ τῶν Δ καί E ἀντίστασις R_0 ;

Λόγῳ τῆς συμμετρίας πού παρουσιάζει ἡ διάταξις τὰ σημεῖα A, B καί Γ εἶναι ισοδυναμικά.

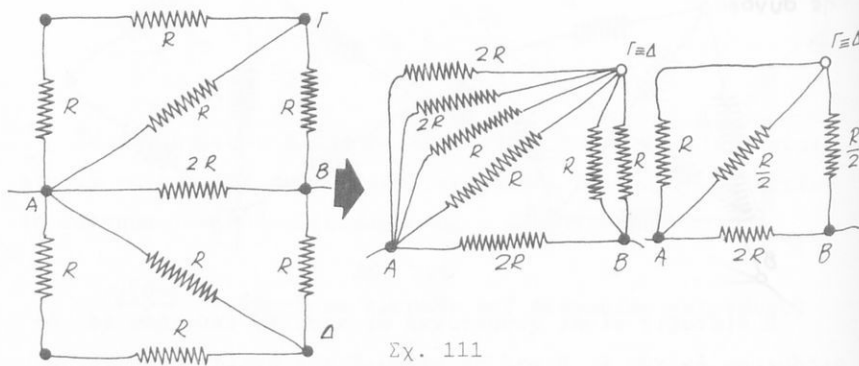


Σχ. 110

Ἐκ τῶν ἰσοδυναμῶν διατάξεων προκύπτει:

$$R_0 = \frac{2R}{3}$$

★ Νά εὑρεθῇ ἡ ἰσοδύναμος ἀντίσταση R_0 μεταξύ τῶν A καί B , ἂν ἐκάστη ἀντίσταση εἶναι R ἐνῶ ἡ AB εἶναι $2R$ (σχῆμα 111.).



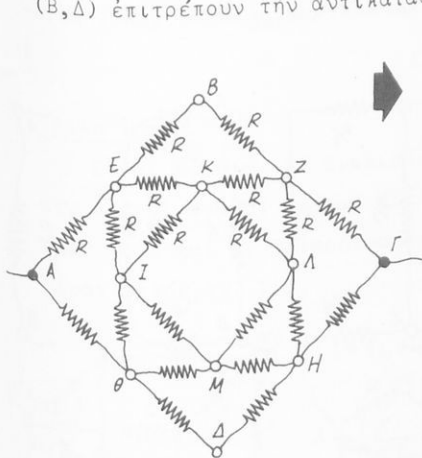
Σχ. 111

Τά σημεῖα Γ καί Δ ὡς ἰσοδυναμικά, ταυτίζονται ὁπότε τελικῶς προκύπτει:

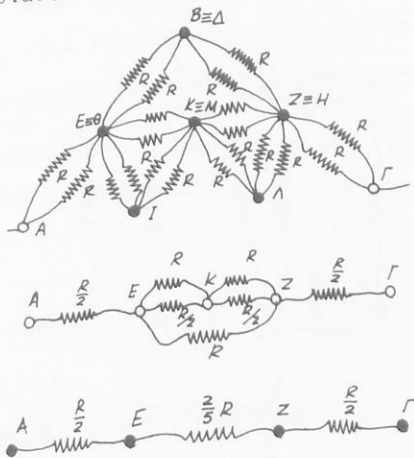
$$R_0 = \frac{10}{17} \cdot R$$

★ Εἰς τό δίκτυον τοῦ σχήματος 112 ἐκάστον εὐθύγραμμον τμήμα ἔχει ἀντίστασιν $R = 2\Omega$. Νά εὑρεθῇ ἡ ἰσοδύναμος ἀντίσταση R_0 , μεταξύ τῶν A καί Γ .

Τά ζεύγη τῶν ἰσοδυναμικῶν σημείων (θ, Ε), (Μ,Κ),(Ζ,Η) , (Β,Δ) ἐπιτρέπουν τὴν ἀντικατάστασιν τοῦ δοθέντος κυκλώματος



σχ. 112



σχ. 113

μέ τά ἐν τοῖς σχ.113 α,β,γ διαδοχικῶς. Τοῦτο δέ διότι τό δοθέν εἶναι συμμετρικόν ὡς πρὸς ἄξονα ΑΓ.

Τελικῶς:

$$R_0 = \frac{7}{5} R = 2,8 \Omega$$

★ 12 ἴσα σύρματα ἀντιστάσεως R συνδέονται ὡς αἰῶμαί κύβου, σχῆμα 114.

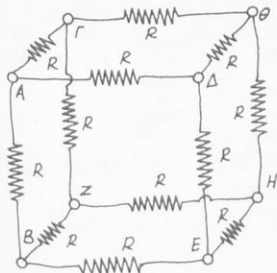
Νά εὑρεθῇ ἡ ἀντίστασις:

α) μεταξύ Α καί Β (Ἀκαδημαϊκόν 1969)

β) μεταξύ τῶν Α καί Θ

γ) μεταξύ τῶν Α καί Η

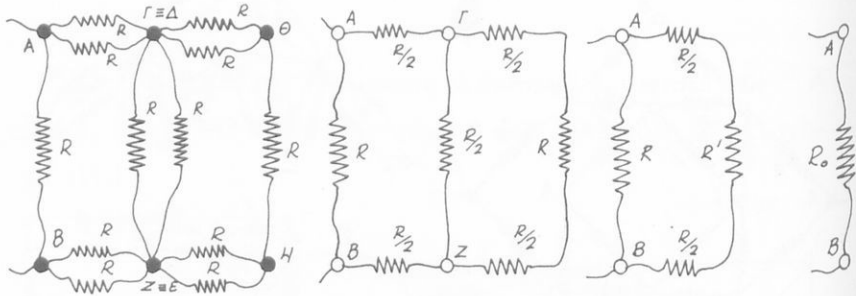
α) μεταξύ τῶν Α καί Β. Τό κύκλωμα γίνεται τότε συμμετρικόν ὡς πρὸς τό ἐπίπεδον ΑΒΗΘ. Τά σημεία Γ καί Δ καθῶς



σχ. 114

καί τά Z καί E, είναι ίσοδυναμικά.

Έκ τῆς παρατηρήσεως αὐτῆς προκύπτουν οἱ διαδοχικοί μετασχηματισμοί τοῦ σχήματος 115.



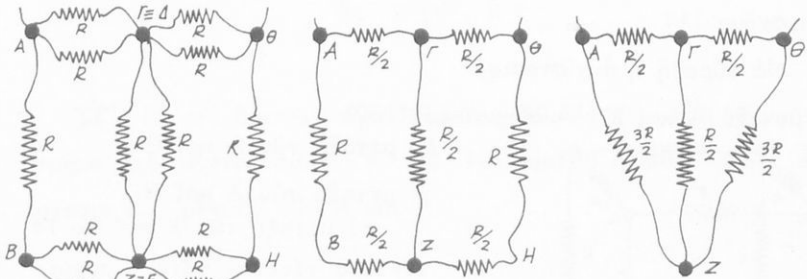
Σχ. 115

μέ $R' = \frac{2R}{5}$ καί $R_0 = \frac{7}{12} \cdot R$

β) μεταξύ τῶν A καί Θ. Τά σημεῖα Γ, Δ καί Z, E είναι πάλιν ίσοδυναμικά. Ἐξ αὐτοῦ ἔπονται οἱ μετασχηματισμοί τοῦ σχ.116. Ἐπειδή

$$\frac{R_{A\Gamma}}{R_{AZ}} = \frac{R_{\Theta\Gamma}}{R_{\Theta Z}}$$

τά σημεῖα Γ καί Z είναι ίσοδυναμικά (βλ. κύκλωμα Γεφύρας



Σχ. 116

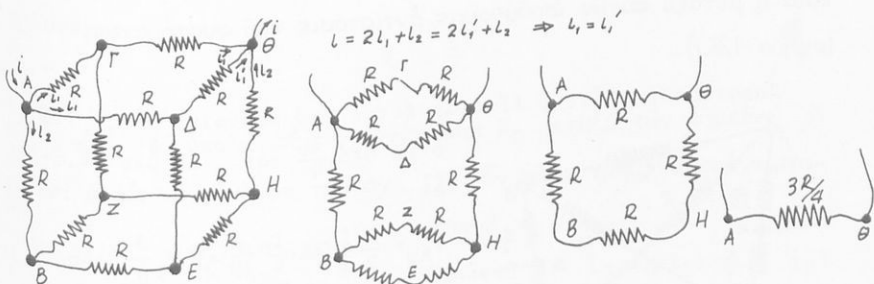
Wheatstone) ὅποτε τό δοθέν δίδει ,σχ. 117, $R_0 = \frac{3}{4} R$.



Σχ. 117

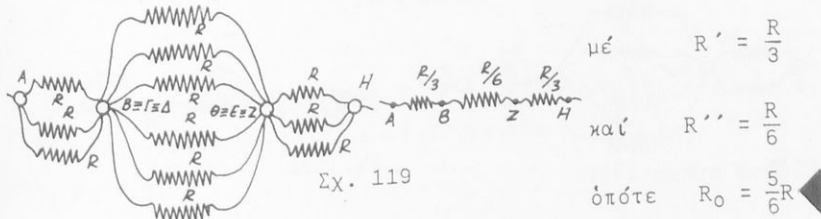
"Άλλη λύσις.

Είναι εύκολον νά διαπιστωθῇ ἀμέσως, λόγω τῆς συμμετρίας, ὅτι οἱ ἀγωγοί ΓΖ καὶ ΔΕ δέν διαρρέονται ὑπὸ ρεύματος δηλ. Γ, Ζ καὶ Δ, Ε ἰσοδυναμικά ὅποτε ὁ μετασχηματισμὸς του εἶναι ἀπλὸς, σχ. 118.



Σχ. 118

γ) Μεταξύ τῶν Α καὶ Η. Παρατηροῦμεν ὅτι λόγω τῆς ἰσοτιμίας τῶν δρόμων ποὺ συνδέουν τὰ Α καὶ Η, ὑπάρχουν δύο τριάδες ἰσοδυναμικῶν σημείων: αἱ Β, Γ, Δ καὶ Ε, Ζ, Θ. Συνεπῶς τὸ δοθὲν μετασχηματίζεται εἰς τὸ κύκλωμα τοῦ σχήματος 119.



Σχ. 119

$$\mu\acute{\epsilon} \quad R' = \frac{R}{3}$$

$$\text{καί} \quad R'' = \frac{R}{6}$$

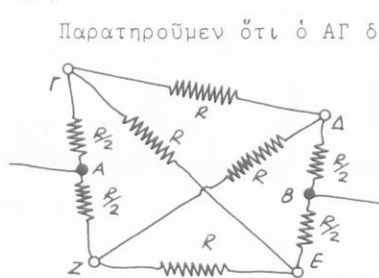
$$\acute{\omicron}\text{ποτε} \quad R_0 = \frac{5}{6}R$$

9.2. μέθοδος τῶν τάσεων

"Ἐστω ὅτι ζητεῖται ἡ ἀντίστασις R_0 μεταξύ δύο σημείων Α

καί Β. "Εστω ακόμη ότι είναι γνωστά τά ρεύματα που διαρρέουν τους διαφόρους κλάδους επί ενός δρόμου συνδέοντος τά Α καί Β, ή ότι τά ρεύματα αυτά εύρίσκονται εις γνωστήν σχέσιν προς τό εισερχόμενον εις τό Α καί εξερχόμενον εις Β, όλικόν ρεύμα I_0 . Τότε δι' εφαρμογής της εξισώσεως τάσεως $V_{AB} = \sum_A^B IR$, προσδιορίζομεν τήν τάσιν V_{AB} . 'Ο 'Υπολογισμός θα δώση $V_{AB} = R_0 \cdot I_0$ μέ R_0 τήν ζητούμενην αντίστασιν.

★ 'Εξ ίσα σύρματα αντίστασεως R συνδέονται ως αί άκμαί τετραέδρου. 'Εάν Α καί Β τά μέσα δύο άπέναντι άκμων αυτού, ποία ή μεταξύ αυτών ίσοδύναμος αντίστασις του συστήματος; (σχήμα 120).



Σχ. 120

Παρατηρούμεν ότι ο ΑΓ διαρρέεται υπό ρεύματος $\frac{I_0}{2}$, ενώ ο ΓΔ υπό $\frac{I_0}{4}$ καί ο ΔΒ υπό $\frac{I_0}{2}$, άρα:

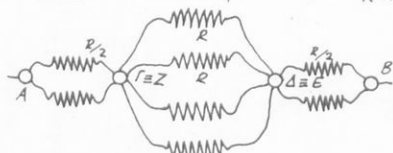
$$V_{AB} = \frac{R}{2} \cdot \frac{I_0}{2} + R \cdot \frac{I_0}{4} + \frac{R}{2} \cdot \frac{I_0}{2} = \frac{3}{4} \cdot R \cdot I_0$$

άπό όπου:

$$R_0 = \frac{3}{4} R$$

"Άλλη λύσις.

Τά ζεύγη των σημείων Γ, Ζ καί Δ, Ε είναι ίσοδυναμικά. Συνεπώς τό δοθέν γίνεται: σχήμα 121.



Σχ. 121

Είς τό σχήμα 121:

$$R' = \frac{R}{4}, \quad R'' = \frac{R}{4}$$

όποτε:

$$R_0 = \frac{3}{4} R$$

☆ Ός εφαρμογήν αναφέρομεν καί τό παράδειγμα του κύβου, σελίς 137 περίπτωσις γ.

Ο άγωγός ΑΓ διαρρέεται υπό ρεύματος έντάσεως $\frac{I_0}{3}$. Ο άγωγός ΓΖ διαρρέεται υπό ρεύματος έντάσεως $\frac{I_0}{6}$ καί ο ΖΗ υπό ρεύματος έντάσεως $\frac{I_0}{3}$:

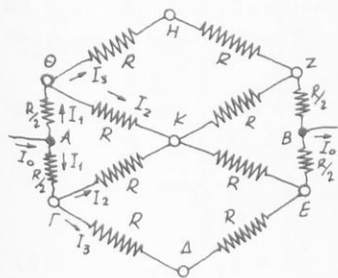
Άρα:

$$V_{AH} = R \cdot \frac{I_0}{3} + R \frac{I_0}{6} + R \frac{I_0}{3} = \frac{5}{6} \cdot R \cdot I_0$$

Συνεπώς:

$$R_0 = \frac{5}{6} R$$

☆ Νά υπολογισθῆ ἡ αντίστασις R_0 μεταξύ τῶν σημείων Α καί Β εἰς τό κύκλωμα τοῦ σχ. 122 ἄν κάθε τμήμα ἔχει αντίστασιν R .



Σχ. 122

$$\text{Έκ τοῦ Α: } I_0 = 2I_1 \quad (1)$$

$$\text{Έκ τοῦ Γ: } I_1 = I_2 + I_3 \quad (2)$$

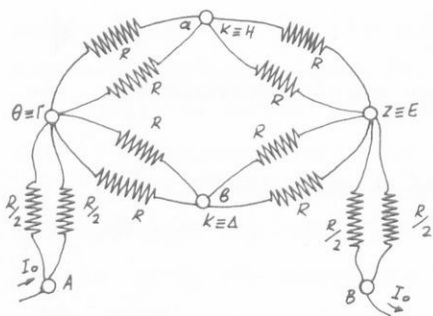
$$V_{AB} = \frac{R}{2} I_1 + RI_3 + RI_3 + \frac{R}{2} I_1 \quad (3)$$

$$V_{AB} = \frac{R}{2} I_1 + RI_2 + RI_2 + \frac{R}{2} I_1 \quad (4)$$

Έκ τῶν (3) καί (4) $\blacktriangleright I_2 = I_3$ καί λόγω τῆς (2) $I_1 = 2I_2$ ὁπότε ἐκ τῆς (1) $I_0 = 4I_3$. Έκ τῆς (3) $\blacktriangleright V_{AB} = RI_0$
 δηλ. $R_0 = R$.

Άλλη λύσις.

Λόγῃ τῆς συμμετρίας τῆς διατάξεως τό δοθέν κύκλωμα δύ-
 αται νά θεωρηθῆ ὡς ἓν ἐκ τῶν εἰκονιζομένων εἰς τό σχ. 123.

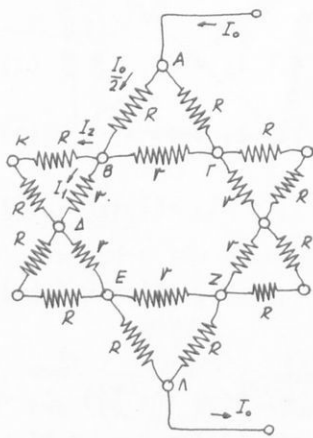


Σχ. 123

Έν τῷ σχήματι 123 τά σημεῖα α, β καί τά 1, 2, 3, 4 εἶναι ἰσοδυναμικά.

★ Εἰς τόν ἀστέρα τοῦ σχήματος 124 αἱ ἐξωτερικαί ἀντιστάσεις εἶναι ἴσαι πρὸς R καί αἱ ἐσωτερικαί r.

Ποία ἡ μεταξύ Α καί Λ ἀντίσταση R₀;



Σχ. 124

Λόγῳ συμμετρίας οἱ ΒΓ καί ΕΖ δέν διαρρέονται ὑπὸ ρεύματος.

Ἐκ τοῦ βρόχου ΒΚΔΒ:

$$2RI_2 = rI_1 \quad (1)$$

Ἐκ τοῦ κόμβου Β:

$$\frac{I_0}{2} = I_1 + I_2 \quad (2)$$

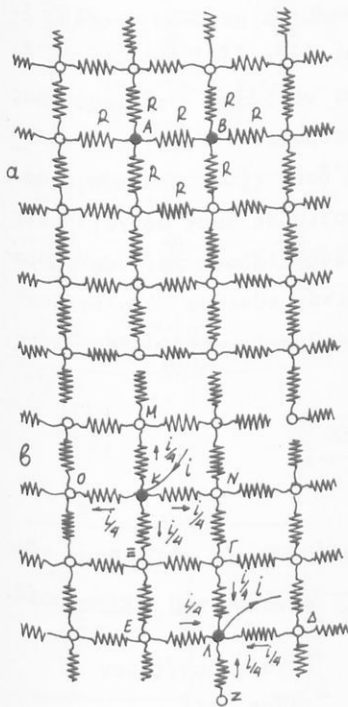
Ἐκ τῶν (1) καί (2)

$$I_1 = \frac{R}{2R+r} I_0 \quad (3)$$

$$V_{ΑΛ} = R \frac{I_0}{2} + rI_1 + rI_1 + R \frac{I_0}{2} \quad \eta$$

$$V_{ΑΛ} = R(1 + \frac{2r}{2R+r})I_0 \quad \alpha\alpha\alpha \quad R_0 = R(1 + \frac{2r}{2R+r})$$

★ Τό πλέγμα σχ. 125α αποτελείται από ίσας αντιστάσεις R και έχει άπειρον έκτασιν. Ζητείται ή αντίσταση μεταξύ τῶν δύο σημείων A και B .



Σχ. 125

καί έξόδου τοῦ ρεύματος εἶναι οἱ διαδοχικοί A καί B : σχ.125α, τότε ὁ ἀγωγός AB θά διαρρέεται ὑπό ρεύματος $i/2$ ($i/4$ διά τήν μετάβασιν καί $i/4$ διά τήν ἐπιστροφήν ἀπό τό ἄπειρον καί μέ τήν αὐτήν φοράν).

$$\text{"Άρα } V_{AB} = \frac{i}{2} \cdot R \quad \text{ἤτοι } R_{AB} = \frac{R}{2}$$

Τό δύσκολον αὐτό πρόβλημα ἐπιλύεται μέ τό ἀκόλουθον λογικόν τέχνασμα.

Ἐστω ὅτι εἰς τυχόν σημείον K εἰσέρχεται ρεῦμα i . Τό ρεῦμα τοῦτο λόγω συμμετρίας θά μοιρασθῇ εἰς τέσσερα ἴσα ρεύματα εἰς τοὺς ἀγωγούς KN , KM , KO , KE καί τά ὅποια ρεύματα τελικῶς θά ἐξέλθουν διά τῶν εἰς ἄπειρον ἄκρων τῶν ἀγωγῶν τοῦ πλέγματος.

Ἐστω τώρα ὅτι ρεῦμα i εἰσέρχεται εἰς τό δικτύωμα, διά τῶν εἰς ἄπειρον ἄκρων τῶν ἀντιστάσεων καί ἐξέρχεται διά τινος σημείου Λ . Λόγῃ συμμετρίας ἕκαστος τῶν ἀγωγῶν $\Lambda\Gamma$, $\Lambda\Delta$, ΛE , ΛZ διαρρέεται ὑπό ρεύματος $i/4$.

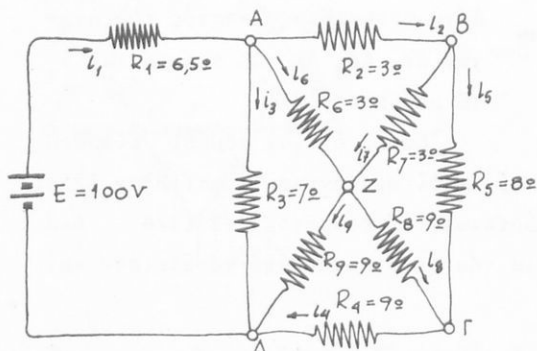
Ἐστω, ὅτι οἱ κόμβοι εἰσόδου

■ Επίλυσις κυκλώματος διά μετασχηματισμῶ.

Παρ' ὅτι ἡ μέθοδος τῶν ρευμάτων τοῦ Kirchhoff ἐπιλύει ὅλα τὰ προβλήματα τῶν κυκλωμάτων, δέν εἶναι πάντοτε καί ἡ συμφοροτέρα ὄλων, διότι ὁδηγεῖ εἰς συστήματα μεγάλου ἀριθμοῦ ἐξισώσεων τῶν ὁποίων ἡ ἐπίλυσις εἶναι ἐπίπονος. Γενικῶς ἐφ' ὅσον ἡ μέθοδος τῶν ρευμάτων πρόκειται νά δώσῃ περισσοτέρας τῶν τεσσάρων ἐξισώσεων, θεωρεῖται ἀσύμφωρος. Εἰς τὰς περιπτώσεις αὐτάς εἶναι προτιμότερος, ἐφ' ὅσον εἶναι δυνατός, οἷοσδήποτε μετασχηματισμῶς. Ὁ μετασχηματισμῶς ὁμως ὁδηγεῖ εἰς κύκλωμα διάφορον τοῦ δοθέντος μέ νέους κλάδους καί νέα ρεύματα. Τά ζητούμενα ρεύματα εἰς τό ἀρχικόν κύκλωμα ὑπολογίζονται διά τῆς μεθόδου τῶν τάσεων. Τό ρεῦμα I_j μεταξύ δύο κόμβων A καί B θά εἶναι:

$$I_j = \frac{V_{AB}}{R_j} = \frac{\sum_A^B I_0 R}{R_j}$$

★ Νά ἐπιλυθῆ τό κύκλωμα τοῦ σχήματος χωρίς τήν χρῆσιν τῶν κανόνων τοῦ Kirchhoff.



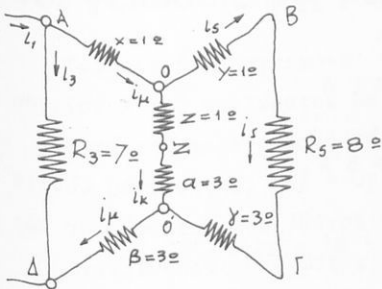
Σχ. 126

Μετασχηματίζομεν τό τμήμα ABΓΔ.

Ἐκ τοῦ μετασχηματισμοῦ τοῦ τριγώνου ABZ λαμβάνομεν:

$$x = \frac{R_2 R_6}{R_2 + R_6 + R_7} = 1 \Omega$$

$$y = \frac{R_2 R_7}{R_2 + R_6 + R_7} = 1 \Omega$$



$$z = \frac{R_6 R_7}{R_2 + R_6 + R_7} = 1 \Omega$$

Έκ του μετασχηματισμοῦ τοῦ τριγώνου ΓΔΖ λαμβάνομεν:

$$\alpha = \frac{R_8 R_9}{R_8 + R_9 + R_4} = 3 \Omega$$

$$\beta = \frac{R_4 R_9}{R_4 + R_8 + R_9} = 3 \Omega$$

$$\gamma = \frac{R_4 R_8}{R_4 + R_8 + R_9} = 3 \Omega$$

Διὰ τῶν διαδοχικῶν μετασχηματισμῶν λαμβάνομεν:

$$R' = \frac{(R_5 + \gamma + \gamma)(\alpha + z)}{\alpha + \gamma + \gamma + z + R_5} = 3 \Omega$$

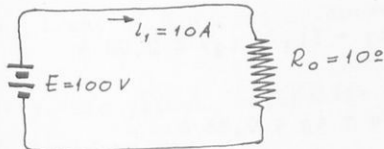
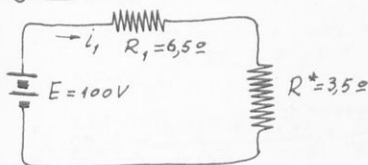
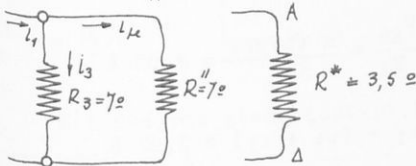
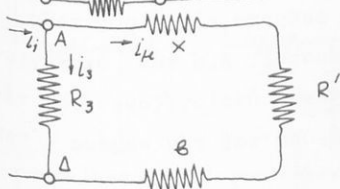
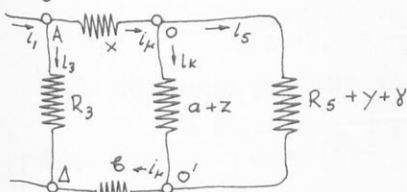
$$R'' = R' + x + \beta = 7 \Omega$$

$$R^* = \frac{R_3 \cdot R''}{R_3 + R''} = 3,5 \Omega$$

$$R_0 = R^* + R_1 = 10 \Omega$$

Ἀκολουθῶς, κινούμενοι ἀντιστρόφως, εὐρίσκομεν διαδοχικῶς:

$$i_1 = \frac{E}{R_0} = 10 \text{ A}$$



$$V_{A\Delta} = \iota_1 \cdot R^* = 35 \text{ V}$$

$$\iota_3 = \frac{V_{A\Delta}}{R_3} = 5 \text{ A}$$

$$\iota_\mu = \frac{V_{A\Delta}}{R''} = 5 \text{ A}$$

$$V_{00'} = \iota_\mu \cdot R' = 15 \text{ V}$$

$$\iota_\kappa = \frac{V_{00'}}{\alpha + z} = 3,75 \text{ A}$$

$$\iota_5 = \frac{V_{00'}}{R_5 + y + \gamma} = 1,25 \text{ A}$$

Τώρα ήδη έχουμε υπολογίσει τα ρεύματα εις όλους τους κλάδους του μετασχηματισμένου κυκλώματος. Διά τόν υπολογισμόν τῶν ρευμάτων εις τό ἀρχικόν κύκλωμα υπολογίζομεν τάς τάσεις καί ἐφαρμόζομεν τόν νόμον τοῦ Ohm καί τόν κανόνα τοῦ Kirchhoff: $\Sigma I = 0$.

$$\iota_2 = \frac{V_{AB}}{R_2} = \frac{x \cdot \iota_\mu + y \cdot \iota_5}{R_2} = 2,08 \text{ A}$$

$$\iota_6 = \iota_1 - (\iota_3 + \iota_2) = 2,92 \text{ A}$$

$$\iota_7 = \iota_2 - \iota_5 = 1,83 \text{ A}$$

$$\iota_9 = \frac{V_{Z\Delta}}{R_9} = \frac{\iota_\kappa \cdot \alpha + \iota_\mu \cdot \beta}{R_9} = 2,92 \text{ A}$$

$$\iota_4 = \iota_1 - (\iota_3 + \iota_9) = 2,08 \text{ A}$$

$$\iota_8 = \iota_4 - \iota_5 = 0,83 \text{ A}$$

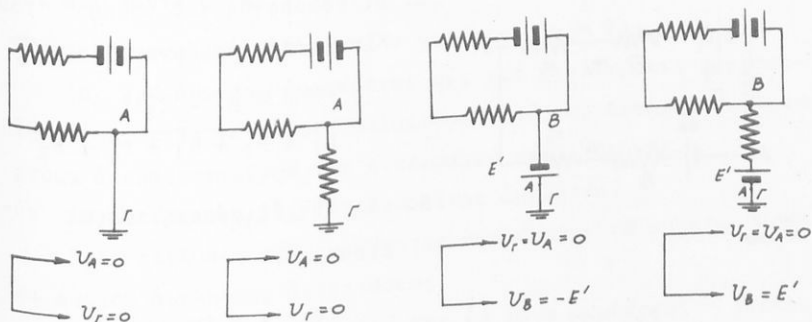
10. γειώσεις και πυκνωτάι

Γείωσις ἢ προσγειώσεις: καλεῖται ἡ, μέσῳ ἀγωγοῦ, σύνδεσις σημείου A τοῦ κυκλώματος μέ τήν γῆν.

Μετά τήν προσγείωσιν τό σημείον A θά ἀποκτήσῃ δυναμικόν κοινόν μέ τήν γῆν, ($U_A' = U_{\Gamma}$) καί ἐπομένως τά δυναμικά ὅλων τῶν σημείων τοῦ κυκλώματος θά μεταβληθοῦν κατά $U_A - U_A'$.

Διακρίνομεν: "γειώσεις ἀσφαλείας" καί
"γειώσεις λειτουργίας"

10.1. κύκλωμα μέ μίαν γείωσιν



Εἰς ἐκάστην εἰκονιζομένην περίπτωσιν γειωθέν σημείον εἶναι μόνον τό A.

● Εἰς τήν περίπτωσην μιᾶς γειώσεως αἱ κάτωθι προτάσεις εἶναι ἰσοδύναμοι:

α. Διά τοῦ ἀγωγοῦ προσγειώσεως δέν διέρχεται ρεῦμα.

β. Μέ τήν γείωσιν τοῦ κυκλώματος δέν μεταβάλλονται τά $R_{ολ}$, i καί αἱ διαφοραί δυναμικοῦ μεταξύ τῶν διαφόρων σημείων.

γ. Μία γείωσις μεταβάλλει μόνον τά δυναμικά τῶν σημείων τοῦ κυκλώματος.

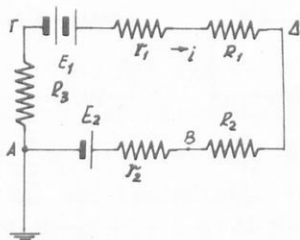
Ἀμελοῦντες τὴν γείωσιν ὑπολογίζομεν κατὰ τὰ γνωστά ρεύματα, τάσεις καὶ ἀντιστάσεις.

Ἡ γείωσις λαμβάνεται ὑπ' ὄψιν μόνον στὸν ὑπολογισμόν τῶν δυναμικῶν.

Ἐφαρμογή

★ Εἰς τὸ κύκλωμα τοῦ σχήματος 127 δίδονται:

$R_3 = 8 \Omega$, $R_1 = R_2 = 12 \Omega$, $E_1 = 100\text{V}$ καὶ $E_2 = 20\text{V}$ αἱ ἔσωτερικαὶ ἀντιστάσεις εἶναι 4Ω . Νά ὑπολογισθοῦν τὰ δυναμικά τῶν σημείων Α, Β, Γ καὶ Δ.



Σχ. 127

α. Δι' ἐφαρμογῆς τοῦ νόμου τοῦ Kirchhoff λαμβάνομεν :

$$i = \frac{E_1 - E_2}{R_1 + R_2 + R_3 + r_1 + r_2} = 2\text{A}$$

β. Ἐκ τῆς ἐξισώσεως τάσεως εὐρίσκομεν:

$$V_{AB} = -ir_2 - E_2$$

$$V_{A\Gamma} = iR_3 \quad V_{B\Delta} = -iR_2$$

γ. Σχέσεις δυναμικῶν:

$$V_{AB} = U_A - U_B \quad V_{A\Gamma} = U_A - U_\Gamma \quad V_{B\Delta} = U_B - U_\Delta$$

ἀλλὰ $U_A = 0$

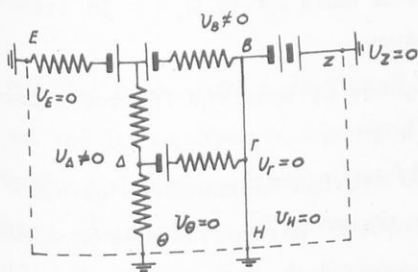
ὁπότε: $U_B = 28\text{V}$, $U_\Gamma = -16\text{V}$, $U_\Delta = 52\text{V}$

10.2. κύκλωμα με περισσότερες τῆς μιᾶς γειώσεις

● Αἱ κάτωθι προτάσεις εἶναι ἰσοδύναμοι:

1. Διὰ τῶν ρεϊθρῶν γειώσεως διέρχεται ἓν γένει ρεῦμα.

2. Ἡ ὅλική ἀντίστασις τοῦ κυκλώματος $R_{ολ}$, τὰ ρεύματα i_j , αἱ διαφοραὶ δυναμικοῦ $V_{1,2}$ καὶ τὰ δυναμικά U_j τῶν σημείων μεταβάλλονται.



Εἰς τὸ σχῆμα φαίνεται ὅτι μηδέν εἶναι τὰ δυναμικά (ἀπόλυτα) τῶν σημείων "Γῆ" ($\theta, Η, Ζ, E$)

Παρατήρησις.

Εἰς τὸ σχῆμα φαίνεται ὅτι μηδέν εἶναι τὰ δυναμικά (ἀπόλυτα) τῶν σημείων "Γῆ" ($\theta, Η, Ζ, E$)

καὶ ὄχι πάντοτε τῶν γειωθέντων σημείων.

● Ἐπίλυσις κυκλώματος μέν n γειώσεις ($n \geq 2$)

Ὡς καὶ ἀνωτέρω ἀναφέρεται εἰς τὰς περιπτώσεις περισσότερων τῆς μιᾶς γειώσεων, τὰ ρεῖθρα γειώσεως διαρρέονται ἀπὸ ρεῦμα ἀποκαθισταμένων τῶν κυκλωμάτων μέσφ τῆς γῆς.

Ἡ ἀντίστασις τῆς γῆς θεωρεῖται ἀμελητέα.

Πρὸς ἐπίλυσιν τοῦ κυκλώματος συνδέονται τὰ σημεῖα "Γῆ" δι' ἀγωγὸν ἀμελητέας ἀντιστάσεως.

Νά ληφθῇ ὑπ' ὄψιν ὅτι διὰ τῆς ἐν λόγω συνδέσεως πρέπει νά προκύψῃ ὁ μικρότερος ἀριθμὸς βρόχων.

Πρὸς τοῦτο: Συνδέονται ὅλα τὰ σημεῖα "Γῆ" δι' ἀγωγὸν, ἀμελητέας ἀντιστάσεως διερχομένου ἅπαξ ἐξ ἐκάστου σημείου "Γῆ".

Οὕτω εἰς τὸ σχῆμα ὁ ἀγωγὸς θά συνδέσῃ τὰ σημεῖα $Z, Η, \theta, E$ ὅπως δεικνύει ἡ διακεκομμένη γραμμὴ.

Ὁ ἀγωγὸς $ZH\theta E$ εἶναι "ἀνοικτός". Τοῦτο σημαίνει ὅτι δέν ἀποτελεῖ μόνος του κλειστὸν βρόχον.

★ Ἡλεκτρικὸν κύκλωμα ἀποτελεῖται ἀπὸ στήλην $P HE\Delta$ 24 V καὶ ἐσωτερικῆς ἀντιστάσεως ἀμελητέας τῆς ὁποίας ὁ εἰς πόλος

(ὁ ἀρνητικός) εἶναι προσγεωμένον, καί ἀπό δύο ἐν σειρά συν-
δεδεμένες ἀντιστάσεις $R = 20 \Omega$ καί $R' = 18 \Omega$, Τό ἕτερον
ἄκρον τῆς R' εἶναι προσγεωμένον.

α) Νά ὑπολογισθῇ τό δυναμικόν ὡς πρὸς τὴν Γῆν τοῦ σημεί-
ου Α, κεκμένου μεταξύ R καί R' .

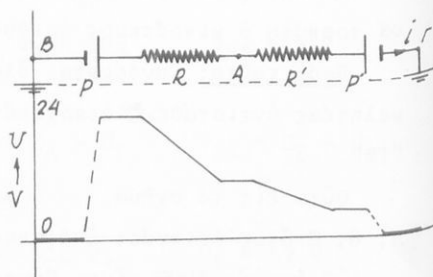
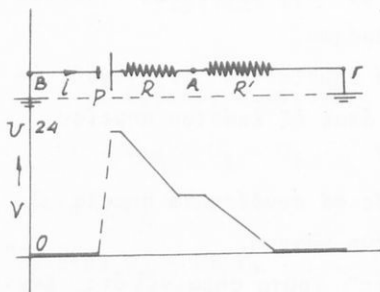
β) Πόση γίνεται ἡ τιμὴ τοῦ ἀνωτέρω δυναμικοῦ ἂν μεταξύ R'
καί γῆς παρεμβληθῇ δευτέρα στήλη P' ἠλεκτρεγερτικῆς δυνάμεως
5 volts καί ἐσωτερικῆς ἀντιστάσεως ἀμελητέας, τῆς ὁποίας ὁ
ἀρνητικός πόλος εἶναι προσγεωμένον καί ὁ θετικός συνδέεται
πρὸς τὴν R' .

Ε.Μ.Π. 1958

α) Τό κύκλωμα εἶναι κλειστόν. Τά Β καί Γ συνδέονται διὰ
τοῦ ἀγωγοῦ "Γῆ".

$$i = \frac{P}{R + R'} \quad V_{BA} = -P + iR \quad V_{BA} = U_B - U_A$$

καί $U_B = 0$ ἄρα τελικῶς $U_A = 11,36V$



Σχ. 128

$$\beta) P - P' = i(R + R'), \quad V_{BA} = -P + iR, \quad V_{BA} = U_B - U_A$$

$$U_B = 0$$

$$U_A = P - \frac{P - P'}{R + R'} \quad R = 14 \text{ V}$$

★ Νά υπολογισθῆ ἡ ἔσωτερικὴ ἀντίστασις τοῦ ἀμπερομέτρου A καὶ τοῦ βολτομέτρου V τῆς κάτωθι συνδεσμολογίας ὅπου ἡ ἔνδειξις τοῦ ἀμπερομέτρου εἶναι 1 A καὶ ἡ ἔνδειξις τοῦ βολτομέτρου εἶναι 160 V . Ἡ συστοιχία τῶν συσσωρευτῶν ἔχει τάσιν 171 V καὶ ἔσωτερικὴν ἀντίστασιν πρακτικῶς μηδέν. Σχ. 129.

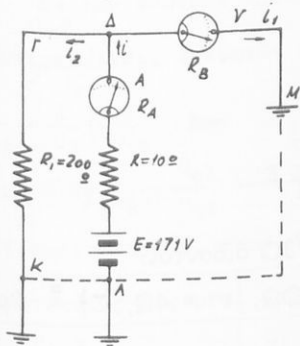
Ε.Μ.Π. 1951

Ὁ ἀγωγὸς "γῆ" κλείει τὸ κύκλωμα δι' ἀμελητέας ἀντιστάσεως μεταξύ τῶν K , Λ καὶ M . (διακεκομμένη γραμμὴ).

$$E = i(R + R_A) + i_2 \cdot R_1$$

$$E = i(R + R_A) + i_1 \cdot R_B$$

$$i = i_1 + i_2$$



Σχ. 129

$$i_1 = i - \frac{V_{\Delta\Lambda}}{R_1}$$

$$R_B = \frac{V_{\Delta\Lambda}}{i - \frac{V_{\Delta\Lambda}}{R_1}} = 800 \text{ } \Omega$$

● Kirchhoff

$$V_{\Delta\Lambda} = E - i(R + R_A)$$

$$V_{\Delta\Lambda} = R_1 i_2$$

$$V_{\Delta\Lambda} = R_B i_1$$

ἀλλὰ δίδονται:

$$V_{\Delta\Lambda} = 160 \text{ V}, \quad i = 1 \text{ A}, \quad R_1 = 200 \Omega$$

$$R = 10 \text{ } \Omega, \quad E = 171 \text{ V}$$

Τελικῶς προκύπτει: $R_A = 1 \text{ } \Omega$

10.3. κύκλωμα Σ.Ρ. με πυκνωτάς

● Ο πυκνωτής παρεμβάλλει διακοπήν εἰς τό συνεχές ρεύμα. Τό γεγονός τοῦτο ἐπιτρέπει τήν ἀντιμετώπισιν τοῦ συστήματος τῶν πυκνωτῶν τοῦ κυκλώματος ἀνεξάρτητα ἀπό αὐτό. Δηλαδή διά τόν ὑπολογισμόν τῶν στοιχείων τῶν πυκνωτῶν (C, Q, V):

α. Ἐπιλύομεν τό κύκλωμα χωρίς τούς πυκνωτάς. Ὑπολογίζομεν τά ρεύματα.

β. Ὑπολογίζομεν τάς τάσεις μεταξύ τῶν σημείων συνδέσεως πυκνωτῶν διά τῆς:

$$V_{1,2} = \sum_1^2 I - \sum_1^2 E$$

γ. Ἀντιμετωπίζομεν τούς πυκνωτάς ἀνεξαρτήτως κυκλώματος: Καταρτίζομεν πίνακα στοιχείων. Ἐκφράζομεν τήν τάσιν εἰς τά ἄκρα τοῦ συστήματος τῶν πυκνωτῶν διά τῆς:

$$V_{1,2} = \frac{Q_{ολ}}{C_{ολ}}$$

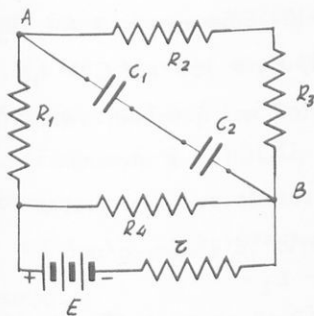
δ. Ἐξισώνομεν τάς τάσεις:

$$\frac{Q_{ολ}}{C_{ολ}} = \sum_1^2 IR - \sum_1^2 E$$

★ Εἰς τό κύκλωμα τοῦ σχήματος 130 δίδονται:

$R_1 = 12\Omega, R_2 = 6\Omega, R_3 = 2\Omega, R_4 = 20\Omega, r = 4\Omega, C_1 = 2\mu F,$
 $C_2 = 8\mu F$ καί $E = 56V$.

Νά ἐπιλυθῇ καί νά ὑπολογισθῇ τό φορτίον καί ἡ τάσις ἐκάστου πυκνωτοῦ.



Σχ. 130

'Αντιμετώπισης κυκλώματος χωρίς πυκνωτές:

$$I = I_1 + I_2$$

$$E = I r + I_2 R_4$$

$$I_1 (R_1 + R_2 + R_3) = I_2 R_4$$

● Kirchhoff

$$V_{AB} = I_1 (R_2 + R_3) \quad \bullet \text{ τάσις μεταξύ A καί B.}$$

'Εκ τῶν ἀνωτέρω προκύπτει $V_{AB} = 16V$

'Αντιμετώπισης πυκνωτῶν χωρίς κύκλωμα:

$$\frac{1}{C_{0\lambda}} = \frac{1}{C_1} + \frac{1}{C_2} \quad \blacktriangleright \quad C_{0\lambda} = 1,6 \mu F$$

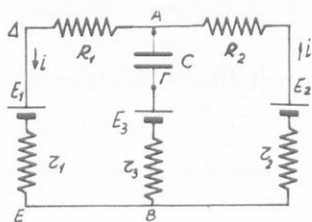
$$\text{καί} \quad V_{A'B'} = \frac{Q_{0\lambda}}{C_{0\lambda}}$$

'Εξίσωσις τάσεων, συμπλήρωσις πίνακος στοιχείων:

Χωρητικότης εἰς μF	Φορτίον εἰς μCb	Τάσις εἰς V
$C_1 = 2$	$Q_1 = 25,6$	$V_1 = 12,8$
$C_2 = 8$	$Q_2 = 25,6$	$V_2 = 3,2$
$C_{0\lambda} = 1,6$	$Q_{0\lambda} = 25,6$	$V_{0\lambda} = V_{AB} = V_{A'B'} = 16V$

★ Εἰς τὸ κύκλωμα τοῦ σχήματος 131 δίδονται $E_1 = 8\text{V}$, $E_2 = 12\text{V}$, $r_1 = r_2 = 1\Omega$, $R_1 = R_2 = 3\Omega$, $E_3 = 16\text{V}$ καὶ $C = 4\mu\text{F}$.

Νά εὐρεθῆ τὸ φορτίον τοῦ πυκνωτοῦ καὶ ἡ πολικὴ τάσις τῆς πηγῆς E_1 .



Σχ. 131

Ἀντιμετώπισις κυκλώματος ἄνευ πυκνωτοῦ:

$$E_2 - E_1 =$$

$$= i(R_1 + R_2 + r_1 + r_2) \quad \bullet \text{ Kirchhoff}$$

$$V_{\Delta\Gamma} = E_1 - E_3 + i(R_1 + r_1)$$

$$V_{\Delta E} = E_1 + ir_1 \quad \bullet \text{ τάσεως}$$

Ἀντιμετώπισις πυκνωτοῦ ἄνευ κυκλώματος:

$$Q = C \cdot V_{\Delta\Gamma}$$

Ἐκ τοῦ συστήματος προκύπτει:

$$V_{\Delta E} = 8,5 \text{ V}$$

$$Q = 24\mu\text{Cb} = 24 \cdot 10^{-6} \text{ Cb}$$

★ Δύο ἀγωγοὶ ἀντιστάσεων R καὶ R' συνδέονται διὰ τῶν ἄκρων των πρὸς τοὺς πόλους μιᾶς συστοιχίας συσσωρευτῶν, ὀλικῆς ΗΕΔ E καὶ ἐσωτερικῆς ἀντιστάσεως ἀμελητέας.

Ὁ εἰς τῶν ὀπλισμῶν πυκνωτοῦ χωρητικότητος C , συνδέεται δι'ἀγωγοῦ μέ τὸ μέσον τῆς ἀντιστάσεως R καὶ ὁ ἄλλος ὀπλισμὸς μέ σημειῶν, τὸ ὁποῖον διαφεῖ τὴν ἀντίστασιν R' εἰς δύο τμήματα τῶν ὁποίων ὁ λόγος εἶναι x .

Ζητοῦνται:

α) Νά ὑπολογισθοῦν αἱ ἐντάσεις i καὶ i' τῶν ρευμάτων, τὰ

ὅποια διατρέχουν τούς δύο ἀγωγούς.

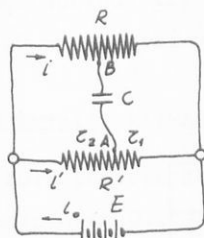
β) Νά μελετηθῆ πῶς μεταβάλλεται τό φορτίον τοῦ πυκνωτοῦ συναρτήσῃ τοῦ x .

Ἐφαρμογή: $R = 100\Omega$, $R' = 150\Omega$, $E = 40V$, $C = 1\mu F$,

$$x = 3/4$$

Νά ὑπολογισθοῦν αἱ ἐντάσεις i , i' καί τό φορτίον τοῦ πυκνωτοῦ.

E.M.Π. 1956



Σχ. 131α

$$\text{ἀλλά: } r_1 + r_2 = R'$$

$$\frac{r_1}{r_2} = x$$

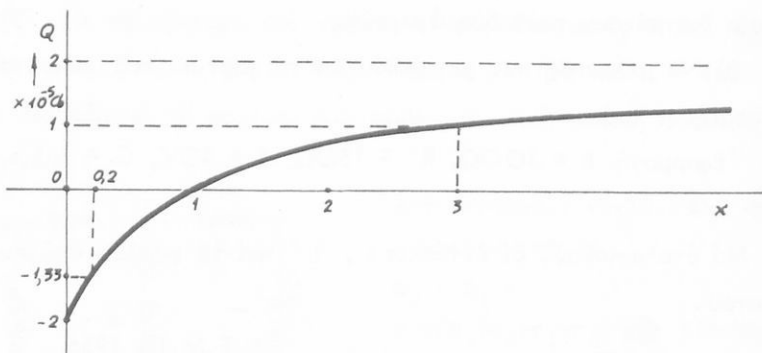
$$\blacktriangleright r_2 = \frac{R'}{x+1} \quad (3)$$

Ἀπό (3) καί (2) προκύπτει:

$$V_{AB} = i \frac{R}{2} - i' \cdot \frac{R'}{x+1} \quad (4)$$

$$\text{ἀλλά } Q = C \cdot V_{AB} = C \left(i \frac{R}{2} - i' \frac{R'}{x+1} \right)$$

$$\text{καί ἐκ τῶν } (1) \blacktriangleright Q = C E \left(\frac{1}{2} - \frac{1}{x+1} \right) \quad (5)$$



Σχ. 132

Έκ τῆς (5) συμπληροῦται ὁ πίναξ:

x	Q εἰς Cb
0	$-2 \cdot 10^{-5}$
0,2	$-1,33 \cdot 10^{-5}$
1	0
3	10^{-5}
∞	$2 \cdot 10^{-5}$

Έκ τοῦ διαγράμματος φαίνεται ὅτι ὅταν ὁ δρομεύς A διέρχεται διὰ τοῦ μέσου τῆς R' ἡ πολικότης τοῦ πυκνωτοῦ ἀντιστρέφεται καί ὅτι τό μέγιστον φορτίον του εἶναι:

$$Q = 2 \cdot 10^{-5} \text{ Cb}$$

Ἐφαρμογή: $i = 0,4 \text{ A}$ $i' = 0,206 \text{ A}$ $Q = -2,857 \cdot 10^{-6} \text{ Cb}$

11. ἠλεκτρικαὶ μετρήσεις

11.1. βολτόμετρον

- Τιθέμενον παράλληλα πρὸς τὸν ἄγωγόν παρέχει τὴν διαφορὰ

δυναμικοῦ εἰς τὰ σημεῖα συνδέσεως:

Χαρακτηριστικόν του εἶναι ἡ ἑσωτερικὴ του ἀντίστασις $R_{εσ}$ ἢ ὁποῖα δύναται νὰ εἶναι:

α) ἄπειρος.

β) πεπερασμένη.

Βολτόμετρον ἀπέιρου ἀντιστάσεως δέν διαρρέεται ὑπὸ ρεύματος καὶ συνεπῶς ἀμελεῖται ὡς στοιχεῖον τοῦ κυκλώματος.

Βολτόμετρον πεπερασμένης ἀντιστάσεως $R_{εσ}$ μετέχει ἐνεργῶς τοῦ κυκλώματος ὡς ὠμικὴ ἀντίστασις $R_{εσ}$.

ΕΠΕΚΤΑΣΙΣ ΚΛΙΜΑΚΟΣ ΒΟΛΤΟΜΕΤΡΟΥ Σ.Ρ.

Ἐστω βολτόμετρον ἑσωτερικῆς ἀντιστάσεως R_0 καὶ περιοχῆς μετρήσεως $0 \dots \rightarrow V_0$ Volts.

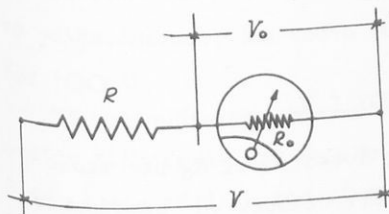
Διὰ τοῦ βολτομέτρου τούτου θέλο-

μεν νὰ μετρήσωμεν τάσιν $V > V_0$.

Πρὸς τοῦτο συνδέομεν ἐν σειράῳ πρὸς τὸ ὄργανον ἀντίστασιν R ἢ ὁποῖα πρέπει νὰ ἐξασφαλίσῃ:

α) ἀσφάλειαν τοῦ ὄργάνου.

β) εὐαισθησίαν μετρήσεως.



Τὸ μέγιστον ἐπιτρεπόμενον ρεῦμα διὰ τοῦ ὄργάνου εἶναι:

$$i_0 = \frac{V_0}{R_0} \quad (1)$$

ἀλλὰ τότε ἡ πρὸς μέτρησιν τάσις V θὰ εἶναι:

$$V = i_0(R + R_0) \quad (2)$$

Ἐκ τῶν (1) καὶ (2) προκύπτει:

$$\frac{V}{V_0} = 1 + \frac{R}{R_0} \quad \text{ἢ ἄν} \quad \frac{V}{V_0} = \eta$$

Τελικῶς $R = R_0(\eta - 1)$

Διὰ $\eta = 10, 100 \dots$ προκύπτει $R = 9 R_0, 99R_0 \dots$

11.2. ἀμπερόμετρον

● Τιθέμενον ἐν σειρᾷ εἰς κλάδον τοῦ κυκλώματος παρέχει τὴν ἔντασιν τοῦ διερχομένου ρεύματος.

Χαρακτηριστικόν του εἶναι ἡ ἐσωτερικὴ του ἀντίστασις ἡ ὁποία δύναται νὰ εἶναι:

α) μηδέν.

β) πεπερασμένη.

Ἄμπερόμετρον μὲ ἐσωτερικὴν ἀντίστασιν μηδέν ἀποτελεῖ ἰδανικὴν διάταξιν τῆς ὁποίας ἡ παρουσία εἰς τὸ κύκλωμα οὐδὲως ἐπιδρᾶ ἐπ' αὐτοῦ

Ἄμπερομετρον μὲ ἐσωτερικὴν ἀντίστασιν, μετέχει ἐνεργῶς τοῦ κυκλώματος δι' αὐτῆς.

ΕΠΕΚΤΑΣΙΣ ΚΛΙΜΑΚΟΣ ΑΜΠΕΡΟΜΕΤΡΟΥ Σ.Ρ.

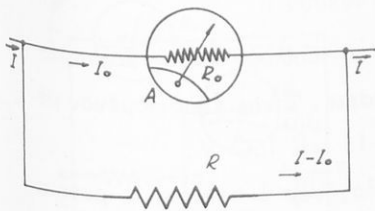
Ἐστω ἀμπερόμετρον ἐσωτερικῆς ἀντιστάσεως R_0 μὲ περιοχὴν μετρήσεως $0 \dots \rightarrow I_0$ A καὶ ὅτι θέλομεν νὰ μετρήσωμεν ρεῦμα $I > I_0$.

Πρὸς τοῦτο φέρομεν παραλλήλως πρὸς τὸ ὄργανον ἀντίστασιν R τὴν ὁποίαν ὑπολογίζομεν ὡς ἐξῆς:

I_0 εἶναι τὸ μέγιστον ρεῦμα τὸ ὁποῖον διέρχεται ἀσφαλῶς διὰ τοῦ ὄργανου. Συνεπῶς τὸ ἐπί πλέον $I - I_0$ θὰ διέλθῃ διὰ τῆς ἐν παραλλήλῳ ἀντιστάσεως.

Ἐκ τοῦ εἰκονιζομένου βρόχου προκύπτει:

$$(I - I_0)R = R_0 I_0 \quad \eta \quad \frac{I}{I_0} = 1 + \frac{R_0}{R} \quad (1)$$



"Αν $\frac{I}{I_0} = \eta$
τότε $R = \frac{R_0}{\eta - 1}$

Διά $\eta = 10, 100, \dots$

προκύπτει: $R = \frac{R_0}{9}, \frac{R_0}{99}, \dots$

11.3. γαλβανόμετρον

Όρος αναφερόμενος εις ὄργανον χρησιμοποιούμενον εις μετρήσεις ἀσθενῶν τάσεων καί ρευμάτων.

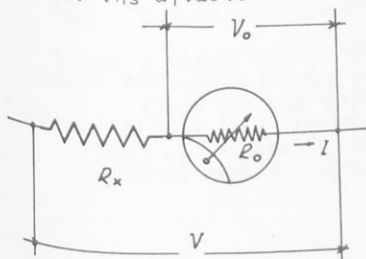
★ Γαλβανόμετρον παρουσιάζει ἀντίστασιν $R_{\epsilon\sigma} = 200\Omega$ καί δύναται νά μετρήσῃ ρεύμα μέχρι $0,2 \text{ mA}$.

Ζητεῖται πόση ἀντίστασις πρέπει νά συνδεθῇ ἐν σειρᾷ πρὸς τὸ γαλβανόμετρον, ἵνα τοῦτο δύναται νά μετρᾷ τάσεις ἀπὸ 0V ἕως 100 V . Ε.Μ.Π. 1957

Τὸ γαλβανόμετρον δέν καταστρέφεται ὅταν τὸ ρεύμα ἀπὸ τὸ ὁποῖον διαρρέεται δέν ὑπερβαίνει τὴν τιμὴν τῶν $0,2 \text{ mA}$. Τότε ἡ τάσις εἰς τὰ ἄκρα του εἶναι:

$$V_0 = I \cdot R_{\epsilon\sigma} = 2 \cdot 10^{-4} \cdot 200 = 4 \cdot 10^{-2} \text{ Volts}$$

Συνεπῶς διὰ νά μετρήσῃ με ἀσφάλειαν τάσιν $V = 100 \text{ Volts}$ πρέπει τὸ ὑπόλοιπον τῆς τάσεως $V - V_0 = 99,96 \text{ Volts}$, νά πέσῃ ἐπὶ τῆς ἀγνώστου ἀντιστάσεως R_x .



$$V - V_0 = I \cdot R_x$$

$$R_x = \frac{V - V_0}{I}$$

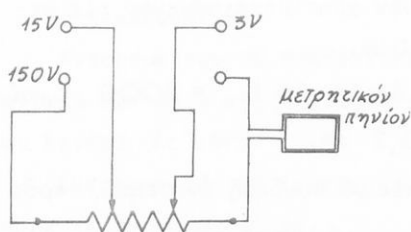
$$R_x = \frac{V - I R_{\epsilon\sigma}}{I} = \frac{V}{I} - R_{\epsilon\sigma}$$

$$\text{τελικῶς: } R_x = 499800 \Omega$$

★ Εἰς τό σχῆμα 133 δεικνύεται τό κύκλωμα ἑνός βολτομέτρου. Ἡ κλίμαξ ἔχει 150 ὑποδιαρέσεις. Εἶναι ἐφοδιασμένον μέ 4 ἀφροδέκτας διά μετρήσεις μέχρι 3-15 καί 150 V.

Ὄταν 1 mA διέρχεται διά τοῦ ὄργανου ὁ δείκτης μετακινεῖται κατά 50 ὑποδιαρέσεις. Ποία ἡ ἐσωτερική ἀντίστασις τοῦ βολτομέτρου στίς διάφορες κλίμακες.

Ἡ κλίμαξ τοῦ ὄργανου φέρει 150 ὑποδιαρέσεις.



Σχ. 133

Συνεπῶς τό μέγιστον διά τοῦ βολτομέτρου ρεῦμα εἶναι 3 mA. Εἰς τήν κλίμακα τῶν 3V ἀντιστοιχεῖ ἐσωτερική ἀντίστασις:

$$R_3 = \frac{3V}{3 \cdot 10^{-3} A} = 1000 \Omega$$

Εἰς τήν κλίμακα τῶν 15V ἀντιστοιχεῖ ἐσωτερική ἀντίστασις:

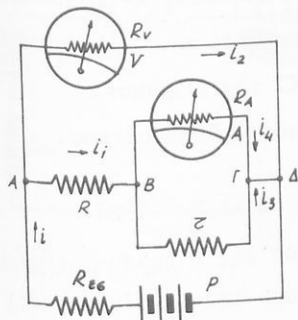
$$R_{15} = \frac{15 V}{3 \cdot 10^{-3} A} = 5000 \Omega$$

καί εἰς τήν κλίμακα τῶν 150 V ἀντιστοιχεῖ ἐσωτερική ἀντίστασις:

$$R_{150} = \frac{150V}{3 \cdot 10^{-3} A} = 50.000 \Omega$$

★ Θεωρήσωμεν τό εἰκονιζόμενον εἰς τό σχῆμα 134 κύκλωμα. Ἡ στήλη P ἔχει ἐσωτερικήν ἀντίστασιν 0,1 Ω. Ἡ ἀντίστασις r εἶναι 0,01 Ω. Τό ἀμπερόμετρον A ἔχει ἀντίστασιν

0,015 Ω και δεικνύει 10 A.



Σχ. 134

$$P = iR_{\epsilon\sigma} + i_1R + i_3r$$

$$R_A \cdot i_4 = i_3 \cdot r$$

$$i_4R_A + i_1R = i_2 \cdot R_V$$

$$V_{A\Delta} = P - iR_{\epsilon\sigma}$$

$$V_{A\Delta} = i_2 \cdot R_V$$

$$V_{A\Delta} = Ri_1 + i_4R_A$$

$$V_{A\Delta} = Ri_1 + i_3r$$

Από την επίλυση προκύπτει:

$$P = 5,15 \text{ V}$$

$$R = 0,1 \Omega$$

★ Έχομεν γαλβανόμετρον εσωτερικής αντίστασεως $R_{\epsilon\sigma}$, του οποίου η κλίμαξ φέρει 100 ἴσας ὑποδιαίρεσεις.

Όταν διά του ὄργανου τούτου διέρχεται ρεύμα, έντάσεως 100 μΑ, ἡ βελόνη εὐρίσκεται εἰς τὴν ὑποδιαίρεσιν 100.

Τὸ βολτόμετρον V ἔχει αντίστασιν 200 Ω καὶ δεικνύει 2,65 V. Νά ὑπολογισθῇ ἡ τιμὴ τῆς ἀντιστάσεως R , ὡς καὶ ἡ ἠλεκτρεγερτικὴ δύναμις E τῆς στήλης.

Ε.Μ.Π. 1960

● Kirchhoff

● τάσεως

Κατόπιν συνδέσεως ἐν παραλλήλῳ μιᾶς ἀντιστάσεως $R=1\Omega$, (Shunt) παρατηροῦμεν ὅτι ρεῦμα ἐντάσεως 1A προκαλεῖ τὴν μετακίνησιν τῆς βελόνης εἰς τὴν ὑποδιαίρεσιν 50 τῆς κλίμακος.

Ζητεῖται ἡ ἐσωτερικὴ ἀντίστασις τοῦ γαλβανομέτρου.

E.M.Π. 1953

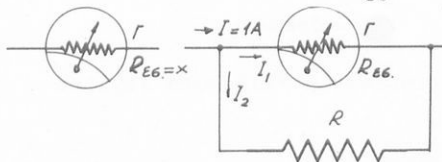
Ἐφ' ὅσον αἱ ὑποδιαίρεσεις εἶναι 100 καὶ ἡ βελόνη εὐρίσκειται εἰς τὴν ὑποδιαίρεσιν 100 μέ ρεῦμα 100 μA , ἔπεται ὅτι ἐκάστη ὑποδιαίρεσις ἀντιστοιχεῖ εἰς μεταβολὴν ρεύματος $1\mu\text{A}$.

Δι' ἐφαρμογῆς τοῦ νόμου τοῦ Kirchhoff εἰς τὸ κύκλωμα τοῦ σχήματος 135 λαμβάνομεν:

$$0 = I_1 R_{\epsilon\sigma} - I_2 \cdot R$$

ἐκ τῆς ὁποίας :

$$R_{\epsilon\sigma} = \frac{I_2}{I_1} \cdot R \quad (1)$$



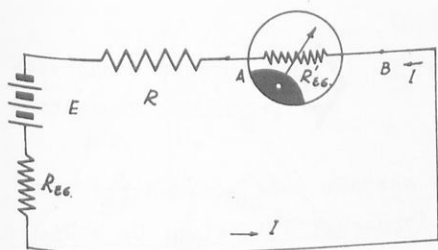
Ἀλλὰ $I_1 = 50 \mu\text{A}$ καὶ $I_2 = I - I_1 = 999950 \mu\text{A}$. Ὅθεν ἐκ τῆς (1) λαμβάνομεν:

Σχ. 135

$$R_{\epsilon\sigma} = 19.999 \Omega$$

★ Στήλη Η.Ε.Δ. $E = 2$ Volts καὶ ἐσωτερικῆς ἀντιστάσεως $R_{\epsilon\sigma} = 8 \Omega$ συνδέεται πρὸς κύκλωμα περιλαμβάνον ἀντίστασιν R καὶ βολτόμετρον ἀντιστάσεως $R_{\epsilon\sigma} = 300 \Omega$, συνδεσμολογημένα ἐν σειρᾷ. Νά ὑπολογισθῇ ποία πρέπει νά εἶναι ἡ R , ὥστε τὸ βολτόμετρον νά δείξῃ 1,5 Volts

E.M.Π. 1958



Σχ. 136

Ἐξισώσεις Kirchhoff

$$E = I(R + R_{Εσ} + R'_{Εσ}) \quad (1)$$

Ἐξισώσεις τάσεως μεταξύ A καὶ B.

$$V = I \cdot R'_{Εσ} \quad (2)$$

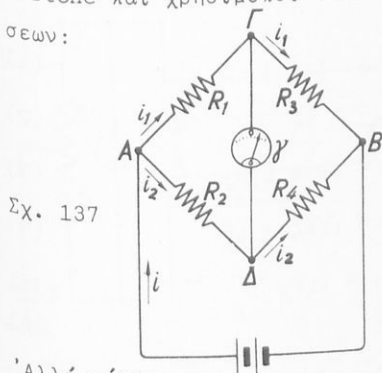
Διαιρῶ (1) καὶ (2)

$$\frac{E}{V} = \frac{R + R_{Εσ} + R'_{Εσ}}{R'_{Εσ}} \quad \text{δίδονται } E, V, R_{Εσ}, R'_{Εσ}$$

Τελικῶς $R = 92 \Omega$.

11.4. γέφυρα wheatstone

Ἡ εἰκονιζομένη διάταξις σχῆμα 137 καλεῖται γέφυρα Wheatstone καὶ χρησιμοποιεῖται κυρίως διὰ τὴν μέτρησιν ἀντιστάσεων:



Σχ. 137

Ἡ ἀντίστασις R_1 εἶναι ἡ πρὸς μέτρησιν ἄγνωστος ἐνῶ αἱ R_2, R_3, R_4 γνωσταί.

Λέγομεν ὅτι ἡ γέφυρα ἰσορροπεύ, ὅταν διὰ τοῦ ἀγωγοῦ ΓΔ δέν διέρχεται ρεῦμα ἤτοι ὅταν:

$$U_{\Gamma} = U_{\Delta} \quad (1)$$

Ἀλλὰ τότε:

$$U_A - U_{\Gamma} = i_1 \cdot R_1 \quad (2)$$

$$\blacktriangleright i_1 \cdot R_1 = i_2 \cdot R_2$$

$$U_A - U_{\Delta} = i_2 \cdot R_2 \quad (3)$$

$$U_{\Gamma} - U_B = i_1 \cdot R_3 \quad (4)$$

$$\blacktriangleright i_1 \cdot R_3 = i_2 \cdot R_4$$

$$U_{\Delta} - U_B = i_2 \cdot R_4 \quad (5)$$

ήτοι:

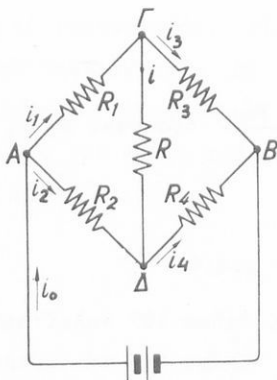
$$\frac{R_1}{R_2} = \frac{R_3}{R_4}$$



Συνθήκη ισορροπίας
γεφύρας Wheatstone

■ Αντιστρόφως:

Εάν μεταξύ τῶν τεσσάρων πλευρῶν ἑνὸς κυκλώματος γεφύρας ἰσχύει $\frac{R_1}{R_2} = \frac{R_3}{R_4}$ ἢ γέφυρα ἰσορροπεῖ δηλ. εἶναι $U_{\Gamma} = U_{\Delta}$.



Σχ. 138

Ἐκ τοῦ κόμβου Γ \blacktriangleright $i_1 = i + i_3$ (1)

Ἐκ τοῦ κόμβου Δ \blacktriangleright $i + i_2 = i_4$ (2)

Ἐκ τοῦ βρόχου ΑΓΔΑ \blacktriangleright $i_2 R_2 = i R + i_1 R_1$ (3)

Ἐκ τοῦ βρόχου ΓΒΔΓ \blacktriangleright $i_3 R_3 = i_4 R_4 + i R$ (4)

ἀκόμη $V_{\Gamma\Delta} = i_3 R_3 - i_4 R_4$ (5)

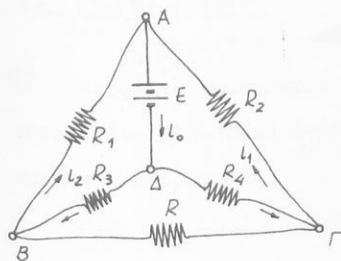
καί δίδεται ὅτι: $R_1 R_4 = R_2 R_3$ (6)

Ἐκ τοῦ ἀνωτέρω συστήματος προκύπτει $V_{\Gamma\Delta} = 0 \blacktriangleright U_{\Gamma} = U_{\Delta}$

★ Εἰς τό κύκλωμα τοῦ σχήματος 139 δίδονται:

$$R_1 = 30\Omega, R_2 = 12.000\Omega, R = 18.000\Omega, R_3 = 60\Omega, R_4 = 24.000\Omega, E = 90\text{ V}.$$

Νά εὑρεθῇ τό ρεῦμα πού διαρρέει τήν R καί τό ρεῦμα πού διαρρέει τόν ΑΔ.



Σχ. 139

Τό δοθέν κύκλωμα είναι μία γέφυρα Wheatstone και έφ'όσον:

$$\frac{R_2}{R_1} = \frac{R_4}{R_3}$$

εύρίσκεται έν ίσορροπία.

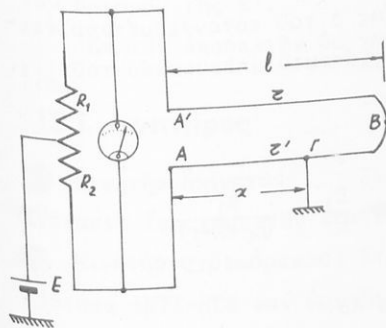
"Ητοι τά Β και Γ είναι ίσοδυναμικά σημεία: $U_B = U_\Gamma$ και ή R δέν διαρρέεται υπό ρεύματος.

'Από τόν βρόχον ΑΓΔΑ $\blacktriangleright i_1 = \frac{E}{R_2 + R_4} = \frac{90V}{36000\Omega} = 0,0025A$

" " " ΑΔΒΑ $\blacktriangleright i_2 = \frac{E}{R_1 + R_3} = \frac{90V}{90\Omega} = 1A$

'Από τόν κόμβον Δ $\blacktriangleright i_0 = i_1 + i_2 = 1,0025A$

11.5. βρόχος του Murray



Σχ. 140

Διά του βρόχου Murray προσδιορίζεται ή θέσις Γ, φθοράς ή γειώσεως καλωδίου. 'Ο βρόχος δημιουργείται ως έξής: σχήμα 140
Διά βοηθητικού άγωγού Α'Β συνδεδεόμεν τό σημείον Β του υπό έλεγχον άγωγού ΑΒ. (Τό Γ νά κεΐται μεταξύ τών Α και Β).

Είς τά σημεία Α και Α'πραγματοποιοϋμεν τήν συνδεσμολογίαν του σχήματος ώστε ή όλη διάταξις νά είναι μία γέφυρα Wheatstone.

"Αν r, r' είναι αί ανά μονάδα μήκους αντίστασεις των άγωγών Α'Β και ΑΒ αντίστοίχως, τότε αί 4 αντίστασεις τής γέφυρας είναι: $R_1, R_2, r_1 + (1-x)r', r'_x$ και κατά τήν ίσορροπίαν της ισχύει:

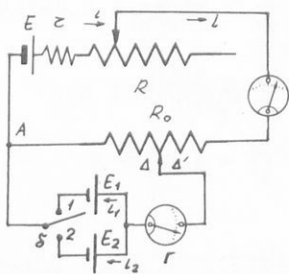
$$\frac{R_1}{R_2} = \frac{r_1 + (1-x)r'}{r'_x} \quad \blacktriangleright \quad x = 1 \frac{1 + \frac{r}{r_1}}{1 + \frac{R_1}{R_2}}$$

"Αν $r = r'$:

$$x = \frac{21}{1 + R_1/R_2}$$

11.6. μέθοδος αντίσταθμίσεως

Τό σχήμα 141 παριστά αντίσταθμιστικήν διάταξιν διά τήν μέτρησιν ΗΕΔ πηγῆς.



Σχ. 141

Πραγματοποιούμεν τήν συνδεσμολογίαν τοῦ σχήματος.

Ἡ E_2 εἶναι ἡ ἄγνωστος ΗΕΔ, ἡ E_1 εἶναι πρότυπος ΗΕΔ ἐνῶ ἡ E εἶναι ἄγνωστος ἀλλά σταθερά. Φέρομεν τόν διακόπτην δ εἰς 1 καί διά μετακινήσεως τοῦ δρομέως Δ τοῦ ποτενσιομέτρου ἐπιτυγχάνομεν μηδενισμόν τοῦ i_1 .

Εἰς τήν περίπτωσιν αὐτήν ἰσχύουν:

$$E_1 = R_1 \cdot i$$

$$E = (R_0 + R + r) i \quad \blacktriangleright \quad \frac{E_1}{E} = \frac{R_1}{(R_0 + R + r)} \quad (1)$$

ὅπου R_1 ἡ ἀντίστασις τοῦ τμήματος $A\Delta$.

Φέρομεν τόν δ εἰς θέσιν 2. Ἐστω Δ' ἡ νέα θέσις τοῦ δρομέως τοῦ ποτενσιομέτρου εἰς τήν κατάστασιν ἀντίσταθμίσεως. Θέτω R_2 τήν ἀντίστασιν τοῦ $A\Delta'$.

Ἰσχύουν τότε: $E_2 = R_2 \cdot i$

$$E = (R_0 + R + r) i \quad \blacktriangleright \quad \frac{E_2}{E} = \frac{R_2}{(R_0 + R + r)} \quad (2)$$

Διά διαιρέσεως τῶν (1) καί (2) προκύπτει:

$$\frac{E_1}{E_2} = \frac{R_1}{R_2} \quad \blacktriangleright \quad E_2 = E_1 \cdot \frac{R_2}{R_1}$$

12. αντί-ΗΕΔ

● 'Αποδέκται καλοῦνται ἠλεκτρικαὶ διατάξεις εἰς τὰς ὁποίας ἡ παρεχομένη ἠλεκτρικὴ ἐνέργεια μετατρέπεται καὶ εἰς ἄλλην μορφήν πλήν θερμότητος.

"Ἐστω V ἡ τάσις ὑπὸ τὴν ὁποίαν τροφοδοτεῖται ὁ ἀποδέκτης, r' ἡ ἐσωτερικὴ του ἀντίστασις, E' ἡ ANTI-HEΔ αὐτοῦ.

'Ἡ ANTI-HEΔ ἀποδέκτου ὀρίζεται ἀπὸ τὰς :

$$E' = V - ir' \quad (1) \quad W' = \text{'Ἐνέργεια ἄλλης πλήν θερμότητος μορφῆς.}$$

$$E' = \frac{W'}{Q} \quad (2) \quad Q = \text{Τὸ διερχόμενον φορτίον.}$$

$$E' = \frac{P'}{i} \quad P' = \frac{W'}{t} \quad (3) \quad P' = \text{'Ἰσχύς ἀποδέκτου}$$

$$t = \text{Χρόνος}$$

'Ἐκάστη τῶν (1), (2) καὶ (3) δύναται νά χρησιμοποιηθῆ διὰ τὸν ὀρισμὸν τῆς E' .

'Ἐκ τῶν ἀποδεκτῶν θά γνωρίσωμεν: κινητήρας καὶ βολτάμετρα.

12.1. κινητῆρες

● Κινητῆρ ἀκίνητος : Συμπεριφέρεται ὡς νεκρά (ὠμικὴ) ἀντίστασις ἴση πρὸς τὴν ἐσωτερικὴν του.

● Κινητῆρ στρεφόμενος : Στρεφόμενος κινητῆρ ἰσοδυναμεῖ πρὸς σύστημα ANTI-HEΔ καὶ ὠμικῆς ἀντιστάσεως ἴσης πρὸς τὴν ἐσωτερικὴν του.

'Ἡ ἀντί HEΔ κινητῆρος δέν παραμένει σταθερά ἀλλὰ μεταβάλλεται μετὰ τῆς γωνιακῆς ταχύτητος περιστροφῆς, γενικῶς αὐξανόμενη μετ' αὐτῆς, τείνουσα πρὸς τὴν HEΔ τῆς τροφοδοτοῦσης πηγῆς.

Σημειοῦμεν ἀκόμη ὅτι:

1. Ἡ ἀπόδοσις κινητῆρος ἀξάνει μετὰ τῆς γωνιακῆς ταχύτητος.
2. Αὐξανομένης τῆς γωνιακῆς ταχύτητος περιορίζονται αἱ ἀπώλειαι.
3. Διὰ ταχύτητα περιστροφῆς μεγαλύτερα μιᾶς ὀρικῆς ω_0 ἔχομεν αὐτόματον πέδησιν τοῦ κινητῆρος.

12.2. βολτάμετρα

● Βολτάμετρον μέ χημικῶς συμμετρικά ἤλεκτρόδια : (ΜΗ ΠΟΛΟΥΜΕΝΟΝ). Συμπεριφέρεται ὡς ὠμικὴ ἀντίστασις ἴση πρὸς τὴν ἐσωτερικὴν τοῦ $R_{εσ}$.

● Βολτάμετρον μέ χημικῶς ἀσύμμετρα ἤλεκτρόδια (ΠΟΛΟΥΜΕΝΟΝ) Συμπεριφέρεται ὡς σύστημα ANTI-HEΔ καὶ ἀντιστάσεως ἴσης πρὸς τὴν ἐσωτερικὴν τοῦ $R_{εσ}$.

Βολτάμετρον ὑπὸ τάσιν μικροτέραν τῆς E' ὁρᾷ ὡς διακόπτης.

12.3. προβλήματα βολταμέτρων

Προβλήματα ἀναφερόμενα εἰς τὰ βολτάμετρα λόγῳ τῆς φύσεώς των ἀντιμετωπίζονται καὶ ἐπιλύονται εἰς τρεῖς φάσεις:

1η ΦΑΣΙΣ: ΗΛΕΚΤΡΙΚΗ

Ἀναλόγως τῆς φύσεώς του (ΠΟΛΟΥΜΕΝΟΝ ἢ ΜΗ) τὸ βολτάμετρον μετέχει ἐνεργῶς ἤλεκτρικοῦ κυκλώματος (διὰ τῆς E' καὶ $R_{εσ}$ ἢ μόνον τῆς $R_{εσ}$). Τὸ κύκλωμα τοῦτο ἐπιλύεται διὰ μίας τῶν ἤδη γνωστῶν μεθόδων.

2α ΦΑΣΙΣ: ΧΗΜΙΚΗ

Γράφονται αἱ λαμβάνουσαι χώραν ἐντὸς τοῦ βολταμέτρου χημικαὶ ἀντιδράσεις καὶ γίνεται χημικὸς συσχετισμὸς τῶν ἀνα-

φερομένων σωμάτων προς τὰ ἰόντα των.

3η ΦΑΣΙΣ: ΗΛΕΚΤΡΟΧΗΜΙΚΗ

Διὰ τῆς $m = \frac{1}{F} \cdot \frac{A}{\eta} \cdot i \cdot t$ (1) ἢ ἄλλης ἰσοδυναμοῦ συνδεοῦνται τὰ χημικά καί ἠλεκτρικά δεδομένα.

Παρατήρησις

* Ἡ (1) ἰσχύει μόνον διὰ ΙΟΝΤΑ καί ἐκφράζει τόν νόμον τοῦ Faraday. Εἰς αὐτόν: A = ἀτομικόν βάρος, η = σθένος, F = σταθ. τοῦ Faraday.

★ Συσσωρευτής 3 V συνδέεται ἐν σειρᾷ μέ βολτάμετρον A περιέχον διάλυμα θειϊκοῦ χαλκοῦ καί μέ ἕτερον βολτάμετρον B περιέχον ὀξυνισμένον ὕδωρ. Ἡ ἠλεκτρεγερτική δύναμις πολώσεως τῆς συσκευῆς B εἶναι 1,5 V, τῆς δέ A εἶναι μῆδέν. Ὑπό πῆν προϋπόθεσιν ὅτι ἐντός χρόνου 4 ὥρῶν ἡ μᾶζα τῆς ἐκχαλκοῦ καθόδου τῆς συσκευῆς A ηὔξηθη κατά 20 gr, ζητοῦνται:

α. Ἡ ἔντασις i τοῦ ρεύματος.

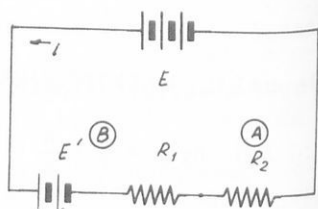
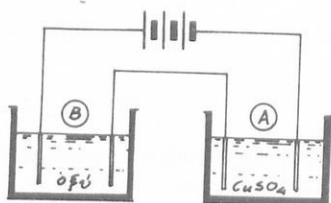
β. Ἡ μᾶζα m τοῦ ἠλεκτρολυομένου ὕδατος ἐντός τοῦ βολταμέτρου B.

γ. Ἡ ὀλική ἀντίστασις R τοῦ κυκλώματος.

Ὑπενθυμίζονται ἡ σταθερά τοῦ Faraday 96500 gr./γραμμα ἰσοδύναμον καί τὰ ἀτομικά βάρη χαλκοῦ = 64, ὑδρογόνου = 1 καί ὀξυγόνου = 16.

Ἄνωτάτη Γεωπονική Ἀθηνῶν 1959

E.M.Π. 1961



Σχ. 142

1. 'Ηλεκτρική άποψις: $E - E' = i(R_1 + R_2)$ (1)



3. 'Ηλεκτροχημική άποψις:

διά τόν χαλκόν: $m_1 = \frac{A_1}{F} \cdot \frac{it}{\eta_1}$ (3)

διά τό ύδρογόνον: $m_2 = \frac{A_2}{F} \cdot \frac{it}{\eta_2}$ (4)

Έκ τῆς (3) $\blacktriangleright i = 4,18 \text{ A}$ \blacktriangleleft

'Από τὰς (3) καί (4)

$\blacktriangleright \frac{m_1}{m_2} = \frac{A_1}{A_2} \cdot \frac{\eta_2}{\eta_1} \quad m_2 = m_1 \cdot \frac{A_2}{A_1} \cdot \frac{\eta_1}{\eta_2} = 0,625 \text{ gr H}_2$

Έκ τῆς (2) $\frac{2 \cdot 18}{x} = \frac{2 \cdot 2}{0,625} \quad \blacktriangleright x = 5,625 \text{ gr H}_2\text{O}$ \blacktriangleleft

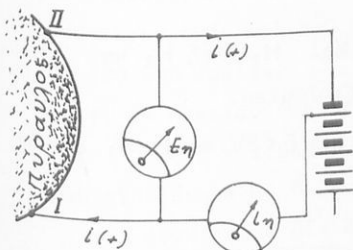
'Έκ τῆς (1) $\blacktriangleright R_1 + R_2 = 0,358 \ \Omega$ \blacktriangleleft

★ Κατά τόν καθιερωμένον πολύωρον ἔλεγχον πρό τῆς ἐκτοξεύσεως ἑνός πυραύλου ἐφηρμόσθησαν, ἐπί δύο ἐξωτερικῶν ἀκροδεκτῶν I καί II αὐτοῦ, διαδοχικῶς διάφοροι τάσεις E_{η} καί ἐμετρήθησαν αἱ ἐκάστοτε ἐμφανιζόμεναι ἐντάσεις ρεύματος i_{η} ὡς ἀναγράφονται αὗται εἰς τόν πίνακα. 'Έκ τῆς ἐξετάσεως τῶν

μετρήσεων ἀριθ. 4 ἕως 8 τῆς περιοχῆς Α τοῦ πίνακος, δύναται νά ἐξαχθοῦν ὠρισμένα συμπεράσματα ὡς πρὸς τὸ εἶδος καὶ τὰς τιμὰς τῶν ἠλεκτρικῶν ὀργάνων, τῶν συνδεδεμένων ἐντὸς τοῦ πυραύλου, μετὰ τῶν ἀκροδεκτῶν I καὶ II, ὅποτε ἡ συνδεσμολογία αὕτη δύναται νά συμπληρωθῆ καὶ διὰ τοῦ πορίσματος τῆς ἐξετάσεως τῶν μετρήσεων ἀριθ. 1 ἕως 3 (περιοχὴ Β τοῦ πίνακος).

Ζητεῖται ἡ ἐσωτερικὴ ἠλεκτρικὴ συνδεσμολογία μεταξύ I καὶ II, ὁμοῦ μετὰ τῶν σχετικῶν τιμῶν καὶ σημείων.

Ε.Μ.Π. 1962



Σχ. 143

	Α			Β				
Αὔξ. ἀριθ.	1	2	3	4	5	6	7	8
En Volts	0	3	6	9	12	15	18	21
In Ampers	0	0	0	0	2	4	6	8

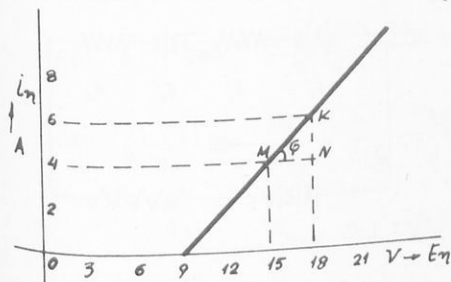
Ἐκ τοῦ διαγράμματος προκύπτει ὅτι:

$$\sigma\phi\varphi = \frac{(MN)}{(KN)} = \frac{3}{2} = 1,5$$

σχῆμα 144.

Ἀλλά εἰς τὸ διάγραμμα $i_{\eta} = f(E_{\eta})$ ἡ $\sigma\phi\varphi$ ἐκφράζει τὴν ὠμικὴν ἀντίστασιν, ἥτοι: Ἡ μεταξύ τῶν ἀκροδεκτῶν I καὶ II ἀντίστασις εἶναι $R_0=1,5\Omega$, ἥτις παραμένει σταθερά.

Ἀλλά ἐκ τῆς μετρήσεως 4 φαίνεται ὅτι διὰ $E_{\eta} = 9V$, $i_{\eta} = 0$. Τοῦτο σημαίνει ὅτι μεταξύ τῶν I καὶ II ἐμφανίζεται ἀντι-ΗΕΔ $E' = 9V$.



Σχ. 144

Ἐκ τῶν μετρήσεων 1 ἕως 4 συμπεραίνομεν ὅτι αὐξανομένης τῆς E_{η} αὐξάνει ἡ E' μέχρι τῆς τιμῆς τῶν 9V ὥστε νά εἶναι δι-
αρκῶς $E = E'$.

Τοῦτο σημαίνει ὅτι μεταξύ τῶν I καί II ὑπάρχει βολτάμε-
τρον μέ ἀντι - ΗΕΔ $E' = 9V$.

★ Δύο βολτάμετρα B_1 καί B_2 συνδέονται ἐν σειρά. Τό B_1
περιέχει H_2SO_4 καί τό B_2 $AgNO_3$. Τό σύστημα τροφοδοτεῖται
ὑπό πηγῆς ΗΕΔ $E = 20V$. Κατά τήν διάρκειαν Δt τοῦ πειράμα-
τος συλλέγονται ἐπί τῆς καθόδου τοῦ B_2 27 gr Ag μέ ρεῦμα
ἐντάσεως 1A, σχῆμα 145.

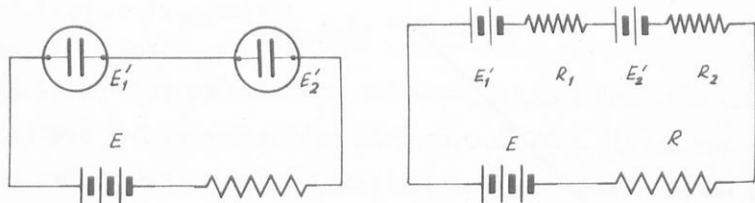
Δίδεται ὅτι κατά τήν σύνθεσιν 1 Mol H_2O ἐξ H_2 καί O_2
ἐκλύεται ἐνέργεια ἴση πρὸς 290.000 Joules.

Παρατηρεῖται ὅτι ὅταν ἡ E λάβῃ τιμῆ $E < 3V$ παύει τό φαινόμε-
νον τῆς ἠλεκτρολύσεως.

$$\text{Δίδονται: } F = 96.500 \frac{Cb}{\text{γραμμοῖσοδύναμον}}$$

σθένος ἀργύρου 1, A. βαρ. N = 14, O = 16, Ag = 108.

Νά εὑρεθοῦν: Αἱ ἀντιηλεκτρεγερτικαί δυνάμεις E'_1 καί E'_2
τῶν B_1 καί B_2 , τό ποσόν τοῦ διασπασθέντος H_2O καί $AgNO_3$
ἡ διάρκεια Δt πειράματος, ἡ ὀλική ἀντίσταση τοῦ κυκλώματος.

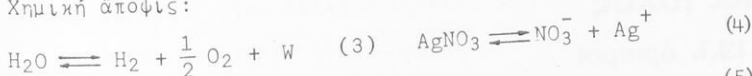


Σχ. 145

1. Ἠλεκτρικὴ ἀποφίσις:

$$E - E'_1 - E'_2 = iR_0 \quad (1) \quad R_0 = R_1 + R_2 + R \quad (2)$$

2. Χημική άποψις:



$$\mu\epsilon \quad W = E_1 \cdot Q \quad (5)$$

3. Φυσικοχημική άποψις:

$$m_{\text{Ag}} = \frac{1}{F} \cdot \frac{A_{\text{Ag}}}{n_{\text{Ag}}} \cdot i \cdot \Delta t \quad (6) \quad m_{\text{H}} = \frac{1}{F} \cdot \frac{A_{\text{H}}}{n_{\text{H}}} \cdot i \cdot \Delta t \quad (7)$$

Παρατηρήσεις:

α. Είς τό δοθέν παράδειγμα κατά τήν σύνθεσιν 1 mol H_2O έλευθεροϋται ένέργεια $W = 290.000$ Joules. Άρα κατά τήν άποσύνθεσιν ένός mol H_2O άπορροφάται ποσόν ένεργείας $W = 290.000$ Joules.

β. 'Η άναφερομένη ένέργεια W είναι χημική καί συνεπώς $W = E_1 \cdot Q$ μέ $Q = 2.96500$ Cb, άφοϋ τό 1 mol H_2O περιέχει δύο γραμμοϋσοδύναμα H_2 ή O_2 .

γ. Άφοϋ ρεύμα δέν διέρχεται μέ $E < 3V$ έπεται ότι:

$$E_1 + E_2 = 3V \quad (8)$$

'Από (5) $\blacktriangleright E_1 = \frac{W}{Q} = 1,5$ V \blacktriangleleft

'Από (8) $\blacktriangleright E_2 = 1,5$ V \blacktriangleleft

'Από (6) $\blacktriangleright \Delta t = 24.125$ sec \blacktriangleleft

'Από (4) $\blacktriangleright \frac{170 \text{ gr AgNO}_3}{m \text{ AgNO}_3} = \frac{108}{28} \quad m_{\text{AgNO}_3} = 42,5$ gr \blacktriangleleft

'Από (6).(7) $\blacktriangleright \frac{m_{\text{H}}}{m_{\text{Ag}}} = \frac{A_{\text{H}} \cdot n_{\text{Ag}}}{A_{\text{Ag}} \cdot n_{\text{H}}} \quad m_{\text{H}} = 0,25$ gr \blacktriangleleft

Άρα $m_{\text{H}_2\text{O}} = 2,25$ gr \blacktriangleleft

'Από (1) $R_0 = 17 \Omega$

13. ισχύς

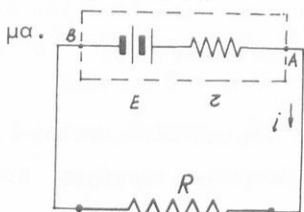
13.1. όρισμοί

Ίσχύς νεκρᾶς ἀντιστάσεως , ἀποδίδουσα τὴν θερμότητα Joule:



$$P_{\Theta} = V_{AB} \cdot i = i^2 \cdot R$$

Ίσχύς πηγῆς, παρεχούσης ἠλεκτρικὴν ἐνέργειαν εἰς κύκλωμα.



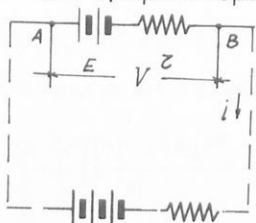
ὀλική : $P_o = E \cdot i$

ἀπωλειῶν*: $P_{\alpha} = (E - V_{AB})i = i^2 \cdot r$

Ἐνέργεια παρεχομένη ὑπὸ τῆς γεννητριᾶς = θερμότης ἐν τὸς τῆς r + παρεχομένη ἐνέργεια εἰς τὸ ἐξωτερικόν κύκλωμα.

$$\eta \quad Eit = i^2rt + V_{AB} it$$

Ἰσχύς τροφοδοτουμένης (φορτιζομένης) πηγῆς:



ῶφέλιμος: $P_{\omega} = Ei$

ὀλική : $P_o = V_{AB} \cdot i$

ἀπωλειῶν: $P_{\alpha} = i^2r$

*Οἱ ὅροι "καταναλισκομένη", "δαπανωμένη" διὰ τὴν ἰσχύν εἶναι ἀνεπιτυχεῖς ἀφοῦ τὸ μέγεθος "ἰσχύς εἶναι μὴ καταναλισκόμενον.

Ἡ ἀναφερομένη ὡς "καταναλισκομένη" ἰσχύς ἀποδίδει τὴν "καταναλισκομένην" ἐνέργειαν.

Παρεχομένη εις τήν πηγήν ὀλική ἐνέργεια = θερμότης ἐντός
 τῆς r + ὠφέλιμος ἐνέργεια.

$$\eta \quad V_{AB} \cdot it = i^2 r t + Eit$$

Ἴσχύς ἀποδέκτου : ἰσχύει ὅτι καί διὰ τήν φορτιζομένην
 πηγήν:

$$\text{ὠφέλιμος: } P_{\omega} = E \cdot i$$

$$\text{ὀλική : } P_0 = V_{AB} i$$

$$\text{ἀπωλειῶν: } P_{\alpha} = i^2 \cdot r$$

Μέ E' τήν ἀντι-ΗΕΔ
 τοῦ ἀποδέκτου

Βαθμός ἀποδόσεως α : καλεῖται ὁ λόγος τῆς ὠφελίμου ἐνεργείας W_{ω} πρὸς τήν καταναλισκομένην ἐνέργειαν W_{κ} ἥτοι:

$$\alpha = \frac{W_{\omega}}{W_{\kappa}}$$

★ Πηγή $E = 12V$ καί ἀμελητέας r , τροφοδοτεῖ μέσω δύο ἀγωγῶν, ἐκάστου ἀντιστάσεως $R = 0,5 \Omega$, ἤλεκτρομαγνήτην μέ περιέλιξιν ἀντιστάσεως $R' = 5\Omega$. Ζητοῦνται: α) ἡ ἔντασις τοῦ ρεύματος τοῦ κυκλώματος. β) ἡ ἰσχύς τῆς πηγῆς. γ) ἡ ὑπό του ἤλεκτρομαγνήτου καταναλισκομένη ἰσχύς καί ἡ διαφορά δυναμικοῦ εἰς τὰ ἄκρα τῆς περιελίξεώς του. δ) ἡ ἐνέργεια πού θά δώσῃ ἡ πηγή εἰς KWh ἐπὶ 3 ὥρας καί ε) τό ποσόν τοῦ ἤλεκτρομοῦ πού θά διέλθῃ διὰ τοῦ κυκλώματος.

Τοπογράφοι Ε.Μ.Π.

$$\alpha) i = \frac{E}{R_0} = 2 A \quad \gamma) P_{\eta} = i^2 \cdot R' = 20 \text{ Watts}$$

$$\beta) P_0 = Ei = 24 \text{ Watts} \quad \delta) W = Eit = 0,072 \text{ kWh}$$

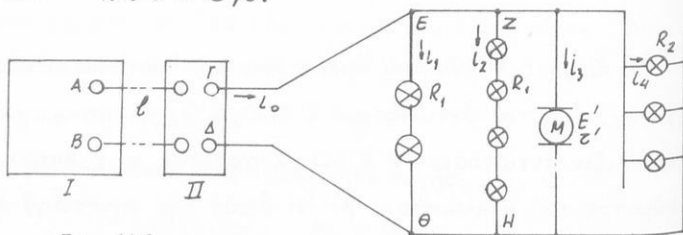
$$\epsilon) Q = it = 21600 \text{ Cb}$$

★ Κεντρικός πίναξ διανομῆς (I) συνδέεται πρὸς δευτερεύοντα (II), σχῆμα 146, μέσω ἀγωγῶν μήκους l καὶ ἀντιστάσεως ρ Ω ἀνά m . Ὁ (II) τροφοδεῖ τὸ σύστημα τῶν λυχνιῶν καὶ τοῦ κινητήρος M .

R_1 καὶ R_2 εἶναι αἱ ἀντιστάσεις τῶν λυχνιῶν, E' ἡ ἀντι-ΗΕΔ τοῦ κινητήρος, r' ἡ ἔσωτερικὴ ἀντίστασις αὐτοῦ καὶ α ὁ βαθμὸς ἀποδόσεώς του. Ὁ κινητῆρ ἀνυψώνει B kgm^* ὕδατος εἰς ὕψος h m ἐντὸς χρόνου t sec .

Νά εὑρεθοῦν: τὰ ρεύματα εἰς τοὺς διαφόρους κλάδους, E', I' , R_1, R_2 καὶ ἡ ἰσχύς τῶν λαμπτήρων.

Δίδονται: $V_{AB} = 220V$, $\rho = 0,02\Omega/m$, $l = 250$ m , $V_{\Gamma\Delta} = 120V$, $i_2 = 1A$, $B = 128$ kgm^* , $h = 6$ m , $t = 20$ sec , $g = 10$ m/sec^2 καὶ $\alpha = 0,8$.



Σχ. 146

α) Ἡ ὀλικὴ ἀντίστασις τῶν ἀγωγῶν ΑΓ καὶ ΒΔ εἶναι:

$$R_0 = 2l\rho = 10\Omega$$

β)

$$i_0 = \frac{V_{AB} - V_{\Gamma\Delta}}{R_0} = 10$$

γ) Διὰ τὸν κινητῆρα: $P_{\omega, \kappa} = \frac{Bh}{t} = 384$ $Watts$, $P_{\kappa, \kappa} =$

$$= \frac{P_{\omega, \kappa}}{\alpha} = 480$$
 $Watts$, ἀλλὰ $P_{\kappa, \kappa} = V_{\Gamma\Delta} \cdot i_3 \blacktriangleright i_3 = 4A$.

$$\Theta\text{H} \Rightarrow i_2 \quad \Delta\text{Z} \Rightarrow i_4 \quad \Theta\Delta \text{ καί } \text{ZH} \Rightarrow i_5$$

$$\Delta\acute{\iota}\delta\omicron\nu\nu\alpha\iota: U_A - U_B = 125\text{V} \quad (1)$$

$$U_\Theta - U_H = 120\text{V} \quad (2)$$

$$U_\Delta - U_Z = 118\text{V} \quad (3)$$

ἀλλὰ λόγῳ τῆς συμμετρίας:

$$U_A - U_\Theta = U_H - U_B \quad (4)$$

$$U_A - U_\Delta = U_Z - U_B \quad (5)$$

$$U_\Theta - U_\Delta = U_Z - U_H \quad (6)$$

$$\Delta\iota' \acute{\alpha}\phi\alpha\iota\rho\acute{\epsilon}\sigma\epsilon\omega\varsigma (1) \text{ καί } (2) \text{ καί } \text{λόγῳ τῆς } (4) \Rightarrow U_A - U_\Theta = 2,5 \text{ V}$$

$$\acute{\alpha}\rho\alpha: i_1 = \frac{2,5}{0,05} \text{ A} = 50 \text{ A}$$

$$\Delta\iota' \acute{\alpha}\phi\alpha\iota\rho\acute{\epsilon}\sigma\epsilon\omega\varsigma (1) \text{ καί } (3) \text{ καί } \text{λόγῳ τῆς } (5) \Rightarrow U_A - U_\Delta = 3,5 \text{ V.}$$

$$\acute{\alpha}\rho\alpha: i_3 = \frac{3,5}{0,0175} \text{ A} = 200 \text{ A}$$

$$\Delta\iota' \acute{\alpha}\phi\alpha\iota\rho\acute{\epsilon}\sigma\epsilon\omega\varsigma (2) \text{ καί } (3) \text{ καί } \text{λόγῳ τῆς } (6) \Rightarrow U_\Theta - U_\Delta = 1 \text{ V.}$$

$$\acute{\alpha}\rho\alpha: i_5 = \frac{1}{0,05} \text{ A} = 20 \text{ A}$$

Συνεπῶς:

$$i_0 = 250 \text{ A}$$

$$i_4 = 220 \text{ A}$$

$$i_2 = 30 \text{ A}$$

"Ἐχομεν διὰ τὴν ἰσχύϊν ἐκάστου καταναλωτοῦ:

$$P_1 = V_{\Theta H} \cdot i_2 = 3,6 \text{ KW}$$

$$P_2 = V_{\Delta Z} \cdot i_4 = 25,96 \text{ KW}$$

Ἡ παρεχομένη εἰς τὸ σύστημα ἰσχύς εἶναι:

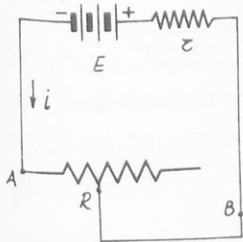
$$P_{\pi} = V_{AB} \cdot i_0 = 32,25 \text{ KW}$$

ὅποτε ὁ βαθμὸς ἀποδόσεως τοῦ συστήματος τροφοδοτήσεως εἶναι:

$$\alpha = \frac{P_1 + P_2}{P_{\pi}} = \frac{29,56}{32,25} \quad \blacktriangleright \quad \alpha = 91,6\%$$

13.2. μέγιστη ἰσχύς

☆ Εἰς τὸ σχῆμα 148 τὸ κύκλωμα περιλαμβάνει πηγή ΗΕΔ E ἐσωτερικῆς ἀντιστάσεως r καὶ ἔξωτερικὸν καταναλωτὴν R . Προσδιορίσατε τὴν τιμὴν τῆς ἀντιστάσεως τοῦ καταναλωτοῦ διὰ τὴν ὁποῖαν ἡ ἰσχύς του γίνεται μέγιστη. (Θ. μεγίστης ἰσχύος).

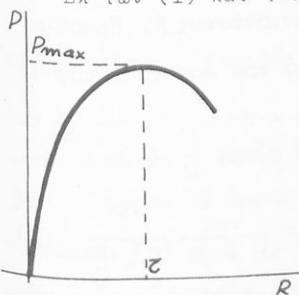


Σχ. 148

Ἐκ τοῦ κυκλώματος προκύπτει: $i = \frac{E}{R+r}$ (1)

Ἡ ἰσχύς τοῦ καταλωτοῦ εἶναι $P = i^2 \cdot R$ (2)

Ἐκ τῶν (1) καὶ (2) συνάγεται ὅτι:



Σχ. 149

$$P = \frac{E^2 \cdot R}{(R + r)^2} \quad (3)$$

Ἡ P γίνεται μέγιστη ὅταν τὸ $y = \frac{R}{(R+r)^2}$ (4)

γίνῃ μέγιστον. Ἐκ τῆς (4) λαμβάνεται: $yR^2 + (2yr - 1)R + yr^2 = 0$.

Ἐπειδὴ ἡ R εἶναι πραγματικὸς ἀριθμὸς πρέπει $\Delta \geq 0$, ἢ $(2yr -$

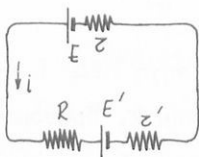
- 1)² - 4y² · r² ≥ 0. ὥστε ἡ ζητούμενη τιμὴ τοῦ y εἶναι $y = \frac{1}{4r}$.
ὁπότε ἐκ τῆς (4):

$$\frac{1}{4r} = \frac{R}{(R+r)^2} \quad \blacktriangleright \quad R = r$$

Τό διάγραμμα τοῦ σχήματος 149 ἀποδίδει τήν $P = f(R)$

★ Εἰς τό κύκλωμα τοῦ σχήματος 150 ἡ πηγὴ ΗΕΔ Ε τροφοδοτεῖ ἀποδέκτην ἀντι-ΗΕΔ Ε' μέσω σταθερᾶς ἀντιστάσεως R.

Ποία ἡ τιμὴ τῆς Ε' ὥστε ἡ ὠφέλιμος ἰσχύς τοῦ ἀποδέκτου νά εἶναι μεγίστη.



Διὰ τόν ἀποδέκτην: $P_{\omega} = E' i$ (1)

$$\text{μέ} \quad i = \frac{E-E'}{R+r+r'} \quad (2)$$

Ἐκ τῶν (1) καί (2):

$$\blacktriangleright \quad P_{\omega} = \frac{E'(E-E')}{R+r+r'} \quad (3)$$

Σχ. 150

Παρατηρῶ εἰς τήν (3) ὅτι: $E' + (E-E') = E$ = σταθερόν ἄρα τό γινόμενον $E'(E-E')$ γίνεται μέγιστον ἂν $E' = E - E'$ δηλ. $E' = \frac{E}{2}$.

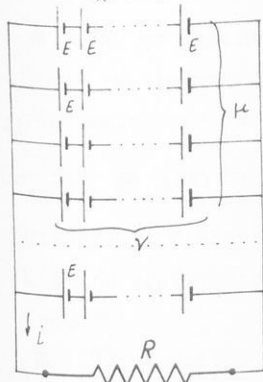
★ μ.ν. στοιχεῖα ΗΕΔ Ε καί ἐσωτερικῆς ἀντιστάσεως r διατάσσονται εἰς μ σειρᾶς τῶν ν στοιχείων ἐκάστη σχῆμα 151. Τό ὅλον σύστημα τροφοδοτεῖ καταναλωτὴν ἀντιστάσεως R. Προσδιορίσατε τά μ καί ν ὥστε ἡ ἔντασις τοῦ διὰ τοῦ καταναλωτοῦ ρεύματος νά εἶναι μεγίστη.

Τό ρεῦμα ποῦ διαρρέει ἐκάστην σειρὰ εἶναι $\frac{i}{\mu}$ ἐνῶ:

$$v \cdot r \frac{i}{\mu} + iR = vE \quad \blacktriangleright \quad i = \frac{v\mu E}{vr + \mu R} = \frac{vE}{\frac{r}{\mu} + \frac{R}{v}} \quad (1)$$

ὁπότε διὰ νά εἶναι τό i μέγιστον πρέπει ἡ $y = \frac{r}{\mu} + \frac{R}{v}$ νά εἶ-

ναί ελάχιστη ή επειδή $\mu\nu = C$



$$y = \frac{rv}{C} + \frac{R}{v} \quad (2)$$

Έκ τῆς (2) λαμβάνω πρώτην καί δευτέραν παράγωγον ὡς πρός v :

$$y' = \frac{r}{C} - Rv^{-2},$$

$$y'' = 2Rv^{-3}$$

Ἐποῦ $y'' > 0$, διότι $R, v > 0$, ἡ y

ἔχει ελάχιστον διά v ρίζα τῆς

$$y' = 0 \quad \blacktriangleright \quad v = \sqrt{C \cdot \frac{R}{r}} \quad (3) \quad \text{ἢ} \quad \text{διὰ} \quad \nu r = \mu R \quad (4)$$

Ἐκ τῆς (3) φαίνεται ὅτι ἂν τό $C \cdot \frac{R}{r}$ εἶναι τετράγωνον ἀκεραίου ἀριθμοῦ τότε καί v ἀκεραῖος ἀριθμός.

Ἐάν τό $C \cdot \frac{R}{r}$ δέν εἶναι τετράγωνον ἀκεραίου ἀριθμοῦ, ὡς λύσις λαμβάνεται ἡ τιμὴ τοῦ ἀκεραίου, ἥτις πλησιάζει περισσότερο πρός τόν $\sqrt{C \cdot \frac{R}{r}}$

Τέλος ἡ τιμὴ τοῦ i_{\max} ὑπολογίζεται ἐκ τῆς (1):

$$i_{\max} = \frac{1}{2} \sqrt{\frac{\mu\nu}{R \cdot r}} \cdot E$$

Ἄλλος τρόπος: Ἐπειδὴ

$i = \frac{\nu\mu E}{\nu r + \mu R}$ μέ $\nu\mu \cdot rR = \text{σταθερόν ἀφοῦ καί } \nu\mu = C$, τό $\nu r + \mu R$ γίνεται ελάχιστον ἂν $\nu r = \mu R$.

★ Ἔχομεν 12 ὅμοια στοιχεῖα ΗΕΔ = 5 V καί ἐσωτερικῆς ἀντιστάσεως $r = 0,5 \Omega$. Χωρίζομεν αὐτά εἰς ν ὁμάδας μέ μ στοιχεῖα ἐκάστη συνδεδεμένα ἐν σειρᾷ. Τὰς ὁμάδας συνδέομεν ἐν παραλλήλῳ καί μέ τό σύστημα τροφοδοτοῦμεν ἀντίστασιν $R =$

= 1,5 Ω. Ποιά τά μ και ν ίνα ή έντασις του διά τής R ρεύματος είναι μεγίστη; Ποία ή έντασις αύτη;

Κατά τό πρόβλημα θά είναι:

$$\mu \cdot \nu = 12 \quad (1)$$

Κατά τήν παρατήρησιν, έξ άλλου τής σελίδος 99 τό σύστημα ίσοδυναμεϊ μέ πηγήν ΗΕΔ:

$$E_0 = \mu E \quad (2)$$

καί έσωτερικής αντίστασews

$$r_0 = \frac{\mu}{\nu} r \quad (3)$$

Συνεπώς, τό διά τής R ρεύμα θά είναι:

$$I = \frac{E_0}{R_{ολ}} = \frac{E_0}{R + r_0} \quad (4)$$

'Η (4) λόγω τών (2) καί (3) γίνεται:

$$I = \frac{\mu E}{R + \frac{\mu}{\nu} \cdot r} \quad (5)$$

'Η (5) γράφεται καί $I = \frac{\mu \nu E}{\nu R + \mu r}$ (6)

Διά νά γίνη όμως τό I μέγιστον, πρέπει τό άθροισμα $\nu R + \mu r$, νά γίνη ελάχιστον.

'Εφ'όσον τό γινόμενον $\nu \mu R r$ είναι σταθερόν τό άθροισμα $\nu R + \mu r$ γίνεται ελάχιστον όταν:

$$\nu R = \mu r \quad (7)$$

'Εκ τών (1) καί (7) λαμβάνομεν:

$$\mu = 6$$

$$\nu = 2$$

καί έκ τής (6) $I = 10A$.

● Τέσσερα χρήσιμα θεωρήματα διά τὰ μέγιστα καί ἐλάχιστα.

■ "Αν τό ἄθροισμα n μεταβλητῶν θετικῶν ἀριθμῶν εἶναι σταθερόν τό γινόμενον των ἐπιδέχεται μίαν μεγίστην τιμήν, εἰς τήν περίπτωσιν καθ' ἣν ὅλοι οἱ ἀριθμοί δύνανται νά γίνουν ἴσοι.

■ "Αν τό γινόμενον n μεταβλητῶν, θετικῶν ἀριθμῶν εἶναι σταθερόν, τό ἄθροισμά των ἐπιδέχεται μίαν ἐλάχιστην τιμήν, εἰς τήν περίπτωσιν καθ' ἣν ὅλοι οἱ ἀριθμοί δύνανται νά γίνουν ἴσοι.

■ Τό γινόμενον δυνάμεων (μέ ἐκθέτας φυσικούς ἀριθμούς) δύο μεταβλητῶν θετικῶν ἀριθμῶν, οἱ ὅποιοι ἔχουν σταθερόν ἄθροισμα, ἐπιδέχεται μίαν μεγίστην τιμήν εἰς τήν περίπτωσιν καθ' ἣν οἱ ἀριθμοί δύνανται νά γίνουν ἀνάλογοι τῶν ἐκθετῶν των.

■ "Αν τό γινόμενον δυνάμεων (μέ ἐκθέτας φυσικούς ἀριθμούς) δύο μεταβλητῶν θετικῶν ἀριθμῶν εἶναι σταθερόν, τότε τό ἄθροισμα τῶν ἀριθμῶν ἐπιδέχεται μίαν ἐλάχιστην τιμήν, εἰς τήν περίπτωσιν καθ' ἣν οἱ ἀριθμοί δύνανται νά γίνουν ἀνάλογοι τῶν ἐκθετῶν των.

● βραχυκύκλωμα

Μέ τόν ὄρον "βραχυκύκλωμα" ἐννοοῦμεν τήν δι' ἀγωγῶ ἀμελητέας ἀντιστάσεως σύνδεσιν δύο σημείων.

■ ἀντιστάσεις

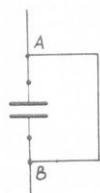


Τά ἄκρα A καί B τῆς ἀντιστάσεως συνδέονται μέ ἀγωγόν τοῦ ὁποίου τήν ἀντίστασιν ἀμελοῦμεν.

Τά σημεῖα A καί B ἀποκοῦν τό αὐτό δυναμικόν, ἐνῶ ἡ R δέν διαρρέεται ἀπό ρεῦμα. Ἡ

ἀντίστασις R θεωρεῖται τότε ὡς μή ὑπάρχουσα ἐν τῷ κυκλώματι.

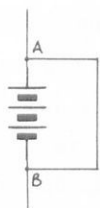
■ ΠΥΚΝΩΤΟΥ



Τά σημεία A καί B τοῦ πυκνωτοῦ συνδέονται μέ ἄγωγόν ἀμελητέας ἀντιστάσεως. Ὁ πυκνωτής ἐκφορτίζεται μέσφ τοῦ ἄγωγοῦ ἐνῶ τά A καί B ἔχουν μονίμως κοινόν δυναμικόν.

Ὁ πυκνωτής θεωρεῖται τότε ὡς μή ὑπάρχων.

■ ΠΗΓΗΣ



Οἱ πόλοι A καί B συνδέονται μέ ἄγωγόν ἀμελητέας ἀντιστάσεως. Ἡ πηγή προκαλεῖ μέσφ αὐτοῦ ρεῦμα μεγάλης ἐντάσεως μέχρις ὅτου καταστραφῆ. Τά σημεία A καί B ἔχουν τό αὐτό δυναμικόν. Ἡ πηγή οὐδένα ρόλον παίζει εἰς τό κύκλωμα καί παραλείπεται.

ΠΟΡΕΙΑ ΕΠΙΛΥΣΕΩΣ ΠΡΟΒΛΗΜΑΤΩΝ

Σ.Ρ.

1ον βῆμα:	Σχεδιάσις κυκλώματος
2ον βῆμα:	Σύνδεσις σημείων "γῆ"
3ον βῆμα:	Ἐφαρμογή καταλλήλου μεθόδου διά τήν ἐπίλυσιν τοῦ κυκλώματος
4ον βῆμα:	Προσδιορισμός ἀναφερομένων μεγεθῶν (π.χ. τάσεων, ἰσχύος κ.λ.π.)
5ον βῆμα:	Μόρφωσις περιοριστικῶν σχέσεων (π.χ. λόγων, ἄθροισμάτων κ.λ.π.) ἀπορρυσῶν ἐκ τῆς ἐκφωνήσεως.
6ον βῆμα:	Ἐπίλυσις προκύπτοντος συστήματος
7ον βῆμα:	Διόρθωσις φορᾶς ρευμάτων καί πολικότητος πηγῶν.

ήλεκτρομαγνητισμός έπαγωγή

14. μαγνητικόν πεδίων

● Καλεῖται μαγνητικόν πεδίων ὁ χῶρος εἰς κάθε σημεῖον τοῦ ὁποίου ἀσκειῖται ἐπί κινουμένου φορτισμένου σωματιδίου δύναμις F , ὀφειλομένη εἰς τήν κίνησιν καί μόνον, ἑτέρου φορτισμένου σωματιδίου. Ἀνήκει εἰς τά στροβιλιά δυναμικά πεδία.

14.1. βασικά ἔννοια

● Καλοῦμεν μαγνητικήν ἔπαγωγήν B εἰς ἕν σημεῖον τοῦ πεδίου ἕν διανυσματικόν μέγεθος, χαρακτηρίζον τό πεδίων, τό ὁποῖον ἔχει μέτρον: Τό σταθερόν πηλίον τοῦ μέτρου τῆς δυνάμεως F ἤτοι ἀσκειῖται ἐπί κινουμένου φορτισμένου σωματιδίου πρός τό φορτίον τοῦτον q , πρός τό μέτρον τῆς ταχύτητός του v καί πρός τό ημφ. Ἡ γωνία φ εἶναι ἡ γωνία τῶν διανυσμάτων \vec{B} καί \vec{v} . Ἡ-τοι:

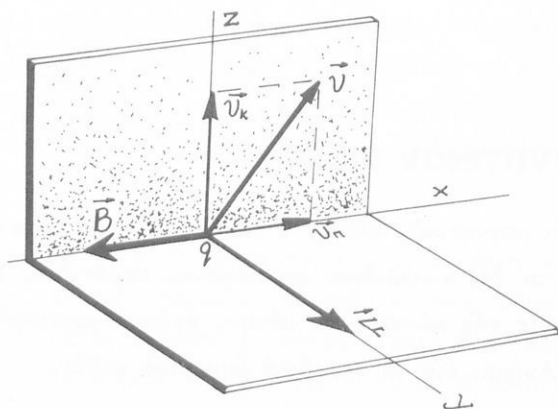
$$B = \frac{F}{q \cdot v \cdot \eta\mu\varphi} = \frac{F}{q v \kappa}$$

Τό q θεωρεῖται ἀπείρως μικρόν.

Ἡ διεύθυνσις τῆς B εἶναι ἐκείνη κατά τήν ὁποίαν κινούμενον τό φορτισμένον σωματίδιον δέν ὑφίσταται δύναμιν ἐκ τοῦ μαγνητικοῦ πεδίου.

Ἐστω τώρα ὅτι $v \kappa$ εἶναι ἡ κάθετος πρός τήν διεύθυνσιν τοῦ

πεδίου, συνιστώσα τῆς \vec{u} . Ἡ φορά τῆς \vec{B} εἶναι ἐκεῖνη κατὰ τὴν ὁποῖαν προχωρεῖ δεξιόστροφος κοχλίας στρεφόμενος κατὰ τὴν φοράν κατὰ τὴν ὁποῖαν τὸ \vec{F} συμπίπτει μὲ τὸ \vec{u}_k στρεφόμενη κατὰ 90° .



Εἰς τὸ κεφάλαιον τοῦ στατικοῦ ἠλεκτρισμοῦ ἐχρησιμοποιήσαμεν τὸ ὁμογενές ἠλεκτρικὸν πεδίου ἑνός πυκνωτοῦ διὰ τὸν ὄρισμόν τῆς σχετικῆς διηλεκτρικῆς σταθερᾶς ϵ ἑνός ὑλικοῦ. Διὰ τὸν ὄρισμόν τῶρα τῆς σχετικῆς μαγνητικῆς διαπερατότητος μ ἑνός ὑλικοῦ χρησιμοποιοῦμεν ἕνα δακτυλιοειδές πηνίον.

Ἐάν B_0 εἶναι τὸ μέτρον τῆς μαγνητικῆς ἐπαγωγῆς εἰς τὸ ἔσωτεριόν τοῦ πηνίου τούτου κενοῦ ὑλῆς καὶ B τὸ μέτρον αὐτῆς ὅταν περιέχεται ὑλικόν, τότε ὁ λόγος

$$\mu = \frac{B}{B_0}$$

εἶναι καθαρὸς ἀριθμὸς καὶ καλεῖται σχετικὴ μαγνητικὴ διαπερατότης τοῦ ὑλικοῦ. Διὰ τὸ κενόν $\mu = 1$.

Εἶναι πειραματικὸν δεδομένον τὸ ὅτι τὰ \vec{u}_k καὶ \vec{F} εἶναι κάθετα.

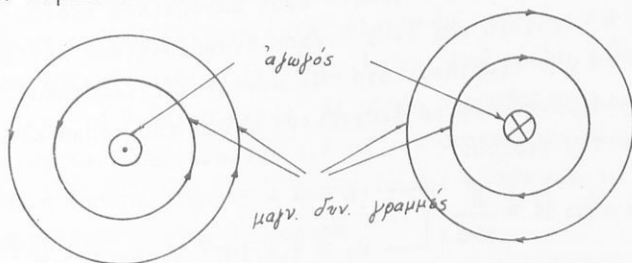
● Ὀνομάζομεν μαγνητικὰς δυναμικὰς γραμμὰς τὰς γραμμὰς μέ τὰς κάτωθι ιδιότητας.

α. (ΒΑΣΙΚΗ) Εἰς κάθε σημεῖον αὐτῶν τό διάνυσμα τῆς B ἔχει στήριγμα τήν ἐφαπτομένην των εἰς τό ἐν λόγῳ σημεῖον.

β. Εἶναι κλεισταί δηλ. δέν ἔχουν ἀρχήν καί πέρας.

γ. Εἶναι πεπλεγμένοι μέ τὰς τροχιάς τῶν φορτισμένων σωματιδίων ἢ τὰ ρεύματα εἰς τὰ ὁποῖα ὀφείλεται τό μαγνητικόν πεδῖον .

δ. Ἡ ἐμπλοκή μέ τούς ρευματοφόρους ἀγωγούς ἢ τὰς τροχιάς τῶν σωματιδίων εἶναι δεξιόστροφος.



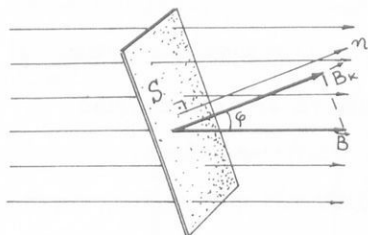
● Μαγνητική ροή διά τινος ἐπιπέδου ἐπιφανείας S ἐντός ὁμογενοῦς μαγνητικοῦ πεδίου μαγνητικῆς ἐπαγωγῆς B ὀριζόμεν ἐν μονόμετρον μέγεθος ἴσον πρός τό γινόμενον τῆς ἐπιφανείας S ἐπί τό μέτρον B_{κ} τῆς καθέτου πρός τήν ἐπιφάνειαν συνιστώσης

* Παρατήρησις ἐπί τοῦ συμβολισμοῦ:

Τό σύμβολον \otimes παριστᾷ διάνυσμα ἢ ρεῦμα κάθετον ἐπί τό ἐπίπεδον τῆς σελίδος μέ φοράν πρός τά μέσα.

Τό σύμβολον \odot παριστᾷ διάνυσμα ἢ ρεῦμα κάθετον ἐπί τό ἐπίπεδον τῆς σελίδος μέ φοράν πρός τά ἔξω.

τῆς μαγνητικῆς ἐπαγωγῆς B ἴτοι : $\Phi = SB_{\kappa}$ ἢ $\Phi = BS \text{ συν}\varphi$.



Ἐναλόγως τοῦ μεταβαλλομένου μεγέθους προκύπτει διὰ τὴν μεταβολὴν τῆς μαγν. ροῆς ἀντιστοιχῶς $\Delta\Phi = B \cdot \Delta S \text{ συν}\varphi$ ἢ $\Delta\Phi = BS(\text{συν}\varphi_2 - \text{συν}\varphi_1)$

ἢ καὶ $\Delta\Phi = \Delta B \cdot S \cdot \text{συν}\varphi$

Ἡ μαγνητικὴ ἐπαγωγή B ἐξαρτᾶται ἀπὸ τὸ ὀλικὸν ρεῦμα ποὺ δημιουργεῖ τὸ πεδίου καὶ ἀπὸ τὰς μαγνητικὰς ιδιότητες τῆς ὕλης ἐντὸς τῆς ὁποίας σχηματίζεται τὸ πεδίου.

Διὰ τὴν πλήρη περιγραφὴν ἑνὸς μαγνητικοῦ πεδίου ἀπαιτεῖται ἡ εἰσαγωγή καὶ ἑνὸς ἑτέρου διανυσματικοῦ μεγέθους, τὸ ὁποῖον νὰ μὴν ἐξαρτᾶται ἀπὸ τὰς μαγνητικὰς ιδιότητες τῆς ὕλης, ἀλλὰ μόνον ἀπὸ τὸ ἠλεκτρικὸν ρεῦμα ποὺ προκαλεῖ τὴν ἐμφάνισιν τοῦ πεδίου.

● Διὰ τῆς: $\vec{H} = \frac{\vec{B}}{\mu_0}$
 $\left\{ \begin{array}{l} \mu_0 = 1 \\ \mu_0 = 4 \cdot \pi \cdot 10^{-7} \text{ V} \cdot \text{sec} \cdot \text{A}^{-1} \cdot \text{m}^{-1} \text{ (MKSAr)} \end{array} \right.$
 (HMSM)

ὀρίζεται τὸ διανυσματικὸν μέγεθος H τὸ ὁποῖον καλοῦμεν ἔντασιν τοῦ μαγνητικοῦ πεδίου εἰς ἕν σημεῖον A αὐτοῦ".

Ἐκ τῆς $\vec{H} = \frac{\vec{B}}{\mu_0}$ φαίνεται ὅτι τὰ \vec{H} καὶ \vec{B} εἰς τὸ αὐτόσημειον ἔχουν τὴν αὐτὴν κατεύθυνσιν.

● 'Η μετατροπή τῶν μονάδων μαγνητικῆς ἐπαγωγῆς καὶ ἐντάσεως μαγνητικοῦ πεδίου.

Εἰς τὸν κάτωθι πίνακα δίδονται αἱ μονάδες τῶν B καὶ H εἰς τὰ συστήματα ΗΜΣΜ καὶ ΜΚΣΑρ.

Μέγεθος	ΜΚΣΑρ	ΗΜΣΜ	ἀντιστοιχία μονάδων
H	$\frac{\text{A-στρ.}}{\text{m}}$	Oe	$1 \frac{\text{A-στρ.}}{\text{m}} \Rightarrow \frac{4\pi}{10^3} \text{Oe}$
B	Tesla	Gauss	$1 \text{ Tesla} \Rightarrow 10^4 \text{ Gauss}$

Συχνά ἀναφέρεται ὅτι: $1 \text{ Oe} = 1 \text{ Gauss}$

Πράγματι, τοῦτο εἶναι ἀληθές διότι ἡ μονάς 1 Gauss ὁρίζεται ἐκ τῆς $B = \mu H$ διὰ $\mu = 1$ καὶ $H = 1 \text{ Oe}$ ἤτοι: 1 Gauss εἶναι ἡ μαγνητικὴ ἐπαγωγὴ ἐντός ὑλικοῦ μέ $\mu = 1$ φερομένου ἐντός μαγνητικοῦ πεδίου ἐντάσεως 1 Oe . 'Επί πλέον, ἀφοῦ μ ἀδιάστατος, τὰ B καὶ H ἔχουν τὰς αὐτὰς διαστάσεις.

Χρειάζεται ὅμως προσοχὴ διὰ νὰ μὴν ὑποπέσωμεν εἰς σφάλμα, ἀφοῦ ἡ ἰσότης $1 \text{ Oe} = 1 \text{ Gauss}$ ἰσχύει μόνον εἰς τὸ ΗΜΣΜ.

Γράφομεν: $1 \text{ Oe} = 1 \text{ Gauss}$

ἀντικαθιστῶ ἀριστερά καὶ δεξιὰ:

$$\frac{10^3}{4\pi} \text{ A στρ./m} = 10^{-4} \cdot \text{Tesla} \quad \text{καὶ} \quad 1 \frac{\text{A στρ.}}{\text{m}} \div 4\pi \cdot 10^{-7} \text{ Tesla}$$

'Η τελευταία ἰσότης εἶναι σοβαρόν σφάλμα ἀφοῦ τὰ μεγέθη B καὶ H εἰς τὸ ΜΚΣΑρ δέν ἔχουν τὰς ἰδίας διαστάσεις καὶ δέν ἔχει νόημα ἰσοδυναμία μονάδων.

'Εάν ἡ τελευταία ἦτο ἀληθὴς θὰ ἦτο καί:

$$\mu_0 = 4\pi \cdot 10^{-7} \frac{\text{Tesla}}{\text{A}\cdot\text{m}} = 1$$

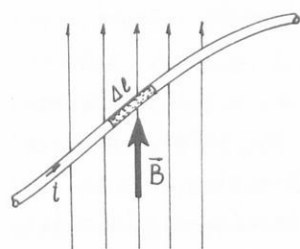
δηλαδή διὰ τὸ ΜΚΣΑρ $\mu_0 = 1$ καὶ καθαρὸς ἀριθμὸς ὡς συμβαίνει εἰς ΗΜΣΜ.

14.2. ο νόμος του Laplace

■ Έκ του δοθέντος ὀρισμοῦ τῆς μαγνητικῆς ἐπαγωγῆς B προκύπτει ὅτι $F = q \cdot v \cdot B \cdot \eta \mu \phi$

Ἔστω τώρα στοιχειῶν ρευματοφόρου ἄγωγου μήκους Δl καὶ διατομῆς S ἐντὸς μαγνητικοῦ πεδίου.

Ἐάν ϕ εἶναι ἡ γωνία τοῦ ἄγωγου καὶ τῆς B καὶ ἐάν z εἶναι ὁ ἀνά μονάδα ὄγκου ἀριθμὸς τῶν ἐλευθέρων ἠλεκτρονίων, τότε ἐντὸς τοῦ στοιχειώδους τμήματος εὐρίσκονται ἐν κινήσει $S \cdot \Delta l \cdot z$ ἐ-



λεύθερα ἠλεκτρόνια καὶ κατάσυνέπειαν ἀσκειῖται ἐπὶ τοῦ στοιχειώδους τμήματος ἡ μαγνητικὴ δύναμις ΔF :

$$\Delta F = S \cdot \Delta l \cdot z \cdot v \cdot B \cdot \eta \mu \phi \cdot e \quad (1)$$

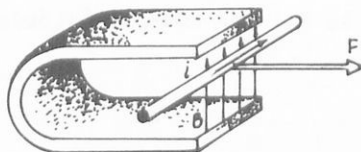
Ἔστω ἀκόμη Δt ὁ χρόνος ἐντὸς τοῦ ὀπίου ἠλεκτρόνιον κινούμενον ὑπὸ τῆν ἐπίδρασιν τοῦ ἠλεκτρικοῦ πεδίου μέ τῆν ὀρμικὴν ταχύτητα v διανύει διάστημα Δl .

Εἰς τὸν αὐτὸν χρόνον θά ἔχουν διέλθῃ διὰ τῆς βάσεως τοῦ στοιχειώδους τμήματος τὰ $S \cdot \Delta l \cdot z$ ἠλεκτρόνια, δηλ. φορτίον $S \cdot v \cdot \Delta t \cdot z$. εὐὸπότε ἡ ἔντασις τοῦ ρεύματος εἶναι:

$$i = S \cdot v \cdot z \cdot e \quad (2)$$

Ἐκ τῶν (1) καὶ (2) ἔπεται ὅτι: $\Delta F = i \cdot \Delta l \cdot B \cdot \eta \mu \phi$

Διὰ εὐθύγραμμον ἄγωγόν μήκους l : $F = ilB \eta \mu \phi$



14.3. ο δεμελιώδης νόμος τῶν Biot και Savart

■ Ἀγωγός διαρρεόμενος ὑπὸ ρεύματος παράγει εἰς τὸ περιβάλλον του μαγνητικὸν πεδίου.

Ἐστω $\vec{\Delta l}$ ἓν στοιχειῶδες τμήμα τοῦ ἀγωγοῦ ἀπείρως μικρὸν, καὶ i ἡ ἔντασις τοῦ ρεύματος ποῦ τὸν διαρρέει.

Ἐκ τοῦ στοιχειώδους τούτου τμήματος δημιουργεῖται εἰς τὸ τυχόν σημεῖον Σ τοῦ περιβάλλοντος χώρου μαγνητικὸν πεδίου μαγνητικῆς ἐπαγωγῆς ΔB τῆς ὁποίας τὸ μέτρον εἶναι: ἀνάλογον τῆς ἐντάσεως τοῦ ρεύματος i , ἀνάλογον τοῦ μέτρου Δl τοῦ στοιχειώδους τμήματος, ἀντιστρόφως ἀνάλογον τοῦ τετραγώνου τῆς ἐπιβατικῆς ἀκτίνος r ποῦ ἄγεται ἀπὸ τὸ στοιχειῶδες τμήμα πρὸς τὸ Σ καὶ ἐξαρτᾶται ἀπὸ τὴν γωνίαν φ τῶν $\vec{\Delta l}$ καὶ \vec{r}

$$\text{ἦτοι: } \Delta B = k_0 \frac{i \Delta l}{r^2} \eta \mu \varphi$$

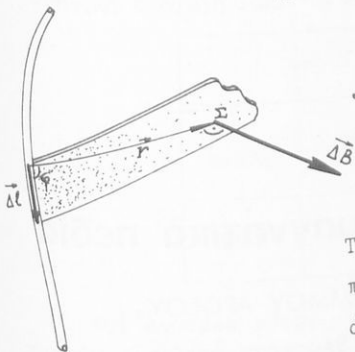
Ἡ σταθερά ἀναλογίας k_0 ἐξαρτᾶται ἀπὸ τὸ σύστημα τῶν μονάδων καὶ τὸ περιβάλλον μέσον καὶ ἔχει τιμὴν:

$$k_0 = \frac{\mu \mu_0}{4\pi} \text{ εἰς τὸ MKSAr} \text{ μὲ } \mu_0 = \frac{4\pi}{10^7} \frac{\text{V} \cdot \text{sec}}{\text{A} \cdot \text{m}}$$

$$\text{καὶ } k_0 = \mu \text{ εἰς τὸ ΗΜΣΜ}$$

$$\text{Ὡστε: } \Delta B = \frac{\mu \mu_0}{4\pi} \frac{i \Delta l}{r^2} \eta \mu \varphi \text{ εἰς MKSAr}$$

$$\text{καὶ } \Delta B = \mu \frac{i \Delta l}{r^2} \eta \mu \varphi \text{ εἰς ΗΜΣΜ}$$



Τὸ διάνυσμα $\vec{\Delta B}$ εἶναι κάθετον στοῦ ἐπίπεδου τῶν διανυσμάτων $\vec{\Delta l}$ καὶ \vec{r} . Ἐάν τώρα θεωρήσωμεν δεξιόστροφον κοχλίαν κάθετον πρὸς τὸ ἐπίπεδον τῶν

$\vec{\Delta l}$ καί \vec{r} , νά προχωρή στρεφόμενος μέ φοράν κατά τήν $\vec{\Delta l}$ όποιαν πρέπει νά στρέψωμεν καί τό $\vec{\Delta l}$ κατά γωνίαν φ , ὥστε νά συμπέση μέ τό \vec{r} , θά ἔχωμεν καί τήν φοράν τοῦ $\vec{\Delta \vec{B}}$.

Παρατήρησις.

1. Διά τόν ὑπολογισμόν τῆς ὀλικῆς μαγνητικῆς ἐπαγωγῆς \vec{B} εἰς τό σημεῖον Σ , πρέπει νά προσθέσωμεν διανυσματικῶς ὅλα τά $\vec{\Delta \vec{B}}$ πού παράγονται εἰς τό Σ ἐξ ὅλων τῶν στοιχειωδῶν τμημάτων τοῦ ρευματοφόρου ἀγωγοῦ.

2. Ἐκ τοῦ δοθέντος ὀρισμοῦ τῆς ἐντάσεως τοῦ μαγνητικοῦ πεδίου προκύπτει διά τό σημεῖον Σ ὅτι:

$$\Delta H = k \frac{i \Delta l}{r^2} \eta \mu \varphi$$

ὅπου k συντελεστής ἀναλογίας ἐξαρτώμενος ἐκ τοῦ συστήματος μονάδων, ἔχων τιμήν:

$$k = \frac{1}{4\pi} \text{ εἰς τό MKSAr}$$

$$k = 1 \text{ εἰς τό ΗΜΣΜ}$$

Ὡστε: $\Delta H = \frac{1}{4\pi} \cdot \frac{i \Delta l}{r^2} \eta \mu \varphi$ εἰς τό MKSAr

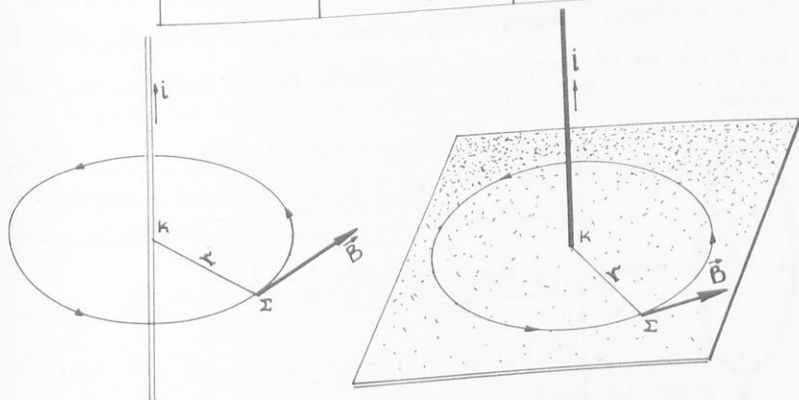
καί $\Delta H = \frac{i \Delta l}{r^2} \eta \mu \varphi$ εἰς τό ΗΜΣΜ

15. ἐφαρμογαί εἰς ἀπλᾶ μαγνητικά πεδία

1. ΜΑΓΝΗΤΙΚΟΝ ΠΕΔΙΟΝ ΕΥΘΥΓΡΑΜΜΟΥ ΑΓΩΓΟΥ.

★ Ἐφ' ὅσον εὐθύγραμμος ἀγωγός θεωρεῖται ἀπείρου μήκου, τό μέτρον τῶν διανυσμάτων \vec{B} καί \vec{H} εἰς τυχόν σημεῖον Σ εἰς ἀπόστασιν r ἀπ' αὐτοῦ δίδεται ἀπό τὰς σχέσεις:

	μαγνητική έπαγωγή	Ένταση μαγν. πεδίου
MKSAr	$B = \frac{\mu\mu_0}{2\pi} \cdot \frac{i}{r}$	$H = \frac{1}{2\pi} \frac{i}{r}$
HMΣM	$B = \mu \frac{2i}{r}$	$H = \frac{2i}{r}$



★ Έάν ο ευθύγραμμος άγωγός θεωρηθί ήμιατείρου μήκους και τό σημείον Σ ληφθί έπί έπιπέδου καθέτου πρós τόν άγωγόν, ή διερχόμενον έκ τής άρχής του, ή ένταση του πεδίου και ή μαγνητική έπαγωγή δίδονται άπό τάς σχέσεις.*

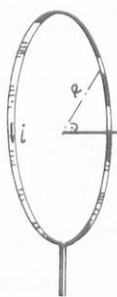
	Μαγνητική έπαγωγή	Ένταση μαγν. πε- δίου
MKSAr	$B = \frac{\mu\mu_0}{4\pi} \frac{i}{r}$	$H = \frac{1}{4\pi} \cdot \frac{i}{r}$
HMΣM	$B = \mu \cdot \frac{i}{r}$	$H = \frac{i}{r}$

*Οί άνωτέρω τύποι άπορρέουν άμέσως έκ τών τύπων του άγωγού άπειρου μήκους. Έη μαγνητική έπαγωγή είναι τώρα ύποδιπλασία άφού ο άγωγός έχει τό ήμισυ του μήκους του και τό

μέτρον της B είναι κατά τόν νόμον Biot-Savart ανάλογον τοῦ μήκους τοῦ ἀγωγοῦ.

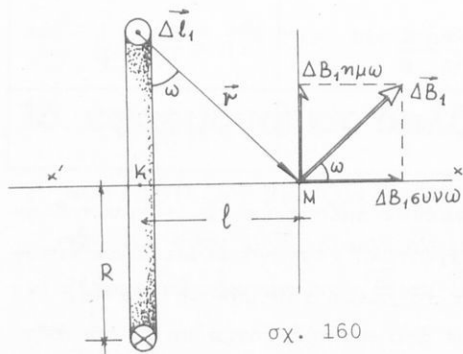
2. ΜΑΓΝΗΤΙΚΟΝ ΠΕΔΙΟΝ ΚΥΚΛΙΚΟΥ ΑΓΩΓΟΥ.

★ Ἀπλός κυκλικός ἀγωγός ἀκτίνας R διαρρεόμενος ὑπό ρεύματος ἐντάσεως i παράγει μαγνητικόν πεδίου. Τά διανύσματα \vec{B} καί \vec{H} εἰς τό κέντρον του εἶναι κάθετα ἐπί τό ἐπίπεδόν του μέ μέτρα:



	Μαγν. ἐπαγωγή	Ἔνταση μαγν. πεδίου
MKSAr	$B = \frac{\mu\mu_0 \cdot i}{2 \cdot R}$	$H = \frac{i}{2R}$
HMΣM	$B = 2\pi\mu \cdot \frac{i}{R}$	$H = 2\pi \cdot \frac{i}{R}$

★ Νά εὑρεθῇ ἡ ἐνταση H τοῦ μαγνητικοῦ πεδίου εἰς σημείων M εὑρισκόμενον ἐπί τοῦ ἄξονος κυκλικῆς σπείρας ἀκτίνας R διαρρεομένης ὑπό ρεύματος i , εἰς ἀπόστασιν l ἀπό τό κέντρον της (σχ. 160).



σχ. 160

Εἰς τό σημεῖον M δημιουργεῖται πεδίου τοῦ ὁποίου ἡ μαγνητική ἐπαγωγή B ἢ ἡ ἐνταση H προσδιορίζονται ἀπό τόν νόμον τῶν Biot-Savart ὡς ἑξῆς:

θεωρῶ ἐπί τοῦ ἀγωγοῦ

στοιχειώδες τμήμα Δl_1 . Έξ αυτού παράγεται εἰς τὸ Μ στοιχειώδες πεδῖον μέτρου :

$$\Delta B_1 = k_0 \frac{i \cdot \Delta l_1}{r^2}$$

(ἀφοῦ ἡ γωνία τῶν $\vec{\Delta l}_1$ καὶ \vec{r} εἶναι 90°).

Τὸ $\vec{\Delta B}_1$ προβάλλεται εἰς τὸν ἄξονα xx' τῆς σπείρας καὶ στὸν yy' κάθετον πρὸς τὸν ἄξονα.

Λαμβάνω τὰ στοιχειώδη τμήματα συμμετρικὰ ἀνά δύο. Ἀλλὰ τότε αἱ συνιστώσαι ΔB_j μω ἀλληλοαναιροῦνται ἀνά δύο καὶ ἡ ὀλική μαγν. ἐπαγωγή εἰς τὸ Μ θὰ εἶναι ἡ συνισταμένη τῶν ΔB_j συνω μέ μέτρον Β.

$$B = \Delta B_1 \text{ συνω} + \Delta B_2 \text{ συνω} + \Delta B_3 \text{ συνω} + \dots + \Delta B_n \text{ συνω}$$

$$\eta \quad B = \frac{k_0 i}{r^2} (\Delta l_1 + \Delta l_2 + \dots + \Delta l_n) \cdot \text{συνω}$$

Τὸ ἐντὸς τῆς παρενθέσεως ἄθροισμα εἶναι $2\pi R$ ὁπότε:

$$B = k_0 \frac{i R 2\pi}{r^2} \text{ συνω} = k_0 \frac{2\pi i R^2}{r^3} = k_0 \frac{2\pi i R^2}{\sqrt{R^2 + l^2}^3} \quad (1)$$

$$\text{ἀφοῦ } \text{συνω} = \frac{R}{r}$$

$$\text{Ἐπειδὴ στὸ MKSAP} \quad k_0 = \frac{\mu \mu_0}{4\pi}$$

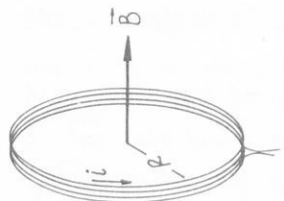
$$B = \mu \mu_0 \frac{i R^2}{2 \sqrt{R^2 + l^2}^3} \quad (2)$$

$$\text{καὶ στὸ ΗΜΣΜ} \quad k_0 = \mu$$

$$B = \mu \frac{2\pi i R^2}{\sqrt{R^2 + l^2}^3} \quad (3)$$

Εἶναι προφανές ὅτι ἐκ τῶν (2) ἢ (3) διὰ $l = 0$ λαμβάνονται οἱ τύποι τῆς προηγουμένης περιπτώσεως.

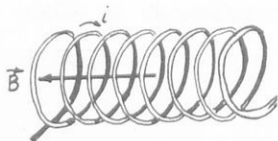
★ Πολλαπλός κυκλικός άγωγός με N σπείρας του οποίου τό πάχος άμελεϊται ως προς τήν διάμετρον τών σπειρῶν (= λεπτόν κυκλικόν πηνόν), διαρρεόμενον υπό ρεύματος παράγει μαγνητικόν πεδόν. Είς τό κέντρον του τό μέτρον του πεδίου είναι:



	Μαγνητική έ- παγωγή	"Ένταση μαγ. πεδίου
MKSAr	$B = \frac{\mu\mu_0}{2} \cdot \frac{l}{R} \cdot N$	$H = \frac{1}{2} \cdot \frac{l}{R} \cdot N$
HMΣM	$B = 2\pi\mu \frac{l}{R} \cdot N$	$H = 2\pi \cdot \frac{l}{R} \cdot N$

3. ΜΑΓΝΗΤΙΚΟΝ ΠΕΔΙΟΝ ΣΩΛΗΝΟΕΙΔΟΥΣ

★ Είς σωληνοειδές άπειρου μήκους δηλ. με μήκος πολύμεγαλύτερον τής διαμέτρου τών σπειρῶν του, άποδεικνύεται ότι τό πεδόν είναι όμογενές με διεύθυνσιν τήν διεύθυνσιν του άξονος τῶ σωληνοειδοῦς καί μέτρον:



	Μαγνητική έ- παγωγή	"Ένταση μαγν. πεδίου
MKSAr	$B = \mu\mu_0 i \frac{N}{l}$	$H = i \frac{N}{l}$
HMΣM	$B = 4\pi\mu i \frac{N}{l}$	$H = 4\pi i \frac{N}{l}$

Παρατήρησις: _____

'Εάν θεωρήσωμεν γενικούς τούς τύπους τής μαγνητικής έ-παγωγής στο MKSAr καί θέσωμεν είς αυτούς $\mu_0 = 4\pi$ προκύπτουν άμέσως οί τύποι τής μαγνητικής έπαγωγής στο HMΣM. 'Ακολουθως λαμβάνονται οί τύποι τής έντάσεως του μαγν. πεδίου εκ του όρισμοῦ:

$$\vec{H} = \frac{1}{\mu\mu_0} \cdot \vec{B}$$

16. σύνθετον μαγνητικόν πεδίων

ΜΕΘΟΔΟΣ ΤΗΣ ΠΡΟΒΟΛΗΣ ΤΩΝ \vec{B} καί \vec{H}

Τό σύνθετον πεδίων θά εἶναι:

- Ὁ συνδιασμός ἀπλῶν πεδίων ρευματοφόρων ἀγωγῶν
- Ὁ συνδιασμός ἀπλῶν πεδίων ρευματοφόρων ἀγωγῶν καί τοῦ γηΐνου μαγνητικοῦ πεδίου.

Περίπτωσης α. Ἐφ' ὅσον τό ὀλικόν πεδίων εἶναι συνδιασμός ἀπλῶν πεδίων ρευματοφόρων ἀγωγῶν, προβάλλονται τὰ διανύσματα \vec{B} ἢ \vec{H} ἐπί καταλλήλου συστήματος ὀρθογωνίων ἀξόνων.

Ἡ ἐπιλογή τοῦ συστήματος τῶν ἀξόνων ἐξαρτᾶται ἀπό τήν μορφήν τοῦ προβλήματος. Τό σύστημα τοῦτο, ὀρθογώνιον ἢ τρισ-ορθογώνιον, πρέπει νά εἶναι κατά τοιοῦτον τρόπον συνδεδεμένον μέ τοὺς ἀγωγούς ὥστε νά προσδιορίζωνται ὅλα τὰ γωνιακά στοιχεῖα πού ἀπαιτεῖ ἡ προβολή τῶν \vec{B} ἢ \vec{H} .

Περίπτωσης β. Ἐφ' ὅσον τό ὀλικόν πεδίων εἶναι συνδιασμός ἀπλῶν πεδίων ρευματοφόρων ἀγωγῶν καί τοῦ γηΐνου ἢ προβολή τῶν \vec{B} καί \vec{H} γίνεται ἐπί τοῦ μαγνητικοῦ μεσημβρινοῦ ἢ τοῦ ὀρίζοντος τοῦ ἀναφερομένου τύπου.

Εἰδικώτερα, εἰάν εἰς τό πρόβλημα ἀναφέρεται:

1. Πυξίς ἐφαπτομένων, πηνίον ἢ σωληνοειδές μέ ἄξονα κάθετον πρὸς τό ἐπίπεδον τοῦ μαγνητικοῦ μεσημβρινοῦ.

2. Μαγνητική βελόνη ἀποκλίσεως

Ἡ προβολή γίνεται ἐπί ὀριζοντίου ἐπιπέδου καί ὡς xx' λαμβάνεται ἡ τομή ὀρίζοντος καί μαγνητικοῦ μεσημβρινοῦ.

Ἐάν εἰς τό πρόβλημα ἀναφέρεται

1. Πηνίον ἢ σωληνοειδές μέ ἄξονα κατακόρυφον

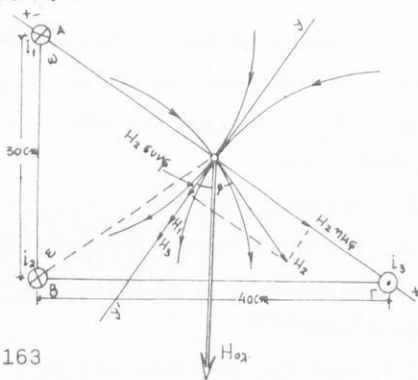
2. Μαγνητική βελόνη ἐγκλίσεως

ἡ προβολή γίνεται ἐπί τοῦ ἐπιπέδου τοῦ μαγνητικοῦ μεσημβρινοῦ μέ xx' τήν τομή του μέ τόν ὀρίζοντα.

Διά να αποκτήσει ο αναγνώστης μία σχετική εμπειρία στο πρόβλημα του ηλεκτρομαγνητισμού παραθέτομεν μία σειράν χαρακτηριστικῶν, υποδειγματικῶς λελυμένων, παραδειγμάτων μετὰ τῶν σχετικῶν παρατηρήσεων.

Πιστεύομεν γενικῶς ὅτι ἓνα πρόβλημα στήν περιοχὴν αὐτὴν ἀπαιτεῖ ἔξοικειώσιν μέ τόν χώρον καί τὰ ἀπλά μαγνητικά πεδία τῆς προηγουμένης παραγράφου.

★ Τρεῖς παράλληλοι εὐθύγραμμοι ἄγωγοι Α, Β καί Γ διαρρέονται ὑπό ρευμάτων $i_1 = 25\text{A}$, $i_2 = 12,5\text{A}$ καί $i_3 = 37,5\text{A}$ ὡς εἰς τό σχῆμα 163 . Ἡ ἀπόστασις τῶν Α καί Β εἶναι 30 cm τῶν Β καί Γ 40 cm καί τῶν Α καί Γ 50 cm . Νά εὑρεθῇ ἡ ἔντασις Η τοῦ μαγνητικοῦ πεδίου εἰς τό μέσον Μ τῆς ἀποστάσεως τῶν Α καί Γ .



σχ. 163

δίδει ὀρθογώνιον τρίγωνον ΑΒΓ (μήκη πλευρῶν 30, 40 καί 50 cm ἀντιστοίχως).

Ἐπιλογισμοί εἰς τό ΗΜΣΜ

Ἐάν \vec{H}_1 ἡ ἔντασις λόγῳ τοῦ i_1 , εἶναι: $H_1 = \frac{2i_1}{(AM)} = 0,2 \text{ Oe}$

Ἐάν \vec{H}_2 ἡ ἔντασις λόγῳ τοῦ i_2 , εἶναι: $H_2 = \frac{2i_2}{(BM)} = 0,1 \text{ Oe}$

Ἐάν \vec{H}_3 ἡ ἔντασις λόγῳ τοῦ i_3 , εἶναι: $H_3 = \frac{2 \cdot i_3}{(GM)} = 0,3 \text{ Oe}$

Έκ τῆς γεωμετρίας τοῦ σχήματος φαίνεται:

$$\zeta \varphi = \zeta BMA \quad (\text{πλευραὶ κάθετοι})$$

$$\text{ἄρα } \zeta \varphi = \pi - 2 \zeta \omega$$

$$\text{καὶ } \text{συν}\varphi = \text{συν}(\pi - 2\omega) = -\text{συν}2\omega = 2\eta\mu^2\omega - 1$$

Ἡ προβολὴ τῶν \vec{H}_1 , \vec{H}_2 καὶ \vec{H}_3 γίνεται εἰς τὸ σύστημα xMy (ὁ xx' συμπίπτει μὲ τὴν AG).

$$\text{Τότε } \uparrow \Sigma H_x = H_2 \eta \mu \varphi$$

$$\uparrow \Sigma H_y = H_1 + H_3 + H_2 \text{συν}\varphi$$

$$\text{καὶ } H_{ολ} = \sqrt{\Sigma^2 H_x + \Sigma^2 H_y} = 0,48 \text{ Oe}$$

$\text{συν}\omega = \frac{3}{5}$

★ Δύο ἀσύμβατοι ἀγωγοί, μεγάλου μήκους, Α καὶ Β σχηματίζουν γωνίαν 60° καὶ διαρρέονται ὑπὸ ρευμάτων $i_1 = 10\text{A}$ καὶ $i_2 = 5\text{A}$ ἀντιστοίχως. Νά εὑρεθῇ ἡ ἔντασις τοῦ μαγνητικοῦ πεδίου εἰς σημεῖον Μ κείμενον ἐπὶ τῆς κοινῆς καθέτου καὶ ἀπέχον 10cm ἐκ τοῦ Α καὶ 20cm ἐκ τοῦ Β. Τὸ σημεῖον Μ νά εὑρίσκειται:

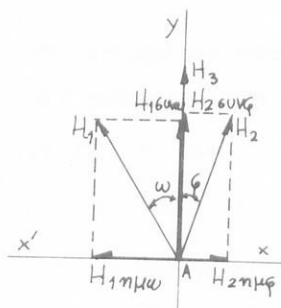
α. Μεταξὺ τῶν ἀγωγῶν

β. Ἐκτὸς καὶ πρὸς τὸ μέρος τοῦ Α.

Ἡ ἀπόστασις τῶν ἀγωγῶν νά ληφθῇ εἰς τὴν περίπτωσιν α 30 καὶ εἰς τὴν β 10cm .

Τὸ σύμβολον $\Sigma^2 H_x$ συμφωνοῦμεν νά παριστᾷ τό :

$$(H_{1x} + H_{2x} + H_{3x} + \dots)^2$$



σχ. 166α

$$H_{0\lambda} = \sqrt{(H_3 + H_1 \sin \omega + H_2 \sin \varphi)^2 + (H_1 \eta \mu \omega - H_2 \eta \mu \varphi)^2}$$

$$H_{0\lambda} = H_1 \sqrt{6 + 4(\sin \omega + \sin \varphi) + 2 \sin(\varphi + \omega)}$$

ή δέ * τ τήν όποιάν σχηματίζει τό διάνυσμα $\vec{H}_{0\lambda}$ μέ τόν xx' προσδιορίζεται έκ τής:

$$\epsilon \varphi \tau = \frac{\eta \mu \omega - \eta \mu \varphi}{2 + \sin \omega + \sin \varphi}$$

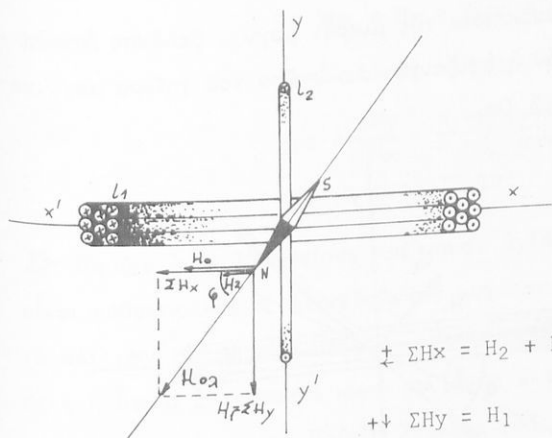
★ Λεπτόν πηνίόν αποτελείται από N σπείρας μέσης ακτίνας \bar{R} καί είναι τοποθετημένον επί του μαγνητικού μεσημβρινού τόπου μέ όριζοντίαν συνιστώσα γήινου μαγν. πεδίου H_0 .

Κυκλική σπείρα ακτίνας R είναι τοποθετημένη καθέτως πρός τόν μαγνητικόν μεσημβρινόν ούτως ώστε τό κέντρον της νά είναι τό κέντρον του πηνίου.

Πηνίον καί σπείρα διαρρέονται από ρεύματα i_1 καί i_2 αντίστοιχως. Είς τό κέντρον του συστήματος έχει τοποθετηθή μικρή μαγνητική βελόνη αποκλίσεως ήτις στρέφεται από τήν θέσιν ίσοροπίας της κατά γωνίαν φ . Εύρατε τήν H_0 (σχ. 167).

Λύσις είς τό ΗΜΣΜ

Τό σύστημα προβάλλεται είς τό επίπεδον του όρίζοντος & ως άξονα x λαμβάνομεν τήν τομήν όρίζοντος καί μαγνητικού μεσημβρινού.



σχ. 167

$$\pm \Sigma H_x = H_2 + H_0$$

$$\text{μέ } H_2 = \frac{2\pi l_2}{R}$$

$$+\Sigma H_y = H_1$$

$$\text{μέ } H_1 = \frac{2\pi l_1 N}{R}$$

$$\text{ἀλλά } \epsilon\phi\phi = \frac{H_1}{H_2 + H_0}$$

Ἡ συνιστώσα H_1 ὀφείλεται εἰς τὸ πηνίον καὶ ἡ H_2 εἰς τὴν σπείραν.

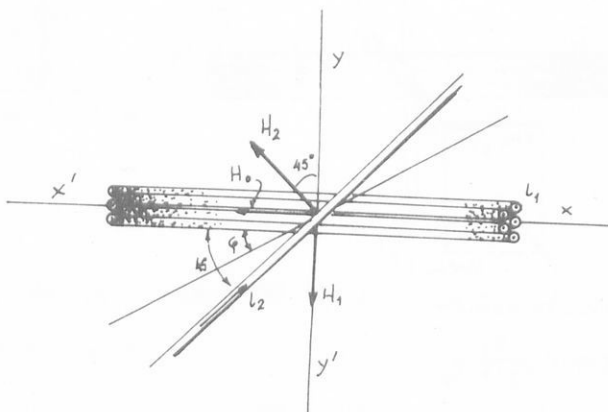
$$\text{Ἐκ τῶν ἀνωτέρω προκύπτει: } H_0 = 2\pi \left(\frac{l_1 N}{R \epsilon\phi\phi} - \frac{l_2}{R} \right)$$

★ Πυξίς ἐφαπτομένων ἔχει 5 σπείρας μέσης ἀκτίνος $R = 3,14$ cm καὶ εἶναι τοποθετημένη μέ τὸ ἐπίπεδον τῶν σπειρῶν τῆς ἐπὶ τοῦ μαγνητικοῦ μεσημβρινοῦ ἑνὸς τόπου.

Ἡ πυξίς ἔχει ἀντίστασιν 4Ω καὶ συνδέεται μέ τάσιν 16 V. Ὑπεράνω τῆς πυξίδος καὶ εἰς ἀπόστασιν 40 cm ἀπὸ τὸ κέντρον τῆς διέρχεται ὀριζόντιος ἄγωγος σχηματίζων μέ τὸ ἐπίπεδον τοῦ μαγνητικοῦ μεσημβρινοῦ γωνίαν 45° καὶ διαρρέομενος ὑπὸ ρεύματος $i_2 = 40$ A.

Ὁ ἄγωγος θεωρεῖται ἀπείρου μήκους καὶ τέμνει τὸν μαγνητικὸν μεσημβρινὸν εἰς σημεῖον κείμενον ἐπὶ τῆς αὐτῆς κατακορύφου μέ τὸ κέντρον τῆς πυξίδος σχ. 168.

Νά εὑρεθῇ ἡ ἀπόκλισις τῆς μικρᾶς μαγν. βελόνης ἀποκλίσεως τῆς πυξίδος ἂν ἡ ὀριζοντία συνιστῶσα τοῦ γηίνου μαγν. πεδίου εἶναι $H_0 = 0,2 \text{ Oe}$.



Λύσις εἰς τό ΗΜΣΜ

Ἡ πυξίς διαρροεομένη ὑπὸ ρεύματος παράγει μαγνητικόν πεδίου. Εἰς τό κέντρον τῆς ἡ ἔντασις τοῦ πεδίου ἔχει μέτρον H_1 καί κατεύθυνσιν ὡς εἰς τό σχῆμα 168

$$H_1 = \frac{2\pi i}{R} N \quad (1)$$

Ὁ εὐθύγραμμος ἀγωγός διαρροεόμενος ὑπὸ ρεύματος παράγει εἰς τό κέντρον πεδίου ἐντάσεως \vec{H}_2 μέτρου:

$$H_2 = \frac{2i_2}{r} \quad (2)$$

Τά \vec{H}_1 καί \vec{H}_2 προβάλλονται εἰς ὀριζόντιον ἐπίπεδον καί λαμβάνομεν ὡς ἄξονα x τήν τομήν ὀρίζοντος καί μαγνητικοῦ μεσημβρινού.

Ἐκ τοῦ σχήματος φαίνεται ὅτι:

$$\pm \Sigma H_x = H_0 + H_2 \sin 45$$

$$++ \Sigma H_y = H_1 - H_2 \eta \mu 45$$

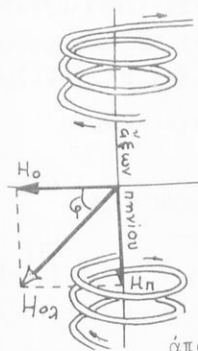
$$\epsilon \phi \phi = \frac{\Sigma H_y}{\Sigma H_x} = \frac{H_1 - H_2 \eta \mu 45}{H_0 + H_2 \sin 45} = 0,76$$

$$\text{και } \phi = 37^\circ.10'$$

★ Πηνίον έχει 25 σπείρας και μήκος 3,14 cm. Ο άξων του είναι κάθετος επί το επίπεδο του μαγνητικού μεσημβρινού. Είς το κέντρον του πηνίου υπάρχει μικρά μαγνητική βελόνη αποκλίσεως ή όποια έκτρέπεται κατά γωνίαν $\phi = 45^\circ$ όταν διά του πηνίου διέρχεται ρεύμα. Ποία ή έντασις του ρεύματος τούτου. Η όριζοντία συνιστώσα του γ.μαγ.πεδίου είναι $H_0 = 0,2$ οε. σχ. 169.

Λύσις εις τό ΗΜΣΜ

θεωρώ την προβολήν της όλης διατάξεως επί όριζοντίου έπιπέδου. λαμβάνω ως άξονα xx' την τομήν όριζοντος και μαγνητικού μεσημβρινού:



$$\pm \Sigma H_x = H_0$$

$$++ \Sigma H_y = H_\pi$$

$$\mu \epsilon \quad H_\pi = 4\pi i \frac{N}{l}$$

Έκ του σχήματος προκύπτει:

$$\epsilon \phi \phi = \frac{H_\pi}{H_0} = \frac{4\pi i N}{H_0 l} \quad \eta \quad i = \frac{H_0 \cdot l \epsilon \phi \phi}{4\pi N}$$

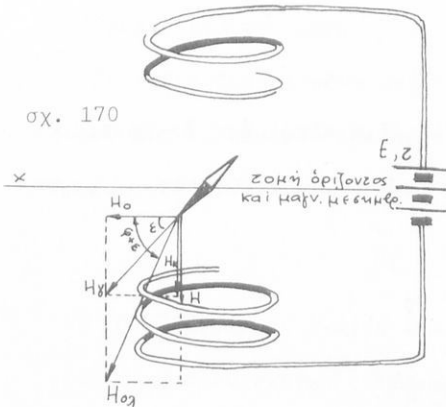
άπό όπου $i = 0,002$ ΗΜΜ έντ. ρεύματος = 0,02 Α.

σχ. 169

☆ Πηνίον ἔχει N σπείρας καὶ μῆκος l . Τό πηνίον παρουσιάζει ἀντίστασιν R . Ὁ ἄξων τοῦ πηνίου διατηρεῖται κατακόρυφος. Εἰς τό κέντρον τοῦ πηνίου ὑπάρχει μικρά μαγν. βελόνη ἔγγλισεως. Τό πηνίον εὔρισκεται εἰς τόπον ὅπου ἡ ἔγγλισις εἶναι ϵ καὶ ἡ ὀριζοντία συνιστῶσα τοῦ γ.μ. πεδίου H_0 . Ὄταν τό πηνίον συνδέεται μέ τούς πόλους πηγῆς ΗΕΔ E καὶ ἐσωτερικῆς ἀντιστάσεως r ἡ βελόνη ἐκτρέπεται κατά γωνίαν ϕ . Νά εὔρεθῇ ἡ ΗΕΔ E .

Λύσις εἰς τό ΗΜΣΜ

Ἡ διάταξις προβάλλεται εἰς τό ἐπίπεδον τοῦ ΜΑΓΝΗΤΙΚΟΥ μεσημβρινοῦ τοῦ τόπου. Ὡς ἄξων xx' λαμβάνεται ἡ τομή ὀριζοντος καὶ μαγνητικοῦ μεσημβρινοῦ:



σχ. 170

$$\uparrow \Sigma H_x = H_0$$

$$\uparrow\uparrow \Sigma H_y = H + H_k$$

Ὄπου H ἡ συνιστῶσα ἡ ὀφειλομένη εἰς τό πηνίον.

$$H = 4\pi i \frac{N}{l} \quad (1)$$

Εἶναι ὁμως :

$$\epsilon\phi(\epsilon+\phi) = \frac{H_k + H}{H_0} \quad (2), \quad H_k = H_0\epsilon\phi\epsilon \quad (3)$$

καί
$$i = \frac{E}{R+r} \quad (4)$$

ἐκ τῶν (1) (2) (3) καί (4) προκύπτει:

$$\Sigma = \frac{1 \cdot H_0(R+r)\epsilon\phi(1+\epsilon\phi\epsilon)}{4\pi N(1-\epsilon\phi\epsilon\phi\epsilon)}$$

☆ Δύο κατακόρυφοι ευθύγραμμοι άγωγοί είναι παράλληλοι και εύρισκονται εις άπόστασιν 10 cm , ό εις από τον άλλον επί έπιπέδου σχηματίζοντος γωνιάν 30° μετά του μαγνητικού μεσημβρινοῦ. Είς τό μέσον τής άποστάσεώς των θέτομεν κατακόρυφον άξονα, περί τόν όποϊόν δύναται νά στρέφεται μικρά μαγνητική βελόνη, μήκους 4 cm. Διαβιβάζομεν έν συνεχεία διά των δύο άγωγών ανιέρροπα και τής αυτῆς έντάσεως ρεύματα και βλέπομεν ότι ή βελόνη στρέφεται και ίσορροπει επί του έπιπέδου των δύο άγωγών. Νά εύρεθῆ ή έντασις του ρεύματος εις τούς δύο άγωγούς, εάν ή έντασις του γηϊνου μαγνητικού πεδίου εις τόν τόπον αυτόν είναι 0,8 Oe , ή δέ μαγνητική έγκλισις 60°



σχ. 171

θεωρω τήν προβολήν των άγωγών και των διανυσμάτων H_1 και H_2 εις όριζόντιον έπίπεδον. θεωρω ως άξονα xOx' τόν διερχόμενον εκ των προβολών των άγωγών και ως άξονα yOy' τήν κοινήν έφαπτομένην των δύο μαγνητικων δυναμικων γραμμων που διερχονται εκ του βορειου πολου τής μαγνητικης βελόνης, εις τήν θέσιν ίσορροπίας της.

'Αλλά τότε είναι: εις τό ΗΜΣΜ

$$H_0 = H_{\text{συνε}}, \quad H_1 = \frac{2i}{a_1} \quad \text{και} \quad H_2 = \frac{2i}{a_2} \quad (1)$$

και διά τήν ίσορροπίαν:

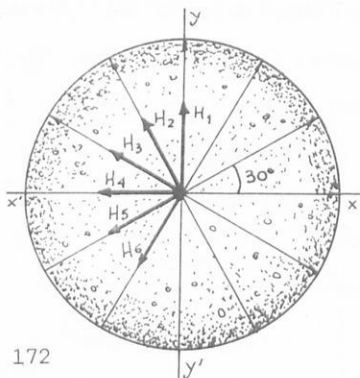
$$H_0 \eta \mu \phi = H_1 + H_2 \quad (2)$$

'Εκ των (1) και (2) έπεται:

$$i = \frac{a_1 a_2}{a_2 + a_1} \cdot H_{\text{συνε}} \cdot \eta \mu \phi = 0,21 \text{ ΗΜΜ-έντ. ρεύματος}$$

★ Ξυλίνη σφαῖρα ἀκτῖνος R περιβάλλεται ὑπό ἕξ σπειρῶν ἐν ὄρματος διατεταγμένων κατὰ μεγίστους κύκλους. Αἱ σπειραίτεμνονται εἰς τὰ ἄκρα A, B διαμέτρου τῆς σφαίρας καὶ σχηματίζουν ἀνά δύο γωνίαν 30° .

Ρεῦμα I κυκλοφορεῖ διὰ τῶν σπειρῶν. Νά εὔρεθῇ ἡ ἔντασις τοῦ μαγν. πεδίου εἰς τὸ κέντρον τῆς σφαίρας.



σχ. 172

Αἱ σπειραι προβάλλονται ἐπὶ ἐπιπέδου μεγίστου κύκλου καὶ καθέτου πρὸς τὰ ἐπίπεδα αὐτῶν.

Λαμβάνομεν τὸ σύστημα xky ὡς εἰς τὸ σχ. 172

Λύσις εἰς τὸ ΗΜΣΜ

$$\text{Προφανῶς } H_1 = H_2 = H_3 = H_4 = H_5 = H_6 = H = \frac{2\pi I}{R}$$

$$\ddagger \Sigma H_x = H_4 + 2H_3 \sin 30 + 2H_2 \sin 60 = H(2 + \sqrt{3})$$

$$\dagger\dagger \Sigma H_y = H_1 + H_2 \sin 30 + H_3 \sin 60 - H_5 \sin 60 - H_6 \sin 30 = H$$

$$H_0 = \sqrt{\Sigma H_x^2 + \Sigma H_y^2}$$

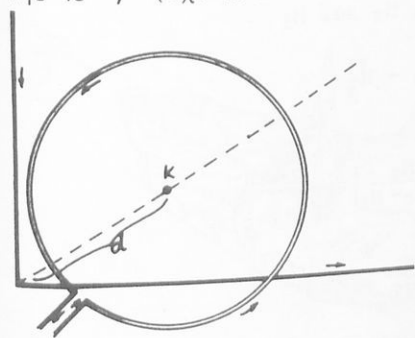
$$H_0 = \sqrt{H^2(2+\sqrt{3})^2 + H^2} = 2H\sqrt{2+\sqrt{3}}$$

$$H_0 = \frac{4\pi I}{R} \sqrt{2 + \sqrt{3}}$$

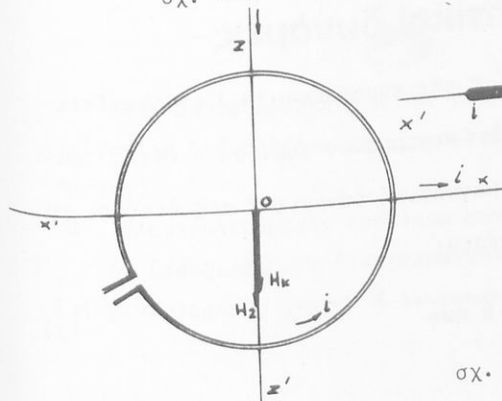
★ Λεπτὸν κυκλικὸν πηνίον ἀποτελεῖται ἀπὸ 4 σπειρες μέσης ἀκτῖνος $\bar{R} = 3,14 \text{ cm}$.

Τὸ ἐπίπεδόν του ταυτίζεται μέ τὸ ἐπίπεδον τοῦ μαγνητικοῦ μεσημβρινοῦ.

Παράλληλως πρὸς τὸ ἐπίπεδον τοῦ μαγνητικοῦ μεσημβρινοῦ τοποθετεῖται ἄγωγός κεκαμμένος κατ' ὀρθὴν γωνίαν μὲ τὸ ἐπίπεδόν του σὲ ἀπόστασιν $d = 30 \text{ cm}$ ἀπὸ τὸ ἐπίπεδον τοῦ μαγνητικοῦ μεσημβρινοῦ. Ὁ ἄγωγός ἔχει τὴν μίαν τῶν πλευρῶν ὀριζοντίαν καὶ τὴν ἄλλην κατακόρυφον ἐνῶ ἡ ὀρθὴ γωνία κεῖται ἐπὶ τοῦ ἄξονος τοῦ πηνίου. Εἰς τὸ κέντρον τοῦ πηνίου εὐρίσκειται μικρὰ μαγνητικὴ βελόνη ἀποκλίσεως. Ἐάν εἶναι $H_0 = 0,2 \text{ Oe}$. ποία ἡ ἔντασις τοῦ ρεύματος πού πρέπει νὰ διαβιβάσωμεν συγχρόνως εἰς πηνίον καὶ εὐθύγραμμον ἄγωγόν ὥστε νὰ ἔχωμεν ἀπόκλισιν βελόνης 45° ; (σχ. 173).

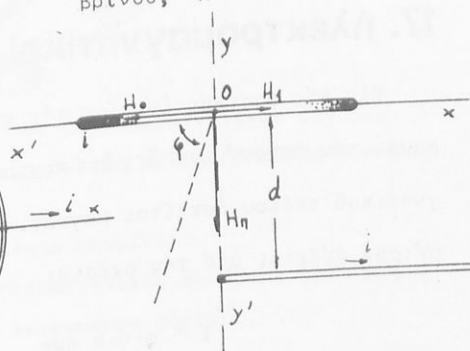


σχ. 173



Λύσις εἰς ΗΜΣΜ:

θεωρῶ τὰς προβολὰς τῶν ἄγωγῶν καὶ τῶν \vec{H} στό ἐπίπεδον τοῦ ὀρίζοντος καὶ στό ἐπίπεδον τοῦ μαγνητικοῦ μεσημβρινοῦ, σχ. 174.



σχ. 174

Διά τὸ πεδῖον εἰς τὸ O ἔχομεν τὰς ἑξῆς συνιστώσας:

1. H_0 = ὀριζοντία συνιστώσα γηῖνου μαγνητικοῦ πεδίου
2. H_K = κατακόρυφος συνιστώσα γηῖνου μαγν. πεδίου
3. H_π = συνιστώσα ἐκ τοῦ πηνίου
4. H_1 = συνιστώσα ἐκ τοῦ κατακορύφου τμήματος τοῦ ἀγωγοῦ.
5. H_2 = συνιστώσα ἐκ τοῦ ὀριζοντίου τμήματος τοῦ ἀγωγοῦ.

$$\text{καί εἶναι } H_\pi = \frac{2\pi i}{R} N, \quad H_1 = \frac{i}{d} \quad H_2 = \frac{i}{d} \quad (\text{τύποι ἡμίσεως})$$

Ἐπειδὴ ἡ βελόνη εἶναι ἀποκλίσεως ἐπιρεάζεται μόνον ἀπὸ τὰς ὀριζοντίας συνιστώσας H_0 , H_π καὶ H_1

$$\leftarrow \Sigma H_x = H_0 - H_1$$

$$+\downarrow \Sigma H_y = H_\pi$$

$$\epsilon\phi\phi = \frac{\Sigma H_y}{\Sigma H_x} = \left(\frac{H_\pi}{H_0 - H_1} \right) = \frac{2\pi i N}{R \left(H_0 - \frac{i}{d} \right)}$$

$$i = \frac{R d H_0 \epsilon\phi\phi}{2\pi d N + R \epsilon\phi\phi}$$

ἀπὸ ὅπου $i = 0,24 \text{ HMM} - \text{ Εντ. ρεύματος ἢ } i = 2,4 \text{ A}$

17. ἠλεκτρομαγνητικαὶ δυνάμεις

Εἰς τὰς βασικὰς ἐννοίας τῆς παραγράφου 14.1. εἶδομεν (πειραματικὸν δεδομένον) ὅτι ἐπὶ κινουμένου φορτίου ἐντὸς μαγνητικοῦ πεδίου ἀσκεῖται μαγνητικὴ δύναμις F τῆς ὁποίας τὸ μέτρον δίδεται ἀπὸ τὴν σχέσιν:

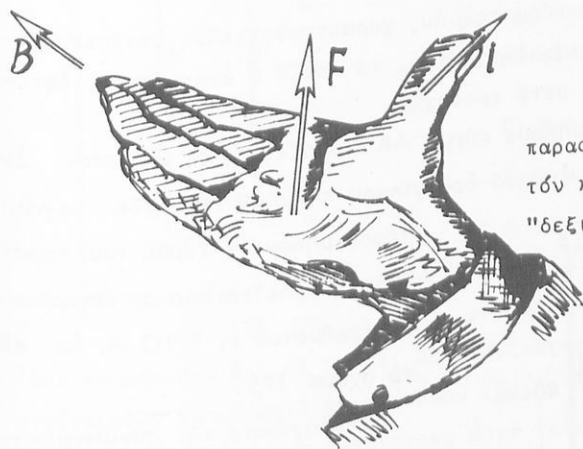
$$F = q \cdot v \cdot B \eta\mu\phi \quad (1)$$

Ἡ (1) ἀπορρέει ἐκ τοῦ ὀρίσμοῦ τῆς Μαγνητικῆς ἐπαγωγῆς.

Εἰς τὴν ἰδίαν παράγραφον ἀπεδείξαμεν διὰ θεωρητικῶν συλλογισμῶν ὅτι ἐπὶ εὐθυγράμμου ρευματοφόρου ἀγωγοῦ ἀσκειῖται ἐντὸς μαγνητικοῦ πεδίου ἠλεκτρομαγνητικὴ δύναμις \vec{F} τῆς ὁποίας τὸ μέτρον εἶναι:

$$F = l i B \eta \mu \phi \quad (2)$$

Ἡ κατεύθυνσις τῆς ἠλεκτρομαγνητικῆς δυνάμεως προσδιορίζεται συντόμως, διὰ τοῦ κανόνος τῆς δεξιᾶς χειρὸς, ὡς ἐν τῷ σχήματι:



παραστατικόν διὰ
τόν κανόνα τῆς
"δεξιᾶς χειρὸς"

Γενικῶς τὰ προβλήματα τῶν ἠλεκτρομαγνητικῶν δυνάμεων ἐπιλύονται διὰ μεθόδων τῆς μηχανικῆς (βλέπε "ΜΕΘΟΔΟΙ" τόμος πρῶτος).

■ Ἡλεκτροδυναμικόν πρόβλημα σημαίνει:

α. Προσδιορισμός ἠλεκτρομαγνητικῆς δυνάμεως ἀσκουμένης ἐπὶ ρευματοφόρου ἀγωγοῦ ἢ κινουμένου φορτίου.

β. Προσδιορισμός της ροπής ζεύγους ηλεκτρομαγνητικών δυνάμεων επί ρευματοφόρου πλαισίου.

Τό πρόβλημα τῶν ηλεκτρομαγνητικῶν δυνάμεων ἐξετάζεται ἀπό δύο ἀπόψεις:

α. Ἡλεκτρομαγνητική ἀποψις

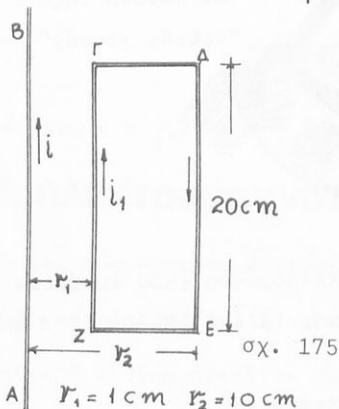
β. Μηχανική ἀποψις

Ἀπό ἡλεκτρομαγνητικήν ἀποψιν μᾶς ἐνδιαφέρει ὁ προσδιορισμός:

1. Τοῦ μαγνητικοῦ πεδίου κατά μέτρον καί κατεύθυνσιν
2. Τοῦ ρεύματος πού διαρρέει τόν ἀγωγόν ἢ τό πλαίσιον
3. Τό μέτρον καί ἡ κατεύθυνσις τῆς ἡλεκτρομαγνητικῆς δυνάμεως.

Δίδομεν κατωτέρω σειράν, χαρακτηριστικῶν ὑποδειγματικῶς, λελυμένων παραδειγμάτων, τά ὅποια ὁ ἀναγνώστης ὀφείλει νά ἀναγνώσῃ μετά προσοχῆς.

★ Τό μεγάλου μήκους σύρμα AB διαρρέεται ὑπό ρεύματος ἐντάσεως $i = 20\text{A}$ ἐνῶ τό ὀρθογώνιον πλαίσιον ἔχον τὰς μεγαλύτερου μήκους πλευράς του παρα-



λήλους πρὸς τό σύρμα, διαρρέεται ὑπό ρεύματος $i_1 = 10\text{A}$, ὡς εἰς τό σχῆμα 175.

Ἐπολογίσατε τήν συνισταμένην δύναμιν τήν ἀσκουμένην, ὑπό τοῦ σύρματος, ἐπί τοῦ πλαισίου, κατά μέτρον διεύθυνσιν καί φοράν.

Λύσις εἰς τό MKSAP. Ὁ AB διαρρεόμενος ὑπό τοῦ ρεύματος i παράγει γύρω του μαγνητικόν πεδίου. Τό πεδίου αὐτό κατά μήκος τοῦ ΓΖ καί τοῦ ΔΕ μπορεῖ νά θεωρηθῇ ὁμογενές.

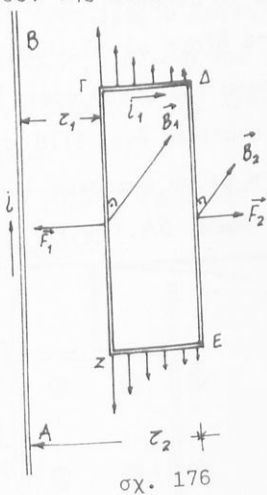
Τό μέτρον τῆς \vec{B} κατά μήκος τοῦ ΓΖ εἶναι:

$$B_1 = \frac{\mu_0 l}{2\pi r_1} \quad (1)$$

ἐνῶ κατά μήκος τοῦ ΔΕ ἡ \vec{B} ἔχει μέτρον

$$B_2 = \frac{\mu_0 l}{2\pi r_2} \quad (2)$$

Αἱ κατευθύνσεις τῶν \vec{B}_1 καί \vec{B}_2 εἶναι κάθετοι πρὸς τὸ ἐπίπεδον τῆς σελίδος μέ φορά πρὸς τὰ μέσα.



Μέ τόν κανόνα τῆς δεξιᾶς χειρὸς προσδιορίζομεν τὰς κατευθύνσεις τῶν ἡλεκτρομαγνητικῶν δυνάμεων \vec{F}_1 καί \vec{F}_2 τῶν ὁποίων τὰ μέτρα εἶναι:

$$F_1 = \iota_1(\Gamma Z)B_1 \quad (3)$$

$$F_2 = \iota_1(\Delta E) \cdot B_2 \quad (4)$$

Αἱ δυνάμεις πού ἀσκούνται ἐπὶ τῶν ΓΔ καί ΖΕ μποροῦν νά ὑπολογισθοῦν.

Ἐάν θεωρήσωμεν ὅτι οἱ ΓΔ καί ΖΕ χωρίζονται εἰς ἴσον πλῆθος στοιχειωδῶν τμημάτων διαπιστώνομεν εὐκόλα ὅτι αἱ ἐπ' αὐτῶν δυνάμεις εἶναι ἀνά δύο ἀντίθετοι, ὥστε τελικῶς ἡ ὀλική δύναμις ἐπὶ τοῦ πλαισίου εἶναι:

$$F = F_1 - F_2 \quad (5)$$

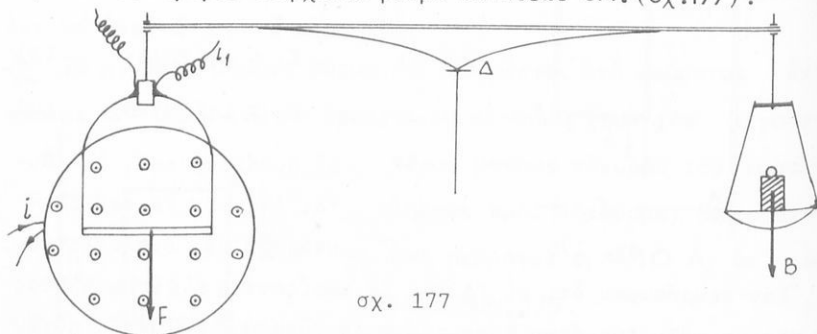
Ἐκ τῶν ἀνωτέρω προκύπτει:

$$F = \frac{\mu_0}{2\pi} i i_1 (rZ) \left(\frac{1}{r_1} - \frac{1}{r_2} \right)$$

$$\eta \quad F = 7,3 \cdot 10^{-4} \text{ Nt}$$

★ Εὐθύς ἄγωγός, μήκους 8 cm, ἐξαρτᾶται ὀριζοντίως ἐκ τῆς φάλαγγος ζυγοῦ διὰ δύο κατακορύφων συρμάτων, τὰ ὅποια συνδέονται πρὸς πηγὴν, χωρὶς ἐκ τούτου νὰ ἐμποδίζονται αἱ κινήσεις τοῦ ζυγοῦ.

Ὁ ἄγωγός τιθεταὶ ἐν συνεχείᾳ εἰς τὸ μέσον ὀριζοντίου ἐπιμήκους σωληνοειδοῦς, καθέτως πρὸς τὸ ἄξονα αὐτοῦ. Ποῖον βᾶρος πρέπει νὰ τεθῆ ἐπὶ τοῦ ἑτέρου δίσκου τοῦ ζυγοῦ πρὸς ἀποκατάστασιν τῆς ἰσορροπίας, ἐάν τὸ σωληνοειδές ἔχει 1118 σπείρας ἀνά 60 cm καὶ δι' αὐτοῦ διέρχεται ρεῦμα ἐντάσεως 10 A, ἐνῶ διὰ τοῦ ἄγωγου διέρχεται ρεῦμα ἐντάσεως 5A. (σχ.177).



σχ. 177

Λύσις εἰς ΗΜΣΜ.

Διὰ τὴν ἰσορροπίαν πρέπει:

$$B = F$$

$$B = i_1 \cdot H \cdot l$$

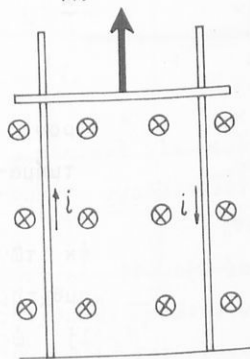
$$B = 4\pi i i_1 \cdot \frac{N}{L} \cdot l$$

καὶ μετὰ τὴν ἀντικατάστασιν: $B = 936 \text{ dynes}$

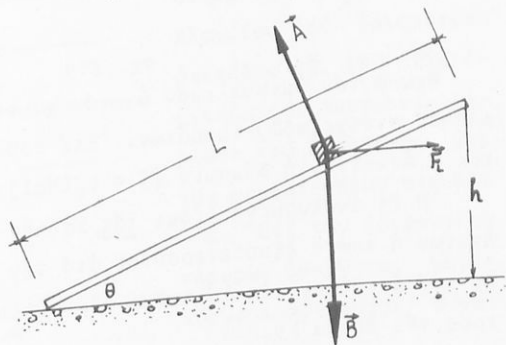
☆ Δύο ισομήκεις μεταλλικοί ράβδοι τοποθετούνται παράλληλα ως αϊ άπέναντι πλευραϊ όρθογωνίου παραλληλογράμμου. Αϊ ράβδοι στηρίζονται κατά τό έν άκρον επί όριζοντίου επιπέδου και κατά τό έτερον επί κατακορύφου τοίχου εις ύψος h . σχ. 178 'Επί τών δύο ράβδων τοποθετείται λεπτή μεταλλική ράβδος βάρους B καθέτως προς τάς παραλλήλους ράβδους. 'Η απόστασις τών παραλλήλων ράβδων είναι l . Τό όλον σύστημα εύρίσκεται εντός όμογενοϋς κατακορύφου μαγνητικού πεδίου έντάσεως H .

Διαβιβάζομεν διά τοϋ συστήματος ρεύμα i και παρατηρούμεν ίσοταχη όλίσθησιν τής λεπτής μεταλλικής ράβδου επί τών δύο παραλλήλων.

Νά εύρεθῆ τό μήκος εκάστης τών παραλλήλων ράβδων. Τριβαϊ δέν υπάρχουν.



σχ. 178



Λύσις εις MKSAP

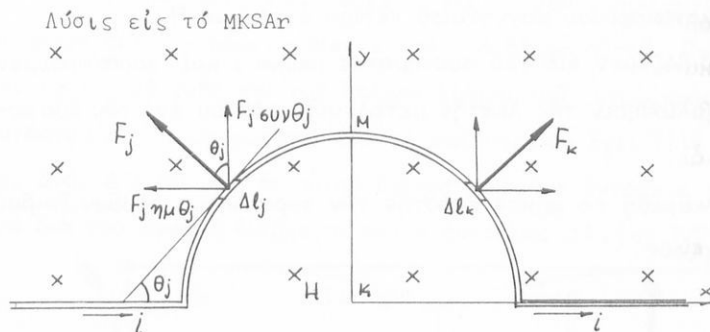
'Εφ' όσον ἡ ράβδος άνέρχεται με σταθεράν ταχύτητα είναι:

$$B \eta \mu \theta = F_L \epsilon \omega \nu \theta$$

$$\eta \text{ ἢ } B \eta \mu \theta = \mu_0 H l i^2 \epsilon \omega \nu \theta$$

$$\begin{aligned} \text{ἀλλά} \quad \eta\mu\theta &= \frac{h}{L} \\ \text{ὁπότε} \quad L &= \sqrt{\left(\frac{B}{\mu_0 H I l}\right)^2 + 1} \cdot h \end{aligned}$$

★ Ἡμικυκλικὸς ἀγωγὸς ἀκτῖνος R διαρρέεται ὑπὸ ρεύματος i καὶ τοποθετεῖται μέ τὸ ἐπίπεδόν του καθέτως πρὸς τὰς δυναμικὰς γραμμὰς ὁμογενοῦς μαγνητικοῦ πεδίου ἐντάσεως H . Ὑπολογίσατε τὴν δύναμιν Laplace ἣτις ἀσκειῖται ἐπὶ τοῦ ἀγωγοῦ.



σχ. 179
 θεωρῶ τὸν ἡμικυκλικὸν ἀγωγὸν χωρισμένον εἰς ἄπειρον πλῆθος στοιχειῶδων τμημάτων. Ἐπὶ τοῦ στοιχειώδους τμήματος j ἀσκεῖται ἡ δύναμις $F_j = \mu_0 i H \Delta l_j \eta\mu\theta_j$

Ἡ F_j ἀναλυομένη δίδει τὰς $F_j \eta\mu\theta_j$ καὶ $F_j \sigma\upsilon\nu\theta_j$ ἐκ τῶν ὁποίων ἡ πρώτη ἐξουδετεροῦται ἀπὸ τὴν συνιστῶσαν $F_k \eta\mu\theta_k$ τῆς F_k ποῦ ἀσκεῖται εἰς τὸ τμήμα Δl_k συμμετρικόν τοῦ Δl_j ὡς πρὸς τὸν ἄξονα ky .

Οὕτως:

$$F = F_1 \sigma\upsilon\nu\theta_1 + F_2 \sigma\upsilon\nu\theta_2 + \dots + F_n \sigma\upsilon\nu\theta_n$$

$$\text{ἢ} \quad F = \mu_0 i H (\Delta l_1 \sigma\upsilon\nu\theta_1 + \Delta l_2 \sigma\upsilon\nu\theta_2 + \dots + \Delta l_n \sigma\upsilon\nu\theta_n)$$

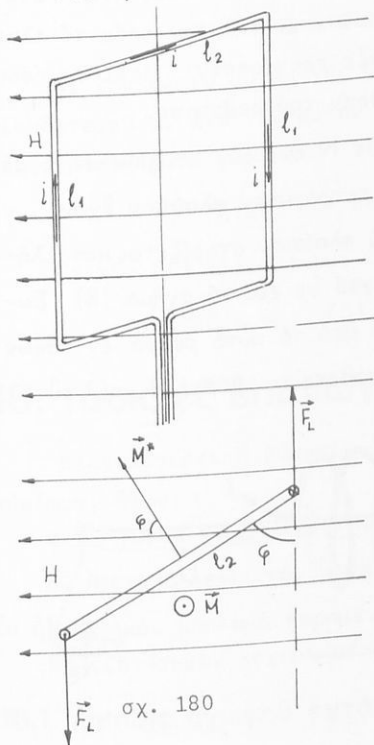
$$\vec{F} = 2\mu_0 i H \cdot R$$

ἀφοῦ τὸ ἐντὸς τῆς παρενθέσεως ἄθροισμα εἶναι ἡ προβολὴ τοῦ ἡμικυκλικοῦ ἀγωγοῦ στὸν ἄξονα xx' . Σημεῖον ἐφαρμογῆς τῆς F εἶναι τὸ μέσον M τοῦ ἀγωγοῦ.

☆ Ὁρθογώνιον πλαίσιον εὑρίσκεται ἐντὸς ὀριζοντίου ὁμογενοῦς μαγνητικοῦ πεδίου ἐντάσεως H μὲ τὰς δύο ἀπέναντι πλευράς του κατακορύφους. σχ. 180.

Τὸ πλαίσιον διαρρέεται ὑπὸ ρεύματος ἐντάσεως i .

Ἐπολογίσατε τὴν ροπήν ἣτις ἀσκεῖται ἐπὶ τοῦ πλαισίου.



Λύσις εἰς ΗΜΣΜ.
θεωρῶ τὴν προβολὴν τοῦ πλαισίου ἐπὶ ὀριζοντίου ἐπιπέδου σχ. 180 καὶ ἐξετάζω τὰς δυνάμεις Laplace ποῦ ἀσκοῦνται ἐπὶ τῶν ρευματοφόρων πλευρῶν α. Ἐπὶ τῶν ὀριζοντίων πλευρῶν ἀσκοῦνται κατακόρυφοι ἀντίθετοι δυνάμεις.

β. Ἐπὶ ἐκάστης τῶν κατακορύφων πλευρῶν ἀσκεῖται δύναμις \vec{F}_L μέτρου:

$$F_L = i l_1 \cdot H$$

Αί δύο δυνάμεις μέτρου F_L ἀποτελοῦν ζεύγος. Τό μέτρον τῆς ροπῆς τοῦ ζεύγους τούτου εἶναι:

$$M = F_L \cdot l_2 \cdot \eta\mu\phi$$

$$\eta \quad M = H i l_1 l_2 \eta\mu\phi$$

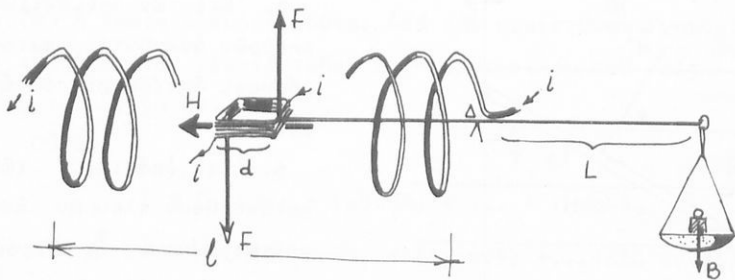
$$\text{ἀλλά: } l_1 l_2 = S \text{ (ἐμφαδόν πλαισίου)}$$

$$\text{συνεπῶς: } M = H i S \eta\mu\phi$$

Ὑπό τήν δρᾶσιν τοῦ ζεύγους τούτου τό πλαίσιον τείνει νά προσανατολισθῆ μέ τό ἐπίπεδόν του κάθετον πρός τὰς δυναμικάς γραμμάς.

■ Ὅριζομεν ὡς μαγνητικήν ροπὴν ἑνὸς ρευματοφόρου πλαισίου ἐν διανυσματικόν μέγεθος τό ὅποϊον παρίσταται διὰ ἀνύσματος \vec{M}^* μέτρου $M^* = Si$ μέ διεύθυνσιν κάθετον πρός τό πλαίσιον καί φοράν ἀντιστοιχοῦσαν εἰς προχώρησιν δεξιοστρόφου κοχλίου στρεφομένου κατὰ τήν φοράν τοῦ ρεύματος.

★ Εἰς τό ἐσωτερικόν σωληνοειδοῦς N σπειρῶν καί μήκους l μέ τόν ἄξονά του ὀριζόντιον τίθεται τετράγωνον πλαίσιον ἔχον n σπείρας καί ἐμβαδόν σπείρας S . Τό πλαίσιον στηρίζεται καταλλήλως εἰς τό ἄκρον τῆς φάλαγγος ζυγοῦ ὡς εἰς τό σχῆμα 181 Σωληνοειδέες καί πλαίσιον διαρρέονται ἀπό τό αὐτό ρεῦμα ἐντάσεως i . Ἐπί τοῦ δίσκου τοῦ ζυγοῦ τοποθετεῖται βᾶρος B καί οὕτω



σχ. 181

ἐπιτυγχάνεται ἡ ὀριζοντίωσις τοῦ πλαισίου. Ὁ πρὸς τὸν δίσκον βραχίων τοῦ ζυγοῦ ἔχει μῆκος L .

Νά εὑρεθῇ σχέσις μεταξύ τῶν i , S , L , N , v , L .

Λύσις εἰς ΗΜΣΜ.

Τό σωληνοειδές διαρρεόμενον ὑπὸ ρεύματος παράγει εἰς τὸ ἐσωτερικόν του ὁμογενές μαγνητικόν πεδίου ἐντάσεως H :

$$H = 4\pi iN \quad (1)$$

Ἐπί τοῦ πλαισίου ἐμφανίζεται ζεύγος δυνάμεων τοῦ ὁποίου ἡ ροπή ἔχει μέτρον M :

$$M = F \cdot d \quad (2)$$

$$\text{μέ } F = v \cdot i \cdot H \cdot d \quad (3)$$

Εἰς τήν θέσιν αὐτήν τῆς ἰσορροπίας ἡ ροπή τοῦ ζεύγους ἐξουδετεροῦται ἀπὸ τήν ροπήν τοῦ βάρους B ὡς πρὸς τὸν ἄξονα περιστροφῆς Δ .

$$\text{ἤτοι: } M = B \cdot L \quad (4)$$

Ἐκ τῶν (1) (2) (3) καί (4) συνάγεται:

$$4\pi v i^2 N S = B L \quad (5) \quad \text{ἀφοῦ } d^2 = S$$

18. τάσις ἐξ ἐπαγωγῆς

Ἡλεκτρεγερτικὴ δύναμις ἐξ ἐπαγωγῆς ἐμφανίζεται εἰς ἓν κύκλωμα, ὅταν:

α. Ἀγωγὸς κινεῖται ἐντὸς μαγνητικοῦ πεδίου.

β. Μεταβάλλεται τὸ "μέγεθος" τοῦ πεδίου ἐντὸς τοῦ ὁποίου ἓν ἠλεκτρικὸν κύκλωμα παραμένει ἀκίνητον.

Θά ἐξετάσωμεν κεχωρισμένως τὰς δύο περιπτώσεις.

18.1. κίνησις ἀγωγῶ ἐντὸς μαγνητικοῦ πεδίου

18.1.1. κίνησις εὐθυγράμμου ἀγωγῶ

Ίσχύει ὁ γενικός τύπος $E_{επ} = - \frac{\Delta\Phi}{\Delta t}$.

Εἰς τὴν περίπτωσιν κινήσεως εὐθύγραμμου ἀγωγοῦ τὸ $\Delta\Phi$ εἶναι ἡ μαγνητική ροή ἢ ὁποῖα διέρχεται διὰ τοῦ ἔμβαδοῦ ΔS τὸ ὁποῖον "σαρῶνει" ἢ "διαγράφει" ὁ ἀγωγὸς εἰς χρόνον Δt .

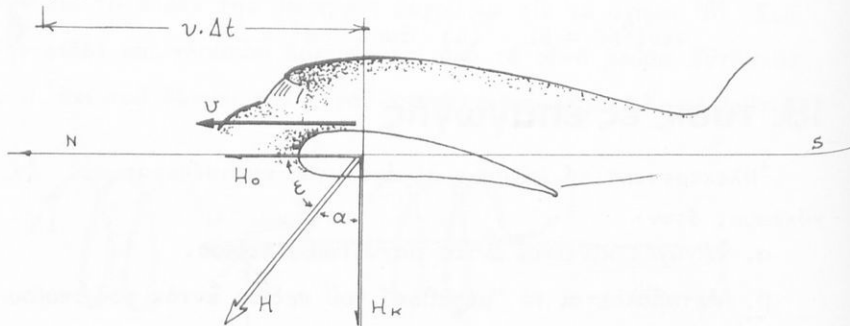
Τὸ πρόσημον, μετὸν, εἰς τὸν ἀνωτέρω τύπον ὑπενθυμίζει μόνον τὴν ἰσχύιν τοῦ νόμου τοῦ LENZ*.

Εἰς τὰ προβλήματα τῆς περιοχῆς αὐτῆς ὁ προσδιορισμὸς τῆς σχέσεως $\Delta\Phi = f(t)$ ἀποτελεῖ καὶ τὴν λύσιν των.

★ Ἀεροπλάνον τοῦ ὁποῖου αἱ πτέρυγες ἔχουν ἄνοιγμα 1 ἴπτα-
ται ὀριζοντίως ἀπὸ νότου πρὸς βορρᾶν μέ ταχύτητα v ἄνωθεν ἐ-
νὸς τόπου ὅπου ἡ μὲν ἔντασις τοῦ γηίνου μαγνητικοῦ πεδίου εἶ-
ναι H ἢ δὲ ἔγκλισις ϵ . Νά εὑρεθῇ ἡ ἐξ ἐπαγωγῆς ἀναπτυσσομέ-
νη ΗΕΔ εἰς τὰ ἄκρα τῶν πτερύγων του.

Λύσις εἰς ΗΜΣΜ.

Θεωρῶ τὰς προβολὰς εἰς τὸ ἐπίπεδον τοῦ μαγνητικοῦ με-
σημβρινοῦ.



σχ. 182

* Τὸ πρόσημον μετὸν (-) τοῦ τύπου $E_{ε} = - \frac{\Delta\Phi}{\Delta t}$ λαμβάνεται ὑπ' ὄψιν μόνον ἐφ' ὅσον πρόκειται νὰ ἐφαρμοσῶμεν τοὺς κανόνας τοῦ Kirchhoff.

Εκ τοῦ $E_{επ} = - \frac{\Delta\Phi}{\Delta t}$ προκύπτει:

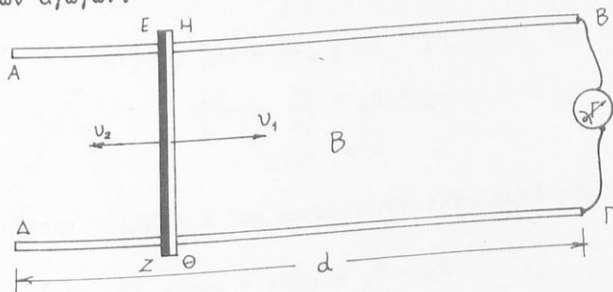
$$E_{επ} = - \frac{\Delta\Phi}{\Delta t} = - \frac{\mu H \lambda \nu \alpha}{\Delta t} = - \frac{\mu H \lambda \nu \cdot \Delta t \sigma \nu \alpha}{\Delta t} = - \mu H \lambda \sigma \nu \alpha$$

καὶ ἐπειδὴ $H \sigma \nu \alpha = H \eta \mu \epsilon = H k$

$$E_{επ} = - \mu H \lambda \eta \mu \epsilon \quad \mu \epsilon \quad \mu = 1 \quad \text{διὰ τὸν ἀέρα.}$$

★ Οἱ ὁδηγοὶ AB καὶ ΓΔ μήκους $d = 2\text{ m}$ ἀπέχουν μεταξύ των $0,8\text{ m}$. Οἱ ἄγωγοὶ EZ καὶ ΗΘ εὑρίσκονται ἀρχικῶς εἰς τὸ μέσον τῆς διατάξεως ὅποτε ἀρχίζουν νὰ κινουῦνται ἀντιθέτως μετὰ ταχύτητας $v_1 = 6\text{ cm/sec}$ καὶ $v_2 = 4\text{ cm/sec}$. Τὸ γαλβανόμετρον ΓΞ-χει ἀντίστασιν $R_r = 9,2\Omega$. Ἡ ὅλη διάταξις εὑρίσκεται ἐντὸς πεδίου μαγνητικῆς ἐπαγωγῆς $B = 500\text{ Gauss}$ εἰς τρόπον ὥστε τὸ \vec{B} νὰ σχηματίζῃ γωνίαν $\varphi = 30^\circ$ μετὰ τὸ ἐπίπεδον ABΓΔ.

Ἐάν οἱ ὁδηγοὶ καὶ οἱ ἄγωγοὶ παρουσιάζουν ἀντίστασιν 1Ω ἀνά τρέχον μέτρον νὰ ὑπολογισθῇ ἡ ἔνδειξις τοῦ γαλβανομέτρου μετὰ πάροδον χρόνου $t = 10\text{ sec}$ ἀπὸ τῆς ἐνάρξεως τῆς κινήσεως τῶν ἀγωγῶν.



Ἀπὸ τὴν προβολὴν ἐπὶ ἐπιπέδου καθέτου πρὸς τὸ ἐπίπεδον τῶν παραλλήλων ὁδηγῶν λαμβάνομεν.

$$V_1 - V_3 = - \frac{B \cdot l_1^2 \Delta\phi}{2\Delta t} \quad \text{καί επειδή} \quad \frac{\Delta\phi}{\Delta t} = \omega$$

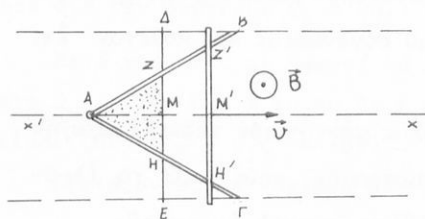
$$V_1 - V_3 = - \frac{1}{2} B l_1^2 \omega \quad (4)$$

$$V_2 - V_3 = - \frac{1}{2} B l_2^2 \omega \quad (5)$$

Έκ τῶν (4) καί (5) δι' ἀφαιρέσεως

$$V_1 - V_2 = - \frac{1}{2} B \omega (l_1^2 - l_2^2)$$

★ Δύο σύρματα AB καί AG, μήκους $l = 50 \text{ cm}$, σχηματίζουν γωνίαν 60° εἰς τὸ ὀριζόντιον ἐπίπεδον. Τρίτον σύρμα ΔΕ ἀπολύτως ὅμοιον μέ τά AB καί AG μετατοπίζεται μέ σταθεράν ταχύτητα $\sqrt{3} \frac{\text{m}}{\text{sec}}$ παραλλήλως πρὸς ἑαυτό καί καθέτως πρὸς τὰς δυναμικὰς γραμμάς ὁμογενοῦς μαγνητικοῦ πεδίου $0,1 \text{ Tesla}$



σχ. 186

μαγνητικοῦ πεδίου $0,1 \text{ Tesla}$

Σχ. 186 Ἡ διεύθυνσις ΔΕ εἶναι κάθετος πρὸς τὴν διχοτόμον Ax τῆς γωνίας ΒΑΓ. Ὑπολογίσατε:

- α) Τὴν Η.Ε.Δ. ἐξ ἐπαγωγῆς εἰς τὴν βάσιν ΒΓ.
 β) Τὸ ἐξ ἐπαγωγῆς ρεῦμα, ἂν ἡ ἀντίστασις ἐκάστου σύρματος εἶναι 1Ω ἀνά m μήκους ($\rho = \Omega/\text{m}$).

Λύσις εἰς τὸ MKSAρ

α) Εἶναι $E_{\text{επ}} = \text{ορ} \frac{\Delta\Phi}{\Delta t}$ (1) ἀλλὰ $\Delta\Phi = BS_2 - BS_1 = B\Delta S$ (2)
 $\Delta t \rightarrow 0$

$$\Delta S = S_2 - S_1 = (AZ'H') - (AZH) = \frac{1}{2} (Z'H')(AM') - \frac{1}{2} (ZH) \cdot (AM)$$

$$\Delta S = \frac{1}{2} \cdot \frac{2}{\sqrt{3}} \cdot (AM')^2 - \frac{1}{2} \cdot \frac{2}{\sqrt{3}} (AM)^2 = \frac{1}{\sqrt{3}} [(AM')^2 - (AM)^2]$$

$$\Delta S = \frac{1}{\sqrt{3}} [v^2(t+\Delta t)^2 - v^2t^2] = \frac{1}{\sqrt{3}} [2v^2t\Delta t + v^2 \cdot \Delta t^2] \quad (3)$$

Έκ τῶν (1), (2) καί (3) \Rightarrow

$$\Rightarrow E_{επ} = - \text{ορ} \frac{B[2v^2t \cdot \Delta t + v^2 \Delta t^2]}{\sqrt{3} \Delta t}$$

$$E_{επ} = - \text{ορ} \frac{B}{\sqrt{3}} (2v^2t + v^2 \Delta t)$$

$$\eta \quad E_{επ} = - \frac{2}{\sqrt{3}} Bv^2t \quad (4)$$

Παρατηρούμεν ὅτι ἡ $E_{επ}$ εἶναι γραμμικὴ συνάρτησις τοῦ χρόνου.

$$\beta) \iota = \frac{E_{επ}}{R} \quad \text{μὲ} \quad R = 3(ZH) \cdot \rho \quad \text{ἀλλὰ} \quad (ZH) = \frac{2}{\sqrt{3}} v \cdot t$$

$$\text{ὁπότε:} \quad \iota = \frac{Bv}{3\rho} = \frac{\sqrt{3}}{30} A = 0,0577 A$$

18.1.2. Κίνησις πλαισίου

Ἰσχύει ὁ γενικὸς τύπος $E_{επ} = - \frac{\Delta\Phi}{\Delta t} \cdot N$

Εἰς τὴν περίπτωσιν αὐτὴν ἡ μεταβολὴ τῆς ροῆς $\Delta\Phi$ δύναται νὰ ὀφείλεται:

α. Εἰς στροφὴν τοῦ πλαισίου ἐντὸς τοῦ πεδίου

β. Εἰς μετατόπισιν τοῦ πλαισίου (π.χ. ταχεῖα ἔξοδος ἐκ τοῦ πεδίου).

Κατωτέρω ἐπιλύονται ὑποδειγματικῶς τὰ ἀντιπροσωπευτικώ-
τερα προβλήματα τῆς περιοχῆς αὐτῆς.

★ Πηνίον περιλαμβάνει 800 σπείρας ἔμβαδοῦ 50 cm². Ἡ ἀν-
τίσταση τοῦ πηνίου εἶναι 10 Ω. Τὰ ἄκρα του συνδέονται πρὸς
γαλβανόμετρον ἀντιστάσεως 90 Ω.

Τὸ πηνίον τοῦτο τοποθετεῖται ἐντὸς ὁμογενοῦς μαγν. πεδίου
ἐντάσεως 800 Oe. ὥστε ὁ ἄξων του νά εἶναι ὀριζόντιος καί πα-
ράλληλος πρὸς τὰς δυναμικὰς γραμμὰς τοῦ πεδίου. Στρέφομεν τὸ
πηνίον κατὰ 180° περὶ κατακόρυφον ἄξονα. Ποῖον φορτίον διήλ-
θε διὰ τοῦ γαλβανομέτρου.

Λύσις εἰς ΗΜΣΜ

Ἡ ΗΕΔ ἣτις προεκάλεσε τὴν ροὴν τοῦ φορτίου δίδεται ὑ-
πὸ τοῦ :

$$E_{\epsilon} = - \frac{\Delta\Phi}{\Delta t} \quad (1)$$

$$\mu\epsilon \quad \Delta\Phi = [\Phi_2 - \Phi_1] = [HSN\sigma\upsilon\nu 180^{\circ} - HSN\sigma\upsilon\nu 0^{\circ}] = 2HSN$$

$$\text{Ἄλλὰ} \quad I_{\epsilon} = \frac{E_{\epsilon}}{R_{\sigma\lambda}} \quad (2) \quad \text{καί} \quad Q_{\epsilon} = I_{\epsilon} \cdot \Delta t \quad (3)$$

Ἐκ τοῦ συνδυασμοῦ τῶν (1) (2) καί (3)

Προκύπτει:

$$(4) \quad Q_{\epsilon} = - \frac{2HSN}{R_{\sigma\lambda}} \quad (\text{Τὸ μετὸν ὑπενθυμίζει τὴν ἰσχύν} \\ \text{τοῦ νόμου τοῦ LENZ})$$

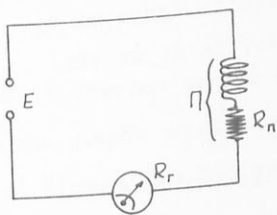
Ἐκ τῶν ἀνωτέρω λαμβάνομεν $Q_{\epsilon} = 6,4 \cdot 10^{-5}$ ΗΜΜ-φορ.

$$\eta \quad Q_{\epsilon} = 6,4 \cdot 10^{-4} \text{ Cb} = 640 \mu\text{Cb}.$$

★ Ένα πηνίον έχει 2000 σπείρας εκάστη τῶν ὁποίων ἔχει ἐπιφάνειαν 10 cm^2 . Ἡ ἀντίστασις τοῦ πηνίου εἶναι 5Ω . Τὸ πηνίον εὑρίσκεται εἰς μαγνητικὸν πεδίων μέ τὰς σπείρας του καθέτους πρὸς τὰς δυναμικὰς γραμμὰς.

Ἐξάγομεν ταχέως τὸ πηνίον ἀπὸ τὸ πεδίων καὶ παρατηροῦμεν ὅτι τὸ γαλβανόμετρον τὸ ὁποῖον ἔχει ἀντίστασιν 15Ω , δεικνύει διόδον ἡλεκτρικοῦ φορτίου $0,1 \text{ Cb}$. Ποία ἡ ἔντασις τοῦ μαγν. πεδίου;

Τὸ ἡλεκτρικὸν ρεῦμα ὀφείλεται εἰς ἐπαγωγικὴν ΗΕΔ καὶ διαρρέει τὰς ἀντιστάσεις τοῦ πηνίου καὶ τοῦ γαλβανομέτρου



σχ. 187

Ἐντὸς τοῦ χρόνου Δt τὸ πηνίον ἐξήλασε ἐκ τοῦ πεδίου. Ἡ μεταβολὴ τῆς μαγνητικῆς ροῆς εἰς ἐκάστην σπείραν εἶναι:

$$\Delta \Phi = |\Phi_2 - \Phi_1|$$

ἢ $\Delta \Phi = HS$ (ἀπολύτως) ἀφοῦ $\Phi_2 = 0$ καὶ $\Phi_1 = HS$

καὶ διὰ N σπείρας

$$\Delta \Phi_{ολ} = HSN \quad (3)$$

$$\text{Ἄλλὰ } E = - \frac{\Delta \Phi_{ολ}}{\Delta t} \quad (4)$$

Ἐκ τῶν (1) (2) (3) &

$$(4) \quad H = \frac{\Delta Q (R_{\pi} + R_r)}{SN} \quad \text{Ἐργαζόμενοι εἰς τὸ ΗΜΣΜ εὐ-}$$

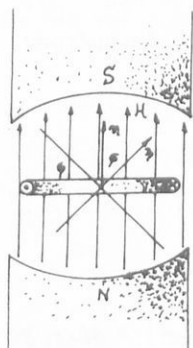
ρίσκομεν $H = 10^4 \text{ Oe}$.

☆ Ὄρθογώνιον πλαίσιον ἔμβαδου S περιστρέφεται περί ἄξονα κάθετον πρὸς τὴν διεύθυνσιν ὁμογενοῦς μαγνητικοῦ πεδίου ἐντάσεως H καὶ παράλληλον πρὸς μίαν τῶν πλευρῶν του ὡς εἰς τὸ σχῆμα. Ἡ περιστροφή γίνεται μέ σταθεράν γωνιακὴν ταχύτητα. Νά εὑρεθοῦν:

α) Ἡ τάσις ἣτις ἐπάγεται εἰς τὸ πλαίσιον συναρτήσῃ τοῦ χρόνου.

β) Ἡ μεγίστη τιμὴ τῆς ἐπαγομένης τάσεως

γ) Ἡ μέση τιμὴ τῆς τάσεως εἰς μίαν ἡμιπερίοδον.



Ἐφ' ὅσον τὸ πλαίσιον περιστρέφεται ἐντὸς τοῦ ὁμογενοῦς πεδίου ἐπάγεται εἰς αὐτὸ τάσις ἣτις ὑπολογίζεται ἐκ τῆς:

$$E_{επ} = - \frac{\Delta\Phi}{\Delta t} \quad (1)$$

ἣτις γράφεται γενικώτερα ὡς:

$$E_{επ} = - \frac{\Delta\Phi}{\Delta t} \quad \text{ἢ} \quad E_{επ} = - \frac{d\Phi}{dt} \quad (2)$$

$$\Delta t \rightarrow 0$$

Δηλαδή ἡ ἐπαγομένη τάσις προκύπτει ἐκ τῆς παραγωγίσεως τῆς ροῆς: $\Phi = HS\sigma\omega\eta\varphi$ (3) μέ $\varphi = \omega t$ (4).

$$\text{Ἦτοι:} \quad E_{επ} = - \frac{d\Phi}{dt} = - \frac{HSd\sigma\omega\eta\omega t}{dt} = - \frac{HS\omega d\sigma\omega\eta\omega t}{d\omega t} = -HS\omega(-\eta\mu\omega t)$$

$$\text{Δηλαδή} \quad E_{επ} = HS\omega\eta\mu\omega t = E_{0\eta\mu\omega t} \quad (5)$$

1. Στιγμιαία τιμὴ τάσεως: $E_{επ} = E_{0\eta\mu\omega t}$

2. Μεγίστη τιμὴ τάσεως: $E_{\max} = E_0 = HS\omega$

3. Μέση τιμὴ εἰς χρόνον ἡμιπεριόδου: Δίδεται ἀπὸ τὴν σχέσιν

$$\bar{E} = \frac{2}{\pi} \cdot E_0$$

18.2. μεταβολή του "μεγέθους" του πεδίου

Ἡ μεταβολή τοῦ "μεγέθους" τοῦ πεδίου δυνατόν νά φεῖλεται:

- I. Εἰς μεταβολήν τῆς ἐντάσεως τοῦ ρεύματος.
- II. Εἰς εἰσαγωγήν ὑλικοῦ ἐντός τοῦ πεδίου.

18.2.1. μεταβολή τῆς ἐντάσεως τοῦ ρεύματος

Γενικῶς ἐκ τῆς μεταβολῆς τῆς ἐντάσεως τοῦ ρεύματος Δι προσδιορίζομεν τήν μεταβολήν ΔH ἢ ΔB τοῦ πεδίου καί ἐξ αὐ- τῆς τήν μεταβολήν ΔΦολ τῆς μαγνητικῆς ροῆς.

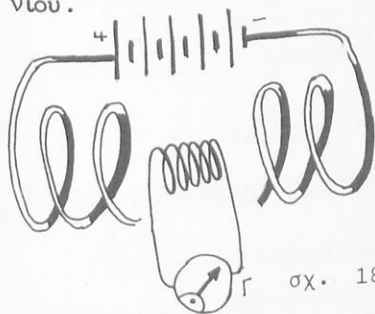
Ἴσχύει ὁ γενικὸς τύπος $E_{επ} = - \frac{\Delta\Phi_{ολ}}{\Delta t}$ μέ τόν ὅποτον συ- σχετίζομεν τά μεγέθη τοῦ ἠλεκτρικοῦ πεδίου μέ τά μεγέθη τοῦ μαγνητικοῦ.

☆ Εἰς τό κέντρον πηνίου μήκους 40 cm καί 500 σπειρῶν το- ποθετεῖται μικρόν πηνίον φέρον 10 σπείρας διατομῆς 8 cm². Ἀρ- χικῶς οἱ ἄξονες τῶν δύο πηνίων συμπίπτουν καί τό ἐξωτερικόν διαρρέεται ὑπό ρεύματος ἐντάσεως 10A. Ἐντός χρόνου 10 sec μεταβάλλομεν τήν ἔντασιν τοῦ ρεύματος τοῦ ἐξωτερικοῦ πηνίου εἰς 20A. Ποία ἡ ΗΕΔ ἐξ ἐπαγωγῆς εἰς τά ἄκρα τοῦ μικροῦ πη- νίου.

Λύσις εἰς τό ΗΜΣΜ

Εἰς τά ἄκρα τοῦ μικροῦ πη- νίου ἐμφανίζεται ΗΕΔ ἐξ ἐ- παγωγῆς

$$E_{ε} = - \frac{\Delta\Phi_{II}}{\Delta t} \quad (1)$$



σχ. 189

$$\Delta\Phi_{II} = S \cdot n \cdot \Delta H \quad (2)$$

$$\Delta H = 4\pi\Delta I \cdot \frac{N}{l} \quad (3)$$

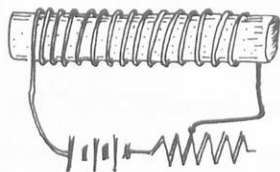
Έκ τῶν (1) (2) καί (3) προκύπτει:

$$E_{\epsilon} = \frac{4\pi n N S \Delta I}{\Delta t} \quad (\text{ἀπολύτως}) \quad (4)$$

Μετὰ τὴν μετατροπὴν τῶν μονάδων καὶ τὴν ἀντικατάστασιν εἰς τὴν (4) προκύπτει:

$$E_{\epsilon} = 160 \cdot \pi \mu\text{V}$$

★ Ὑπολογισμὸς συντελεστοῦ αὐτεπαγωγῆς πηνίου.



σχ. 190

Ἐστὼ πηνίον μήκους l διατομῆς S φέρον N σπείρας καὶ πυρήνα σχετικῆς μαγνητικῆς διαπερατότητος μ .

Θεωρῶ τὸ πηνίον διαρρεόμενον ὑπὸ ρεύματος.

Ὁ ὕπολογισμὸς γίνεται στὸ ΗΜΣΜ:

Ἄν i_1 εἶναι ἡ ἀρχικὴ καὶ i_2 ἡ τελικὴ τιμὴ τῆς ἐντάσεως τοῦ ρεύματος τότε $B_1 = \mu 4\pi i_1 \frac{N}{l}$ ἡ ἀρχικὴ καὶ $B_2 = \mu 4\pi i_2 \frac{N}{l}$ ἡ τελικὴ τιμὴ τῆς μαγνητικῆς ἐπαγωγῆς.

Συνεπῶς:

$$\Delta B = B_2 - B_1 = 4\pi \mu \frac{N}{l} \Delta i$$

ἀλλὰ

$$\Delta\Phi_{ολ} = \Delta B S N$$

καὶ ἐπειδὴ $E_{\epsilon\pi} = - \frac{\Delta\Phi_{ολ}}{\Delta t}$ ἔπεται ὅτι:

$$E_{\epsilon\pi} = - \frac{4\pi \mu S N^2}{l} \cdot \frac{\Delta i}{\Delta t} = - L \frac{\Delta i}{\Delta t}$$

$$\text{ήτοι: } L = \frac{4\pi\mu SN^2}{l}$$

Εἰς τόν ἀνωτέρω τελικόν τύπον τό S μετρεῖται εἰς cm^2 καί τό l εἰς cm ὁπότε τό L ἐξάγεται εἰς HMM συντελ. αὐτεπαγωγῆς.

Ὁ ὑπολογισμός γίνεται στό MKSAP

Ἄν i_1 εἶναι ἡ ἀρχική καί i_2 ἡ τελική τιμή τῆς ἐντάσεως τοῦ ρεύματος, τότε:

$$B_1 = \mu_0 i_1 \frac{N}{l} \quad \text{καί} \quad B_2 = \mu_0 i_2 \frac{N}{l}$$

ἀπό ὅπου δι' ἀφαιρέσεως κατά μέλη

$$\Delta B = \mu_0 \frac{N}{l} \Delta i$$

Συνεπῶς

καί ἐπειδή

$$\Delta \Phi_{ολ} = \Delta B \cdot SN$$

$$E_{επ} = - \frac{\Delta \Phi_{ολ}}{\Delta t} \quad \text{ἔπεται ὅτι:}$$

$$E_{επ} = - \frac{\mu_0 N^2 \cdot S}{l} \cdot \frac{\Delta i}{\Delta t}$$

$$\text{ἢ} \quad E_{επ} = - L \cdot \frac{\Delta i}{\Delta t}$$

$$\text{μέ} \quad L = \frac{\mu_0 N^2 \cdot S}{l}$$

Ἐάν τό S μετρεῖται σέ m^2 καί τό l σέ m ἐνῶ τό $\mu_0 = 4\pi \cdot 10^{-7}$ V.s.A⁻¹m⁻¹ τό L ἐξάγεται σέ Henrys.

1H = 10⁹ HMM - συντ. αὐτεπαγωγῆς

18.2.2. εἰσαγωγή ὕλικου ἐντός τοῦ πεδίου

Εἰσαγωγή ἢ ἐξαγωγή ὕλικου, σχετικῆς μαγνητικῆς διαπερατότητος μ , εἰς τό πεδίου προκαλεῖ μεταβολήν ΔB τοῦ "μεγέθους"

του πεδίου και συνεπώς μεταβολήν $\Delta\Phi$ της μαγνητικής ροής.

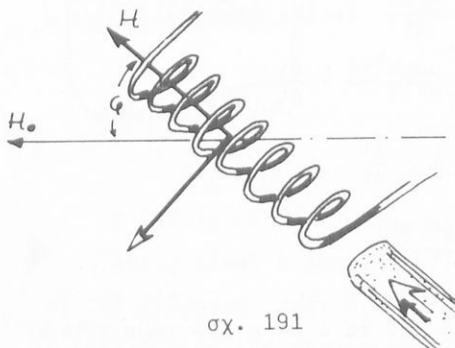
Ο γενικός τύπος $E_{επ} = - \frac{\Delta\Phi}{\Delta t} N$ ισχύει ανεπιφυλάκτως και έδω.

★ Πηνίον φέρει N σπείρας διατομής S και τοποθετείται μέ τόν άξονα του οριζόντιον έντός οριζοντίου μαγν. πεδίου έντάσεως H_0 . Ο άξων του πηνίου σχηματίζει γωνίαν φ μέ τήν διεύθυνσιν του πεδίου. Πυρήν ύλικου μαγν. διαπερατότητος μ εισάγεται είς χρόνον Δt έντός του πηνίου.

Ποία ή ΗΕΔ έξ έπαγωγής ή έμφανιζομένη είς τά άκρα του πηνίου.

Έφαρμογή διά: $H_0 = 120 \text{ Oe.}$, $\Delta t = 0,2 \text{ sec}$, $\varphi = 60^\circ$

$S = 36 \text{ cm}^2$, $\mu = 801$.



σχ. 191

Λύσις είς ΗΜΣΜ

$$\Delta\Phi = |\Phi - \Phi_0| = |BS - B_0S|$$

$$\Delta\Phi = |\mu HS - HS| = HS (\mu - 1) \quad (1)$$

$$\text{μέ } H = H_0 \text{ συν} \varphi \quad (2)$$

$$\text{άλλά } E_{επ} = - \frac{\Delta\Phi}{\Delta t} \quad (3)$$

Έκ τών (1) (2) και (3) προκύπτει:

$$E_{επ} = - \frac{H_0 S (\mu - 1) \text{ συν} \varphi}{\Delta t}$$

$$E_{επ} = 8,64 \cdot 10^5 \text{ ΗΜΜ} - \text{τάσεως} = 8,64 \text{ mV}$$

* Ο τύπος $E_{επ} = - \frac{\Delta\Phi}{\Delta t} \cdot N$ γράφεται και $E_{επ} = - \frac{\Delta\Phi_{ολ}}{\Delta t}$

Άνεξαρτήτως του τρόπου γραφής τό σύμβολον $\Delta\Phi_{ολ}$ έκφράζει όπως και τό $\Delta\Phi \cdot N$ τήν όλικήν μεταβολήν της ροής.

ΠΙΝΑΞ 3. ΤΥΠΟΙ ΗΛΕΚΤΡΟΜΑΓΝΗΤΙΣΜΟΥ

Αίτιολογία τύπου	Τύποι ανεξάρτητου συστήματος	Τύποι εξαρτώμενοι εκ του συστήματος		Παρατηρήσεις
		ΗΜΣΜ	MKSAr	
Νόμος Biot-Savart		$\Delta B = \mu \cdot i \frac{\Delta l}{r^2} \eta \mu \phi$	$\Delta B = \frac{\mu \mu_0 i \Delta l}{4\pi r^2} \eta \mu \phi$	
Νόμος Coulomb		$F = \frac{1}{\mu} \frac{m_1 m_2}{r^2}$	$F = \frac{1}{4\pi \mu_0} \frac{m_1 m_2}{r^2}$	σφαιρική συμμετρία
Ωληνοειδές		$H = 4\pi i \frac{N}{l}$	$H = i \frac{N}{l}$	
Ενταση μαγνητικού πεδίου εις σημειον μαγνητικής επαγωγής B		$H = \frac{1}{\mu} B$	$H = \frac{1}{\mu \mu_0} B$	
Ενταση μαγνητικού πεδίου εις σημειον A αυτου	$H = \frac{F}{m}$			
Μαγνητική ροή	$\phi = BS \eta \mu \phi$			
Νόμος Laplace	$F = i l B \eta \mu \phi$			
Αλληλεπιδράσεις εϋθυγράμμων ρευματοφόρων άγωγων		$F = \frac{2 i_1 i_2 l}{r}$	$F = \frac{\mu_0}{2\pi} \cdot \frac{i_1 i_2 l}{r}$	Κυλινδρική συμμετρία
ΗΕΔ έξ επαγωγής	$E_{εκ} = - \frac{\Delta \phi}{\Delta t} N$			
ΗΕΔ έξ αυτεπαγωγής	$E_{α} = -L \frac{\Delta i}{\Delta t}$			
Ενέργεια μαγν. πεδίου ωληνοειδοϋς	$W = \frac{1}{2} Li^2$			

* Τύποι του MKSAr άπορρέοντες εκ του νόμου Biot-Savart δίδουν τούς αντίστοιχους του ΗΜΣΜ δι' άντικατάστασης του μ_0 με 4π .

** Τύποι του ΗΜΣΜ άπορρέοντες εκ του νόμου του Biot-Savart περιέχοντες τ' μ δίδουν τούς αντίστοιχους του MKSAr διά πολλαπλασιασμου του μ με $\frac{\mu_0}{4\pi}$.

ΠΙΝΑΚ 4. ΜΕΤΕΘΗ ΗΛΕΚΤΡΙΣΜΟΥ
ΣΥΜΒΟΛΑ - ΜΟΝΑΔΕΣ - ΔΙΑΣΤΑΣΕΙΣ

Α/Α	ΜΕΤΕΘΗ	Σύμβολο	Τύπος όρισμού		Μονάδες			Σχέσεις μονάδων	Διαστάσεις	
			ΗΜΜ	ΜΚΣΑρ	ΗΜΜ	ΜΚΣΑρ	ΗΜΜ		ΜΚΣΑρ	
1	Ποσότης μαγνητισμού	m	$F = \frac{1}{\mu} \frac{m_1 m_2}{r^2}$	ΜΚΣΑρ	ΗΜΜ	ΜΚΣΑρ				
2	Ένταση ρεύματος	I, i, I	$H = \frac{2\pi i}{R}$	*	ΙΗΜΜ-Έντ. ρεύματος	1 A	1A $\Rightarrow 10^{-1}$ ΗΜΜ-Έντ. ρεύματος	$\frac{1}{2}, \frac{1}{2}, -1$	0, 0, 0, 1	
3	Ηλεκτρικόν φορτίον	Q, q	$Q = i \cdot t$	$Q = i \cdot t$	ΙΗΜΜ-φ	1 Cb	1Cb $\Rightarrow 10^{-1}$ ΗΜΜ-φ.	$\frac{1}{2}, \frac{1}{2}, 0$	0, 0, 1, 1	
4	Ένταση μαγνητικού πεδίου	H	$H = \frac{F}{m}$	$H = i \frac{N}{l}$	1 Oe	$\frac{1 \text{Aστρ}}{m}$	$1 \frac{\text{Aστρ}}{m} \Rightarrow \frac{4\pi}{10^3} \text{Oe}$	$-\frac{1}{2}, \frac{1}{2}, -1$	-1, 0, 0, 1	
5	Μαγνητική επαγωγή	B	$B = \mu H$	$F = BIl\eta\mu\phi$	1 Gauss	$1 \frac{\text{Weber}}{m^2} = 1 \text{Tesla}$	1 Tesla $\Rightarrow 10$ Gauss	$-\frac{1}{2}, \frac{1}{2}, -1$	0, 1, -2, -1	
6	Ηλεκτρική τάσις	V, V, E	$V = \frac{W}{Q}$	$V = \frac{W}{Q}$	ΙΗΜΜ-Τασ.	1 V	1 V $\Rightarrow 10^8$ ΗΜΜ-τάσις	$\frac{3}{2}, \frac{1}{2}, -2$	2, 1, -3, -1	
7	Ηλεκτρική αντίστασις	R, r	$R = \frac{V}{I}$	$R = \frac{V}{I}$	ΙΗΜΜ-άντιστα.	1 Ω	1 Ω $\Rightarrow 10^9$ ΗΜΜ-άντιστα.	1, 0, -1	2, 1, -3, -2	
8	μαγνητική ροή του B	φ	$\phi = \mu HS$	$E_{\text{επ}} = -\frac{\Delta\phi}{\Delta t}$	1 Mx	1 Weber	1 Weber $\Rightarrow 10^8$ ΑΧ	$\frac{3}{2}, \frac{1}{2}, -1$	2, 1, -2, -1	
9	Συντελεστής αὐτεπαγωγῆς	L	$E = -L \frac{\Delta i}{\Delta t}$	$E = -L \frac{\Delta i}{\Delta t}$	ΙΗΜΜ-συντ. αὐτεπαγ.	1 H	1 H $\Rightarrow 10^9$ ΗΜΜ-συντ. αὐτεπαγ.	1, 0, 0	2, 1, -2, -2	

* "Ampere, είναι ἡ ἔνταση ἀμεταβλήτου ρεύματος, διαρρέοντος δύο παραλλήλους ἀγωγούς, ἀπείρου μήκους καὶ ἀμελητέας διατομῆς, ἀπέχοντες κατὰ 1m, εἰς τὸ κενόν, τὸ ὅπου προκαλεῖ δύναμιν μεταξύ τῶν ἀγωγῶν τοῦτων ἴσπν πρὸς 2×10^{-7} Ντ ἀπὸ μέτρον μήκους".

δυναμική του ηλεκτρονίου

19. γενικά

Εἰς τό παρόν κεφάλαιον ἐξετάζεται ἡ συμπεριφορά ἑνός ἑλευθέρου ἠλεκτρονίου μέσα σέ διάφορα ἠλεκτρικά καί μαγνητικά πεδία. Ἐπειδή ἡ μᾶζα τοῦ ἠλεκτρονίου θεωρεῖται ἀμελητέα δέν λαμβάνεται ὑπ' ὄψιν, εἰς τά ἐπόμενα, ἡ δρᾶσις τοῦ πεδίου βαρύτητος.

Ἡ κίνησις τοῦ ἠλεκτρονίου μελετᾶται:

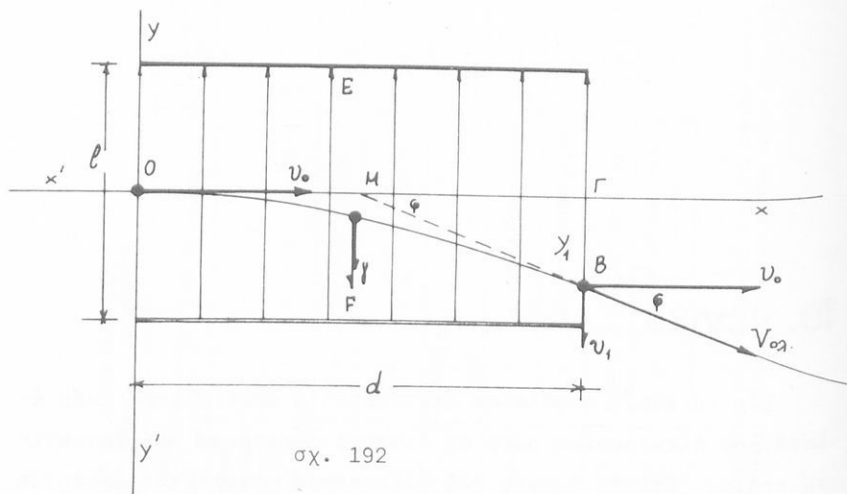
- α. ἐντός ὁμογενοῦς ἠλεκτρικοῦ πεδίου
- β. ἐντός ὁμογενοῦς μαγνητικοῦ πεδίου.
- γ. ἐντός συνδεδιασμένου ἠλεκτρικοῦ καί μαγνητικοῦ πεδίου.

Εἰς τά ἐπόμενα τό σύμβολον e παριστᾶ τό φορτίον τοῦ ἠλεκτρονίου ἐνῶ τό σύμβολον m παριστᾶ τήν μᾶζαν του.

Ἡ ἐπεξεργασία τῶν θεμάτων γίνεται στό ΗΜΣΜ καί θεωροῦμεν τό ἠλεκτρόνιον κινούμενον εἰς τό κενόν.

19.1 κινήσις e ἐντός ὁμογενοῦς ἠλεκτρικοῦ πεδίου

★ Ἡλεκτρόνιον κινούμενον μέ ταχύτητα u_0 εἰσέρχεται ἐντός ὁμογενοῦς ἠλεκτρικοῦ πεδίου καθέτως πρὸς τὴν διεύθυνσίν του.



Τὸ πεδίον ἀσκεῖ ἐπὶ τοῦ ἠλεκτρονίου δύναμιν, τῆς ὁποίας τὸ μέτρον εἶναι $F = E \cdot e$ καὶ ἡ διεύθυνσις συμπίπτει μέ τὴν διεύθυνσιν τοῦ πεδίου.

Ἡ δύναμις F προσδίδει εἰς τὸ ἠλεκτρόνιον ἐπιτάχυνσιν, συγγραμμικὴν μέ τὴν δύναμιν, τῆς ὁποίας τὸ μέτρον εἶναι:

$$\gamma = \frac{Ee}{m}$$

Τὸ ἠλεκτρόνιον τῶρα ἐκτελεῖ σύνθετον κίνησιν, ἡ ὁποία εἶναι σύνθεσις:

α. Μιᾶς εὐθύγραμμου ὁμαλῆς κατὰ τὸν ἄξονα x μέ ταχύτητα u_0 .

β. Μιας εὐθυγράμμου ὁμαλῶς ἐπιταχυνομένης, χωρίς ἀρχικὴν ταχύτητα κατὰ τὸν ἄξονα y , μέ σταθεράν ἐπιτάχυνσιν:

$$\gamma = \frac{Ee}{m}$$

Διὰ τὰς κινήσεις α καὶ β ἰσχύουν.

$$x = v_0 \cdot t \quad (1)$$

$$y = \frac{1}{2} \gamma t^2 \quad (2)$$

Δι' ἀπαλοιφῆς τοῦ χρόνου t μεταξύ τῶν (1) καὶ (2) προκύπτει:

$$y = \frac{1}{2} \frac{Ee}{m} \frac{x^2}{v_0^2} \quad (3)$$

Ἡ (3) εἶναι ἡ ἐξίσωσις τῆς "παραβολικῆς" τροχιάς τοῦ ἠλεκτρονίου

Παρατηρήσεις:

α. Ἐκ τοῦ (3) διὰ $x = d$ λαμβάνομεν:

$$y_1 = \frac{1}{2} \cdot \frac{e}{m} \cdot E \frac{d^2}{v_0^2}$$

β. Μετὰ τὴν ἔξοδον ἐκ τοῦ πεδίου τὸ ἠλεκτρόνιον θὰ ἔχη κίνησιν ὁμαλὴν εὐθύγραμμον μέ ταχύτητα v_0 , ἥτις θὰ εἶναι ἡ συνισταμένη τῆς v_0 καὶ τῆς συνιστώσης v_1 , κατὰ τὴν διεύθυνσιν Oy , τὴν ὁποίαν ἀπέκτησε εἰς χρόνον t_1 :

$$t_1 = \frac{d}{v_0}$$

μέχρις ὅτου ἐξέλθῃ ἐκ τοῦ πεδίου.

γ. Ἡ συνιστώσα v_1 εἶναι:

$$v_1 = \gamma t_1 = \frac{eEd}{m\nu_0} \quad (5)$$

δ. Ἡ γωνία ἐκτροπῆς δίδεται ἐκ τῆς:

$$\epsilon\phi\phi = \frac{v_1}{v_0} = \frac{eEd}{m\nu_0^2} \quad (6)$$

ε. Ἐφ' ὅσον τὸ πεδῖον εἶναι ὁμογενές ἰσχύει:

$$E = \frac{V}{l}$$

στ. Τὸ μέτρον τῆς $v_{0\lambda}$ εἶναι:

$$v_{0\lambda} = \sqrt{v_0^2 + v_1^2} \quad (7)$$

ζ. Ἐκ τοῦ σχήματος φαίνεται ὅτι:

$$\epsilon\phi\phi = \frac{y_1}{(M\Gamma)}$$

$$\text{ἀλλὰ } \epsilon\phi\phi = \frac{eEd}{m\nu_0^2} \quad \text{καί } y_1 = \frac{1}{2} \frac{eE}{m} \cdot \frac{d^2}{v_0^2}$$

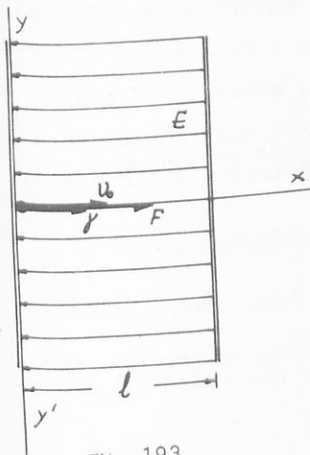
ἐξ αὐτῶν προκύπτει:

$$(M\Gamma) = \frac{d}{2} \quad (8)$$

Ἦτοι: Ἡ ἐφαπτομένη τῆς τροχιᾶς τοῦ ἠλεκτρονίου εἰς τὸ σημεῖον ἐξόδου τοῦ ἐκ τοῦ πεδίου, προεκτεινομένη διέρχεται ἀπὸ τὸ μέσον M τῆς ΟΓ.

★ Ἡλεκτρόνιον μέ ταχύτητα v_0 εἰσέρχεται ἐντὸς ὁμογενοῦς ἡ-

ληκτρικού πεδίου έντάσεως E και κινείται παράλληλα προς τας δυναμικάς γραμμάς.



σχ. 193

Τό πεδόν άσκει επί τοσ ήλεκτρονίου τήν δύναμιν:

$$F = E \cdot e$$

ή όποία τοσ προσδίδει έπιτάχυνσιν:

$$\gamma = \pm \frac{e}{m} E$$

Συνεπώς, ή κίνησις τοσ ήλεκτρονίου, έντός τοσ πεδίου, είναι κίνησις εύθυγραμμος όμαλώς μεταβαλλομένη (έπιταχυνομένη ή έπιβραδυνομένη άναλογα μέ τήν φοράν τοσ πεδίου, έν σχέσει προς τήν φοράν τής άρχικής

ταχύτητος).

Συνεπώς:

$$x = u_0 t \pm \frac{1}{2} \gamma t^2$$

$$\text{ή } x = u_0 t \pm \frac{1}{2} \frac{e}{m} E t^2 \quad (9)$$

Παρατήρησις:

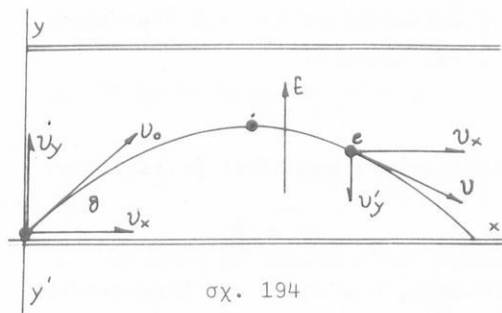
'Εδόθη άνωτέρω ότι:

$$\gamma = \pm \frac{e}{m} E.$$

Τό πρόσημον (+) ίσχύει διά τήν περίπτωσην, καθ'ήν τό ήλεκτρόνιον εισέρχεται έκ τοσ άρνητικος όπλισμοσ. Τό (-) ίσχύει διά τήν περίπτωσην καθ'ήν τό ήλεκτρόνιον εισέρχεται έκ τοσ θετικος όπλισμοσ.

★ Τό ήλεκτρόνιον εισέρχεται εις τό όμογενές ήλεκτρικόν πε-

δόν, μέ ταχύτητα u_0 τῆς ὁποίας ἡ διεύθυνσις σχηματίζει γωνίαν θ μέ τήν κάθετον πρός τήν διεύθυνσιν τοῦ πεδίου



σχ. 194

Ἡ ταχύτης u_0 ἀναλύεται εἰς 2 συνιστώσας u_x καί u_y , κάθετον καί παραλληλον πρός τήν ἔντασιν τοῦ πεδίου ἀντιστοίχως:

$$\begin{aligned} u_x &= u_0 \sigma\upsilon\eta\theta \\ u_y &= u_0 \eta\mu\theta \end{aligned} \quad (10)$$

Συνεπῶς ἡ κίνησις τοῦ ἠλεκτρονίου εἶναι σύνθεσις δύο κινήσεων.

- μιᾶς ὁμαλῆς κατά τόν ἄξονα x
- μιᾶς ἐπιβραδυνομένης, κατά τόν y

Διὰ τὰς κινήσεις α καί β ἰσχύουν:

$$x = u_0 t \sigma\upsilon\eta\theta \quad (11)$$

$$y = u_0 t \eta\mu\theta - \frac{1}{2} \gamma t^2 \quad (12)$$

$$\text{μέ } \gamma = \frac{eE}{m}$$

Ἐκ τῶν (11) καί (12) δι' ἀπαλοιφῆς τοῦ χρόνου λαμβάνεται:

$$y = x \epsilon\phi\theta - \frac{1}{2} \frac{eE}{m} \frac{x^2}{u_0^2 \sigma\upsilon\eta^2\theta} \quad (13)$$

Ἡ (13) εἶναι ἡ ἐξίσωσις τῆς "παραβολικῆς" τροχιᾶς.

Παρατηρήσεις:

- Ἡ σχέσις (13) εἶναι τῆς ἰδίας μορφῆς μέ τήν ἐξίσωσιν τῆς τροχιᾶς βλήματος εἰς τήν πλαγίαν βολήν, χωρίς ἀν-

τίστασιν άέρος.

β. Το βέλος της τροχιάς εύρίσκεται έκ της (12) διδ

$$t_1 = \frac{m v_0}{e E} \eta \mu \theta, \text{ ίσον προς:}$$

$$y_{\mu} = \frac{m v_0^2}{2 e E} \eta \mu^2 \theta \quad (14)$$

Ο χρόνος t_1 είναι ο χρόνος έντός του όποιου μηδενί-
ται ή u_y .

γ. Το y_{μ} αντιστοιχεί είς x_{μ} :

$$x_{\mu} = \frac{m v_0^2}{e E} \eta \mu \theta \text{ συν} \theta$$

δ. Το βεληνεές είναι $2x_{\mu}$:

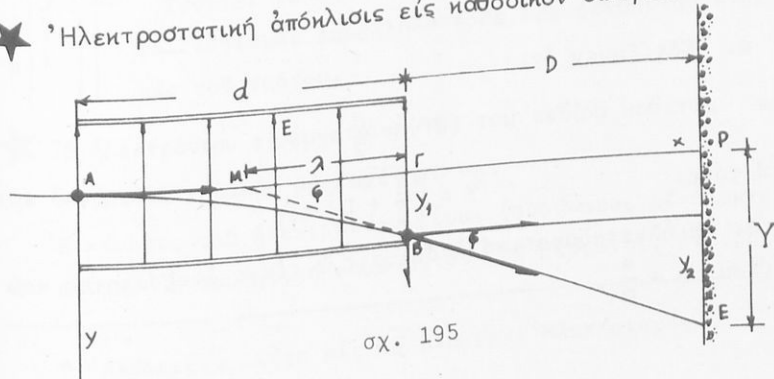
$$2x_{\mu} = \frac{m v_0^2}{e E} \eta \mu 2\theta \quad (15)$$

το όποτον γίνεται μέγιστον, διδ σταθερά v_0 & E όταν $\theta = 45^\circ$.

ε. Διδ μικράς απόκλίσεις από την γωνίαν των 45° δέν έ-
χομεν ουσιώδη επίδρασιν επί του μεγίστου βεληνεοός.

Συνεπώς ήλεκτρονία, τά όποτα έκκινουόν μέ γωνίας έλα-
φρώς διαφερούσας των 45° "έστιάζουόν" είς τό αύτό βεληνεές.

★ Ήλεκτροστατική απόηλσις είς καθοδικόν σωλήνα.



σχ. 195

Τό ηλεκτρόνιον ἐπιταχυνόμενον εἰς τόν, μεταξύ καθόδου καί ἀνόδου, χώρον ἀποκτᾷ ταχύτητα v_0 , μέ τήν ὁποίαν εἰσέρχεται ἐντός τοῦ πεδίου καθέτως πρὸς τὰς δυναμικὰς γραμμὰς αὐτοῦ.

Τό ηλεκτρόνιον ἔχει ταχύτητα v_0 , τήν ὁποίαν ὑπολογίζομεν ἐκ τοῦ ἔργου ποῦ παράγει τό πεδίων καθόδου καί ἀνόδου.

$$\frac{1}{2} m v_0^2 = e V_0 \quad (16)$$

Ἡ V_0 εἶναι ἡ μεταξύ καθόδου καί ἀνόδου τάσις.

Εἶδαμεν ὅτι:

$$y_1 = \frac{1}{2} \frac{e E d^2}{m v_0^2}$$

καί
$$e \phi = \frac{e E d}{m v_0^2}$$

Ἐκ τοῦ σχήματος φαίνεται ὅτι:

$$y_2 = D e \phi = \frac{e E D d}{m v_0^2} \quad (17)$$

Ἄρα

$$Y = y_1 + y_2$$

$$Y = \frac{1}{2} \frac{e E d}{m v_0^2} (2D + d) \quad (18)$$

Παρατήρησις:

α. Ἐδείξαμεν ὅτι:

$$(M\Gamma) = \frac{d}{2}$$

ἀλλὰ τότε:

$$Y = \left(\frac{d}{2} + D \right) e \phi$$

β. Ἡ ηλεκτροστατικὴ ἀπόκλισις Y εἶναι ἀνεξάρτητος τοῦ πηλίκου, $\eta = \frac{e}{m}$.

19.2. κινήσεις e εντός όμογενοῦς μαγνητικοῦ πεδίου

Ἡλεκτρόνιον εἰσέρχεται ἐντός όμογενοῦς μαγνητικοῦ πεδίου μέ ταχύτητα v_0 , τῆς όποίας ἡ διεύθυνσις σχηματίζει γωνίαν φ μέ τήν διεύθυνσιν τοῦ πεδίου. Ἐπί τοῦ ἠλεκτρονίου ἀσκεῖται τότε, δύναμις Laplace, τῆς όποίας τό μέτρον εἶναι:

$$F_L = \mu H v_0 \eta \mu \varphi \text{ εἰς τό ΗΜΣΜ} \quad (1)$$

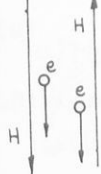
$$\text{ἢ } F_L = \mu_0 H v_0 \eta \mu \varphi \text{ εἰς τό ΜΚΣΑρ*} \quad (2)$$

★ Τό ἠλεκτρόνιον εὐρίσκεται ἀκίνητον ἐντός τοῦ πεδίου.

Εἰς τήν περίπτωσιν αὐτήν οὐδεμία δύναμις ἀσκεῖται, ἐκ τοῦ μαγνητικοῦ πεδίου, εἰς τό ἠλεκτρόνιον. Τό ἠλεκτρόνιον παραμένει ἀκίνητον. Τοῦτο ἐξάγεται εἴτε ἐκ τοῦ όρισμοῦ τοῦ μαγνητικοῦ πεδίου εἴτε ἐκ τῶν (1) καί (2)

★ Τό ἠλεκτρόνιον κινεῖται κατά τήν διεύθυνσιν τοῦ πεδίου.

Καί στήν περίπτωσιν αὐτήν δέν ἀσκεῖται, ἐπί τοῦ ἠλεκτρονίου, δύναμις ἀπό τό μαγνητικόν πεδίου. Τοῦτο ἀπορρέει εἴτε ἐκ τῶν ἀνωτέρω τύπων διά $\varphi = 0^\circ$ ἢ $\varphi = 180^\circ$, εἴτε ἐκ τοῦ όρισμοῦ τῆς διεύθυνσεως τοῦ πεδίου.

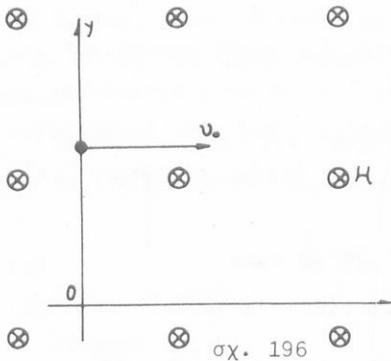


Συνεπῶς τό ἠλεκτρόνιον θά ἐξακολουθῇ νά κινηται ἰσοταχῶς παράλληλα πρὸς τὰς δυναμικὰς γραμμάς τοῦ πεδίου.

★ Τό ἠλεκτρόνιον εἰσέρχεται ἐντός τοῦ πεδίου καθέτως πρὸς τὰς δυναμικὰς γραμμάς μέ ταχύτητα v_0 .

Ἡ κίνησις τοῦ ἠλεκτρονίου εἶναι ἰσοδύναμος μέ ἠλεκτρικόν ρεῦμα. Ἡ συμβατική φορά αὐτοῦ τοῦ ρεύματος, ἐπειδή τό

* Ἀπόδειξιν βλέπε εἰς τό βιβλίον: Ἡλεκτρισμός
Γ. Πνευματικοῦ.



φορτίον τοῦ ἠλεκτρονίου εἶναι ἀρνητικόν, εἶναι ἀντίθετος πρὸς τὴν φοράν κινήσεώς του.

Ἐπὶ τοῦ ἠλεκτρονίου ἀσκεῖται ἡ μαγνητικὴ δύναμις:

$$F_M = \mu \cdot e \cdot v_0 \cdot H \quad (3)$$

($\mu = 1$ διὰ τὸ κενὸν ἢ τὸν ἀέρα)

Ἡ δύναμις F_M εἶναι διαρκῶς κἀθετος πρὸς τὴν ταχύτητα. Συνεπῶς:

- α. Τὸ μέτρον τῆς ταχύτητος παραμένει σταθερόν.
- β. Τὸ ἐπίπεδον τῆς τροχιάς τοῦ ἠλεκτρονίου παραμένει κἀθετον πρὸς τὴν διεύθυνσιν τοῦ πεδίου.
- γ. Μεταβάλλεται μόνον, ἡ διεύθυνσις τῆς ταχύτητος τοῦ ἠλεκτρονίου εἰς τὸ ἐπίπεδον τῆς τροχιάς του.
- δ. Τὸ ἠλεκτρονιον ἀποκτᾷ σταθεράν κεντρομόλον ἐπιτάχυνσιν, τῆς ὁποίας τὸ μέτρον εἶναι:

$$\gamma_K = \frac{v_0^2}{R} \quad (4)$$

Τὸ ἠλεκτρονιον λοιπὸν κινεῖται ὁμαλῶς ἐπὶ κυκλικῆς τροχιάς, τῆς ὁποίας ἡ ἀκτίς R ὑπολογίζεται ὡς ἀκολούθως:

Μαγνητικὴ δύναμις = Κεντρομόλος δύναμις

$$e v_0 H = m \frac{v_0^2}{R}$$

$$R = \frac{m v_0}{e H} \quad (5)$$

Παρατηρήσεις

- α. Ἡ γωνιακὴ ταχύτης περιστροφῆς εἶναι:

$$\omega = \frac{v_0}{R} = \frac{e}{m} \cdot H \quad (6)$$

Ἐκ τῆς (6) φαίνεται ὅτι διὰ τὸ ὁμογενές πεδίου εἶναι καὶ $\omega = \text{σταθερά}$.

Ἡ γωνιακὴ ταχύτης ω καλεῖται "Συχνότης κύκλωτρον".

β. Σταθερά εἶναι ἐπίσης ἡ περίοδος τῆς κινήσεως καὶ ἀνεξάρτητος τῆς ταχύτητος, ἴση πρὸς:

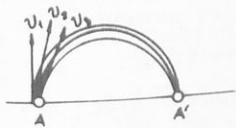
$$T = \frac{2\pi}{\omega} = \frac{2\pi m}{eH} \quad (7)$$

Ἐξ αὐτοῦ συμπεραίνομεν ὅτι:

Ἡλεκτρόνια τὰ ὁποῖα ἐκπέμπονται συγχρόνως ὑπὸ πηγῆς με διαφόρους ταχύτητας ἐπὶ ἐπιπέδου καθέτου πρὸς τὴν διεύθυνσιν ὁμογενοῦς μαγνητικοῦ πεδίου, ἐπανέρχονται συγχρόνως εἰς τὴν πηγὴν.

γ. Ὁμοιομορφον μαγνητικὸν πεδίου, παρουσιάζει δυνατότητα ἐστίασεως δέσμης ἠλεκτρονίων.

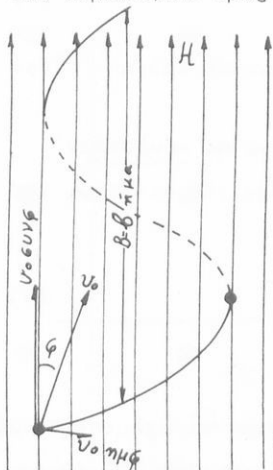
Πράγματι ἠλεκτρόνια εἰσερχόμενα ἐντὸς πεδίου εἰς ἓν σημεῖον αὐτοῦ, με ταχύτητας τοῦ αὐτοῦ μέτρου ἀλλὰ με διευθύνσεις διαφερούσας κατὰ πολὺ μικρὰς γωνίας συγκλίνουν εἰς τὸ αὐτὸ σημεῖον, ἀντιδιαμετρικὸν τοῦ σημείου εἰσόδου.



★ Τὸ ἠλεκτρόνιον εἰσέρχεται εἰς τὸ πεδίου με ταχύτητα v_0 τῆς ὁποίας ἡ διεύθυνσιν σχηματίζει τυχούσαν γωνίαν ϕ με τὴν διεύθυνσιν τοῦ πεδίου.

Ἀναλύομεν τὴν ταχύτητα v_0 εἰς δύο συνιστώσας, κάθετον

καὶ παράλληλον πρὸς τὴν διεύθυνσιν τοῦ πεδίου.



$$v_{\kappa} = v_0 \eta \mu \varphi$$

$$v_{\pi} = v_0 \sigma \nu \varphi$$

(8)

Παρατηροῦμεν ὅτι:

α. Ἡ v_{κ} προκαλεῖ μαγνητικὴν δύναμιν

$$F_{\mu} = e v_0 \eta H \mu \varphi$$

καὶ τὸ ἠλεκτρόνιον θὰ διαγράψῃ κυκλικὴν τροχιάν ἀκτίνας

σχ. 197

$$R = \frac{m v_0 \eta \mu \varphi}{e H}$$

ἐπὶ ἐπιπέδου καθέτου πρὸς τὴν διεύθυνσιν τοῦ πεδίου.

β. Ἡ συνιστώσα $v_{\pi} = v_0 \sigma \nu \varphi$ παραμένει σταθερά, ἀφοῦ δὲν ἀσκεῖται δύναμις, ἐκ τοῦ πεδίου κατὰ τὴν διεύθυνσίν της, καὶ τὸ ἠλεκτρόνιον κινεῖται εὐθύγραμμως καὶ ἰσοταχῶς.

Ἡ σύνθεσις τῶν κινήσεων α καὶ β δίδει ἑλικοειδῆ σταθεροῦ βήματος.

Παρατηρήσεις

α. Τὸ βῆμα B τῆς ἑλικος εἶναι ἡ ἀπόστασις μεταξὺ δύο διαδοχικῶν σημείων αὐτῆς, ἐπὶ τῆς αὐτῆς γενετείρας.

Τὸ βῆμα B διανύεται μὲ ταχύτητα v_{π} σὲ χρόνον μιᾶς περιόδου T .

$$B = v_{\pi} \cdot T = T v_0 \sigma \nu \varphi$$

ἀλλὰ

$$T = \frac{2\pi R}{v_{\kappa}} = \frac{2\pi m}{eH}$$

ὁθεν

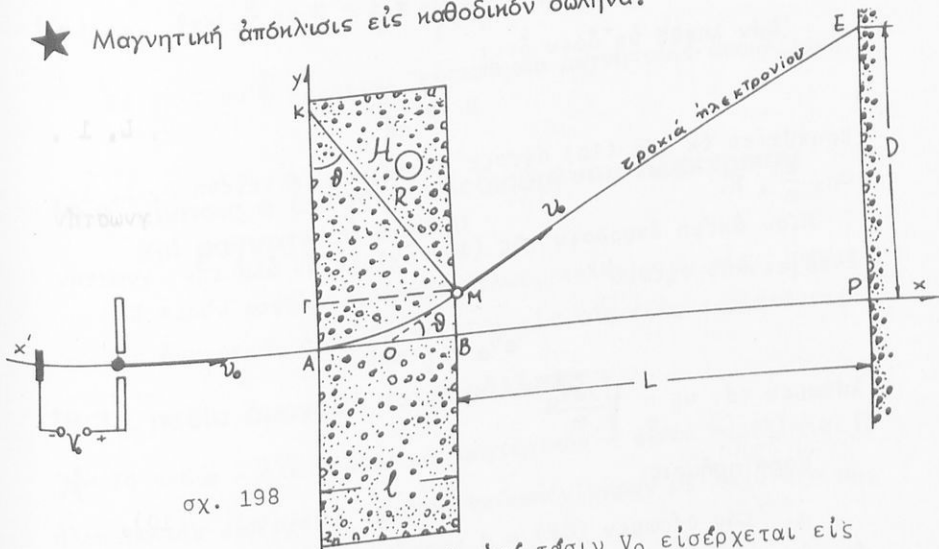
$$B = \frac{2\pi m}{eH} v_0 \sigma \nu \varphi \quad (9)$$

β. Ἐὰν $\varphi \ll 1$ τότε $\sigma \nu \varphi \approx 1$ καὶ ἄρα,

$$B = \frac{2\pi m}{eH} v_0$$

Ἐξ αὐτοῦ συμπεραίνομεν ὅτι, ὅλα τὰ ἠλεκτρόνια τὰ ὁποῦα εἰσέρχονται εἰς τὸ πεδὸν καὶ εἰς τὸ αὐτὸ σημεῖον Α, μὲ τὸ αὐτὸ μέτρον ταχύτητος καὶ διευθύνσεις διαφερούσας κατὰ μικρὰς γωνίας, ἐστιάζουσι εἰς τὸ αὐτὸ σημεῖον.

★ Μαγνητικὴ ἀπόκλισις εἰς καθοδικὸν σωλῆνα.



σχ. 198

Τὸ ἠλεκτρόνιον ἐπιταχυνθὲν ὑπὸ τάσιν V_0 εἰσέρχεται εἰς τὸ πεδὸν, καθέτως πρὸς τὰς δυναμικὰς γραμμὰς, μὲ ταχύτητα v_0 .

Ἐκ τῆς γεωμετρίας τοῦ σχήματος διακρίνεται ὅτι:

$$(OA) = (OM), \quad (KA) = (KM) = R$$

Τὸ ΚΑΟΜ ἐγγράψιμον, ἄρα $\angle AKM = \angle EOP = \angle \theta$ καὶ ἐκ τοῦ ΚΓΜ, $\eta\mu\theta = \frac{1}{R}$.

Τριγωνομετρικῶς προκύπτει:

$$\epsilon\phi\theta = \frac{1}{\sqrt{R^2-1^2}}, \quad \epsilon\phi\frac{\theta}{2} = \sqrt{\frac{1}{1^2}-1} - \sqrt{\frac{R^2}{1^2}-1}, \quad \sigma\upsilon\eta\theta = \frac{\sqrt{R^2-1^2}}{R}$$

$$\text{Εἶναι ὁμῶς: } (OP) = L + l - (AO) = L + l - R\epsilon\phi\frac{\theta}{2}$$

$$\text{ἄλλὰ } \epsilon\phi\theta = \frac{D}{(OP)}$$

$$\text{Ἄρα: } D = (OP) \epsilon\phi\theta = (L + l - R\epsilon\phi\frac{\theta}{2})\epsilon\phi\theta \quad (10)$$

Ἐάν ληφθῆ ὑπ' ὄψιν ὅτι:

$$R = \frac{m\upsilon_0}{eH}$$

προκύπτει ἐκ τῆς (10) σχέσις συνδέουσα τὰ μεγέθη D , L , l , υ_0 , $\frac{e}{m}$, H .

Μίαν ἀκόμη ἔκφρασιν τῆς (10) ἔχομεν ἂν ἀπὸ τὴν γνωστὴν ἐνεργειακὴν σχέσιν

$$eV_0 = \frac{1}{2} m\upsilon_0^2$$

$$\text{λάβωμεν τὸ } \upsilon_0 = \sqrt{\frac{2eV_0}{m}}$$

Παρατηρήσεις:

α. Ἐάν θέσωμεν $(OP) = d$ προκύπτει, ἀντὶ τῆς (10), ἡ ἔκφρασις:

$$D = \frac{d l \eta H}{\sqrt{2\eta V_0 - 1^2 H^2}} \quad (11)$$

$$\text{μὲ } \eta = \frac{e}{m}$$

β. Ἄν ὑποθέσωμεν ὅτι τὸ $\eta\mu\theta = \frac{1}{R}$ εἶναι πολὺ μικρὸν, τότε $\eta\mu\theta \approx \theta$ σὲ rad, καὶ ἡ (10) δίδει:

$$D = d \epsilon\phi\theta = d \frac{1}{\sqrt{R^2-1^2}} \approx d \cdot \frac{1}{R}$$

$$\eta \quad D = \frac{d \ln H}{v_0}$$

$$D = \frac{d \ln H}{\sqrt{2nV_0}} \quad (12)$$

καί τελικῶς:

γ. Ἐκ τῆς (12) προκύπτει:

$$\frac{D}{H} = \sqrt{\frac{\eta}{2V_0}} \cdot dl$$

Τό πηλίκον $\frac{D}{H}$ καλεῖται "εὐαίσθησά μαγνητικῆς ἀποκλίσεως".

19.3. κινήσεις e ἐντός συνδεδιασμένου ἠλεκτρικοῦ καί μαγνητικοῦ πεδίου

Τό παρόν πρόβλημα, ἀναμφιβόλως, πολύπλοκον εἰς στοιχειώδη ἀντιμετώπισιν, ἐξετάζεται εἰς τὰς ἑξῆς περιπτώσεις:

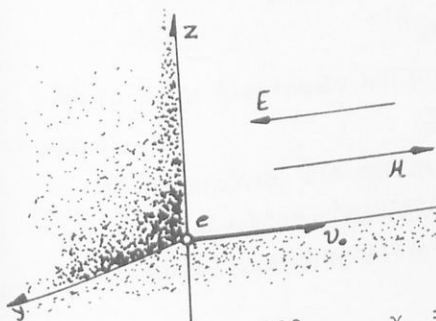
19.3.1. πεδία ὁμογενῆ καί παράλληλα

★ Τά πεδία - ἠλεκτρικόν καί μαγνητικόν - εἶναι παράλληλα. Τό ἠλεκτρόνιον εἰσέρχεται εἰς τόν πεδιακόν χῶρον μέ ταχύτητα v_0 , κατά τήν διεύθυνσιν τῶν πεδίων.

Ἐξ ὧσων ἀνεφέρθησαν εἰς τὰ προηγούμενα, συμπεραίνομεν ὅτι:

α. Τό ἠλεκτρικόν πεδίων ἐπιταχύνει τήν εὐθύγραμμον κίνησιν τοῦ ἠλεκτρονίου.
Ἡ ἐπιτάχυνσις ἴση πρός:

$$\gamma = \frac{eE}{m}$$



σχ. 199

είναι σταθερά δι'όμογενές ηλεκτρικόν πεδίου.

Ἡ ἐξίσωσις τῆς κινήσεως $S = f(t)$ εἶναι:

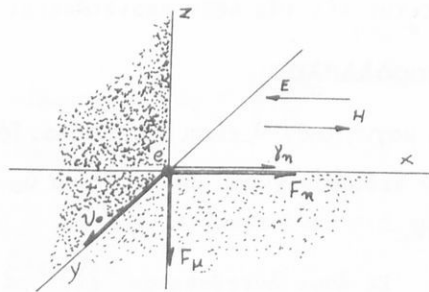
$$S = v_0 t + \frac{1}{2} \frac{eE}{m} t^2 \quad (1)$$

β. Τό μαγνητικόν πεδίου οὐδὲως ἐπιδρᾶ ἐπὶ τῆς κινήσεως.

Παρατήρησις:

Ἐάν ἡ ταχύτης v_0 καί ἡ ἔντασις τοῦ πεδίου E ἔχουν τὴν αὐτὴν φοράν ἢ κίνησις, θὰ εἶναι ἐπιβραδυνομένη.

★ Τά πεδία - ηλεκτρικόν καί μαγνητικόν - εἶναι παράλληλα. Τό ἠλεκτρόνιον εἰσέρχεται εἰς τόν πεδιακόν χῶρον μέ ταχύτητα v_0 , καθέτως πρὸς τὴν διεύθυνσιν τῶν πεδίων.



σχ. 200 $F_H = eE$

ἥτις προσδίδει ἐπιτάχυνσιν

$$\gamma_H = \frac{eE}{m}$$

ἥτις εἶναι σταθερά δι'όμογενές ηλεκτρικόν πεδίου.

Συνεπῶς τό ἠλεκτρόνιον μετέχει εὐθύγραμμου, ὁμαλῶς ἐπιταχυνομένης κινήσεως.

Ἡ ἐξίσωσις, $S = f(t)$, τῆς κινήσεως εἶναι:

Εὐκόλα συμπεραίνομεν ὅτι:

α) Τό ηλεκτρικόν πεδίου ἀσκεῖ κατά τὴν διεύθυνσίν του, ἐπὶ τοῦ ἠλεκτρονίου δύναμιν:

$$x = \frac{1}{2} \frac{eE}{m} t^2 \quad (2)$$

β. Το μαγνητικό πεδίο άσκει επί του ηλεκτρονίου δύναμιν:

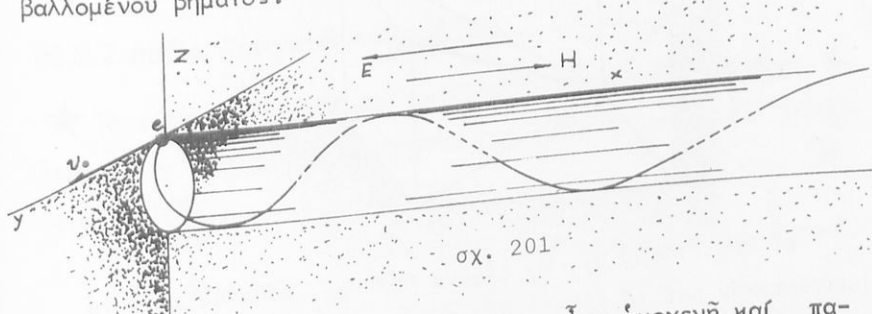
$$F_{\mu} = e v_0 H$$

ἣτις προσδίδει κεντρομόλον επιτάχυνσιν, σταθεράν δι' ὁμογενές πεδίου:

$$\gamma_k = \frac{v_0^2}{R} \quad \mu\epsilon \quad R = \frac{m v_0}{e H}$$

καί τὸ ηλεκτρόνιον θά γράψῃ κυκλικήν τροχιάν.

γ. Τελικῶς, ἡ κίνησις τοῦ ηλεκτρονίου θά εἶναι σύνθεσις τῶν κινήσεων α καί β. Δηλαδή τὸ ηλεκτρόνιον διαγράφει ἔλλακα, ἑλισσομένη ἐπὶ κυλινδρικήσ ἐπιφανείασ ἀκτίνοσ R, μεταβαλλομένου βήματοσ.



★ Τά πεδία ἠλεκτρικόν καί μαγνητικόν εἶναι ὁμογενῆ καί παράλληλα.

Τὸ ἠλεκτρόνιον εἰσέρχεται εἰς τόν πεδϊακόν χῶρον μέ ταχύτητα v_0 , τυχούσης διευθύνσεωσ.

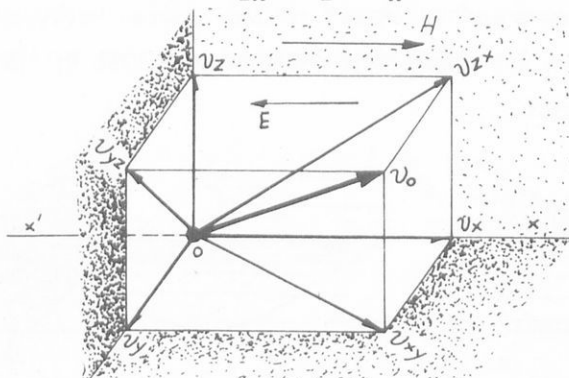
Ἡ v_0 περιέχει τὰσ συνιστώσασ v_x, v_y, v_z .

Ἐκ τοῦ σχήματος 202 προκύπτει:•

$$\begin{aligned}\vec{v}_0 &= \vec{v}_x + \vec{v}_y + \vec{v}_z \\ \vec{v}_{xy} &= \vec{v}_x + \vec{v}_y \\ \vec{v}_{yz} &= \vec{v}_y + \vec{v}_z \\ \vec{v}_{zx} &= \vec{v}_z + \vec{v}_x\end{aligned}\quad (3)$$

ἢ ἀναλυτικῶς:

$$\begin{aligned}v_0^2 &= v_x^2 + v_y^2 + v_z^2 \\ v_{xy}^2 &= v_x^2 + v_y^2 \\ v_{yz}^2 &= v_y^2 + v_z^2 \\ v_{zx}^2 &= v_z^2 + v_x^2\end{aligned}\quad (4)$$



σχ. 202

Αἱ συνιστώσαι v_z , v_y ὀρίζονται τὴν v_{zy} κάθετον πρὸς τὸ μαγνητικὸν καὶ τὸ ἠλεκτρικὸν πεδίον.

Εὐκόλα συμπεραίνομεν ὅτι:

α. Τὸ ἠλεκτρόνιον ἐπιταχύνεται κατὰ τὸν ἄξον $x'ox$ ὑπὸ τοῦ ἠλεκτρικοῦ πεδίου.

Τὸ μέτρον τῆς ἐπιταχύνσεως εἶναι:

$$\gamma_x = \frac{eE}{m} \quad (5)$$

καὶ ἡ ἐξίσωσις τῆς κινήσεως εἶναι:

$$x = v_x t + \frac{1}{2} \frac{eE}{m} t^2 \quad (6)$$

β. Το ηλεκτρόνιο υπό την επίδραση της μαγνητικής δύναμης,

$$F_\mu = e \cdot v_y z \cdot H \quad (7)$$

έκτελεει κυκλική κίνηση ακτίνας

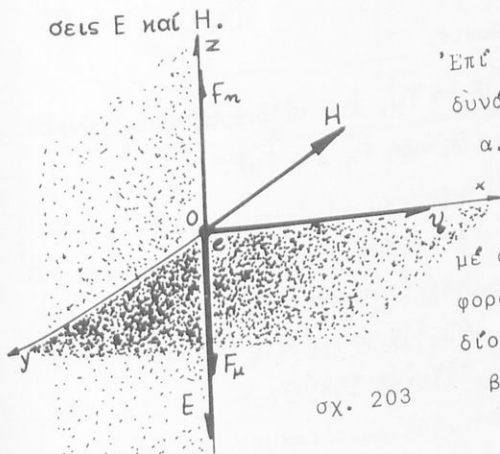
$$R = \frac{m \sqrt{v_y^2 + v_x^2}}{eH} \quad (8)$$

γ. Η σύνθεση των δύο ανωτέρω κινήσεων, είναι έλικοειδής μεταβαλλόμενου βήματος.

Η προβολή της τροχιάς επί το επίπεδο yOz είναι περιφέρεια ακτίνας R .

19.3.2 πεδία όμογενή και κάθετα

★ Τα πεδία ηλεκτρικών και μαγνητικών είναι κάθετα και το ηλεκτρόνιο εισέρχεται με ταχύτητα v_0 καθέτως προς τας έντασεις E και H .



σχ. 203

Επί του ηλεκτρονίου ασκούνται δυνάμεις:

α. εκ του ηλεκτρικού πεδίου

$$F_\eta = eE \quad (1)$$

με φοράν αντίθετον προς την φοράν της έντασεως του ήλ. πεδίου.

β. εκ του μαγνητικού πεδίου

$$F_{\mu} = e u_0 H \quad (2)$$

Ἡ F_{μ} εἶναι διαρκῶς κἀθετος πρὸς τὴν ταχύτητα τοῦ ἠλεκτρονίου.

Εἰς τὴν θέσιν 0 αἱ F_{η} καὶ F_{μ} ἔχουν τὴν αὐτὴν ἢ ἀντίθετον φοράν, ἀναλόγως τῆς σχετικῆς φορᾶς τῶν H καὶ E .

Ἡ κίνησις τοῦ ἠλεκτρονίου, ὑπὸ τὴν ἐπίδρασιν τῶν F_{η} καὶ F_{μ} θὰ εἶναι σύνθεσις:

α. Ἐπιπέδου κινήσεως, παραβολικῆς τροχιᾶς, ἄρα τοῦ ἠλεκτρικοῦ πεδίου, τῆς μορφῆς

$$z = \frac{1}{2} \frac{eE}{m u_0^2} \cdot x^2 \quad (3)$$

β. Κυκλικῆς κινήσεως ἀκτίνου R :

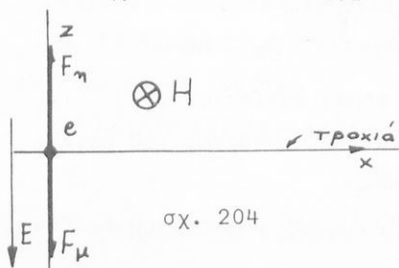
$$R = \frac{m u_0}{eH} \quad (4)$$

ἄρα τοῦ μαγνητικοῦ πεδίου.

Ἡ σύνθεσις τῶν κινήσεων α καὶ β δίδει, ἐν γένει πολυπλοκὸν ἐπίπεδον κίνησιν, τῆς ὁποίας ἡ στοιχειώδης ἀντιμετώπισις δέν εἶναι πάντοτε δυνατὴ.

■ Διακρίνω τὰς ὑποπεριπτώσεις.

■ Ἄν $u_0 = \frac{E}{H}$, δηλαδή ἂν $F_{\eta} = F_{\mu}$, ἐνῶ αἱ διευθύνσεις τῶν E καὶ H ἔχουν ὡς εἰς τὸ σχῆμα (δηλαδή $\vec{F}_{\eta} = -\vec{F}_{\mu}$).



Εἰς τὴν περίπτωσιν αὐτὴν τὸ ἠλεκτρόνιον κινεῖται εὐθύγραμμως καὶ ἰσοταχῶς, διότι ἔχομεν πλήρη ἔξουδετέρωσιν τῶν ἀποκλίσεων τῶν δύο πεδίων.

■ "Αν $u_0 < \frac{E}{H}$ δηλαδή αν $F_\mu < F_\eta$:

Εἰς τὴν περίπτωσιν αὐτήν, ἀφοῦ $F_\eta > F_\mu$, ἡ τροχιά καμπυλοῦται ἀρχικῶς πρὸς τὰ ἄνω.

Ἡ μαγνητικὴ δύναμις F_μ εἶναι κάθετος ἐπὶ τὴν τροχιάν, καὶ ἐν τῷ αὐτῷ ἐπιπέδῳ.

Ἡ F_η περιέχει ἐπιτρόχιον,

$$F_\eta \cdot \sin\varphi$$

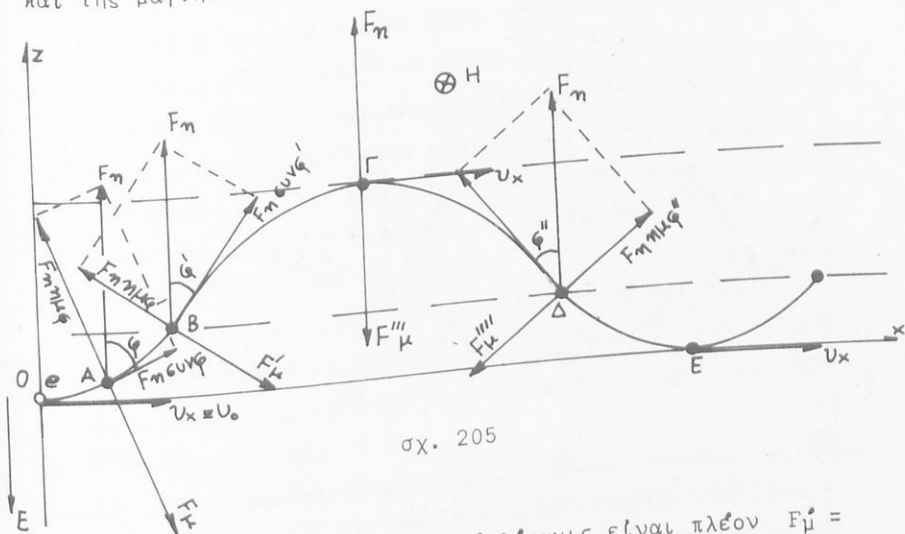
(5)

καὶ κεντρομόλον, συνιστῶσα,

$$F_\eta \cdot \eta\mu\varphi$$

(6)

"Αρα ἔχομεν αὐξησιν τῆς γραμμικῆς ταχύτητος καὶ τῆς μαγνητικῆς δυνάμεως F_μ συνεπῶς



σχ. 205

Εἰς τὸ σημεῖον B ἡ μαγνητικὴ δύναμις εἶναι πλέον $F_\mu' = F_\eta \eta\mu\varphi'$. Τὸ B εἶναι σημεῖον καμπῆς. Ἡ τροχιά κάμπτεται ἤδη πρὸς τὰ κάτω διότι ἰσχύει πλέον $F''\mu > F_\eta \eta\mu\varphi'$.

Λόγω τῆς καμπυλώσεως πρὸς τὰ κάτω ἐλαττοῦται ἡ ἐπιτρό-

χιος συνιστώσα της F_n , ἄρα καὶ ἡ ταχύτης τοῦ ἠλεκτρονίου, ὅποτε ἐλαττοῦται καὶ ἡ μαγνητικὴ δύναμις.

Οὕτω εἰς τὸ Γ ἡ ταχύτης λαμβάνει πάλιν τὴν τιμὴν u_0 ἀλλὰ ἡ F''' μ' ἐξακολουθεῖ νὰ εἶναι μεγαλύτερα τῆς F_n .

Εἰς τὸ Γ ἔχομεν ἓνα "μέγιστον".

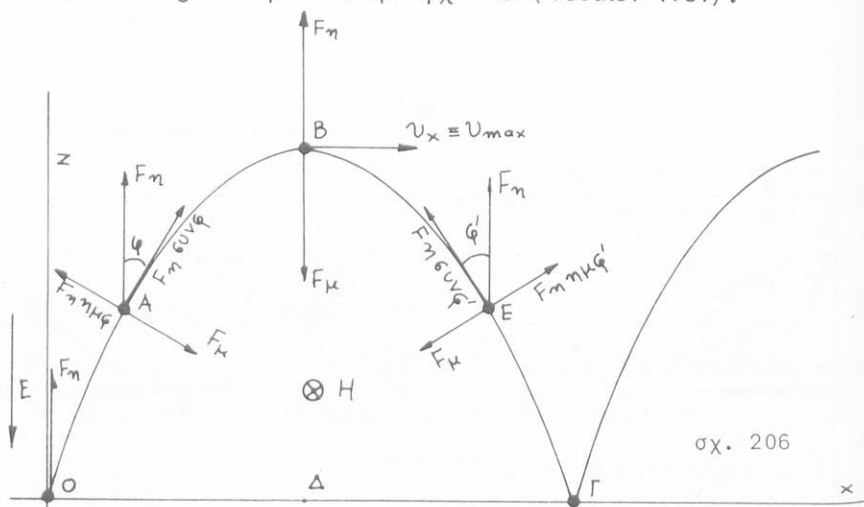
Ἀπὸ τὸ Γ πρὸς τὸ Δ ἡ ἐπιτροχίος συνιστώσα τῆς F_n ἀλλάσσει φορὴν, ὅποτε ἐλαττοῦται καὶ ἡ μαγνητικὴ δύναμις.

Εἰς τὸ Δ ἰσχύει: $F_{\mu}''' = F_n \eta \mu \phi$ ". Τὸ Δ εἶναι σημεῖον καμπῆς.

Ἀπὸ τὸ Δ πρὸς τὸ E , ἡ F_{μ} ἐλαττουμένη ἀποκτᾶ εἰς τὸ E τὴν τιμὴν τὴν ὁποῖαν εἶχεν εἰς τὸ O .

Ἡ κίνησις ἐπαναλαμβάνεται ὁμοίως.

■ Ἄν $u_0 = 0$ ἤτοι ἂν $F_{\mu} - \text{αρχ} = 0$ (Φυσικόν 1961).



σχ. 206

Τὸ ἠλεκτρόνιον ὑπὸ τὴν ἐπίδρασιν τῆς F_n μόνον, θὰ ἐκινεῖτο πρὸς τὰ ἄνω (βλ. σχήμα), εὐθυγράμμως μὲ ἐπιτάχυνσιν:

$$\gamma = \frac{eE}{m}$$

Με τήν ἔναρξιν, ὅμως, τῆς κινήσεως ἐμφανίζεται μαγνητική δύναμις ἡ ὁποία καμπυλῶνει τήν τροχιάν του πρὸς τὰ δεξιὰ.

Εἰς τὸ σημεῖον Α ἡ F_{η} δίδει τήν ἐπιτρόχιον συνιστώσα $F_{\eta\sigma\upsilon\nu\phi}$ καὶ τήν κεντρομόλον $F_{\eta\eta\mu\phi}$.

Ἡ F_{μ} εἶναι διαρκῶς κάθετος πρὸς τήν τροχιάν.

Ἀπὸ τὸ Ο πρὸς τὸ Β ἡ ἐπιτρόχιος συνιστώσα $F_{\eta\sigma\upsilon\nu\phi}$ ἐλαττοῦται συνεχῶς, ἐνῶ αὐξάνει τὸ μέτρον τῆς γραμμικῆς ταχύτητος μέ ἀποτέλεσμα τήν αὐξησιν τῆς δυνάμεως Laplace F_{μ} .

Συνεπῶς ἡ τροχιά καμπυλοῦται. Εἰς τὸ Β ἐμφανίζεται "ἕνα μέγιστον". Εἰς τὸ Β ἡ ταχύτης λαμβάνει μίαν μεγίστην τιμὴν $v_{\mu\alpha\chi\acute{\alpha}\nu\eta\tau\acute{\alpha}\varsigma}$ ἡ κεντρομόλος δύναμις

$$F_K = F_{\mu} - F_{\eta}$$

γίνεται μέγιστη καὶ ἡ στιγμιαία ἀκτίς καμπυλότητος ἐλαχίστη.

Ἀπὸ τὸ Β πρὸς τὸ Γ ἡ F_{η} δίδει τήν ἐπιτρόχιον συνιστώσα $F_{\eta\sigma\upsilon\nu\phi}$, ἥτις εἶναι ἀντιθέτου φορᾶς πρὸς τήν κίνησιν.

Συνεπῶς, ἐλαττουμένης τῆς ταχύτητος, ἐλαττοῦται καὶ ἡ F_{μ} , μέχρις ὅτου μηδενίζεται εἰς τὸ Γ.

Τὰ τμήματα ΟΑΒ καὶ ΒΕΓ εἶναι συμμετρικά ὡς πρὸς ΒΔ.

Ἡ κίνησις ἀπὸ τὸ Γ ἐπαναλαμβάνεται ὁμοίως.

■ Ἄν $v_0 < 0$

Εἰς τὸ Ο τὸ ἠλεκτρόνιον κινεῖται πρὸς τὰ ἀριστερά.

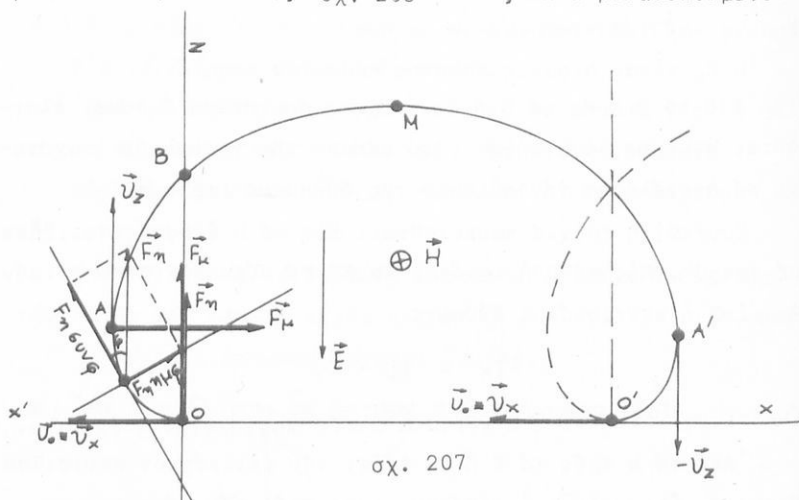
Ἡ F_{η} τὸ ἐπιταχύνει πρὸς τὰ ἄνω μέ $\gamma = \frac{eE}{m}$ ἐνῶ ἡ F_{μ} , ἥτις ἔχει φορᾶν πρὸς τὰ ἄνω, καμπυλῶνει τήν τροχιά τὸ ἠλεκτρονίου ἀρχικῶς πρὸς τὰ ἄνω.

Εἰς τὸ Ο ἡ κεντρομόλος δύναμις ἔχει μέγιστην τιμὴν: $F_K = F_{\eta} + F_{\mu}$, ἄρα καὶ ἡ τροχιά ἀποκτᾷ μέγιστην καμπυλότητα (R ἐλαχίστη).

Ἀπὸ τὸ Ο πρὸς τὸ Α ἡ ταχύτης αὐξάνει διότι αὐξάνει καὶ ἡ ἐπιτρόχιος συνιστώσα $F_{\eta\sigma\upsilon\nu\phi}$. Εἰς τὸ Α ἡ F_{μ} γίνεται ὀριζου-

τρία ένψ ή ταχύτης δέν ἔχει συνιστώσα κατά τόν $x'οκ$.

Τό τξον AMA' εἶναι ὁμοιον πρὸς τό τξον $OBΓ$ τῆς προηγούμενης περιπτώσεως, σχ. 206, ἀλλά μετατοπισμένον



σχ. 207

πρὸς τὰ ἄνω, λόγω τῆς ταχύτητος v_z . Εἰς τό A' ή ταχύτης λαμβάνει τιμὴν $-v_z$ καὶ διαγράφεται πλεον τό τξον $A'O'$ ἴσον καὶ συμμετρικόν τοῦ τξου OA .

Εἰς τό O' ή ταχύτης τοῦ ἠλεκτρονίου εἶναι πάλιν v_0 καὶ τό ἠλεκτρόνιον ἐπαναλαμβάνει τὴν ἰδίαν τροχίαν.

έναλλασσόμενα ρεύματα

20. κυκλώματα έναλλασσομένου

20.1. βασικαί έννοιαι

● Έναλλασσόμενη τάσις, καλεῖται, κάθε διαφορά δυναμικοῦ, τῆς ὁποίας τὸ μέγεθος καὶ ἡ φορά μεταβάλλονται περιοδικῶς συναρτήσῃ τοῦ χρόνου.

● Έναλλασσόμενον ρεῦμα, καλεῖται, τὸ ρεῦμα ποῦ ὀφείλεται εἰς έναλλασσόμενην τάσιν.

Ἡ έντασις τοῦ έναλλασσομένου ρεύματος, καλεῖται, έναλλασσομένη έντασις.

● Διαφορά φάσεως. Ἡ διαφορά φάσεως μεταξύ δύο έναλλασσομένων μεγεθῶν ἐκφράζει τὴν καθυστέρησιν τοῦ ἑνὸς ὡς πρὸς τὸ ἄλλο. Μὲ ἄλλα λόγια, ἐκφράζει τὸν χρόνον, σὲ κλάσμα τῆς περιόδου, ποῦ μεσολαβεῖ μεταξύ τῶν χρονικῶν στιγμῶν, εἰς τὰς ὁποίας τὰ δύο μεγέθη λαμβάνουν τὴν αὐτὴν χαρακτηριστικὴν τιμὴν καὶ κατὰ τὴν αὐτὴν φοράν, (π.χ. τὴν μεγίστην θετικὴν). Μετρεῖται ὡς γωνία ἀπὸ 0° ἕως 360° , ἢ ἀπὸ μηδέν ἕως 2π ἀκτίνια.

Σὲ χρόνον μιᾶς περιόδου ἀντιστοιχεῖ γωνία 2π ἀκτινίων.

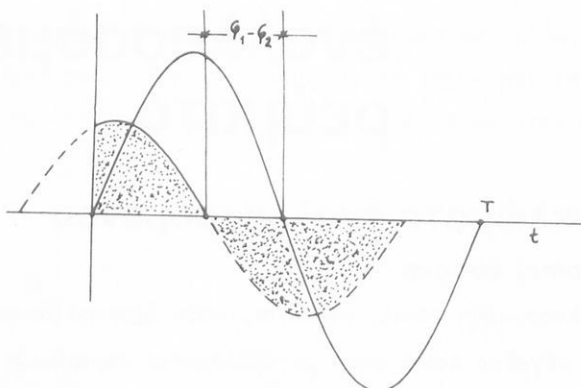
● Ἐστω δύο έναλλασσόμενα μεγέθη:

$$A = A_0 \eta \mu(\omega t + \varphi_1)$$

$$B = B_0 \eta \mu(\omega t + \varphi_2)$$

Ἡ διαφορά φάσεως μεταξύ αὐτῶν εἶναι:

$$(\omega t + \varphi_1) - (\omega t + \varphi_2) = \varphi_1 - \varphi_2$$



- Ένεργός έντασις, ενός έναλλασσομένου ρεύματος, καλεῖται, ἡ έντασις ενός ὑποθετικοῦ συνεχοῦς, τὸ ὁποῖον ἀποδίδει τὸ αὐτὸ ποσὸν θερμότητος, διαρρέον τὴν αὐτὴν ἀντίστασιν, εἰς τὸν αὐτὸν χρόνον μέ τὸ έναλλασσόμενον.
- Ένεργός τάσις, καλεῖται, ἡ ὑποθετικὴ συνεχῆς τάσις, ἡ ὁποία παρέχει ρεῦμα ἔνεργουῦ έντάσεως.
- Ἀντιστάσεις εἰς τὸ έναλλασσόμενον ρεῦμα.

α. ΩΜΙΚΗ

Σύμβολον

Ίσοῦται μέ $R = \rho \frac{l}{S}$ καὶ ἐξαρτᾶται ἀπὸ τὸ ὕλικόν, τὰ γεωμετρικὰ στοιχεῖα τοῦ ἄγωγου, καὶ τὴν θερμοκρασίαν του.

β. ΕΠΑΓΩΓΙΚΗ

Σύμβολον

Ίσοῦται μέ $R_L = \omega L$ καὶ ἐξαρτᾶται ἀπὸ τὰς αὐτεπαγωγὰς τοῦ κυκλώματος καὶ τὴν συχνότητα τῆς έναλλασσομένης τάσεως.

γ. ΧΩΡΗΤΙΚΗ

Σύμβολον

Ίσοῦται μέ $R_C = \frac{1}{\omega C}$ καὶ ἐξαρτᾶται ἀπὸ τὰς χωρητικότητας

του κυκλώματος και την συχνότητα της εναλλασσομένης τάσεως

● Τά στοιχεία R , L , C εις τό εναλλασσόμενον ρεύμα.

α. Ἡ ὠμική ἀντίστασις R .

Ἐφ' ὅσον τό κύκλωμα περιέχει, καθα-
ρῶς, ὠμικήν ἀντίστασιν R καί τρο-
φοδοτεῖται ὑπό ἀρμονικῆς τάσεως,

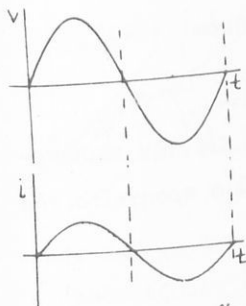
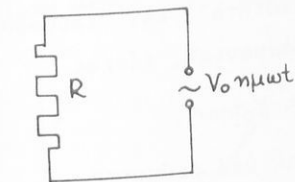
$$V = V_0 \eta \mu \omega t$$

θά διαρρέεται ὑπό ρεύματος:

$$I = I_0 \eta \mu \omega t,$$

μέ

$$I_0 = \frac{V_0}{R}$$



Παρατηροῦμεν ὅτι εις τήν περίπτωσιν αὐτήν, ρεύμα καί τάσις
εὐρίσκονται ἐν φάσει.

β. Ἡ ἐπαγωγική ἀντίστασις R_L

Ἐφ' ὅσον τό κύκλωμα περιέχει, μόνον, αὐτεπαγωγήν L καί
τροφοδοτεῖται ὑπό ἀρμονικῆς τά-
σεως

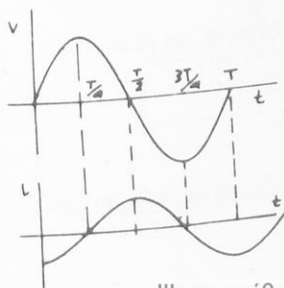
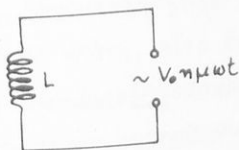
$$V = V_0 \eta \mu \omega t,$$

θά διαρρέεται ὑπό ρεύματος:

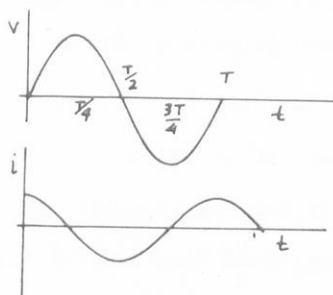
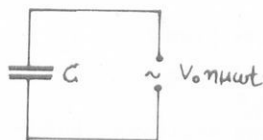
$$I = I_0 \eta \mu(\omega t - 90^\circ)$$

μέ

$$I_0 = \frac{V_0}{\omega L}$$



Παρατηροῦμεν ὅτι εις τήν περίπτω-
σιν αὐτήν, τό ρεύμα ὑστερεῖ τῆς
τάσεως κατά 90°



Ἡ χωρητικὴ ἀντίστασις RC .

Ἐφ' ὅσον τὸ κύκλωμα περιέχει, μόνον, χωρητικότητα C καὶ τροφοδοτεῖται ὑπὸ ἁρμονικῆς τάσεως

$$V = V_0 \eta\mu\omega t,$$

θά διαρρέεται ὑπὸ ρεύματος

$$I = I_0 \eta\mu(\omega t + 90^\circ)$$

μέ $I_0 = V_0 \cdot C\omega.$

Παρατηροῦμεν ὅτι εἰς τὴν περίπτωσιν αὐτὴν, τὸ ρεῦμα προηγείται τῆς τάσεως κατὰ 90° .

21. μέθοδοι

21.1. γεωμετρικὴ μέθοδος

Βάσις τῆς μεθόδου εἶναι ἡ δυνατότης παραστάσεως τῶν ἐναλλασσομένων μεγεθῶν, διὰ στρεφομένων διανυσμάτων (δεικτῶν).

Τὸ μέτρον τοῦ δείκτου λαμβάνεται ἴσον πρὸς τὸ πλάτος τοῦ ἐναλλασσομένου μεγέθους.

Οἱ δείκται στρέφονται περί σταθερὸν σημεῖον ἐφαρμογῆς O τὸ ὅποτον λαμβάνεται ὡς ἀρχὴ ὀρθογωνίου συστήματος συντεταγμένων xoy .

Ἐστω, ἐπὶ παραδείγματι, δύο ἐναλλασσόμενα μεγέθη

$$A = A_0 \eta\mu(\omega t + \varphi_1)$$

$$B = B_0 \eta\mu(\omega t + \varphi_2)$$

Τὰ δύο μεγέθη A καὶ B ἔχουν τὴν αὐτὴν κυκλικὴν συχνότητα ω καὶ διαφορὰν φάσεως, $\varphi_1 - \varphi_2$

ἥτις παραμένει σταθερά.

Ἐάν τὰ μεγέθη A καὶ B παρασταθοῦν διὰ δεικτῶν, ἡ σχετική θέσις αὐτῶν καθορίζεται τελείως διὰ τῆς γωνίας

$$\varphi_1 - \varphi_2$$

Δυνάμεθα, τότε, νὰ λάβωμεν τὸ ἓνα διάνυσμα ἐπὶ τοῦ ἄξονος x'Ox. (Σχήμα)

Τὸ διάνυσμα αὐτὸ θὰ καλῆται στό ἐξῆς, διάνυσμα ἀναφορᾶς.

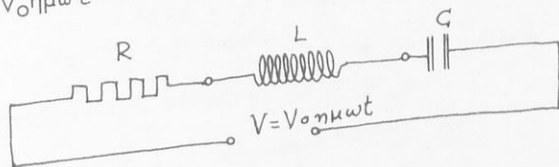
Ἦστω:

Ἐπιλέγομεν τὸ διάνυσμα ἀναφορᾶς καὶ χαράσσομεν τὸ ὀρθογώνιον σύστημα ἄξωνων xOy.

Καθορίζομεν τὰς διαφορὰς φάσεως μεταξὺ τῶν ἀναφερομένων μεγεθῶν καὶ τοῦ διανύσματος ἀναφορᾶς. Σχεδιάζομεν τοὺς δεικτῆρας, ὑπὸ κατάλληλον κλίμακα. Προσδιορίζομεν, ἐκ τῆς γεωμετρίας τοῦ σχήματος, ἄγνωστα στοιχεῖα ἐνῶ ἐκ τοῦ νόμου τοῦ Ohm, ὑπολογίζομεν τὰ ὑπόλοιπα.

■ Ἔχομεν πάντοτε ὑπ' ὄψιν, ὅτι ὁ νόμος τοῦ Ohm ἰσχύει εἴτε διὰ τὰ πλάτη, εἴτε διὰ τὰς ἐνεργούς τιμάς.

★ Νὰ ἐπιλυθῇ κύκλωμα R, L, C ἐν σειρᾷ, τροφοδοτούμενον ὑπὸ τῆς $V = V_0 \eta \mu \omega t$



σχ. 213

Ἐφ' ὅσον τὰ στοιχεῖα R, L, C, εἶναι ἐν σειρᾷ λαμβάνομεν

ὡς διάνυσμα ἀναφορᾶς, τὸ διάνυσμα ποῦ παριστᾷ τὸ κοινὸν ρεῦμα.

Ἀκολουθῶς σχεδιάζομεν τὰ διανύσματα τῶν μερικῶν τάσεων V_R , V_L , V_C , ἐπὶ συστήματος συντεταγμένων κοῦ.

Ἐκ τῆς προηγηθείσης θεωρίας, προκύπτουν ἀμέσως αἱ διαφοραὶ φάσεως, μεταξύ V_R καὶ I , μεταξύ V_L καὶ I καὶ μεταξύ V_C καὶ I .

Ἐπιλογισμοί:

α. Διαφορᾶς φάσεως.

Ἐκ τῆς γεωμετρίας τοῦ σχήματος λαμβάνομεν:

$$\epsilon\phi\phi = \frac{V_L - V_C}{V_R}$$

$$\text{ἀλλὰ: } V_L = I \cdot \omega L$$

$$V_C = I \cdot \frac{1}{C\omega}$$

$$V_R = I \cdot R$$

$$\text{ἄρα } \epsilon\phi\phi = \frac{\omega L - \frac{1}{C\omega}}{R} \quad (1)$$

παρατηροῦμεν ὅτι ἡ τάσις προηγεῖται τῆς ἐντάσεως.

β. Συνθέτου ἀντιστάσεως.

Ἐκ τοῦ σχήματος εἶναι:

$$V^2 = V_R^2 + (V_L - V_C)^2$$

$$\text{ἀλλὰ } V = I Z_0$$

$$V_R = I R$$

$$V_L = I \cdot \omega L$$

$$V_C = I \cdot \frac{1}{C\omega}$$

$$\text{ἄρα } Z_0 = \sqrt{R^2 + \left(\omega L - \frac{1}{C\omega}\right)^2}$$

γ. πλάτους ἑντάσεως

Νόμος Ohm: πλάτος ἑντάσεως = $\frac{\text{πλάτος τάσεως}}{\text{Σύνθετος ἀντίστασις}}$

$$I_0 = \frac{V_0}{Z_0} = \frac{V_0}{\sqrt{R^2 + (\omega L - \frac{1}{C\omega})^2}} \quad (3)$$

δ. Στιγμιαίας τιμῆς ἑντάσεως

$$I = I_0 \eta\mu(\omega t + \varphi)$$

$$\text{ἢ } I = \frac{V_0}{\sqrt{R^2 + (\omega L - \frac{1}{C\omega})^2}} \eta\mu(\omega t - \varphi) \quad (4)$$

ε. Ἐνεργῶν τιμῶν

$$I_{\text{εν}} = \frac{I_0}{\sqrt{2}} \quad \text{καί} \quad V_{\text{εν}} = \frac{V_0}{\sqrt{2}} \quad (5)$$

στ. Πλατῶν τάσεων

$$V_{0R} = I_0 \cdot R \quad (6)$$

$$V_{0L} = I_0 \omega L$$

$$V_{0C} = I_0 \frac{1}{C\omega}$$

ζ. Στιγμιαίων τιμῶν τάσεων

Ἡ V_R εἶναι ἐν φάσει πρὸς τὸ I (7α)

$$V_R = I_0 R \eta\mu(\omega t - \varphi)$$

Ἡ V_L προηγείται τοῦ ρεύματος κατὰ 90°

$$V_L = I_0 \cdot \omega L \eta\mu(\omega t + 90 - \varphi) \quad (7β)$$

Ἡ V_C ἔπεται τοῦ ρεύματος κατὰ 90° .

$$V_C = I_0 \frac{1}{C\omega} \eta\mu(\omega t - 90 - \varphi) \quad (7\gamma)$$

Παρατηρήσεις

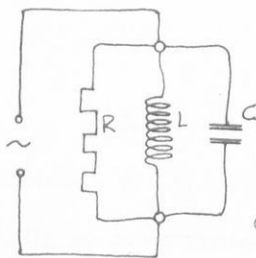
α. Είς τό πρόβλημα ἐλήφθη $V_L > V_C$, δι' αὐτό καί ἡ διαφορὰ φάσεως φ εἶναι θετική.

Γενικῶς ἡ φ ἐξαρτᾶται ἐκ τῶν R, L, C καί ω .

β. Ἐάν δέν ὑπάρχει ἓν τῶν στοιχείων R, L, C οἱ ὑπολογισμοὶ ἀπλουστεύονται. Οἱ προκύπτοντες τύποι λαμβάνονται καί ἀμέσως ἐκ τῶν ἀνωτέρω, διὰ τοῦ μηδενισμοῦ τοῦ μὴ ὑπάρχοντος στοιχείου.

γ. Τό στοιχεῖον ἀναφορᾶς εἶναι μόνον βοηθητικόν, χωρίς νά λαμβάνη μέρος εἰς τὰς διανυσματικὰς προσθέσεις.

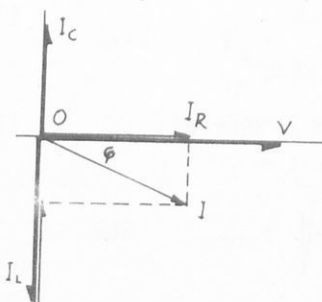
★ Νά ἐπιλυθῇ κύκλωμα R, L, C ἐν παραλλήλῳ, τροφοδοτούμενον ὑπὸ ἐναλλασσομένης τάσεως, $V = V_0 \eta\mu \omega t$.



σχ. 214

Ἐφ' ὅσον τὰ στοιχεῖα R, L, C εἶναι ἐν παραλλήλῳ, λαμβάνομεν ὡς διάνυσμα ἀναφορᾶς, τό διάνυσμα πού παριστᾷ τήν κοινήν τάσιν.

Ἀκολουθῶς σχεδιάζομεν τὰ διανύσματα τῶν μερικῶν ρευμάτων I_R, I_L, I_C , ἐπί συστήματος συντεταγμένων xoy .



Τό I_R καί ἡ V εἶναι ἐν φάσει.

Τό I_L ἔπεται κατὰ 90° τῆς V
Τό I_C προηγείται κατὰ 90° τῆς V .

Ἐπολογισμοί:

α. Διαφορᾶς φάσεως

Έκ του σχήματος φαίνεται ότι:

$$\epsilon\phi\phi = \frac{I_L - I_C}{I_R}$$

άλλά

$$I_R = \frac{V}{R}$$

$$I_L = \frac{V}{\omega L}$$

$$I_C = \frac{V}{\frac{1}{C\omega}}$$

άρα

$$\epsilon\phi\phi = \frac{\frac{1}{\omega L} - C\omega}{\frac{1}{R}} \quad (1)$$

Έκ του σχήματος φαίνεται ότι, ως ελήφθησαν τά I_L και I_C ή έντασις έπεται της τάσεως κατά ϕ . 'Η ϕ μπορεί νά είναι μηδέν, θετική ή άρνητική.

β. Συνθέτου άντιστάσεως

Έκ του σχήματος φαίνεται:

$$I^2 = (I_L - I_C)^2 + I_R^2$$

άλλά

$$I = \frac{V}{Z_0}$$

$$I_L = \frac{V}{\omega L}$$

$$I_C = \frac{V}{\frac{1}{C\omega}}$$

$$I_R = \frac{V}{R}$$

άρα

$$\frac{1}{Z_0} = \sqrt{\left(\frac{1}{\omega L} - C\omega\right)^2 + \frac{1}{R^2}} \quad (2)$$

γ. Έντάσεως ρεύματος

$$\text{πλάτος έντάσεως} = \frac{\text{πλάτος τάσεως}}{\text{σύνθετος άντίσταση}}$$

$$I_0 = V_0 \sqrt{\frac{1}{R^2} + \left(\frac{1}{L\omega} - C\omega\right)^2}$$

καί έπειδή $I = I_0 \eta \mu(\omega t - \varphi)$

$$I = V_0 \sqrt{\frac{1}{R^2} + \left(\frac{1}{L\omega} - C\omega\right)^2} \eta \mu(\omega t - \varphi) \quad (3)$$

δ. Ένεργων τιμών

$$I_{EV} = \frac{I_0}{\sqrt{2}} \quad \text{καί} \quad V_{EV} = \frac{V_0}{\sqrt{2}} \quad (4)$$

ε. Πλατών έντάσεων

$$\begin{aligned} I_{OR} &= \frac{V_0}{R} \\ I_{OL} &= \frac{V_0}{\omega L} \\ I_{OC} &= V_0 C \omega \end{aligned} \quad (5)$$

στ. Στιγμιαίων τιμών έντάσεων.

Έπειδή I_R καί V είναι έν φάσει:

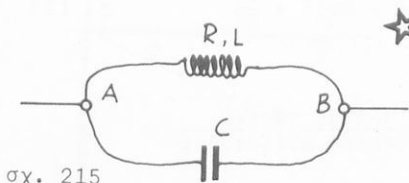
$$I_R = \frac{V_0}{R} \eta \mu \omega t \quad (6\alpha)$$

Έπειδή τό I_L ύστερεϊ της V κατά 90°

$$I_L = \frac{V_0}{\omega L} \eta \mu(\omega t - 90^\circ) \quad (6\beta)$$

Έπειδή τό I_C προηγείται της V κατά 90°

$$I_C = V_0 \omega C \eta \mu(\omega t + 90^\circ) \quad (6\gamma)$$

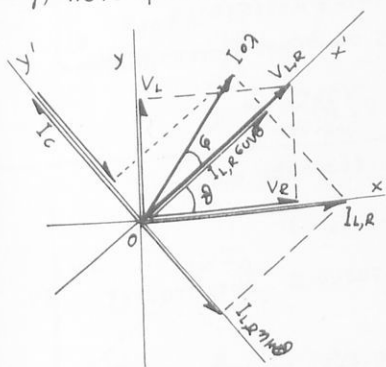


σχ. 215



Εϊς τό κύκλωμα του σχήματος τό πηνίον έχει συντελεστήν αυτεπαγωγής L καί ωμικήν αντίστασιν R

- α) Ποία ή σύνθετος αντίστασις τῆς διατάξεως
 β) Ποία ή διαφορά φάσεως μεταξύ τάσεως - έντάσεως;
 γ) Πότε ή διάταξις συμπεριφέρεται ως ὠμική αντίστασις;



α) θεωρῶ πρῶτον, τά στοιχεῖα R, L τά ὅποια συνδέονται ἐν σειρᾷ, μέ διάνυσμα ἀναφορᾶς τό ρεῦμα $I_{L,R}$.
 Ἐπειδή τά στοιχεῖα πηνίου καί πυκνωτής συνδέονται ἐν παραλλήλῳ λαμβάνεται ως νέον διάνυσμα ἀναφορᾶς τό $V_{L,R}$ καί τοποθετεῖται εἰς τό διάγραμμα τό I_C . Ἐναλύσ-

ἀκολουθῶς τό $I_{L,R}$ εἰς τούς ἄξονας xOx' καί yOy' καί προσδι-

$$I_{ολ} = \sqrt{(I_C - I_{L,R}\eta\mu\theta)^2 + I_{L,R}^2\sigma\upsilon\nu^2\theta} \quad (1)$$

$$\text{εἶναι ὁμως: } \epsilon\phi\theta = \frac{V_L}{V_R} = \frac{\omega L}{R} \quad \eta\mu\theta = \frac{\omega L}{\sqrt{R^2 + \omega^2 L^2}} \quad (2)$$

$$\text{ἐπειδή } I_{ολ} = \frac{V_{ολ}}{Z_{ολ}} \quad \text{καί } I_{L,R} = \frac{V_{ολ}}{Z_{L,R}} \quad \text{καί } Z_{L,R} = \sqrt{R^2 + \omega^2 L^2}$$

ἔπεται ἐκ τῆς (1):

$$Z_{ολ} = \frac{R^2 + \omega^2 L^2}{\sqrt{R^2 + [C\omega(R^2 + \omega^2 L^2) - L\omega]^2}} \quad (3)$$

$$\beta) \quad \epsilon\phi\phi = \frac{I_C - I_{L,R}\eta\mu\theta}{I_{L,R}\sigma\upsilon\nu\theta} = \frac{C\omega(R^2 + L^2\omega^2) - L\omega}{R} \quad (4)$$

$$\gamma) \quad \theta\acute{\alpha} \text{ πρ}\acute{\epsilon}\pi\eta \phi = 0^\circ \text{ δηλαδή } \epsilon\phi\phi = 0 \text{ καί ἐκ τῆς (4)}$$

$$R = \sqrt{\frac{L}{C} (1 - \omega^2 LC)}$$

21.2. μέθοδος τάσεων - ρευμάτων

Εἰς τήν μέθοδον αὐτήν, διά κάθε στοιχεῖον ή ὁμάδα στοιχείων R, L, C γράφομεν:

α. Τόν $V_{\text{παραπομπή}}$ ὁμῶς, διά πλάτη ή ἐνεργούς τιμάς.

ἠ. Τόν $V_{\text{παραπομπή}}$ ὁμῶς, διά πλάτη ή ἐνεργούς τιμάς.

$$\text{πλάτος ἑντάσεως} = \frac{\text{πλάτος τάσεως}}{\text{σύνθετος ἀντίστασις}}$$

$$\text{ἐνεργὸς ἑντασις} = \frac{\text{Ἐνεργὸς τάσις}}{\text{σύνθετος ἀντίστασις}}$$

β. Τὴν σχέσιν ὑπολογισμοῦ τῆς συνθέτου ἀντιστάσεως.

$$Z = f(R, L, C, \omega)$$

γ. Τὴν σχέσιν ὑπολογισμοῦ τῆς διαφορᾶς φάσεως

$$\epsilon\phi\phi = f(R, L, C, \omega)$$

δ. Εἰς ἐκάστην σύνθετον ἀντίστασιν Z ἀντιστοιχεῖ ἓν διάγραμμα ἀντιστάσεων.

Τὸ διάγραμμα ἀντιστάσεων, ἐρμηνεύει γεωμετρικῶς, τὰς σχέσεις:

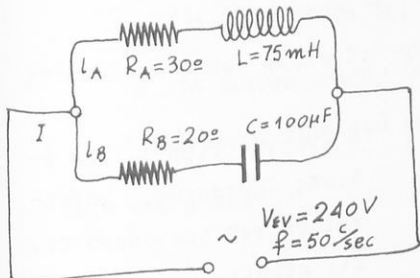
$$Z = \sqrt{R^2 + \left(\omega L - \frac{1}{C\omega}\right)^2}$$

$$\text{καί} \quad \frac{1}{Z} = \sqrt{\frac{1}{R^2} + \left(\frac{1}{\omega L} - C\omega\right)^2}$$

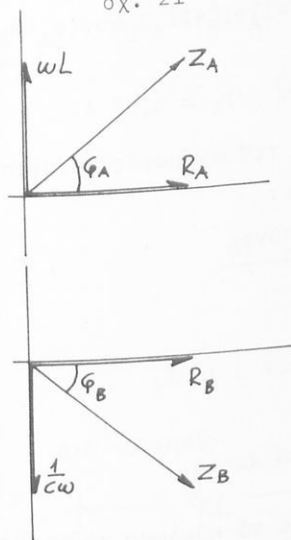
★ Εἰς τὸ κατωτέρω κύκλωμα νὰ ὑπολογισθοῦν:

1. Ἡ ἑντασις εἰς ἕναστον τῶν τριῶν κλάδων (Ἐνεργοί τμαί).
2. Ὁ συνολικός συντελεστὴς ἰσχύος
3. Ἡ καταναλισκομένη ἰσχύς
4. Νὰ χαραχθῆ τὸ ἀνυσματικὸν διάγραμμα τῶν ἐντάσεων μέ βᾶσιν τὴν τάσιν $V_{\epsilon\upsilon} = 240 \text{ V}$.

(ΜΗΧ.-ΗΛ. Φεβρουάριος 1967)



σχ. 21'



Διά τó ρεύμα I_A :

$$I_{\epsilon A} = \frac{V_{\epsilon V}}{Z_A} \quad (1)$$

$$Z_A = \sqrt{R_A^2 + (\omega L)^2} \quad (2)$$

$$\epsilon\phi\phi_A = \frac{\omega L}{R_A} \quad (3)$$

Έκ τού διαγράμματος φαίνεται
ότι προηγείται ή τάσις.

Διά τó ρεύμα I_B

$$I_{\epsilon B} = \frac{V_{\epsilon V}}{Z_B} \quad (4)$$

$$Z_B = \sqrt{R_B^2 - \frac{1}{(C\omega)^2}} \quad (5)$$

$$\epsilon\phi\phi_B = -\frac{1}{R_B C\omega} \quad (6)$$

Έκ τού διαγράμματος φαίνεται
ότι έπεται ή τάσις

Είναι όμως:

$$\omega L = 2\pi \cdot f \cdot L = 2\pi \cdot 50 \cdot 75 \cdot 10^{-3} = 23,5 \Omega$$

$$\frac{1}{C\omega} = \frac{1}{2\pi \cdot f \cdot C} = \frac{1}{2\pi \cdot 50 \cdot 100 \cdot 10^{-6}} = 31,8 \Omega$$

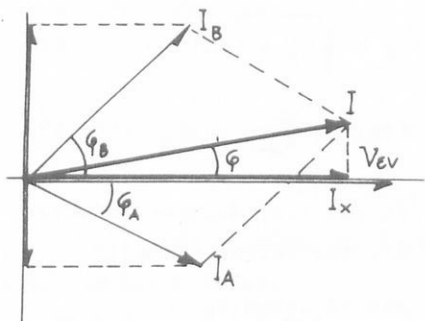
$$\text{Άρα έκ τής (2)} \Rightarrow Z_A = 38,2 \Omega$$

$$\text{καί έκ τής (5)} \Rightarrow Z_B = 37,86 \Omega$$

$$\text{Έκ τής (1)} \Rightarrow I_{\epsilon A} = 6,3 \text{ A}$$

καί ἐκ τῆς (4) $\Rightarrow I_{EB} = 6,35 \text{ A.}$

Χαράσσομεν τό διανυσματικόν διάγραμμα τοῦ κυκλώματος μέ διάνυσμα ἀναφορᾶς τό V_{EV} .



Ἡ ἐνεργὸς τιμὴ I_E τῆς ὀλικῆς ἔντασews, φαίνεται ἐκ τοῦ διαγράμματος, ὅτι εἶναι:

$$I_E^2 = I_A^2 + I_B^2 + 2I_A I_B \cos(\varphi_A + \varphi_B) \quad (7)$$

ἄρα $I_E = 8,55 \text{ A.}$

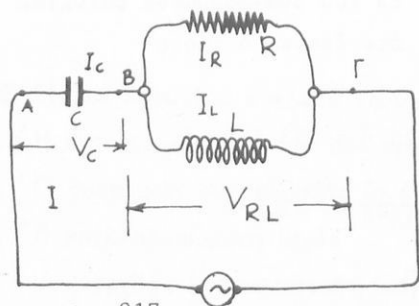
Ἐκ τοῦ σχήματος φαίνεται ὅτι:

$$\cos\varphi = \frac{I_x}{I} = \frac{I_A \cos\varphi_A + I_B \cos\varphi_B}{I}$$

ἄρα: $\cos\varphi = 0,975$

Ἡ ὀλικὴ ἰσχὺς εἶναι:

$$P_0 = V_E \cdot I_E \cdot \cos\varphi = 2040 \text{ Watts.}$$



σχ. 217

εἰς ἕκαστον τμῆμα ὡς καὶ ἡ ὀλικὴ ἔντασις.

β. Ὁ συνολικὸς συντελεστὴς ἰσχύος.

★ Εἰς τό κύκλωμα τοῦ σχήματος 217 δίδονται: $R = 15 \Omega$, $C = 100 \mu\text{F}$, $L = 0,1 \text{ H}$ καὶ $f = 100 \text{ c/sec.}$

Ζητοῦνται:

α. Ἡ ἔντασις καὶ ἡ τάσις

γ. Ἡ μέση ἰσχύς τοῦ κυκλώματος.

δ. Τό διανυσματικόν διάγραμμα.

Ἡ ἐνεργὸς τιμὴ τοῦ ρεύματος εἰς τὸ πηνίον εἶναι 2A.

Διὰ τὸν πυκνωτὴν:

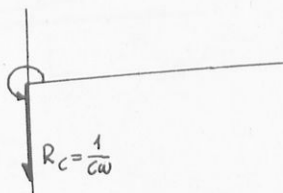


$$I_C = \frac{V_C}{R_C} \quad (1)$$

$$R_C = \frac{1}{C\omega} \quad (2)$$

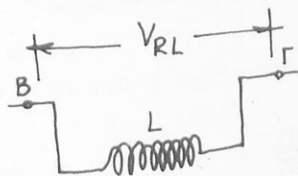
$$\epsilon\phi\phi_C = \frac{-R_C}{R'} \quad (3)$$

$R' \rightarrow 0$



Ἡ R' εἶναι ἡ ὠμικὴ ἀντίστασις τοῦ κλάδου AB.

Διὰ τὸ πηνίον

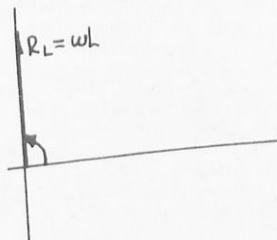


$$I_L = \frac{V_{RL}}{R_L} \quad (4)$$

$$R_L = \omega L \quad (5)$$

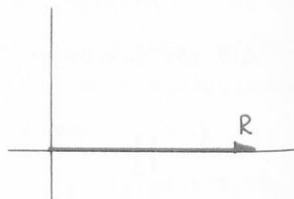
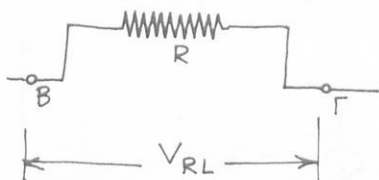
$$\epsilon\phi\phi_L = \frac{\omega L}{R''} \quad (6)$$

$$R'' \rightarrow 0$$



'Η R ' είναι ή ώμική αντίστασις τοῦ πηνίου.

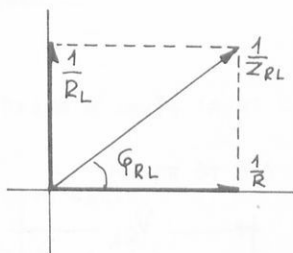
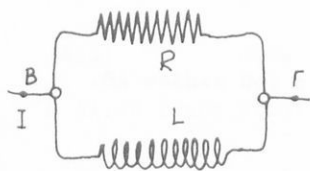
Διά τήν αντίστασιν:



$$I_R = \frac{V_{RL}}{R} \quad (7)$$

$$\epsilon\varphi\varphi_R = \frac{0}{R} \quad (8)$$

Διά τό σύστημα, πηνίον - αντίστασις:



$$I = \frac{V_{RL}}{Z_{RL}} \quad (9)$$

$$\frac{1}{Z_{RL}^2} = \frac{1}{R^2} + \frac{1}{R_L^2} \quad (10)$$

$$\epsilon\varphi\varphi_{RL} = \frac{\frac{1}{R_L}}{\frac{1}{R}} \quad (11)$$

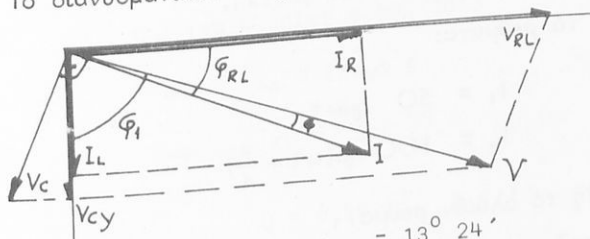
Έκ τῆς (2) $\Rightarrow R_C = 15,92 \ \Omega$

Έκ τῆς (5) $\Rightarrow R_L = 62,87 \ \Omega$

Έκ τῆς (4) $\Rightarrow V_{RL} = 125,74 \ \text{V}$

- 'Εκ τῆς (7) $\Rightarrow I_R = 8,38 \text{ A}$
 'Εκ τῶν (9) καί (10) $\Rightarrow I = 8,81 \text{ A}$
 'Αλλά ἐπειδὴ $I = I_C$,
 'Εκ τῆς (1) $\Rightarrow V_C = 13,7 \text{ V}$

Τὸ διανυσματικὸν διάγραμμα.



- 'Εκ τῆς (11) $\Rightarrow \phi_{RL} = 13^\circ 24'$
 'Εκ τοῦ διαγράμματος προκύπτει:

$$V^2 = V_{RL}^2 + V_C^2 + 2V_C V_{RL} \cdot \sin(90 + \phi_{RL})$$

$$\text{καί } V = 123 \text{ V}$$

Συντελεστὴς ἰσχύος:

'Ο συντελεστὴς ἰσχύος εἶναι: $\cos \phi$.

'Η ϕ εἶναι ἡ γωνία τῶν διανυσμάτων \vec{I} καὶ \vec{V} εἰς τὸ διάγραμμα.

'Εκ τοῦ διαγράμματος φαίνεται:

$$V_{cy} = V_C \cos \phi_{RL}$$

$$\text{καί } V_{cy} = V \cos \phi$$

$$\Rightarrow \phi_1 = 83^\circ 48'$$

ἀλλὰ

$$\phi = \phi_1 + \phi_{RL} - 90 = 7^\circ 12'$$

$$\Rightarrow \cos \phi = 0,994$$

Μέση ἰσχύς.

$$P_{\mu} = I_{\text{eff}} \cdot V_{\text{eff}} \cdot \cos \phi = 8,61 \cdot 123 \cdot 0,994 \text{ watts.}$$

$$P_{\mu} = 1052 \text{ Watts}$$

21.3. τριγωνομετρική μέθοδος

Ἡ τριγωνομετρική μέθοδος χρησιμοποιεῖ μόνον τριγωνομετρικόν λογισμόν καί δέν εἶναι γενική.

★ Δίδονται τά ρεύματα:

$$I_1 = 50 \text{ ημω}t$$

$$I_2 = 100 \text{ ημ}\left(\omega t + \frac{\pi}{4}\right)$$

Νά εὑρεθῆ τό ὄλικόν ρεῦμα.

Ἐάν τό ρεῦμα τοῦτο διαρρέει ἀγωγόν ἄμικτῆς ἀντιστάσεως 10 Ω, νά ὑπολογισθῆ τό ποσό τῆς ἐκλυομένης θερμότητος εἰς χρόνον 20 min.

$$I = I_1 + I_2$$

$$I = 50\eta\mu\omega t + 100\eta\mu\left(\omega t + \frac{\pi}{4}\right)$$

$$I = 50\left[\eta\mu\omega t + 2\eta\mu\left(\omega t + \frac{\pi}{4}\right)\right]$$

$$I = 50\left[\eta\mu\omega t + 2\left(\eta\mu\omega t \cos\frac{\pi}{4} + \eta\mu\frac{\pi}{4} \sin\omega t\right)\right]$$

$$I = 50\left[\eta\mu\omega t + 2\eta\mu\omega t \frac{\sqrt{2}}{2} + 2 \frac{\sqrt{2}}{2} \sin\omega t\right]$$

$$I = 50\left[\eta\mu\omega t(1 + \sqrt{2}) + \sqrt{2} \sin\omega t\right]$$

$$I = 50(1 + \sqrt{2})\left[\eta\mu\omega t + \frac{\sqrt{2}}{1 + \sqrt{2}} \sin\omega t\right]$$

$$\text{θέτω } \frac{\sqrt{2}}{1 + \sqrt{2}} = \epsilon\phi\phi \quad \phi = 30^\circ 20'$$

ὁπότε:

$$I = 50(1 + \sqrt{2})\left[\eta\mu\omega t + \epsilon\phi\phi \sin\omega t\right]$$

$$I = 50(1 + \sqrt{2})\left[\eta\mu\omega t + \frac{\eta\mu\phi}{\sin\phi} \sin\omega t\right]$$

$$I = \frac{50(1 + \sqrt{2})}{\text{συνφ}} \left[\eta\mu\omega t \text{ σινφ} + \eta\mu\varphi \text{ σιν}\omega t \right]$$

$$I = \frac{50(1 + \sqrt{2})}{\text{συνφ}} \eta\mu(\omega t + \varphi)$$

$$I = \frac{50 \cdot 2,41}{0,863} \cdot \eta\mu(\omega t + 30^\circ 20')$$

$$I = 139,6 \eta\mu(\omega t + 30^\circ 20')$$

$$\Rightarrow I_0 = 139,6 \text{ A}$$

$$\Rightarrow I_{\text{Εν}} = \frac{I_0}{\sqrt{2}} = 99 \text{ A}$$

$$Q = 0,24 I_{\text{Εν}}^2 R \cdot t$$

$$Q = 28.200 \text{ kcal}$$

★ Τρεῖς πηγὰς ΗΕΔ:

$$E_1 = 20 \eta\mu\omega t$$

$$E_2 = 30 \eta\mu(\omega t - \frac{\pi}{4})$$

$$E_3 = 40 \text{ σιν}(\omega t - \frac{\pi}{6})$$

εἶναι συνδεδεμένα ἐν σειράῳ.

Ποῖα ἡ ὅλική ΗΕΔ, E ;

$$E = E_1 + E_2 + E_3 = E' + E_3$$

$$E' = E_1 + E_2 = 20\eta\mu\omega t + 30\eta\mu(\omega t - \frac{\pi}{4})$$

$$E' = 20\eta\mu\omega t + 30(\eta\mu\omega t \text{ σιν}\frac{\pi}{4} - \eta\mu\frac{\pi}{4} \cdot \text{σιν}\omega t)$$

$$E' = 20\eta\mu\omega t + 30 \frac{\sqrt{2}}{2} \eta\mu\omega t - 30 \frac{\sqrt{2}}{2} \text{ σιν}\omega t$$

$$E' = \eta\mu\omega t(20 + 15\sqrt{2}) - 15\sqrt{2} \text{ σιν}\omega t$$

$$E' = (20 + 15\sqrt{2}) \left[\eta\mu\omega t - \frac{15\sqrt{2}}{20 + 15\sqrt{2}} \text{ σιν}\omega t \right]$$

$$\text{καλῶ} \quad \epsilon\varphi\alpha = \frac{15\sqrt{2}}{10 + 15\sqrt{2}} = 0,512$$

$$\Rightarrow \alpha = 27^{\circ} 10'$$

όπότε:

$$E' = 41,1 [\eta\mu\omega t - \epsilon\phi\alpha \sigma\upsilon\nu\omega t]$$

$$E' = \frac{41,1}{\sigma\upsilon\nu\alpha} [\eta\mu\omega t \sigma\upsilon\nu\alpha - \eta\mu\alpha \sigma\upsilon\nu\omega t]$$

$$E' = \frac{41,1}{0,889} \eta\mu(\omega t - \alpha)$$

$$E' = 46,2 \eta\mu(\omega t - 27^{\circ} 10')$$

Τώρα:

$$E = E' + E_3$$

$$E = 46,2\eta\mu(\omega t - 27^{\circ}10') + 40\eta\mu(\omega t + \frac{\pi}{3})$$

$$E = 46,2 [\eta\mu\omega t\sigma\upsilon\nu(27^{\circ}10') - \eta\mu(27^{\circ}10')\sigma\upsilon\nu\omega t] +$$

$$+ 40(\eta\mu\omega t\sigma\upsilon\nu\frac{\pi}{3} + \eta\mu\frac{\pi}{3}\sigma\upsilon\nu\omega t)$$

$$E = 46,2(\eta\mu\omega t \cdot 0,889 - 0,456\sigma\upsilon\nu\omega t) +$$

$$+ 40(\eta\mu\omega t \cdot 0,5 + 0,866\sigma\upsilon\nu\omega t)$$

$$E = 41,1\eta\mu\omega t - 21,1\sigma\upsilon\nu\omega t + 20\eta\mu\omega t + 34,6\sigma\upsilon\nu\omega t$$

$$E = 61,1 \eta\mu\omega t + 13,5 \sigma\upsilon\nu\omega t$$

$$E = 61,1 [\eta\mu\omega t + \frac{13,5}{61,1} \sigma\upsilon\nu\omega t]$$

καλῶ

$$\epsilon\phi\phi = \frac{13,5}{61,1} = 0,219$$

$$\Rightarrow \varphi = 12^{\circ} 25'$$

όπότε:

$$E = 61,1(\eta\mu\omega t + \epsilon\phi\phi\sigma\upsilon\nu\omega t)$$

$$E = \frac{61,1}{\sigma\upsilon\nu\phi} (\eta\mu\omega t\sigma\upsilon\nu\phi + \eta\mu\phi\sigma\upsilon\nu\omega t)$$

$$E = \frac{61,1}{0,976} \eta\mu(\omega t + \phi)$$

$$E = 62,7 \eta\mu(\omega t + 12^{\circ} 25')$$

22. γενικαί ασκήσεις

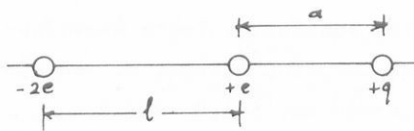
1 Τρία μεταλλικά σφαιρίδια ἕκαστον τῶν ὁποίων ἔχει βάρους β κρέμονται διὰ μονωτικῶν νημάτων ἴσου μήκους λ ἀπὸ τοῦ αὐτοῦ σημείου καὶ φέρουν ἕκαστον φορτίον Q . Ταῦτα ἀπωθούμενα ἰσορροποῦν ἐπὶ ὀριζοντίας περιφερείας ἀκτίνας R . Νά εὐρεθῇ ἡ σχέση β ἢ ἡ σχέση Q ἢ τὶς ὑφίσταται μεταξὺ τῶν β, λ, Q καὶ R .

2 Δύο πρωτόνια, ἀπέχοντα κατὰ ἄρχονται κινούμενα λόγῳ τῆς ἀμοιβαίας των ἀπόσεως. Ποία θὰ εἶναι ἡ κινητικὴ τῶν ἐνέργεια, ὅταν ταῦτα ἀπομακρυνόμενα ἀλλήλων φθάσουν εἰς μεγάλην ἀπόστασιν. Ὑποθέτομεν ὅτι τὸ ἓν τῶν πρωτονίων εἶναι σταθερόν. Ποία ἡ κινητικὴ ἐνέργεια τοῦ ἐτέρου εἰς μεγάλην ἀπόστασιν ἀπὸ τοῦ πρώτου.

3 φορτίον $16 \cdot 10^{-9}$ coul. εἶναι τοποθετημένον εἰς τὴν ἀρχὴν ἑνὸς συστήματος συντεταγμένων. Δεύτερον ἀγνώστου τιμῆς φορτίον εἶναι τοποθετημένον εἰς τὸ σημεῖον $(3, 0)$. Ἐνῶ ἕνα τρίτον φορτίον $12 \cdot 10^{-9}$ coul εἰς σημεῖον $(6, 0)$. Ποῖον τὸ ἄγνωστον φορτίον ἐάν ἡ ἔντασις τοῦ πεδίου εἰς τὸ σημεῖον $(8, 0)$ εἶναι $+20, 25 \text{ Nt/coul}$ καὶ παράλληλος πρὸς τὸν ἄξονα τῶν x .

4 Εἰς τὸ πρῶτον κατὰ Bohr ἄτομον τοῦ ὑδρογόνου ἓνα ἠλεκτρόνιον περιφέρεται περὶ ἑνὸς πρωτονίου σὲ κυκλικὴ τροχίαν ἀκτίνας $5, 28 \cdot 10^{-9}$ cm α) Ποία ἡ ἠλεκτροστατικὴ δυναμικὴ ἐνέργεια τοῦ ἠλεκτρονίου; β) Ποία ἡ ὀλικὴ ἐνέργεια αὐτοῦ; γ) Μεταξὺ ποίας διαφορᾶς δυναμικοῦ θὰ πρέπη νὰ ἐπιταχυνθῇ τὸ ἠλεκτρόνιον ἵνα ἀποκτήσῃ τὴν ἀνωτέρω δυναμικὴν ἐνέργειαν;

5 Έν σημειακόν φορτίον ἴσον πρὸς $-2e$ καὶ ἓνα θετικόν φορτίον $+e$ τοποθετοῦνται σταθερῶς εἰς σημεῖα ἀπέχοντα κατὰ 1. Εἰς ποῖαν θέσιν ἐπὶ τῆς εὐθείας ποῦ συνδέει τὰ φορτία



πρέπει νὰ τοποθετηθῇ ἓνα φορτίον $+q$, ὥστε τοῦτο νὰ ἰσορροπῆ; Ποῖα ἡ φύσις τῆς ἰσορροπίας τοῦ φορτίου $+q$ διὰ μίαν κατὰ μήκος με-

τατόπισιν αὐτοῦ; Σχεδιάσατε μίαν καμπύλην τῆς δυνάμεως τῆς ἐνεργούσης ἐπὶ τοῦ φορτίου $+q$ συναρτήσῃ τῆς ἀποστάσεως αὐτοῦ ἀπὸ τοῦ φορτίου $+e$.

6 Εἰς τὰ διαδοχικὰ σημεῖα A, B καὶ Γ μιᾶς εὐθείας εὐ-
ρίσκονται τὰ κεντρικὰ φορτία $Q_A = 15 \text{ nCb}$, $Q_B = -12 \text{ nCb}$ καὶ
 $Q_\Gamma = 20 \text{ nCb}$ ἀντιστοίχως, εἶναι δὲ $(AB) = 9 \text{ cm}$ καὶ $(B\Gamma) = 16 \text{ cm}$.
Ζητοῦνται:

α. Νὰ ἀποδειχθῇ ὅτι εἰς τὸ σχηματιζόμενον πεδῖον ὑπάρ-
χουν δύο τεμνόμεναι σφαῖραι, μὲ κέντρα τὰ σημεῖα A καὶ Γ,
ἀποτελοῦσαι μίαν ἰσοδυναμικὴν ἐπιφάνειαν. Νὰ εὑρεθῇ ἡ θέ-
σις, τὸ μέγεθος καὶ τὸ δυναμικὸν τῶν σφαιρῶν τούτων. Εἶναι
 $\epsilon_0 = 8,8542 \text{ pFm}^{-1}$.

β. Νὰ ἀποδειχθῇ ὅτι ἡ γωνία ὑπὸ τὴν ὁποῖαν τέμνονται
αἱ σφαῖραι εἶναι ὀρθή καὶ

γ. Νὰ εὑρεθῇ, ἄνευ ἐτέρων μαθηματικῶν πράξεων, ὁ τόπος
τῶν σημείων εἰς τὰ ὁποῖα ἡ πεδιακὴ ἔντασις εἶναι μηδέν. Δε-
δομένου ὅτι ὁ τόπος τοῦτος εἶναι περιφέρεια κύκλου νὰ εὑ-
ρεθῇ ἡ θέσις τοῦ κέντρου τῆς καὶ ἡ ἀκτίς τῆς.

7 Νὰ ἀποδειχθῇ ὅτι εἰς τὸ ἐσωτερικόν ἀγωγοῦ φορτισμέ-
νης σφαίρας δὲν ὑφίσταται ἠλεκτροστατικὸν πεδῖον. Ἡ σφαῖρα
εἶναι στατικῶς φορτισμένη.

8 Ποια ή απαιτούμενη ενέργεια, ίνα τρία φορτία Q_1 , Q_2 και Q_3 τοποθετηθούν εις τας κορυφάς Α Β και Γ τριγώνου με πλευράς α , β και γ αντιστοίχως.

9 'Αγωγός χωρητικότητος C_1 έχει δυναμικόν U . Φέρομεν αυτόν εις επαφήν με άλλον άγωγόν, χωρητικότητος C_2 , άφορτιστον μετά τόν άπομακρύνομεν και τόν έκφορτίζομεν. Τό περίγραμμα επαναλαμβάνεται n φοράς. Ποιον τότε τό δυναμικόν του πρώτου άγωγού;

10 Μεταξύ δύο παραλλήλων, και επίπεδων μεταλλικών πλακών, εύρισκομένων εις άπόστασιν l ($l = 4$ cm) άπ' άλλήλων, έχει εφαρμοσθή διαφορά δυναμικου ίση προς U ($U = 1600$ V). Κατά τήν στιγμήν t ($t = 0$) έν ήλεκτρόνιον, έκκινουσν άνευ άρχικής ταχύτητος έκ τινος σημείου της έπιφανείας της μιās πλακός, άρχεται κινουμένον υπό τήν επίδρασιν του όμογενοϋς ηλεκτρικου πεδίου. Συγχρόνως έκ της έτέρας πλακός, άρχεται κινουμένον πρωτόνιον. Νά εύρεθουσι: α) 'Η κοινή άπόστασις των δύο σωματίων έκ της θετικής πλακός κατά τήν χρονικήν στιγμήν, καθ' ήν ταύτα διέρχονται διά του αυτού παραλλήλου προς τας πλάκας επίπεδου.

β) 'Ο λόγος των μέτρων των ταχυτήτων τας όποίας κέκτηνται τό ήλεκτρόνιον και τό πρωτόνιον κατά τήν στιγμήν της προσκρούσεως των επί των πλακών.

γ) 'Ο λόγος των κινητικων ενεργειων, τας όποίας κέκτηνται τά δύο σωματίδια κατά τήν στιγμήν της προσκρούσεως. Τό στοιχειώδες ήλεκτρικόν φορτίον είναι ίσον προς e ($e = 4,8 \cdot 10^{-10}$ ΗΣΜ- q). Μάζα του ήλεκτρονίου m_e ($m_e = 9,1 \cdot 10^{-28}$ gr). Μάζα του πρωτονίου, $m_{πρ}$ ($m_{πρ} = 1,67 \cdot 10^{-24}$ gr).

11 Σφαιρική πομφόλυγε σάπωνος άρχικώς άφορτιστος φορτίζεται με φορτίον Q . 'Αν ή άρχική ακτίς της σφαίρας ήτο

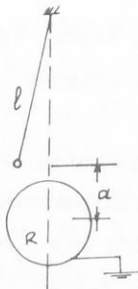
R_0 καί ἡ τελική $R(R_0 < R)$, νά ὑπολογισθῆ τὸ τοποθετηθῆν φορτίου ἐπὶ τῆς πομπόλυγος, ὅταν ἡ ἀτμοσφαιρική πῦεσις εἶναι: P .

$$Q = \sqrt{\frac{8\pi}{3} \cdot P \cdot R \cdot R_0 (R_0^2 + R_0 R + R^2)}$$

12 Ἡ ἔντασις ἠλεκτρικοῦ πεδίου μεταβάλλεται γραμμικῶς μετὰ τῆς ἀποστάσεως. Μεταξύ δύο σημείων ἐντάσεως μηδέν καί E_0 ἀντιστοίχως, μετακινεῖται φορτίον Q . Ἡ ἀπόστασις AB τῶν δύο σημείων εἶναι l . Εὗρατε τὸ ἔργον τοῦ πεδίου κατὰ τὴν μετακίνησιν τοῦ φορτίου Q ἀπὸ A εἰς B .

13 Κοίλη μεταλλική σφαῖρα, ἀπομεμακρυσμένη παντὸς ἐτέρου σώματος, φέρει φορτίον $Q(Q = +200 \text{ ΗΣΜ-}q)$. Ἐάν ἡ ἀκτίς τῆς σφαίρας εἶναι $r(r = 2 \text{ cm})$, νά ὑπολογισθῆ τὸ ἔργον τὸ ὁποῖον θά καταναλωθῆ κατὰ τὴν μετακίνησιν ἐνὸς θετικοῦ φορτίου, ἴσου πρὸς $q(q = 1 \text{ ΗΣΜ-}q)$, ἀπὸ ἓν σημεῖον ἀπέχον κατὰ $l(l = 50 \text{ cm})$ ἀπὸ τοῦ κέντρου τῆς σφαίρας εἰς ἓν ἄλλο, τὸ ὁποῖον ἀπέχει κατὰ $d(d = 10 \text{ cm})$ ἀπὸ τοῦ κέντρου τῆς σφαίρας.

14 Εἰς τὴν εἰκονιζομένην διατάξιν τὸ σφαιρῶδιον τοῦ ἐκκρεμοῦς ἔχει μᾶζα m καί θετικὸν φορτίον Q , ἐνῶ ἡ ἀγωγὸς σφαῖρα εἶναι γειωμένη.



Ποῖα ἡ περίοδος ταλαντώσεων μικροῦ πλάτους, τοῦ ἐκκρεμοῦς;

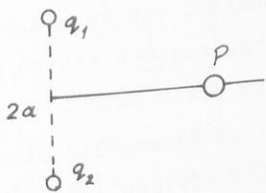
15 Τρεῖς ἴσαι μεταλλικαὶ πλάκες τοποθετοῦνται παραλλήλως ὡς εἰς τὸ σχῆμα. Οἱ ἐξωτερικὲς πλάκες συνδέονται δια



σύρματος. Ἡ ἐσωτερικὴ φέρει φορτίον με ἐπιφανειακὴν πυκνότητα $10 \frac{\text{ΗΣΜ}-\varphi}{\text{cm}^2}$
 Ποῖα ἡ κατανομὴ φορτίου εἰς τὰς διαφόρους ἐπιφάνειάς;

16 Δύο ὅμοια θετικὰ φορτία ἴσα πρὸς Q τοποθετοῦνται εἰς τὴν αὐτὴν ἀπόστασιν d ἀπὸ πλακῆς μεγάλῃς ἐπιφανείας & πρὸς τὴν αὐτὴν πλευρᾶν. Ἡ ἀπόστασις μεταξὺ τῶν φορτίων εἶναι $2d$. Εὗρατε τὴν ἔντασιν τοῦ πεδίου εἰς τὸ μέσον τῆς ἀποστάσεως τῶν δύο φορτίων.

17 Δύο σημειακὰ φορτία q τοποθετοῦνται εἰς ἀπόστασιν $2a$. Ποῖα ἡ ἔντασις τοῦ πεδίου εἰς σημεῖον P εὐρισκόμενον ἐπὶ τῆς καθέτου εἰς τὸ μέσον τῆς εὐθείας ποῦ συνδέει τὰ δύο φορτία & καὶ εἰς ἀπόστασιν $2a$ ἐξ αὐ-



τῆς; Ποῦ πρέπει νὰ τοποθετηθῇ ἓν φορτίον ἴσον πρὸς $\sqrt{5}q$, ὥστε ἡ ἔντασις εἰς τὸ σημεῖον P νὰ γίνῃ μηδέν;

18 Θέσατε μίαν μονάδα θετικοῦ φορτίου εἰς τὸ κέντρον ἑνὸς κύκλου καὶ N μονάδες ἀρνητικοῦ φορτίου, ὁμοιομόρφως κατανεμημένες ἐπὶ τοῦ κύκλου. Ὑπολογίσατε τὴν συνισταμένην δύναμιν εἰς ἓν τῶν ἀρνητικῶν φορτίων. Ἀπαντήσατε διὰ $N=3,4$ καὶ 5 . Ὑπολογίσατε τὴν ἐνέργειαν τοῦ συστήματος διὰ $N=4$.

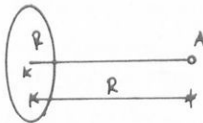
19 Πυρὴν ἠλίου διέρχεται ταχέως διὰ τοῦ κέντρου ἑνὸς μορίου H_2 κινούμενος ἐπὶ τῆς μεσοκαθέτου τῆς διακέντρου τῶν ἀτόμων τοῦ ὑδρογόνου. Ἡ ἀπόστασις τῶν πυρηνῶν τοῦ ὑδρογόνου εἶναι b . Ὑπολογίσατε τὸ ἔντασις τοῦ πεδίου εἰς τὸ σημεῖον ἢ ἐπὶ τοῦ πυρήνος τοῦ ἠλίου
 ὅπου ἡ ἔντασις εἶναι μέγιστη;

Τό πρόβλημα νά λυθῆ με τās ἔξης προϋποθέσεις:

α. Οἱ πυρήνες τοῦ ὑδρογόνου εἶναι πρὸς στιγμὴν ἀκίνητοι

β. δέν λαμβάνεται ὑπ' ὄψιν τό πεδίου τῶν ἠλεκτρονίων τοῦ μορίου τοῦ ὑδρογόνου.

20 Μεταλλικός ἀγωγός σχήματος δακτυλίου ἀκτίνας R φέρει φορτίον q . Ὑπολογίσατε



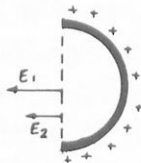
τὴν ἔντασιν τοῦ πεδίου (α)

εἰς τό κέντρον τοῦ δακτυλίου

K καί (β) εἰς σημεῖον A εὐ-

ρισκόμενον ἐπὶ τοῦ ἄξονος τοῦ δακτυλίου καί εἰς ἀπόστασιν R ἀπὸ τοῦ κέντρου K .

21 Λεπτὸς ἡμισφαιρικός ἀγωγός εἶναι φορτισμένος ὁμοιο-



μόρφως. Δείξατε ὅτι σέ κάθε σημεῖον τῆς

βάσεως, μεγίστου κύκλου, τοῦ ἡμισφαιρίου

ἡ ἔντασιν τοῦ ἠλεκτροστατικού πεδίου εἶ-

ναι κάθετος πρὸς τὴν βάση αὐτῆν.

22 Δίδεται κοίλο σφαιρικό μεταλλικό ἠλεκτροδίο ἐξωτερικῆς ἀκτίνας R_3 καί ἐσωτερικῆς R_2 . Στό κέντρον του ἔχει τοποθετηθῆ ἓνα ἄλλο σφαιρικό ἠλεκτροδίο ἀκτίνας R_1 ($R_1 < R_2 < R_3$).

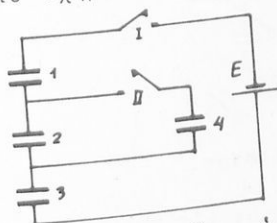
Ὁ ἐνδιάμεσος χῶρος τῶν δύο ἠλεκτροδίων πληροῦται με ἰσότροπον καί ὁμοιογενές ὑλικόν διηλεκτρικῆς σταθερᾶς ϵ . Ἐάν στό ἐσωτερικό ἠλεκτροδίο προσάγεται φορτίον Q_1 καί στό ἐξωτερικό Q_2 νά παρασταθῆ γραφικῶς συναρτήσῃ τῆς ἀπόστασως ἀπὸ τό κέντρον τοῦ συστήματος ἡ ἔντασιν καί τό δυναμικόν με συγκεκριμένες τιμές σέ χαρακτηριστικά σημεῖα.

23 Ἔστωσαν, ἐντός δοχείου παραφινελαίου, οἱ δύο ὀπλισμοί, διαμέτρου $d = 5\text{ cm}$, ἑνὸς πυκνωτοῦ, οἵτινες ἀπέχουν μεταξύ των $0,5\text{ mm}$. Ὁ εἰς ὀπλισμὸς προσγειοῦται, ἐνῶ ὁ

ἄλλος συνδέεται μέσω σύρματος ἀμελητέας χωρητικότητας, με
μεταλλική σφαίρα ἀκτίνος 1 cm, εὐρισκομένη ἐκτός τοῦ δο-
χείου τοῦ παραφινελαίου.

Δίδονται: ὁ τύπος τῆς χωρητικότητας C ἑνὸς πυκνωτοῦ:
 $C = \kappa \frac{S}{4\pi l}$, ὅπου S τὸ ἐμβαδὸν ἑνὸς ὀπλισμοῦ, l ἡ ἀπόστασις
μεταξὺ τῶν δύο ὀπλισμῶν καὶ κ ὁ συντελεστὴς τοῦ διηλεκτρι-
κοῦ (παραφινελαίου: $\kappa = 2,3$). Ζητεῖται τὸ ἠλεκτρικὸν φορ-
τῖον, εἰς μονάδας c.g.s καὶ εἰς Coulomb, τὸ ὁποῖον πρέπει
νὰ δοθῆ εἰς τὴν σφαίρα, ἵνα τὸ δυναμικὸν ταύτης γίνῃ ἴσον
πρὸς 500 μονάδας c.g.s

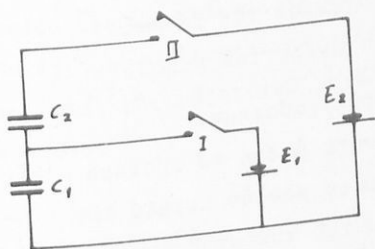
24 Τέσσερες ὅμοιοι πυκνωταὶ εἶναι συνδεδεμένοι ὡς εἰς
τὸ σχῆμα καὶ τὸ σύστημα τροφοδοτεῖται ὑπὸ πηγῆς ΗΕΔ E .



Ὁ διακόπτης II στήν ἀρχὴ εἶ-
ναι ἀνοικτός καὶ ὁ διακόπτης
I κλειστός. Ἀκολουθῶς ἀνοί-
γει ὁ I καὶ κλείνει ὁ II.

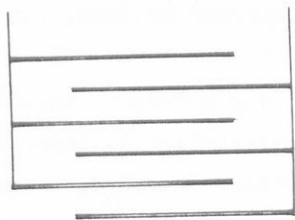
Ποῖα θὰ εἶναι ἡ διαφορὰ δυναμικοῦ εἰς ἕκαστον πυκνω-
τὴν ἐάν $E = 9V$.

25



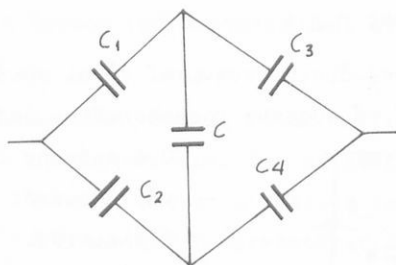
Ἡ φόρτισις τῶν C_1 καὶ C_2 γί-
νεται ὡς ἀκολουθῶς. Ὁ I κατ'
ἀρχὰς εἶναι κλειστός καὶ ὁ II
ἀνοικτός. Ἀκολουθῶς ἀνοίγει
ὁ I καὶ κλείνει ὁ II. Ἐάν αἱ
ΗΕΔ εἶναι E_1 καὶ E_2 (σχῆμα)
εὑρατε τὴν τάσιν εἰς ἕκαστον
πυκνωτὴν.

26 Ὁ ἐν σχήματι πυκνωτὴς ἀποτελεῖται ἀπὸ ἕξι παραλλή-



λους πλάκας έξ άργιλλίου. Έάν τσ διηλεκτρικόν είναι μίκα ($\epsilon = 4$) αί άποστάσεις τών πλακών ίσαι πρδς 0,2 χιλιοστά καί ή ένέργδς έπιφάνεια έκάστης πλακός είναι 50 cm^2 , νά ύπολογισθ ή χωρητικότης αύτου είς pF.

- 27 Προσδιορίσατε τήν συνθήκην μεταξύ τών C_1, C_2, C_3 καί



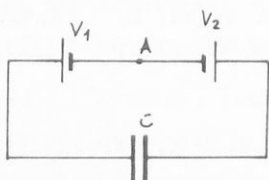
C_4 του σχήματος ίνα ό C παραμένει άφορτιστος.

- 28 Είς έκάστην άκμήν κύβου εύρίσκεται είς πυκνωτής χωρητικότης C.

Ποία ή όλική χωρητικότης:

- μεταξύ δύο διαδοχικών κορυφών του
- μεταξύ τών άκρων μιās διαγωνίου της βάσεως
- μεταξύ τών άκρων μιās διαγωνίου του κύβου.

- 29 Μελετήσατε τδ είκονιζόμενον σύστημα.

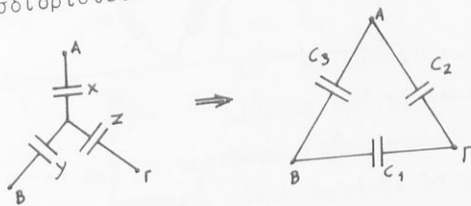


Μελετήσατε άκμήν τδ σύστημα είς περίπτωσιν καθ'ήν μεταξύ τών όπλισμών του πυκνωτου τοποθετείται μεταλλική πλάξ πάχους d, παραλλήλως πρδς τούς όπλισμούς καί ή όποία συνδέεται άγωγίμως μέ τδ Α.

30 Πέντε ίσης χωρητικότητας πυκνωταί συνδέονται ούτως ώστε να σχηματίζονται δύο παράλληλοι κλάδοι, αποτελούμενοι από τήν έν σειρά σύνδεσιν 2 πυκνωτών ο πρώτος και 3 πυκνωτών ο δεύτερος. Το σύστημα τίθεται υπό τάσιν 18.000 V, εΐτα δεξ, μετά τήν άποσύνδεσιν τής πηγής, ο άγωγός συνδέσεως των δύο πυκνωτών του πρώτου κλάδου συνδέεται άγωγίμως με τον άγωγόν συνδέσεως δύο πυκνωτών του δευτέρου κλάδου.

Διά τής άγωγίμου ταύτης συνδέσεως ή ένέργεια του όλου συστήματος των 5 πυκνωτών μειούται κατά 0,375 Joul. Ποία εΐναι ή χωρητικότης έκάστου πυκνωτού;

31 Να προσδιορισθούν τά C_1, C_2, C_3 συναρτήσει των x, y



καί z εΐς τρῶπον ὥστε αΐ δύο συνδέσεις νά εΐναι ισοδύναμοι.

32 Δίδεται, ὅτι ὑπάρχουν z^* ἐλεύθερα ἠλεκτρόνια ἀνά μονάδα ὄγκου μετάλλου τινός καί ὅτι ἕκαστον ἐξ αὐτῶν, ὑπό τήν ἐπίδρασιν ἠλεκτρικοῦ πεδίου σταθερᾶς έντάσεως E, κινεΐται έντός τής μάζης του μετάλλου μέ ταχύτητα διδομένην ἀπό τον τύπον

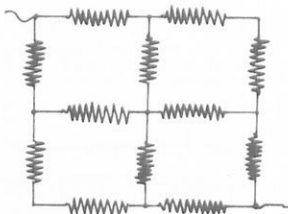
$$v = \tau \cdot E \quad (1)$$

ένθα τ σταθερά καλουμένη εύκλινησά ἠλεκτρονίου.

Ζητούσται:

1. Να άποδειχθῆ θεωρητικῶς ὁ νόμος του Ohm
2. Να έξαχθῆ ὁ τύπος $R = \rho \cdot (l/S)$.

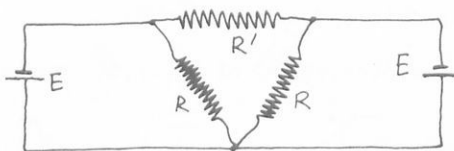
33 Αί πλευραί όλων τών τετραγώνων είναι αντίστασεις ί-



σαι προς R.

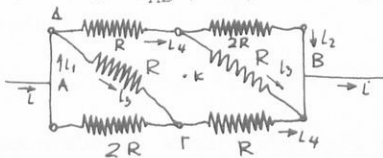
Ποιά ή όλικη αντίσταση μεταξύ τών A και B.

34 Νά επίλυθη τό κύκλωμα καί νά έξαχθούν χρήσιμα συμ-

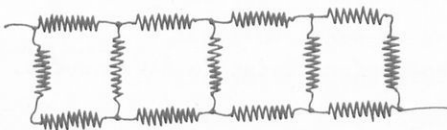


περάσματα.

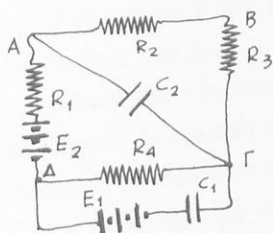
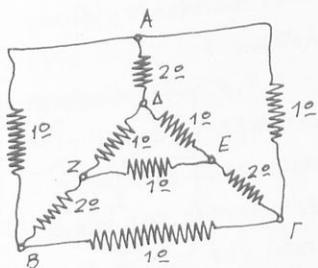
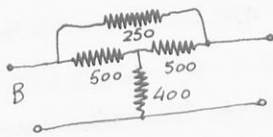
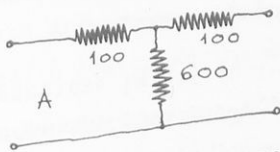
35 Νά υπολογισθί ή αντίσταση R_{AB} μεταξύ τών σημείων A και B είς τό κύκλωμα.



36 Έκαστον τών τετραγώνων του κυκλώματος έχει πλευράν μήκους 40 cm και είναι εκ του ίδιου ίσοπαχους σύρματος. Έάν τό ρεύμα εισέρχεται και έξέρχεται ως είς τό σχήμα υπολογίσατε την όλικη αντίστασιν του κυκλώματος σε ίσοδύναμον μήκος εκ του ίδιου σύρματος.



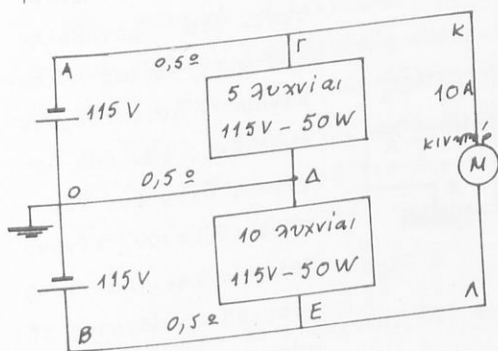
37 'Αποδείξτε τήν ἰσοδυναμίαν τῶν διατάξεων Α καί Β.



38 Αἱ ἀντιστάσεις τοῦ τριγώνου ΑΒΓ εἶναι ὅλαι τοῦ 1Ω .
Αἱ ἀντιστάσεις τοῦ τριγώνου ΔΕΖ εἶναι ὅλαι τοῦ 1Ω .
Αἱ ἀντιστάσεις τῶν κλάδων ΑΔ ΕΓ καί ΒΖ εἶναι ὅλαι τῶν 2Ω .
Ποῖα ἡ ἀντίστασις μεταξύ τῶν Α καί Γ.

39 Νά προσδιορισθοῦν τὰ ρεύματα καί τὰ φορτία τῶν πυκνωτῶν εἰς τὸ εἰκονιζόμενον κύκλωμα.

40 Εἰς τὸ σχῆμα παρίσταται διανομή ἠλεκτρικῆς ἐνέργειας διὰ 3 ἀγωγῶν. Ζητοῦνται:

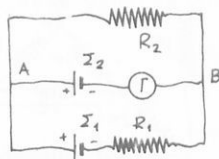


- Ποῖον τὸ ρεῦμα δι' ἐκάστου τῶν ἀγωγῶν.
 - Ποῖα ἡ τάσις εἰς τὰ ἄκρα ἐκάστου φορτίου, (καταναλωτοῦ).
 - Ἐάν κοπῆ ἡ μεσαία γραμμὴ, ποῖα θὰ εἶναι ἡ τάσις εἰς τὰ ἄκρα ἐκάστου φορτίου.
- Σημ.: Κατὰ τὸν ὑπο-

λογισμόν θά ὑποτεθῆ ὅτι αἱ λυχνίαί ἔχουν σταθεράν ἀντίστασιν καί ὅτι ὁ κινητήρ ἀπορροφᾷ σταθερῶς 10A.

41 Τό κύκλωμα στήλης Σ_1 ἢλ.γ.δ.Ε₁ περιλαμβάνει δύο μεταβλητάς ἀντιστάσεις R_1 καί R_2 . Μεταξύ δύο σημείων Α καί Β τοῦ κυκλώματος τούτου παρεμβάλομεν διακλάδωσιν περιέχουσαν στήλην Σ_2 καί γαλβανόμετρον Γ. Ἡ στήλη Σ_2 εἶναι κατ' ἀντίθεσιν ὡς πρὸς τήν Σ_1 . Ἐκτελοῦμεν τὰ ἀκόλουθα δύο πειράματα:

α) Δίδομεν εἰς τὰς ἀντιστάσεις R_1 καί R_2 τιμάς, ὥστε διὰ τοῦ ρεύθρου τοῦ γαλβανομέτρου νά μὴ διέρχεται ρεῦμα

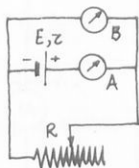


β) Αὐξάνομεν τήν ἀντίστασιν R_1 κατά ποσότητα ρ_1 , ὅποτε διὰ τοῦ ρεύθρου τοῦ γαλβανομέτρου διέρχεται ρεῦμα. Δίδομεν τότε εἰς τήν ἀντίστασιν R_2 μίαν τοιαύτην αὐξήσιν ρ_2 , ὥστε καί πάλιν τό διὰ τοῦ γαλβανομέτρου ρεῦμα νά γίνῃ μηδέν.

Ζητεῖται νά ὑπολογισθῆ ὁ λόγος τῶν ἢλ. γ. δυνάμεων τῶν δύο στηλῶν, συναρτήσῃ τῶν αὐξήσεων ρ_1 καί ρ_2 .

42 Τό βολτόμετρον Β τοῦ σχήματος ἔχει πολὺ μεγάλην ἀντίστασιν καί τό ἀμπερόμετρον Α εἶναι ἀμελητέας ἀντιστά-

V Volts	I A
1,8	1
1,6	1,33
1,2	2
0,6	3
0,4	3,33



σεως. Διὰ μεταβολῆς τῆς ἀντιστάσεως R λαμβάνομεν ἀντιστοίχους ἐνδείξεις τῶν δύο ὀργάνων, ὅπως εἰς τόν παρατιθέμενον πίνακα δεικνύονται. Νά γίνῃ γραφικὴ παράστασις τῆς τάσεως εἰς τοὺς πό-

λους της πηγής συναρτήσει της δι' αυτής διερχομένης έντάσεως καί εκ του διαγράμματος τούτου νά εύρεθῇ ἡ ΗΕΔ της πηγῆς καθώς καί ἡ ἔσωτερική της αντίστασις.

43 Ἐπιθυμοῦμεν νά καθορίσωμεν πειραματικῶς τήν τάσιν εἰς τοὺς πόλους γεννητρίας, διαθέτοντες ἓνα ἀμπερόμετρον, μίαν μεταβλητὴν ἀντίστασιν καί ἓνα βολτόμετρον μεγάλης ἐσωτερικῆς ἀντιστάσεως. Αἱ μετρήσεις ἔδωσαν τὰ ἀκόλουθα:

Ἄμπερόμετρον: $4,7 \text{ A} - 3,5 \text{ A} - 2,15 \text{ A} - 0 \text{ A}$

Βολτόμετρον : $13,1 \text{ V} - 16,45 \text{ V} - 17,85 \text{ V} - 20 \text{ V}$.

1ον) Κατασκευάσατε διάγραμμα δεικνύον τήν σχέσιν $U = f(I)$. Ἐκ τοῦ διαγράμματος ὑπολογίσατε τήν Η.Ε.Δ. της γεννητρίας ὡς καί τήν ἔσωτερικήν της ἀντίστασιν.

2ον) Συνδέομεν τήν γεννητρίαν μέ κινητήρα ἐν σειρά & μέ ἀντίστασιν $R = 5 \Omega$.

Ἐμποδίζοντες τήν λειτουργίαν τοῦ κινητήρος παρατηροῦμεν ὅτι ἐντός 5 min ἐπὶ της R ἀναπτύσσονται 1440 cal.

Ὅταν λειτουργῇ ὁ κινητήρ, ἐντός τοῦ ἰδίου χρόνου ἐπὶ της R ἀναπτύσσονται 90 cal. Ὑπολογίσατε τήν Α.Η.Ε.Δ. καί τήν ἔσωτερικήν ἀντίστασιν τοῦ κινητήρος.

(Baccalaureat)

44 θέλομεν νά ἐπιτύχωμεν ὥστε διὰ ἀντιστάσεως R νά διέρχεται ρεῦμα I , τῆ βοηθείᾳ συστοιχίας συσσωρευτῶν ἕκαστος τῶν ὁποίων ἔχει ΗΕΔ E καί ἔσωτερικήν ἀντίστασιν r .

α) Ποῖος ὁ ἐλάχιστος ἀριθμός ἀπαιτουμένων στοιχείων.

β) Πῶς πρέπει νά τὰ διατάξωμεν;

Ἀριθμητικὴ ἐφαρμογή

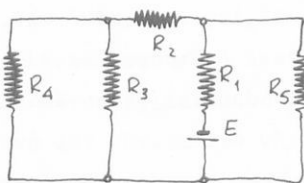
$$E = 3 \text{ V} \quad r = 0,25 \Omega \quad R = 5 \Omega \quad I = 8 \text{ A}$$

Διαθέτομεν 90 στοιχεῖα. Πῶς πρέπει νά τὰ συνδέσωμεν

ώστε να επιτύχουμε το μέγιστο ρεύμα εις την αντίστασιν R του προηγούμενου έρωτήματος. θέτομεν την συνθήκην ότι το ρεύμα ανά στοιχείον της συστοιχίας δέν πρέπει να υπερβή τά $0,5 \text{ A}$.

Πόσα στοιχεία θά απαιτηθούν και πώς θά πρέπει να συνδεθούν αυτά ίνα επιτύχουμε έντασιν 8 A διά μιᾶς αντίστασως 5Ω .

45 Νά εύρεθῆ τό διά της R_5 ρεύμα εις τό κατωτέρω κύκλωμα.



Ἀπάντησις:

$$I_5 = \frac{E - R_1 I}{R_5} \quad I = \frac{E}{R_1 + R_i}$$

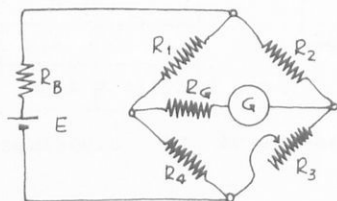
$$\text{μέ } R_i = \frac{R_5(R_2 + R_4 // R_3)}{R_2 + R_5 + R_4 // R_3}$$

Ἐκτελεστής // σημαίνει τήν έν παραλλήλω σύνδεσιν τῶν δύο στοιχείων π.χ.

$$R_4 // R_3 = \frac{R_4 R_3}{R_4 + R_3}$$

46 Παραπλεύρως δίδεται τό κύκλωμα της γεφύρας του Wheatstone.

α) Νά ὑπολογισθῆ ἡ έντασις του ρεύματος ἡ διερχομένη διά του γαλβανομέτρου G .



β) Ἐάν $E=1,5\text{V}$, $R_1=40\Omega$, $R_2=100\Omega$, $R_4=400\Omega$, $R_G=250\Omega$ καί R_B εἶναι ἀμελητέα, νά εύρεθῆ ἡ τιμή της R_3 διά τήν ὁποίαν ἡ γέφυρα ἰσορ-

ροπεϊ.

γ) Διά νά προκληθῇ αἰσθητὴ ἀπόκλισις εἰς τὸ γαλβανόμετρον G , ἀπαιτεῖται ἔντασις ρεύματος $0,1 \mu A$. Διά ποῖαν ἐλάχιστην μεταβολὴν τῆς μεταβλητῆς ἀντιστάσεως R_3 , ἀπὸ τὴν θέσιν ἰσορροπίας, εἶναι δυνατόν νά διαπιστωθῇ διέλευσις ρεύματος διὰ τοῦ γαλβανομέτρου.

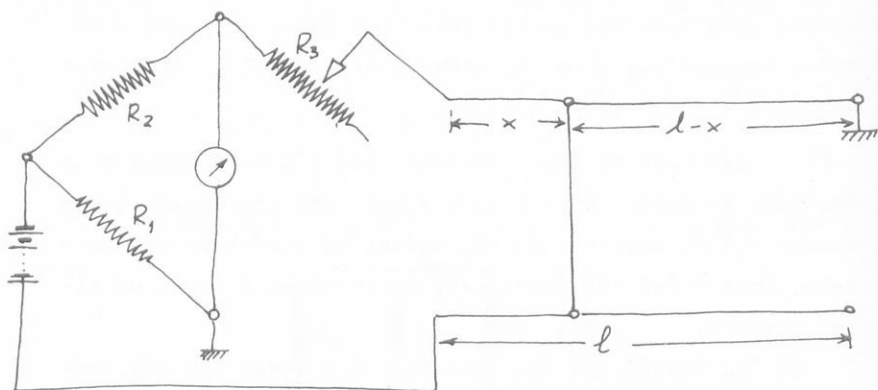
47 Δίδονται 40 ὅμοια στοιχεῖα καὶ μία ἀντίστασις $R = 4 \Omega$. Κάθε στοιχεῖον ἔχει $H.E.A. 2 \text{ volt}$ καὶ ἐσωτερικὴν ἀντίστασιν $0,4 \Omega$. Ζητεῖται α) Πῶς πρέπει νά συνδεθοῦν τὰ στοιχεῖα, ὥστε ἡ ἐπὶ τῆς ἐξωτερικῆς ἀντιστάσεως R ἰσχύς νά εἶναι μεγίστη.

β) "Αν ὑποθέσωμεν ὅτι πληροῦται ἡ συνθήκη τῆς περιπτώσεως α καὶ ὅτι ἡ R εἶναι ἡ ἀντίστασις θερμοσίφωνος συντελεστοῦ ἀποδόσεως $0,8$, ποῖος ὁ συντελεστὴς ἀποδόσεως ὁλοκλήρου τοῦ κυκλώματος καὶ ποῖα ἰσχύς καταναλίσκεται εἰς τὸ ἐσωτερικόν ἐκάστου στοιχείου.

48 Διαθέτομεν πολλοὺς λαμπτήρας δύο μορφῶν. Ἐκαστος λαμπτήρ Λ_1 τῆς πρώτης μορφῆς φέρει τὰς ἐνδείξεις: $110 \text{ volt} - 60 \text{ watt}$, ἐνῶ ἕκαστος λαμπτήρ Λ_2 τῆς δευτέρας μορφῆς χαρακτηρίζεται ὑπὸ τῶν ἐνδείξεων: $110 \text{ volt} - 150 \text{ watt}$. Συνδέομεν x_1 λαμπτήρας τῆς μορφῆς Λ_1 ἐν παραλλήλῳ, καθὼς ἐπίσης x_2 λαμπτήρας τῆς μορφῆς Λ_2 πάλιν ἐν παραλλήλῳ, καὶ τὰ συγκροτήματα τούτων ἐνοῦμεν ἐν σειρᾷ. Εἰς τὰ ἄκρα τοῦ ὅλου συστήματος ἐφαρμόζομεν τὴν τάσιν τῶν 220 volt . Ποταὶ αἱ ἐλάχισται τιμαὶ τῶν x_1 καὶ x_2 , ἵνα ἕκαστος λαμπτήρ λειτουργῇ κανονικῶς;

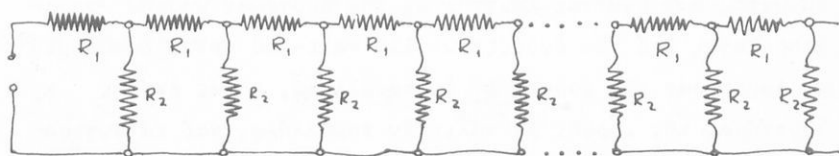
49 Τὸ εἰκονιζόμενον κύκλωμα χρησιμοποιεῖται διὰ τὸν προσδιορισμὸν τῆς θέσεως βραχυκυκλώματος ζεύγους τηλεφωνι-

κων καλωδίων ἕκαστον τῶν ὁποίων ἔχει μήκος 30 km. Ἐκάστη τῶν R_1 καὶ R_2 εἶναι 300 Ω καὶ ἡ ἀντίστασις τῆς γραμμῆς εἶ-



ναι 40 Ω/km . Εὑρετε τὴν ἀπόστασιν x τοῦ βραχυκυκλώματος ἂν στὴν θέση ἰσορροπίας ἡ R_3 εἶναι 440 Ω .

50 Εἰς τὸ ἀκόλουθον δικτύωμα αἱ ἀντιστάσεις R_1 καὶ R_2 ἐπαναλαμβάνονται ὁμοίως ἄπειρες φορές.

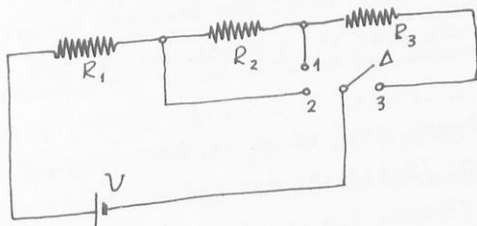


Προσδιορίσατε τὴν ἀντίστασιν τοῦ μεταξύ τῶν A καὶ B.

51 Ἡ συνδεσμολογία τοῦ σχήματος παριστᾷ τὰς χρησιμοποιούμενας ἀντιστάσεις εἰς τινὰ ἠλεκτρικὴν ἐγκατάστασιν.

Ἡ ἐγκατάστασις λειτουργεῖ ὑπὸ συνεχῆ τάσιν 440 V. Ὁταν ὁ διακόπτης εὑρίσκεται εἰς τὴν θέσιν 1, ἡ δαπανωμένη

Ισχύς είναι $1,2 \text{ kW}$, εις τήν θέσιν 2 ἡ δαπανωμένη ἰσχύς αὐξάνεται κατά 10% , ἐνῶ εις τήν θέσιν 3 ἔλαττοῦται κατά 10% .



Νά ὑπολογισθοῦν αἱ ἀντιστάσεις R_1 , R_2 , R_3 .

52 Βαροῦλκον λειτουργεῖ μέ ἠλεκτρικόν κινητήρα, ὁ ὁποῖος τροφοδοτεῖται μέ τάσιν 220 V καί ἀποδίδει μηχανικὴν ἰσχύν 10 HP . Ἐάν ἡ ἀπόδοσις τοῦ κινητήρος εἶναι 80% ζητοῦνται:

- α) Ἡ ἐντασις τοῦ ρεύματος, τό ὅποτον διαρρέει τόν κινητήρα κατά τήν λειτουργίαν του,
 β) Ἄν ἡ ἀπόδοσις τοῦ βαροῦλκου εἶναι 75% εἰς ποῖον ὕψος δύναται νά μεταφερθῇ δι' αὐτόν ὕδωρ μάξης 10 tn ἐντός χρόνου 200 sec ; ($g = 10 \text{ m/sec}^2$).

53 Ἡλεκτρική γεννήτρια τροφοδοτεῖται ὑπό ὕδατοπτώσεως ὕψους 200 m καί παροχῆς ὕδατος $1 \text{ m}^3/\text{sec}$. Ἡ παραγομένη ἠλεκτρική ἐνέργεια διατίθεται ἐξ ὀλοκλήρου πρὸς ἐξάτμισιν ὕδατος ἀρχικῆς θερμοκρασίας 20°C . Ζητεῖται ἡ ἀνά sec παραγωγή ἀτμοῦ ἐφ' ὅσον ὁ γενικός συντελεστής ἀποδόσεως εἶναι $\eta = 0,40$.

54 Ὁ ὕδροστρόβιλος κινεῖ ἐναλλακτήρα μέ ἀπόδωσιν η_2 ($\eta_2 = 90\%$) ἐνεργοῦ τάσεως $U_{εν}$ ($U_{εν} = 2500 \text{ V}$). Ἡ παρεχομένη ἐνέργεια ὑπό τοῦ ἐναλλακτήρος μεταβιβάζεται εἰς τήν κα-

τανάλωσιν μέσω γραμμής αντίστασεως $R (R = 2\Omega)$. 'Ο συντελεστής ισχύος της γραμμής είναι $\eta_3 (\eta_3 = 85\%)$. Νά υπολογισθούν ή δαπανωμένη επί της γραμμής ενέργεια συνεπεία του φαινομένου Joule καί ο λόγος της ωφέλιμου ενέργειας εις τά άκρα της γραμμής προς την παρεχομένην υπό του έναλλακτηρος ενέργειαν.

55 'Ισοδύναμος πηγή με χαρακτηριστικά E, r τροφοδοτεί αντίστασιν $10\ \Omega$. 'Η επί της αντίστασεως αυτής καταναλισκόμενη ισχύς εύρσκεται διά μετρήσεως ίση προς $3,620\ W$. 'Εν συνεχεία ή αντίστασις των $10\ \Omega$ αντικαθίσταται δι' αντίστασεως $20\ \Omega$ καί μετράται ή έσωτερική κατανάλωσις (άπώλειαι) της πηγής εύρισκομένης ίση προς $47,65\ W$. Ζητούνται τά E καί r της ισοδυναμού πηγής.

56 Είς τόπον Α διατίθεται τάσις $220\ Volt$. Αυτή τροφοδοτεί κινητήρα, όστις εύρσκεται εις τόπον Β απέχοντος του Α κατά $800\ m$, διά σύρματος έχοντος αντίστασιν $0,01\ \Omega/m$. 'Ο κινητήρ ούτος περιστρέφει ένα τροχόν, όστις ύπόκειται εις την επενέργειαν σταθεράς δυνάμεως $F = 80\ kg*$ ενεργούσης έφαπτομένικώς καί αντίτιθεμένης εις την κίνησιν του τροχού εις τρόπον ώστε ή γραμμική ταχύτης των σημείων της περιφερείας του τροχού νά είναι $v = 0,12\ m/sec$. "Αν ο κινητήρ έχη έσωτερικήν αντίστασιν $2\ \Omega$, νά υπολογισθούν: α) 'Η έντασις του ρεύματος. β) 'Η ΑΗΕΔ του κινητήρος, γ) ο συντελεστής άποδόσεως του κινητήρος καθώς καί ολοκληρου της γραμμής καί δ) 'Η όλικώς καταναλισκόμενη ισχύς.

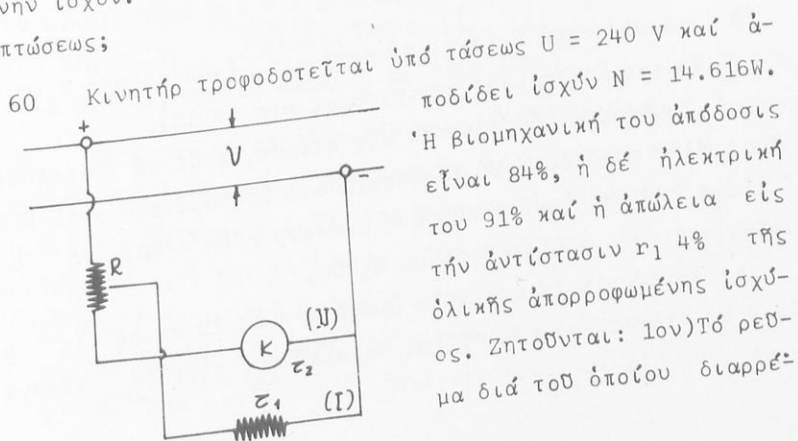
57 Δευτερεύων πίναξ διανομής Β άπέχει από κεντρικόν Α $200\ m$ καί τροφοδοτεί 50 λυχνίας των $100\ W$ καί κινητήρα $10\ CV$. 'Η τάσις είναι $230\ V$ εις τό Α καί έπιτρέπεται πώσις τάσεως 5% έως τόν Β. Νά εύρετε την διατομήν του χαλκίνου άγωγού μεταξύ Α καί Β καί την κατανάλωσιν εις τόν πίνακα Α διά δεκάωρον λειτουργίαν ($\rho_{\chi} = 0,018\ \Omega mm^2 \cdot m^{-1}$).

Ψηφιοποιήθηκε από το Ινστιτούτο Εκπαιδευτικής Πολιτικής

58 Τρεις αντίστασεις R_1 , R_2 και R_3 εκ χαλκού, συνδέονται έν σειρά καί άκολουθως διαβιβάζεται δι' αὐτῶν ρεύμα έντάσεως 20A. Αί τομαί αὐτῶν εἶναι άνάλογοι τῶν άριθμῶν 2, 3 καί 4, ὁ δέ ὄγκος τοῦ χαλκοῦ εκάστης αντίστασεως 1 cm³. 'Επί τοῦ συστήματος τῶν τριῶν αντίστασεων άναφαίνεται συνολικῶς θερμότης 600 cal ανά πρῶτον λεπτόν. Ζητεῖται α) Ἡ τιμή εκάστης τῶν αντίστασεων R_1 , R_2 καί R_3 . β) Τό μήκος εκάστης εκ αὐτῶν καί γ) Ἡ ίσοδύναμος αντίστασις. Δίδεται εἶδ. αντίστασις χαλκοῦ $1,5 \cdot 10^{-6} \Omega \cdot \text{cm}$.

59 Οἱ πόλοι πηγῆς ἡλ.γ.δυναμέως E καί εσωτερικῆς αντίστασεως $r = 4,5\Omega$ συνδέονται μέ τούς άκροδέκτας ροοστάτου. 'Αρχικῶς ρυθμίζομεν τήν αντίστασιν τοῦ ροοστάτου εἰς τήν τιμήν τῶν $0,5\Omega$.

α) Νά εὔρεθῆ ἄν ὑφίσταται ἄλλη τιμή τῆς αντίστασεως τοῦ ροοστάτου διά τήν ὁποῖαν ἡ εκ' αὐτοῦ καταναλισκομένη ἰσχύς διατηρεῖται ἡ αὐτή. β) Νά ὑπολογισθῆ ἡ τιμή εἰς τήν ὁποῖαν πρέπει νά ρυθμισθῆ ἡ αντίστασις τοῦ ροοστάτου, ἵνα ἡ εκ' αὐτοῦ καταναλισκομένη ἰσχύς 1) διπλασιασθῆ καί 2) τριπλασιασθῆ, έν σχέσει μέ τήν αρχικῶς εκ' αὐτοῦ καταναλισκομένην ἰσχύν. Πῶς ἐρμηνεύεται τό ἀποτέλεσμα τῆς δευτέρας περιπτώσεως;



εται. 2ον) Τά ρεύματα i_1 καί i_2 εἰς τοὺς κλάδους (I) καί (II) καί αἱ ἀντιστάσεις R_1 καί R_2 τῶν κλάδων. 3ον) Ποία ἡ ἐλαχίστη ἀντίστασις R ἵνα μὴ στρεφομένου τοῦ κινητήρος ἔχομεν μέγιστον ρεῦμα 75 A.

61 Νά εὐρεθῇ ὁ ἀριθμὸς τοῦ Loschmidt, ὅταν γνωρίζομεν τὸ φορτίον τοῦ ἠλεκτρονίου, e καί τὴν σταθεράν Faraday, F .

62 Βολτάμετρον μέ ἠλεκτρόδια ἐκ χαλκοῦ περιέχει διάλυμα θειϊκοῦ χαλκοῦ καί ἔχει ἀντίστασιν R ($R = 15\Omega$). Ὄταν δι' αὐτοῦ διέλθῃ ἐπὶ τι χρονικὸν διάστημα ρεῦμα ἐντάσεως i ($i = 10A$), ἐπὶ τῆς καθόδου ἀποτίθεται μᾶζα χαλκοῦ m ($m = 113,2 \text{ gr}$). Νά ὑπολογισθῇ ἡ μᾶζα τοῦ ἀποτιθεμένου εἰς τὴν κάθodon χαλκοῦ, ἐάν παραλλήλως πρὸς τὸ βολτάμετρον συνδεθῇ κινητὴρ ἐσωτερικῆς ἀντιστάσεως r ($r = 5\Omega$), τοῦ ὁποίου ἐμποδίζεται ἡ λειτουργία. Ἐντασις ρεύματος καί χρόνος διελεύσεως αὐτοῦ παραμένουν τὰ αὐτά. Νά ὑπολογισθῇ ἡ μᾶζα τοῦ χαλκοῦ, ἡ ὁποία συνολικῶς ἀποτίθεται κατὰ τὸν αὐτὸν χρόνον ἐάν ὁ κινητὴρ ἐργάζεται ὑπὸ ἰσχύν N ($N = 70 \text{ W}$). Νά εὐρεθῇ ἡ ἀντι-HEΔ τοῦ κινητήρος. Ὑποθέτομεν, ὅτι ἡ διερχομένη ἔντασις διὰ τοῦ κινητήρος εἶναι ἡ μικροτέρα ἐκ τῶν δύο δυνατῶν τιμῶν.

63 Διαθέτομεν N ($N = 12$) στοιχεῖα, ἕκαστον HEΔ E ($E = 1,5 \text{ V}$) καί ἐσωτερικῆς ἀντιστάσεως r ($r = 1\Omega$).

α) Συνδέομεν τὰ στοιχεῖα εἰς σειρὰν, τοὺς δὲ πόλους τῆς στήλης συνδέομεν μέ τὰ ἠλεκτρόδια βολταμέτρου ἀντι-HEΔ E' ($E' = 2V$) καί ἐσωτερικῆς ἀντιστάσεως r' ($r' = 4\Omega$), τὸ ὁποῖον περιέχει ἀραιὸν διάλυμα H_2SO_4 .

β) Συνδέομεν τὰ στοιχεῖα ἀνά λ ($\lambda = 2$) ἐν σειρᾷ εἰς μ ($\mu = 6$) στήλας καί τὰς στήλας παραλλήλως, τοὺς δὲ πόλους

της στήλης με τά ηλεκτρόδια του αναφερθέντος βολταμέτρου
 Νά εύρεθη είς έκαστην περίπτωσιν ὁ ἀναγκαῖος χρόνος διά νά
 λάβωμεν μάζαν m ($m = 1 \text{ gr}$) ὑδρογόνου καί ἡ μάζα τοῦ Zn . Ἄ
 τομικόν βάρος $A_{\text{Zn}} = 66$, ἡ καταναλισκομένη κατά τόν χρό-
 νον αὐτόν ἐντός ὄλων τῶν στοιχείων.

64 Ἀφήνομεν νά διέλθῃ ρεῦμα σταθερᾶς ἐντάσεως διά
 τριῶν βολταμέτρων τοποθετημένων ἐν σειρά: Τό πρῶτον περι-
 λαμβάνει H_2SO_4 (ἤλεκτροδία ἐκ γραφίτου), τό δεῦτερον NaCl
 (ἤλεκτροδία ἐκ γραφίτου) καί τό τρίτον AgNO_3 (ἤλεκτροδία
 ἐξ ἀργύρου). Εἰς τό κύκλωμα τίθεται ροοστάτης διά τήν ρύ-
 θμισιν τῆς ἐντάσεως τοῦ ρεύματος.

1. Σχεδιάσατε τό κύκλωμα.
 2. Τί συμβαίνει εἰς τά δύο πρῶτα βολτάμετρα; Πῶς ἀνα-
 γνωρίζομεν τά προϊόντα; Δικαιολογήσατε τάς ἀπαντήσεις.
 3. Μετά χρόνον t ($t = 50 \text{ min}$) ἡ μάζα τῆς καθόδου τοῦ
 τρίτου βολταμέτρου νύξηθη κατά m ($m = 16,78 \text{ gr}$). Ποία ἡ ἐν-
 τασίς τοῦ ρεύματος;
 4. Ὑπολογίσατε τήν ἔκλυσιν ἀερίου εἰς τό πρῶτον βολ-
 τάμετρον, ὅταν γνωρίζωμεν ὅτι φορτίον F ($F = 96500 \text{ Cb}$) ἐ-
 λευθερώνει μάζαν μ ($\mu = 1 \text{ gr}$) ὑδρογόνου. Ἀτομικόν βάρος ἄρ-
 γύρου A ($A = 108$) σθένος n ($n = 1$).
- (B.E.P.C., Paris, session de Juin 1964).

65 Κατά τήν ἤλεκτρολυτικὴν παρασκευὴν Al ἐκ τοῦ Al_2O_3
 ἡ μεταξὺ τῶν ἤλεκτροδίων ἐφηρμοσμένη τάσις εἶναι 5V , ἡ δέ
 $\text{A.H.E.}\Delta$ τοῦ βολταμ. $2,8 \text{ V}$. Ὑπὸ τὰς συνθήκας αὐτάς παρα-
 σκευάζονται $4,05 \text{ Kgr Al}$ ἀνά h . Ὑπολογίσατε

- α) τήν ἔντασιν τοῦ ρεύματος
- β) τήν ἐσωτερικὴν ἀντίστασιν τοῦ βολταμέτρου
- γ) τήν ἤλεκτροικὴν ἰσχύ, ἥτις μετατρέπεται εἰς χημικὴν

δ) τήν δαπανωμένην ἐνέργειαν εἰς KWh, δι' ἕκαστον τόνον, Al X.I. τοῦ Al = 9.

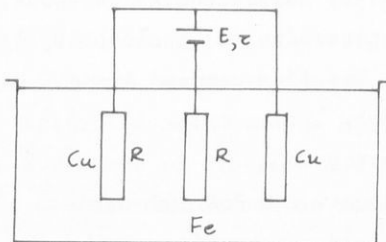
66 Δύο συσσωρευταί ($E = 2$ volt καί $r = 0$, ἕκαστος) τοποθετοῦνται κατ' ἀρχὴν ἐν σειρᾷ καί κατόπιν ἐν παραλλήλῳ, ἕκαστην δέ φοράν ἡ πηγή τροφοδοτεῖ ἀντίστασιν $R = 8\Omega$. Ποία, εἰς ἕκαστην περίπτωσιν ἡ διάρκεια τῆς ἐκφορτίσεως, ἂν ἕκαστος τῶν συσσωρευτῶν ἔχει χωρητικότητα 15 Ah.

67 Γεννήτρια $E = 19V$ καί $r = 6\Omega$, τροφοδοτεῖ δύο κλάδους συνδεδεμένους παράλληλα, ἐκ τῶν ὁποίων ὁ εἷς περιλαμβάνει $R_1 = 10\Omega$ καί βολταμ. Pt//CuSO₄//Pt ἀντιστάσεως 7Ω & ὁ ἕτερος $R_2 = 10\Omega$ βυθισμένην εἰς θερμοδόμετρον ὀλικῆς θερμοχωρητικότητος 500 cal/grad. Ἡ θερμοκρασία τοῦ θερμοδ. ἀνυψοῦται κατὰ 3° εἰς 10 min καί 27 sec. Ζητοῦνται:

- Ἡ ἔντασις τοῦ ρεύματος εἰς ἕκαστον βραχίονα
- Τό ἀνά λεπτόν ἀποτιθέμενον βᾶρος Cu καί
- Ἡ A.H.E.Δ. τοῦ βολταμέτρου.

68 Ἡλεκτρικόν στοιχεῖον περιέχει διάλυμα H₂SO₄ καί φέρει βυθισμένα δύο ἠλεκτρόδια, ἓν ἐκ Zn καί ἓν ἐκ Cu. Κατὰ τήν ἀντίδρασιν 1gr Zn μετά τοῦ H₂SO₄ ἀποδίδονται 1620 cal, ἐνῶ κατὰ τήν ἀντίδρασιν 1gr Cu ἀπορροφῶνται 880 cal. Νά εὐρεθῇ ἡ E τοῦ στοιχείου.

69 Συσκευή ἀμφιπλεύρου ἐπιχαλκώσεως ἀποτελεῖται ἀπό



τήν πρὸς ἐπιχάλκωσιν σιδηρᾶ πλάκα, ἡ ὁποία ἀποτελεῖ τὴν κάθοδον, ἑκατέρωθεν τῆς ὁποίας εὐρίσκονται δύο πλάκες χαλκοῦ συνδεδεμέ-

ναι με τόν θετικόν πόλον τῆς πηγῆς. Ἡ $\mathcal{E} = 12\text{V}$ καί $r = 0,5\Omega$. Αἱ τρεῖς πλάκες ἔχουν τό αὐτό ἔμβαδόν εἶναι παράλληλοι καί ἰσαπέχουν. Τό βολτάμετρον περιέχει διάλυμα CuSO_4 καί ἡ ἀντίστασις τοῦ διαλύματος μεταξύ τῶν πλακῶν εἶναι $R = 5\Omega$. Νά ὑπολογισθῇ ἡ αὔξησις τοῦ βάρους τῆς σιδηρᾶς πλακῆς ἐντός χρόνου 10 h. Ἀτομικόν βάρος χαλκοῦ 63,54.

70 Δεδομένου ὅτι κατά τήν σύνθεσιν 1 mol ὕδατος ἀπό H_2 καί O_2 ἐκλύονται 69 kcal, νά ὑπολογισθῇ ἡ ἀντιηλεκτρε - γερτική δύναμις βολταμέτρου περιέχοντος ὀξυοισμένον ὕδωρ (μέ H_2SO_4) καί ἠλεκτροδία ἀπρόσβλητα (ἐκ Pt).

71 Συρμάτινο ὀρθογώνιον πλαίσιον ἐκ χαλκοῦ εὑρίσκεται τοποθετημένον μέ τίς μικρότερες πλευρές του παραλλήλους πρὸς τὰς δυναμικὰς γραμμάς ὁμογενοῦς μαγνητικοῦ πεδίου ἐντάσεως H . Τό πλαίσιον ἔχει διαστάσεις $\alpha \times \beta$ ($\alpha > \beta$) καί δι - αρρέεται ὑπὸ ρεύματος i . Ζητεῖται ἡ μηχανικὴ ροπή ἐπὶ τοῦ πλαισίου, ὅταν τοῦτο εὑρίσκεται

- α) Εἰς τήν περιγραφεῖσαν θέσιν καί
β) Ἐάν στραφῇ εἰς νέαν θέσιν εἰς γωνίαν $\varphi = 45^\circ$ πρὸς τήν ἀρχικὴν.

72 Αἱ συνιστώσαι τοῦ γ.μ. πεδίου εἶναι $H_0 = 0,18\text{Gauss}$ καί $H_k = 0,6\text{ Gauss}$. Ὄριζόντιος ἀγωγὸς διαρρεόμενος ὑπὸ ρεύματος 10A διευσθύνεται πρὸς δυσμὰς. Ποία ἡ ὀριζοντία καί ἡ κατακόρυφος συνιστώσα τῆς ἀνά cm σύρματος ἀσκουμένης δυνάμεως.

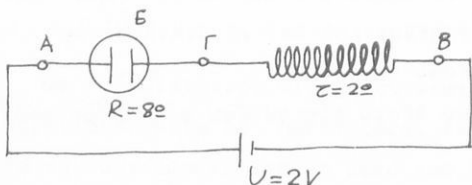
73 Τὰ ἄκρα πλαισίου, φέροντος 1000 περιελίξεις, εἶναι συνδεδεμένα μέ γαλβανόμετρον, ἀντιστάσεως 50Ω, Τό πλαίσιον εὑρίσκεται μεταξύ τῶν πόλων ἠλεκτρομαγνήτου μέ τό ἐπίπεδόν του κάθετον πρὸς τὰς δυναμικὰς γραμμάς. Ὄταν κλείσωμεν τό

κύκλωμα του ηλεκτρομαγνήτου, διά του γαλβανομέτρου διέρχεται φορτίον 2 Cb. Δεδομένου ότι η αντίστασις του σύρματος του πλαισίου είναι 30Ω , νά εύρεθῇ ἡ μαγνητικὴ ροή ἡ διερχομένη δι' αὐτοῦ.

74 Ὡκεάνιον ρεῦμα σταθ. διατομῆς κινεῖται μέ σταθεράν ταχύτητα $v = 1 \text{ m/sec}$ εἰς περιοχὴν ἔνθα ἡ κατακόρυφος συνιστώσα τῆς ἐντάσεως τοῦ γηίνου μαγν. πεδίου εἶναι $H = 0,35 \text{ Gauss}$. Ἡ εἰδικὴ ἀγωγιμότης τοῦ θαλασσίου ὕδατος εἰς τὴν ἐν λόγω περιοχὴν εἶναι $1/\rho = 0,04 \Omega^{-1} \text{ cm}^{-1}$.

Ἐπολογίσατε τὴν ἔντασιν τοῦ ρεύματος ἀνά μονάδα ἐπιφανείας εἰς τὴν ἐν λόγω περιοχὴν.

75 Δίδεται ἡ συνδεσμολογία τοῦ σχήματος: Τὸ σωληνοειδές ἔχει ἐμβαδὸν σπείρας 25 cm^2 καὶ φέρει 10 σπ/cm. Ἡ μαγνητικὴ ροή μιᾶς σπείρας τοῦ σωληνοειδοῦς εἶναι $14,2 \cdot 10^{-8} \cdot \pi \text{ Weber}$, Ζητοῦνται:



α) Ἡ ἔντασις τοῦ ρεύματος εἰς τὸ κύκλωμα

β) Αἱ τάσεις $U_{A\Gamma}$ &

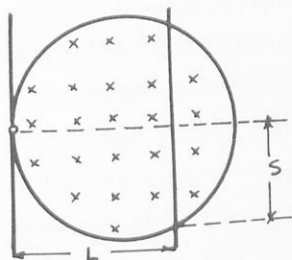
$U_{B\Gamma}$ καὶ

γ) Ἡ Α.Η.Ε.Δ. τοῦ βολταμέτρου

76 Σωληνοειδές ἀντιστάσεως $R (R = 4000 \Omega)$ δημιουργεῖ εἰς τὸ ἐσωτερικόν του ὁμογενές μαγνητικόν πεδίου ἐντάσεως $H (H = 1 \text{ Oe})$ ὅταν τὸ διερχόμενον ρεῦμα ἔχη ἔντασιν $i (i = 0,1 \text{ A})$. Ὁ ἄξων τοῦ σωληνοειδοῦς εἶναι κάθετος πρὸς τὸν μαγνητικὸν μεσημβρινόν. Εἰς τὸ κέντρον αὐτοῦ εἶναι τοποθετημένη

μικρά οριζοντία μαγνητική βελόνη έξηρητημένη διά νήματος. Αυτή φέρει κατακόρυφον επίπεδον κάτοπτρον, επί του οποίου πέπτει λεπτή, φωτεινή δέσμη, ανακλάται καί προσπίπτει επί κανόνος απέχοντος κατά l ($l = 1\text{m}$) από της βελόνης παραλλήλου προς τόν γήινον μαγνητικόν μεσημβρινόν. Είς τά δύο άκρα του σωληνοειδοϋς εφαρμόζεται τάσις U ($U = 2\text{m}$). Νά υπολογισθῆ ἡ μετατόπισις της φωτεινῆς δέσμης επί του κανόνου. ($H_0 = 0,2 \text{ Oe}$).

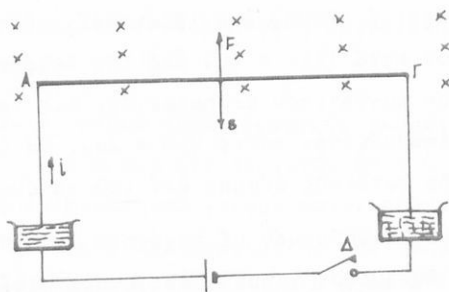
77 Ἡλεκτρόνιον κινούμενον μέ ταχύτητα $3,6 \cdot 10^9 \text{ cm/sec}$ καθέτως προς τά δυναμικῆς γραμμῆς ὁμογενοϋς πεδίου παρουσιάζει ἀπόκλισιν $s = 2,4 \text{ cm}$, επί ὁθόνης, ἡ ὁποία ἀπέχει του σημείου εἰσόδου κατά $L = 33 \text{ cm}$. Ὑπολογίσατε τήν ἔντασιν του μαγνητικοϋ πεδίου.



78 Πηνίον μήκους l ($l = 1,20\text{m}$) καί τομῆς S ($S = 50,3 \text{ cm}^2$) φέρει N ($N = 750$) σπείρας. Μικρόν πηνίον, τομῆς σ ($\sigma = 4,91 \text{ cm}^2$) μέ n ($n = 30$) σπείρας, τοποθετεῖται ὁμοαξονικῶς εἰς τό μέσον του πηνίου. Ὑπολογίσατε τήν μέσην ΗΕΔ τήν ἐπαγομένην εἰς τό μικρόν πηνίον, ὅταν ἡ φορά του ρεύματος, ἐντάσεως i ($i = 4\text{A}$), του διαρρέοντος τό πρώτον πηνίον, ἀναστρέφεται ἐντός χρόνου dt ($dt = 0,2 \text{ sec}$).

79 Ἐλαφρά μεταλλική ράβδος ΑΓ μήκους l καί μάζης m συνδέεται ὡς εἰς τό σχῆμα μέ δύο δοχεῖα Hg καί πηγὴν συνεχοϋς τάσεως. Τό σύρμα εὑρίσκεται τοποθετημένον καθέτως προς τάς δυναμικῆς γραμμῆς ὁμογενοϋς μαγνητικοϋ πεδίου ἐντάσεως H . Κλείοντες τόν διακόπτην Δ επί χρόνον Δt μόνον, ἐκινήθη εἰς τό κύκλωμα φορτίον Q . Εἰς ποῖον ὕψος θά ἀνέλθῃ ἐκ της

ἀρχικής της θέσεως ἡ ράβδος, ὑποθέτοντες ὅτι ὁ χρόνος Δt εἶναι πολὺ μικρότερος ἀπὸ τὸν χρόνον κινήσεως τῆς ράβδου.



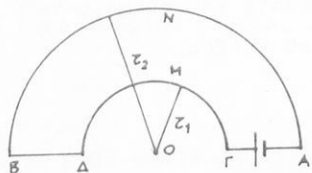
80 Ὑπολογίσατε τὴν ἔντασιν τοῦ μαγνητικοῦ πεδίου εἰς τὸ σημεῖον O τοῦ σχήματος ἂν ἡ ἀντίστασις τῶν συρμάτων ΓΜΔ

καὶ ANB εἶναι

$$\frac{2}{\pi} \Omega/\text{cm}, \quad E = 20 \text{ V}$$

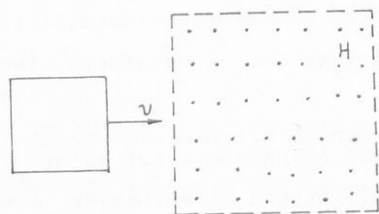
$$r_1 = 5 \text{ cm} \quad \text{καὶ}$$

$$r_2 = 8 \text{ cm}.$$



81 Τετράγωνον πλαίσιον, πλευρᾶς 50 cm, εἰσέρχεται ἐντὸς ὁμογενοῦς μαγνητικοῦ πεδίου, ἐντάσεως 1600 Oersted, μέ

τὸ ἐπίπεδον κάθετον πρὸς τὰς δυναμικὰς γραμμὰς, κινούμενον κατὰ διεύθυνσιν παράλληλον πρὸς μίαν πλευρὰν αὐτοῦ μέ σταθερὰν ταχύτητα 100 cm/sec. Ἐὰν ἡ ἀντίστασις τοῦ πλαισίου εἶ-



ναι 0,4 Ω , νὰ ὑπολογισθῇ ἡ ἔντασις τοῦ ρεύματος.

82 Πέριξ σιδήρου πυρήνος μαγνητικῆς διαπερατότητος μ

($\mu = 1700$) περιτυλίσσεται πηνίον, μήκους l ($l = 20 \text{ cm}$) με N ($N = 180$) σπείρας έμβαδοῦ S ($S = 25 \text{ cm}^2$).

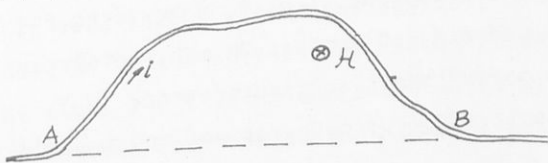
α) Νά εὔρεθῆ ὁ συντελεστής αὐτεπαγωγῆς L τοῦ πηνίου

β) Τό πηνίον τοῦτο διαρρέεται ὑπό ρεύματος έντάσεως i ($i = 10 \text{ A}$). Ἐάν διακόψωμεν τό ρεύμα εἰς χρόνον dt ($dt = 0,01 \text{ sec}$), ποῖα ἡ ΗΕΔ ἐξ αὐτεπαγωγῆς;

83 Κυκλικόν πηνίον ἐκ N ($N = 50$) σπειρῶν καί μέσης ἀκτίνος r ($r = 12 \text{ cm}$) τοποθετεῖται μέ τό επίπεδον του κάθετον ἐπί τόν μαγνητικόν μεσημβρινόν. Εἰς τό κέντρον τοῦ πηνίου εὔρισκεται μικρά μαγνητική βελόνη δυναμένη νά ταλαντοῦται. Μέ μίαν ὠρισμένην έντασιν ρεύματος ὁ μαγνήτης ἐκτελεῖ ταλαντώσεις συχνότητος ν_1 ($\nu_1 = 0,3 \text{ Hz}$), ἐάν ὅμως τό αὐτό ρεύμα διέλθῃ ἀντιθέτως ὁ μαγνήτης ἐκτελεῖ ταλαντώσεις συχνότητος ν_2 ($\nu_2 = 0,15 \text{ Hz}$). Εὔρατε τās δυνατās τιμάς τῆς έντάσεως τοῦ ρεύματος. Δίδεται ἡ ὀριζοντία συνιστώσα τοῦ γήινου μαγνητικοῦ πεδίου H_0 ($H_0 = 0,2 \text{ cm}$).

84 Δίσκος ἐκ χαλκοῦ ἀκτίνος r ($r = 10 \text{ cm}$) περιστρέφεται μέ συχνότητα ν ($\nu = 20 \text{ Hz}$) μέ τό επίπεδόν του κάθετον εἰς ὀμογενές μαγνητικόν πεδίου. Ἐάν ἡ ἐπαγομένη ΗΕΔ μεταξὺ κέντρον καί τοῦ ἄκρου τοῦ δίσκου εἶναι E ($E = 3,14 \text{ mV}$), ποῖα ἡ έντασις τοῦ πεδίου;

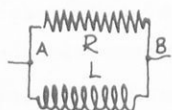
85 Δείξατε ὅτι εἰς οἰονδήποτε επίπεδον ἀγωγόν διαρρέομενον ὑπό ρεύματος έντάσεως i καί εὔρισκόμενον έντός ὀμογενοῦς μαγνητικοῦ πεδίου μέ τό επίπεδόν του κάθετον πρὸς



τήν διεύθυνσιν τοῦ πεδίου ἢ δύναμις Laplace εἶναι $F = iH(AB)$.

86 Μικρά σφαῖρα, κινουμένη ἐπὶ ὀριζοντίου ἐπιπέδου, φωτογραφεῖται ἐπὶ πλακὸς κειμένης παραλλήλως καὶ ὑπεράνω τοῦ ἐπιπέδου τούτου. Ἡ σφαῖρα φωτίζεται διὰ λυχνίας πυρακτώσεως, ἐλαχίστης θερμικῆς ἀδρανεΐας, τροφοδοτουμένης διὰ μονοφασικοῦ ρεύματος, συχνότητος 50 Hz. Ἐπὶ τῆς φωτογραφικῆς πλακὸς ἡ τροχιά τῆς σφαίρας, μήκους 52,5 mm, ἐμφανίζει 35 διακοπὰς ὀφειλομένης εἰς τὴν περιοδικὴν μεταβολὴν τῆς ἐντάσεως τοῦ φωτισμοῦ. Ἡ ἐστιακὴ ἀπόστασις τοῦ φακοῦ τῆς φωτογραφικῆς μηχανῆς εἶναι 65 mm καὶ ἡ ἀπόστασις αὐτοῦ ἀπὸ τοῦ πρὸς φωτογράφησιν ἐπιπέδου εἶναι 910 mm. Ζητεῖται ἡ μέση ταχύτης τῆς σφαίρας κατὰ τὴν διάρκειαν τοῦ πειράματος.

87 Εἰς κύκλωμα ἐναλλασσομένου ρεύματος παρεμβάλλονται μία ὠμικὴ ἀντίστασις $R = 20 \Omega$ ἠνωμένη παραλλήλως μέ πηνίου αὐτεπαγωγῆς $L = 300 \mu\text{H}$ καὶ ἀμελητέας ὠμικῆς ἀντιστάσεως. Ἡ ἐνεργὸς τάσις μεταξύ τῶν A καὶ B εἶναι 100 Volt τῶν 1000 c/sec. Νά εὑρεθοῦν αἱ τιμαὶ τῶν ἐνεργῶν ἐντάσεων τῶν ρευμάτων, τὰ ὅποια διατρέχουν τὴν R καὶ τὴν L καθὼς καὶ ἡ ἐνεργὸς ἔντασις τοῦ ὀλικοῦ ρεύματος.



88 Ἡ ὀνομαστικὴ ἰσχὺς μετασχηματιστοῦ εἰς τό δευτερεῖον εἶναι 10 KVA μέ τάσιν 1200 V.

Ἐάν ἡ σχέσις μεταφορᾶς εἶναι 6, ἡ συχνότης $f = 100 \text{ Hz}$ καὶ ἡ μεγίστη ροὴ διὰ τοῦ πυρήνος 24 mWh, ζητοῦνται:

- 1) Ἡ ὀνομαστικὴ τάσις τοῦ πρωτεύοντος.
- 2) Ἡ ἔντασις τοῦ δευτερεύοντος καὶ τοῦ πρωτεύοντος ὑ-

πό πλήρες φορτίον.

3) 'Ο αριθμός τῶν ἐλιγμάτων εἰς τὸ δευτερεύον καί πρωτεύον.

89 'Ο αριθμός τῶν σπειρῶν τοῦ πρωτεύοντος μετασχηματιστοῦ εἶναι $N_1 = 3600$ τοῦ δέ δευτερεύοντος $N_2 = 100$. Εἰς τὸ πρωτεύον ἐφαρμόζεται τάσις $U_{1,εν} = 200\sqrt{2}$ volt. Τὰ ἄκρα τοῦ δευτερεύοντος συνδέονται μέ πυκνωτὴν χωρητικότητος $C = 1\mu F$, ὁ ὁποῖος ἐκφορτίζεται ἀποτόμως (διὰ σχηματισμὸς τόξου) μόλις ἢ τάσις εἰς τὸ δευτερεύον φθάσῃ τὴν μεγίστην τῆς τιμὴν. Νά εὐρεθῇ ἢ ἀπελευθερουμένη ἐνέργεια εἰς ἑκάστην ἐκφόρτισιν.

90 Εἰς σταθμὸν ἠλεκτροπαραγωγῆς A, ἕνας μετασχηματιστῆς M_1 (ἀνυψωτῆς τάσεως) ἀπορροφᾷ ἰσχύν $P_1 = 80$ KW ὑπὸ ἐνεργόν τάσιν $U_{1,εν} = 1000$ volt. Τὸ δευτερεύον τοῦ M_1 παρέχει $I_{εν} = 5A$ εἰς γραμμὴν μεταφορᾶς, ἣτις καταλήγει εἰς τὰ ἄκρα τοῦ πρωτεύοντος μετασχηματιστοῦ M_2 , τοῦ ὁποῖου τὸ δευτερεύον τροφοδοτεῖ τὴν κατανάλωσιν σταθμοῦ B ὑπὸ ἐνεργόν τάσιν $U'_{2,εν} = 150$ volt. 'Η ὀλικὴ ἀπώλεια ἐνεργείας εἶναι 10% μέ συντελεστὰς ἀποδόσεως τῶν μετασχηματιστῶν, τοῦ μέν M_1 0,95 καί τοῦ M_2 0,96. 'Η διαφορὰ φάσεως τάσεως-ἐντάσεως εἰς τὰ ἄκρα τοῦ δευτερεύοντος τοῦ M_1 καί τοῦ πρωτεύοντος τοῦ M_2 εἶναι τοιαύτη ὥστε: $\cos\phi = 0,76$. Ὑπολογίσατε τὴν ἀντίστασιν (R) τῆς γραμμῆς μεταφορᾶς καί τὸν λόγον τῶν σπειρῶν, δευτερεύοντος-πρωτεύοντος, εἰς ἕκαστον τῶν μετασχηματιστῶν.

91 Εἰς τοὺς πόλους γεννητρίας συνεχοῦς ρεύματος, ἐφαρμόζεται τάσις 80 V ὅταν αὕτη παρέχει ρεῦμα ἐντάσεως I. 'Εάν ἢ ΗΕΔ αὐτῆς εἶναι 140 V καί ἢ ἐσωτερικὴ ἀντίστασις 3Ω , νά ὑπολογισθῇ ἢ ἐντάσις τοῦ παρεχομένου ρεύματος καί ἢ ἀπόδοσις τῆς γεννητρίας.

92 Ζητείται νά υπολογισθῇ ἡ ἰσχύς καί ἡ ἔσωτερική ἀντίστασις κινητήρος συνεχοῦς ρεύματος, ὅταν οὗτος λειτουργῇ ὑπὸ τάσιν 120 V, ἔχῃ ἀπόδοσιν 75% καί διαρρέεται ὑπὸ ρεύματος ἐντάσεως 15A.

Αἱ ἀπώλειαι εἰς τὴν γραμμὴν συνδέσεως τοῦ κινητήρος μὲ τὴν γεννητρίαν εἶναι 300 W. Ἀπώλειαι ἐντὸς τοῦ κινητήρος μόνον λόγῳ θερμότητος.

93 Ποία πρέπει νά εἶναι ἡ ἀντίστασις τῆς γραμμῆς συνδέσεως γεννητρίας καί κινητήρος συνεχοῦς ρεύματος, ὥστε ἡ ἀπώλεια ἐπ' αὐτῆς νά εἶναι τὰ 0,20 τῆς ἰσχύος τῆς παρεχομένης ὑπὸ τῆς γεννητρίας.

Πόση εἶναι τότε ἡ διαφορά δυναμικοῦ εἰς τοὺς πόλους τοῦ κινητήρος;

Δίδεται ὅτι ἡ τάσις εἰς τοὺς πόλους τῆς γεννητρίας εἶναι 110 V καί ἡ παρεχομένη ὑπ' αὐτῆς ἔντασις εἶναι 64A.

94 Εἰς μηχανὴν συνεχοῦς ρεύματος, ἡ μέση ἐπαγομένη τάσις μεταξὺ τῶν ψηκτρῶν αὐτῆς εἶναι 120V, ἔχει δέ εἰς τὸ τύμπανον αὐτῆς 150 ἀγωγούς συνδεδεμένους ἐν σειρᾷ. Ἐάν ἡ ροή τοῦ πεδίου εἶναι 25 mWb νά εὐρεθῇ πόσας φοράς ἀνά λεπτόν ἕκαστος ἀγωγός κόπτει τὸ μαγνητικόν πεδίου τῶν P πόλων.

95 Γεννητρία ἔσωτερικῆς ἀντιστάσεως 20Ω συνδέεται μέσω ἀγωγῶν ἀντιστάσεως 12Ω μὲ κινητήρα, εἰς τοὺς πόλους τοῦ ὁποίου ἡ τάσις εἶναι 80V. Νά υπολογισθῇ ἡ ΗΕΔ τῆς γεννητρίας καί ἡ ἀντι-ΗΕΔ τοῦ κινητήρος ἐάν ἡ ἔσωτερική ἀντίστασις τοῦ κινητήρος εἶναι 8Ω καί ἡ τάσις εἰς τοὺς πόλους τῆς γεννητρίας εἶναι 110 V.



FOTO - OFFSET

Σ. ΛΕΟΥΣΗΣ - Δ. ΜΑΣΤΡΟΓΙΑΝΝΗΣ
ΝΟΤΑΡΑ 39 ΑΘΗΝΑΙ - ΤΗΛ. 88.26.862



0020638089

ΒΙΒΛΙΟΘΗΚΗ ΒΟΥΛΗΣ

Ψηφιοποιήθηκε από το Ινστιτούτο Εκπαιδευτικής Πολιτικής

